

## Chapitre 4. Les vestiges archéologiques

(Anne Hauzeur)

### 4.1. Introduction

À l'issue du décapage mécanique de la partie occidentale de l'emprise prescrite (cf. § 1.5), quelques structures archéologiques ont été relevées, ainsi que plusieurs anomalies, qui sont traitées dans les chapitres suivants (cf. inventaire 3). Le décapage mécanique a également permis de relever le mobilier archéologique se trouvant dans les unités sédimentaires susjacentes et le niveau d'épandage. L'indigence des structures découvertes ne contenant pas ou peu de mobilier datant et n'appartenant pas à la période prescrite pressentie, à savoir le Néolithique récent, une présentation typochronologique des structures avérées puis des autres anomalies de terrain est proposée, suivie par le mobilier en nappe. Après la présentation de ces vestiges de toute nature, une discussion d'ordre spatiale et taphonomique est initiée dans le but de proposer une interprétation globale des vestiges et de les replacer dans leur contexte naturel et leur cadre régional.

### 4.2. Les structures archéologiques

Sur les 5340 m<sup>2</sup> décapés, seules trois structures anthropiques en creux ont été mises au jour : une très grande fosse et deux tracés linéaires. S'ajoute un empierrement d'origine anthropique, mais de fonction et d'âge indéterminés. Ces structures sont présentées successivement, dans l'ordre énoncé ci-dessus.

#### 4.2.1. La structure ST4 : une fosse d'extraction de la période gallo-romaine ?

Dans la zone sud-ouest du décapage et le long de la berme ouest de l'emprise, une grande structure subcirculaire de 4 x 6 m a été dégagée dans sa totalité, car ses dimensions et sa morphologie en plan pouvait faire penser à une tête de puits ou tout autre structure très profonde (plan-masse en annexe 1 et fig. 4.1). La tranchée 16 du diagnostic a recoupé son extrémité méridionale sans avoir pu l'identifier.

En plan, cette structure présente un contour ondulant et un remplissage gris clair relativement homogène (fig. 4.1, a). Son contour est apparu à la cote moyenne

de 155,04 m NGF, soit entre les extrêmes 154,99 et 155,09 m. Il est important de noter que son niveau de lecture et d'apparition nette se situe à la base du niveau de mobilier en épandage, que ce mobilier se trouve en nappe continue depuis la berme sud de l'emprise jusque sur l'ouverture de la structure ST4 et qu'il n'est pas intégré au remplissage sommital de cette dernière (fig. 4.2).

Le décapage mécanisé d'un quadrant de cette vaste structure devait permettre d'appréhender sa morphologie générale et de statuer sur sa fonction. Le quadrant nord-ouest a été décapé par passes fines jusqu'à 1 m de profondeur sous le niveau de décapage, permettant de récolter le mobilier contenu dans cette partie de la structure et de pouvoir affiner sa position chronologique relative. Mis à part des niveaux caillouteux de blocs de calcaire naturels (fig. 4.1, b-c, e), le seul mobilier récolté consiste en fragments de *regulae* trouvés mêlés au niveau des blocs de pierre (détail voir § 4.3.2). Vu la profondeur de récolte et l'imbrication des différents éléments, on peut proposer une datation antique pour le comblement sommital de la structure. La suite du décapage jusqu'à -250 cm sous le niveau de décapage s'est révélé stérile et a été réalisé par passes plus grossières. Un sondage à la tarière a permis d'atteindre le fond de la ST4, vers -400 cm sous le niveau de décapage, avec une limite nette entre le remplissage sédimentaire de couleur brune et l'encaissant constitué par la formation argileuse à Meulières de Montmorency (fig. 4.1, d, f).

En coupe, cette structure montre une séquence de remplissages lenticulaires successifs témoignant d'un comblement rapide par paquets de sédiment ou de blocs de terre, avant de se tasser et d'atteindre son profil d'équilibre (fig. 4.3). La partie sommitale a été comblée par des sédiments fins plus gris et moins argileux, formant une sorte de « bouchon » contenant le seul mobilier archéologique. La morphologie générale de la structure est celle d'une structure en cuvette à parois évasées, présentant à certains endroits un profil en paliers. Le type de fond n'a pas pu être déterminé. Par contre, le sondage à la tarière ne montre aucun remplissage spécifique et ne fait état d'aucun comblement laminé tels les fonds de



Figure 4.1 – Ablis - « les Genêts ». Structure 4. a. Niveau d'apparition et remplissage sommital ; b-c. Apparition des niveaux à blocs de pierre dans le quadrant NO ; d. Vue zénithale de la structure (en marron) à -250 cm sous le niveau de décapage, dans le substrat tertiaire à blocs calcaires ; e. Ensemble des blocs récoltés et nettoyage d'un échantillon sur place ; f. Carottage à la tarière jusqu'au fond de la structure (environ -350 cm sous le niveau de décapage). Clichés Paléotime.

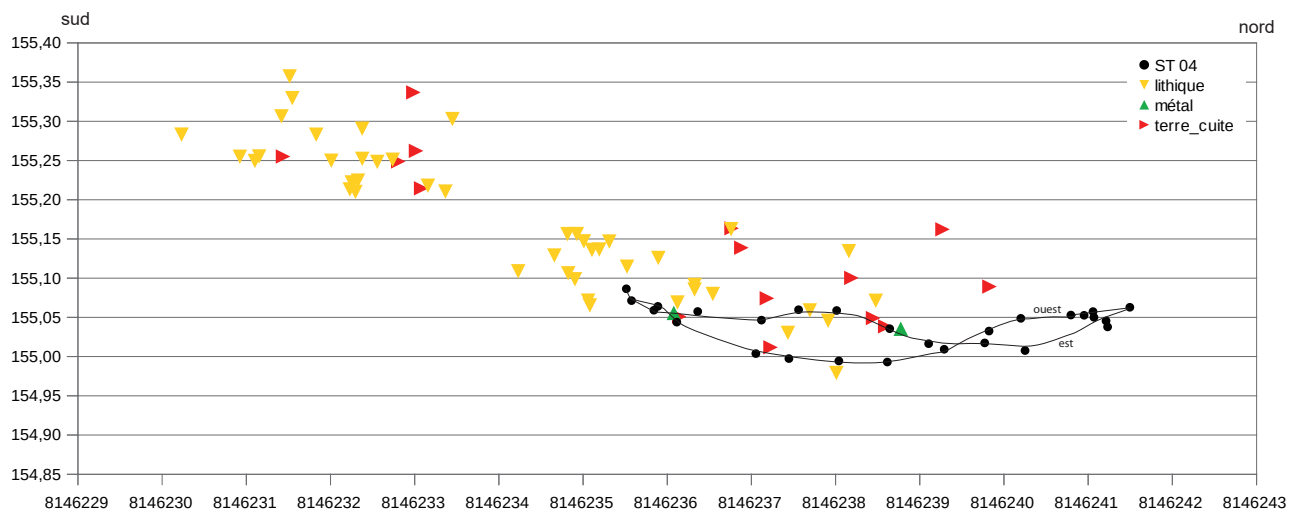


Figure 4.2 – Ablis - « les Genêts ». Structure 4. Projection altimétrique des points de contour d'apparition nette de la structure et du mobilier adjacent selon un axe arbitraire sud-nord. La nappe de mobilier s'infléchit à hauteur de la structure. Exagération de la hauteur ca x10. DAO A. Hauzeur.

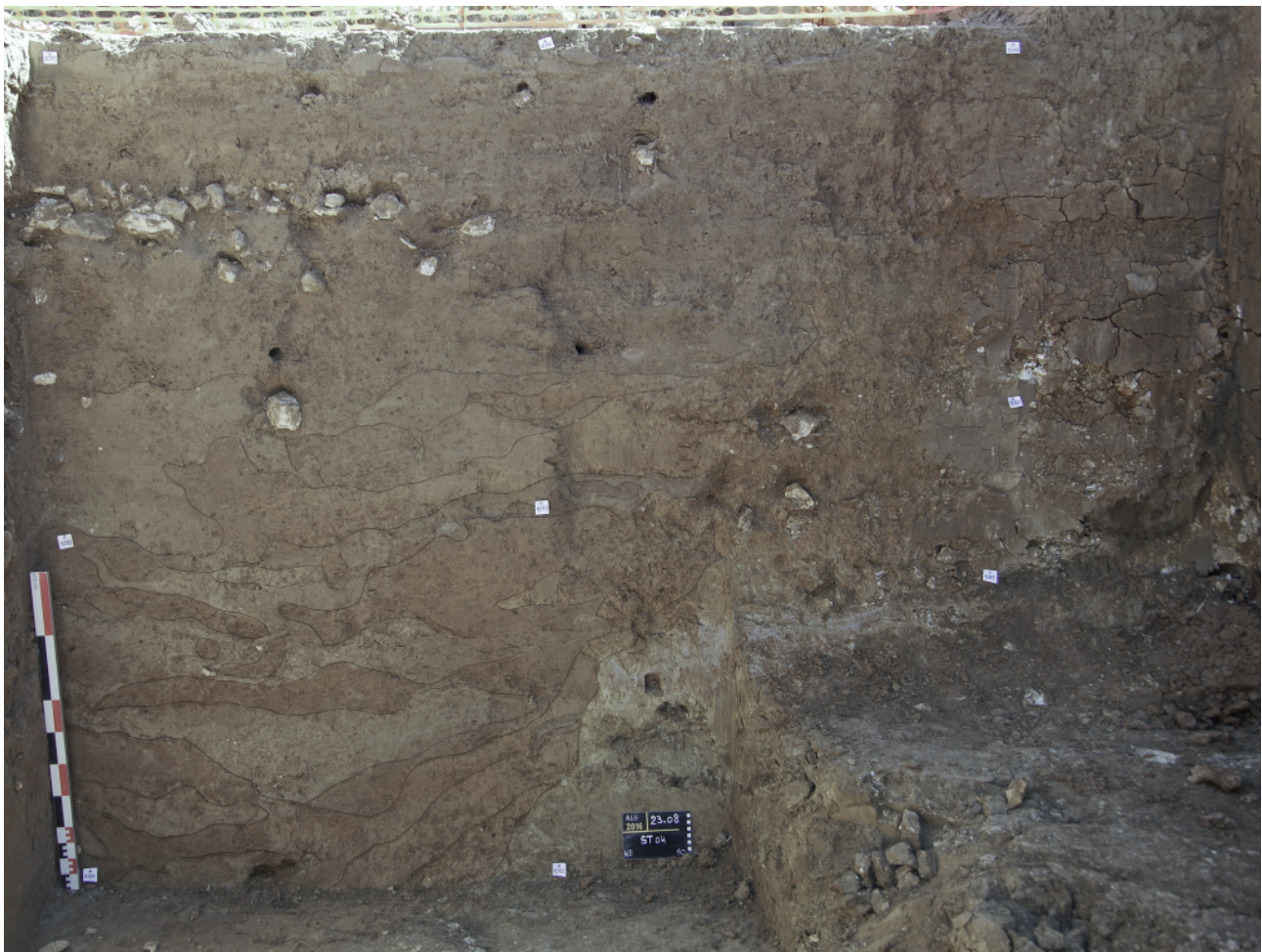


Figure 4.3 – Ablis - « les Genêts ». Structure 4. Coupe ENE-OSO du quadrant NO. Cliché Paléotime.

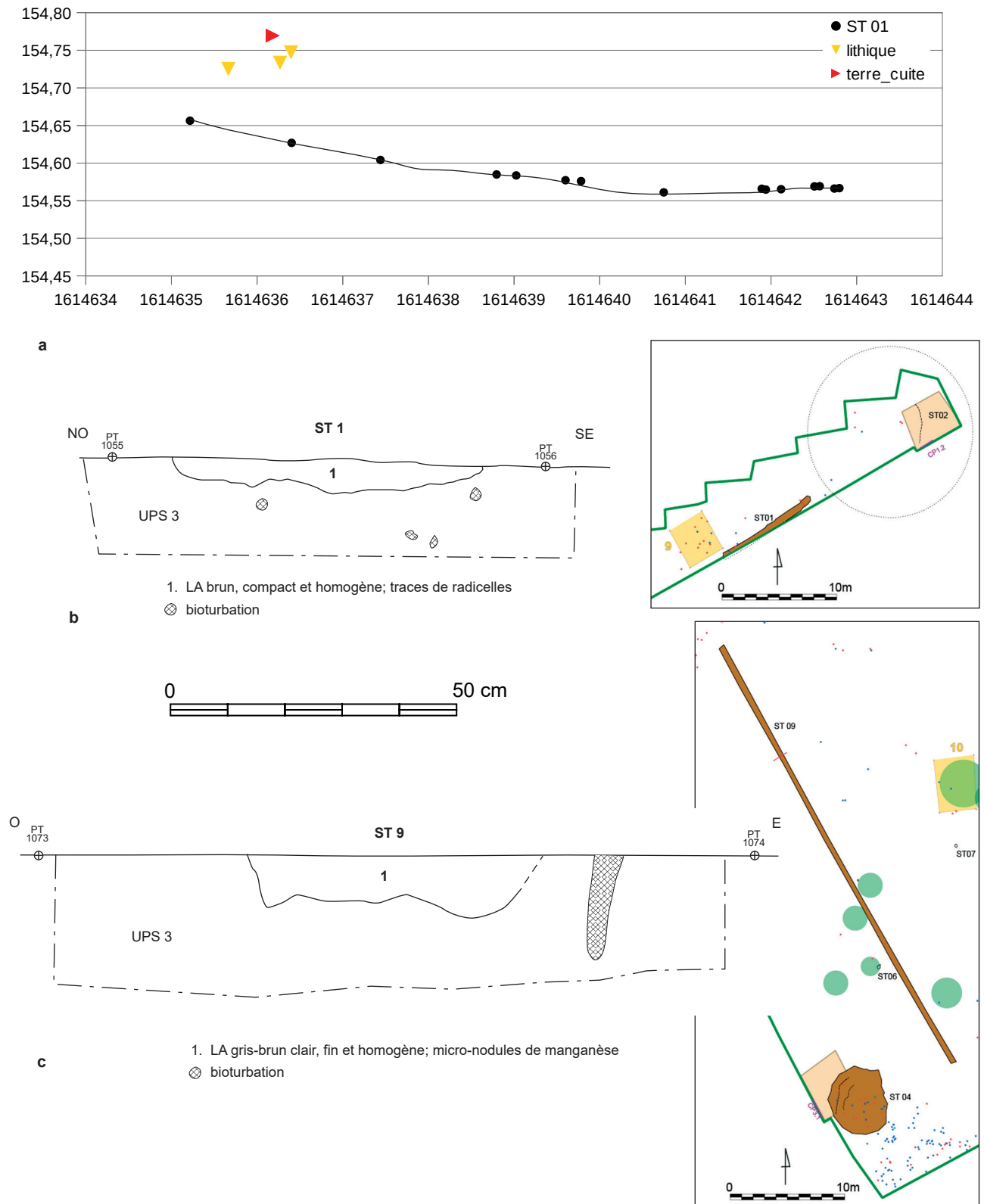


Figure 4.4 – Ablis - « les Genêts ». Structures 1 et 9. a. Projection altimétrique des points de contour d'apparition nette de la structure et du mobilier susjacent selon un axe arbitraire ouest-est (exagération de la hauteur ca x10) ; b. coupe transversale de l'extrémité orientale de ST1 ; c. Coupe transversale de ST9.

puits ou de fossé ayant connu des battements d'eau récurrents. Sa morphologie générale, en cuvette, avec parois en gradin suggère fortement une fonction extractive, peut-être pour aller chercher du sable, nécessaire à la réalisation des mortiers ou des pâtes à terre cuite, ou bien des blocs de calcaire de Beauce sous-jacents, dont quelques exemplaires de petit gabarit se trouvaient dans le comblement sommital (cf. *supra*). La délimitation nette des parois et des gradins suggèrent un comblement rapide après sa période d'activité.

Cette structure est malheureusement unique sur l'emprise et ne peut être mise en relation certaine avec aucun autre vestige immobilier. Par contre, plusieurs structures d'extraction ont été relevées au cours des différents diagnostics et des fouilles réalisées dans les alentours. Ces structures ont en commun le même type de profil, leurs dimensions et la rareté du mobilier dans le comblement (Drwila 2004, p. 8 et 10). Ce dernier est rattachable à la période gallo-romaine tout comme les quelques fragments de terre cuite architecturale recueillis dans la structure 4.

#### 4.2.2. Les tracés linéaires

Deux segments de tracé linéaire ont été découverts sur l'emprise (ST1 et ST9), respectivement dans la partie méridionale et occidentale du décapage (plan-masse en *annexe 1*). Les deux tracés ont en commun un remplissage sédimentaire clair, voire blanchâtre - particulièrement visible sur terrain sec ou après plusieurs jours de sécheresse - et une très faible profondeur conservée, de l'ordre de quelques centimètres.

Le tracé ST1 est d'orientation SO-NE et se prolonge sous la berme et le talus de la route de déviation RD 988, hors emprise. Il a été reconnu sur 9 m de longueur et ne contenait aucun mobilier. Les rares éléments récoltés au décapage mécanique (PT45, 46 et 48) se rapportent à la période antique pour le tesson de grand vase de stockage (dolium ?, PT48) et le fragment de terre cuite architecturale (PT46) et est d'âge indéterminé pour la plaquette de silexite du Tertiaire (PT45). Ils ont été récoltés dans le niveau d'épandage, en partie haute et sont clairement déconnectés du niveau d'apparition du



Figure 4.5 – Ablis - « les Genêts ». Position des tracés linéaires 1 et 9 et répartition du mobilier en nappe sur fond de cadastre napoléonien. DAO A. Hauzeur.

tracé linéaire (fig. 4.4, a). Ils n'entretiennent aucune relation stratigraphique logique avec ce dernier et on ne peut donc pas les associer. Sa forme en coupe transversale est une cuvette à fond aplani (fig. 4.4, b).

Le tracé ST9 est visible sur 41,5 m environ et est orienté selon un axe longitudinal SE-NO. Il traverse la tranchée 18 du diagnostic et n'avait pas été repéré. N'étant conservé que sur quelques centimètres de profondeur (fig. 4.4, c), il est difficile d'affirmer qu'il s'agit d'un tronçon avec interruption ou simplement d'un effet taphonomique dû à une érosion importante. Tout comme pour le premier tracé ST1, sa fonction n'est pas claire. On peut *a priori* exclure le simple sillon de charrue à cause de leur régularité et du fait de l'absence de tout autre marque d'engins agricoles dans ce secteur et à ce niveau de décapage. On peut néanmoins remarquer que ces tracés sont orthonormés entre eux. Ils s'alignent sur le parcellaire napoléonien (fig. 4.5), mais ne lui correspondent pas. Les cadastres modernes s'appuyant en partie sur des divisions territoriales antérieures, dont l'installation pourraient remonter à l'Antiquité voire avant (par exemple Chouquer 2005), on pourrait envisager, à titre d'hypothèse et vu le contexte archéologique local, que ces tracés aient une origine antique voire protohistorique. Dans ce cas, en poussant plus loin le raisonnement et en osant s'aventurer un peu plus sur la voie hypothétique, la structure d'extraction ST4 pourrait également faire partie de cette organisation spatiale.

#### 4.2.3. L'empierrement ST11

Au moment du décapage mécanique de la partie orientale de l'emprise de fouille, une concentration de blocs de petit gabarit est apparue à quelques centimètres au-dessus du niveau général. Cette concentration a été épargnée pour être fouillée manuellement (fig. 4.6a).

Cette concentration dessine grossièrement un polygone. Quelques pièces de mobilier en silex ont été récoltées et topographiées au niveau d'apparition de la concentration. Le nettoyage de la surface n'a pas apporté plus d'information sur son origine ni sa fonction. La fouille manuelle d'un quadrant montre *in fine* une délimitation relativement nette de la concentration des blocs de pierre, sans organisation particulière et surtout sans limite de creusement (fig. 4.6b). La densité et la nature des cailloux, de même que la géométrie de cette concentration, excluent l'hypothèse d'un pavage naturel secondairement

déformé par les processus périglaciaires, tel qu'observé au sommet de l'UPS 4 (fig. 2.6).

Un échantillon de cailloux et de blocs a été prélevé, nettoyé et photographié (fig. 4.6c). Les gabarits sont réduits, de l'ordre de quelques centimètres à une vingtaine. Les blocs et les fragments de plaquette sont des meulière ou des calcaires plus ou moins silicifiés, parfois chauffés ou fracturés. Les cassures sont relativement fraîches. La présence de cette concentration n'est pas naturelle et d'autres alternatives doivent être envisagées. De même que nous avons exclu le pavage naturel, il faut exclure aussi l'hypothèse de l'épierrement du champ, car la pierrosité de la parcelle actuelle est quasi nulle et le tas se serait retrouvé au milieu de l'exploitation. D'autres hypothèses fonctionnelles restent en lice : lambeau de rejet d'extraction, car les fragments de meulière ne sont pas affleurants naturellement, aire d'activité impliquant des phases de chauffe ou de traitement des pierres, charge de chemin avec du tout venant, ce qui paraît improbable car les chemins et sentes historiques ne passent pas par là ? Sa fonction restera mystérieuse, de même que son attribution chronologique.

#### 4.2.4. Les autres anomalies de terrain

Outre les chablis identifiés lors du décapage mécanique et confirmés, pour certains, par des fouilles manuelles test, deux autres anomalies sont à signaler : ST2 et ST10 (plan-masse en annexe 1).

Pour le fait ST2, il s'agit d'une vaste « dépression », qui n'a été que partiellement dégagée en limite orientale de la première tranchée de fouille (fig. 4.7). Les contours n'étaient pas très nets et aucun mobilier n'a été récolté lors du sondage plus profond. De plus, le remplissage est relativement homogène, de couleur brun sans intervention anthropique notable. Il atteste un comblement lent et régulier. Appréhendée de manière très partielle par la fouille mécanique, elle a été classée parmi les « dépressions » anthropisées, sans trop pouvoir préciser son statut : doline, mare, grande fosse d'extraction ... Le fond n'a pas été atteint et sa fouille a été arrêtée avec la fin prématurée du chantier. Cette dépression n'a pas été repérée au diagnostic, sans doute à cause de ses limites très diffuses.

Une autre anomalie de terrain avait été vue au diagnostic dans la tranchée 19. Il s'agit du fait ST10, correspondant à ce que les fouilleurs du

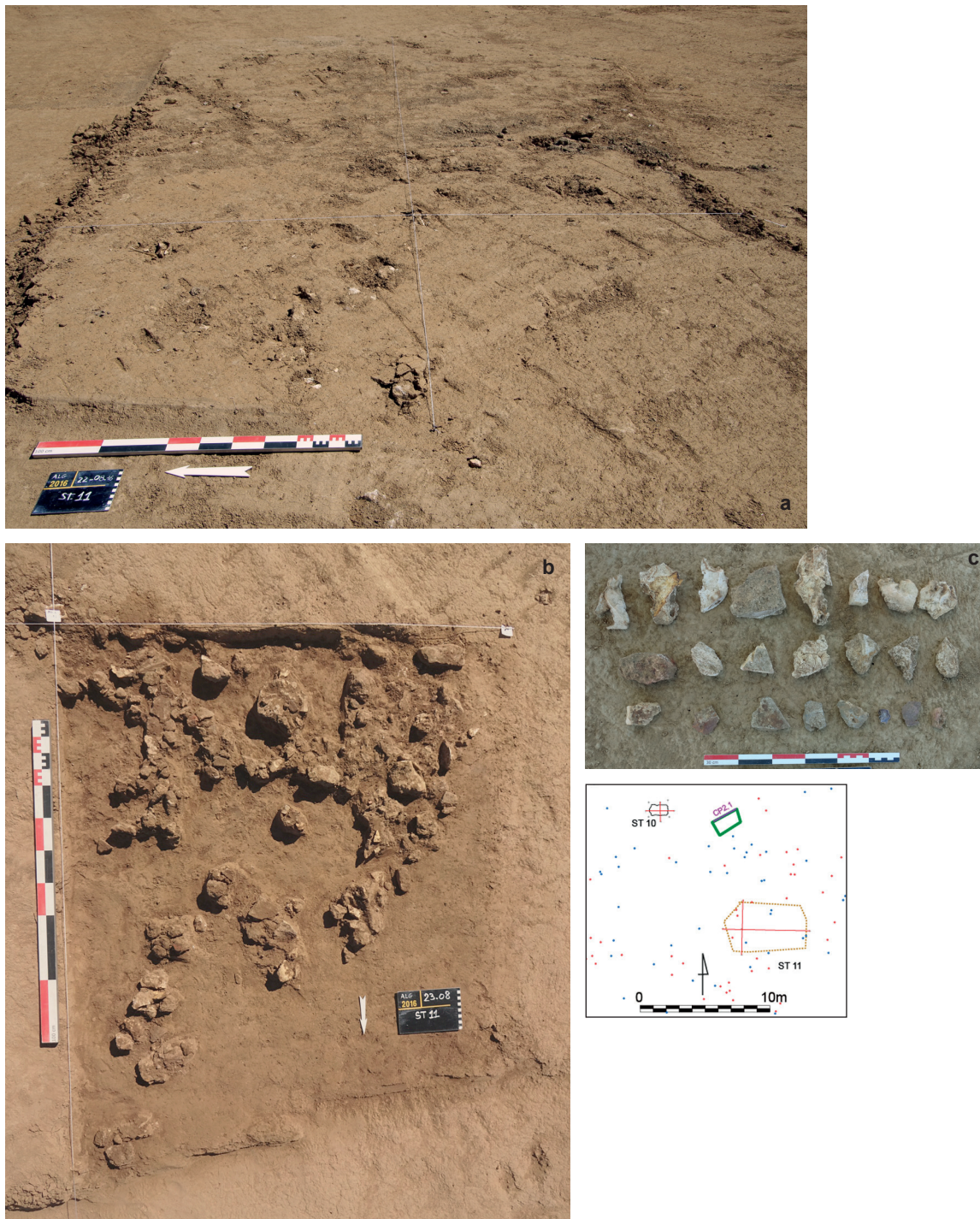


Figure 4.6 – Ablis - « les Genêts ». Structure 11. a. Vue cavalière vers l'est après nettoyage de la surface ; b. Vue zénithale de la fouille manuelle du quadrant A1 ; c. Echantillon de blocs et de cailloux.  
Clichés Paléotime, DAO A. Hauzeur.



Figure 4.7 – Ablis - « les Genêts ». Structure 2. Coupe sud dans le sondage mécanique 2.

diagnostic ont nommé « anomalie de fond de tranchée » (Brutus et al. 2015, p.65). Grossièrement quadrangulaire en plan et de teinte blanchâtre, elle a été testée en fouillant le quadrant SE. Ce test a confirmé son caractère non anthropique. Elle se distingue par un sédiment décarbonaté blanchi, de même texture que l'encaissant, et de nombreuses bioturbations (fig. 4.8). Il s'agit d'une figure d'hydromorphie, dont le contraste n'a rien de surprenant à cette profondeur (chap. 2), et qui s'ouvrirait vraisemblablement plus haut sous forme d'une tâche diffuse.

#### 4.3. Le mobilier

Le mobilier archéologique géoréférencé provient exclusivement du décapage mécanique de l'emprise, suivi depuis les labours actuels jusqu'à ce que les dernières pièces du niveau d'épandage soit récoltées. Le décapage mécanique s'est arrêté à la dernière pièce atteinte, soit de manière générale à la base de l'UPS 2. Les quelques pièces récoltées

plus bas proviennent de bioturbations, tel l'exemple du petit tesson de terre vernissée médiévale, trouvé dans la partie inférieure d'un conduit (fig. 4.9). D'un point de vue géostratigraphique, il n'y a donc qu'une seule nappe de mobilier, située à la base de l'UPS 2 et de densité variable (fig. 2.7). Compte tenu des objectifs de la prescription, à savoir caractériser l'occupation du Néolithique récent et mieux saisir la relation du mobilier avec les éléments architecturaux en terre crue, sa répartition globale et détaillée est importante, de même que son histoire post-dépositionnelle. Le constat de la non-existence d'éléments en terre crue a réorienté les objectifs de la fouille sur le statut de ce mobilier, sur son homogénéité typo-chronologique et sur le fait de savoir s'il peut répondre à la question : s'agit-il d'une zone d'habitat latente avec niveau conservé ?

Pour ne pas interrompre le fil de la lecture par de nombreuses illustrations en pleine page, les planches de mobilier sont placées en fin de chapitre et sont appelées dans le texte par l'abréviation « pl. »



Figure 4.8 – Ablis - « les Genêts ». Structure 10. a. Contexte général de la structure 10, redécouverte sur le fond de la tranchée 19 du diagnostic (vue vers l'ouest) ; b. Coupe nord dans le quadrant SE ; c. Vue cavalière de la même anomalie découverte au diagnostic. a,b : clichés Paléotime ; c : cliché Inrap (Brutus et al. 2015, fig. 33).

#### 4.3.1. Contexte général

La série comptabilise 531 éléments en matériaux lithiques, en terre cuite, ou en métal répartis de façon inégale sur l'emprise (plan-masse en [annexe 1](#) et [inventaires 4](#)). Quelle que soit l'attribution typo-chronologique de ce mobilier, sa répartition générale montre une zone particulièrement dense, localisée entre la limite sud de l'emprise et la structure 4. Elle se prolonge vers l'est par la

concentration de mobilier repérée au diagnostic dans la tranchée 16 et la suite du décapage autour de cette zone, puis par une autre concentration au nord de la structure 1. Une autre concentration de mobilier, moins dense mais nettement perceptible, se trouve dans toute la partie septentrionale de la surface décapée. Elle semble s'interrompre à hauteur de la fenêtre d'extension vers le sondage D et se prolonger au-delà de la limite orientale du



Figure 4.9 – Abris - « les Genêts ». Vue cavalière d'un petit tesson de céramique vernissée verte découverte dans une bioturbation au niveau de la fenêtre 7 d'enregistrement des anomalies. Cliché Paléotime.

décapage. Elle forme une bande d'environ 30 m de large d'orientation OSO-ENE. Confrontées au cadastre napoléonien (fig. 4.5), ces zones de densité variable correspondent aux limites des parcelles n° 227 pour la bande nord et n° 234 pour la concentration sud et semblent contraintes par le parcellaire ancien. Le « vide » de mobilier archéologique entre ces deux zones correspond

à la parcelle n° 233, dans laquelle se trouve par ailleurs la plupart des traces d'arbres. Cette répartition spatiale ne paraît pas être le seul fait d'une pure coïncidence et l'une des explications plausibles pourrait être celle de pratiques agricoles différentes, voire de types de culture variés, qui ont eu pour conséquence une conservation différenciée du mobilier archéologique. La photo aérienne de

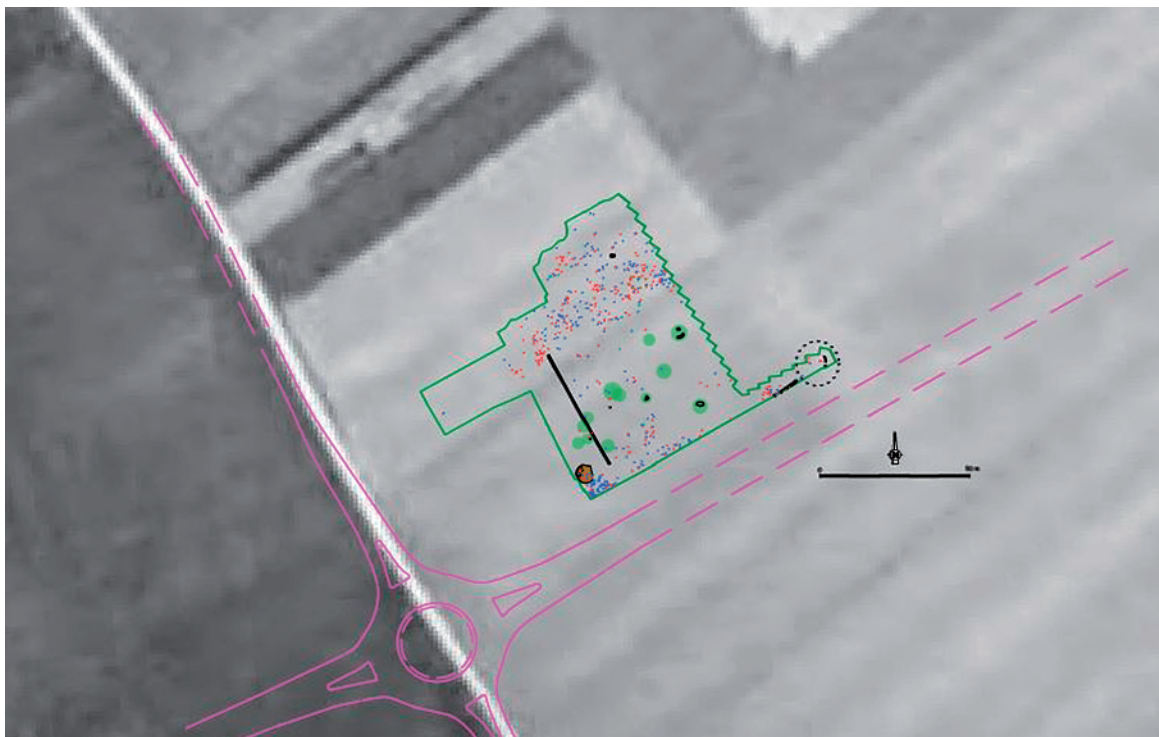


Figure 4.10 – Abris - « les Genêts ». Emprise de la fouille localisée sur la vue aérienne prise le 23/09/1946. Cliché n° 145 de la mission C2216-0011-1946-F2216-2317\_0145 ; Archives Géoportail.

1946 (fig. 4.10) montre également et clairement des limites parcellaires et des mises en culture correspondant aux « effets de paroi » de la bande nord de mobilier.

Une centaine d'années au moins de pratiques agricoles ont influencé la conservation du mobilier archéologique résiduel en nappe, sachant que l'empreinte taphonomique a bien dû se marquer dès la mise en place des parcellaires et une pratique agricole de plus en plus intensive et intrusive dans le sous-sol. Si des lambeaux de nappe archéologique sont encore présents, il faut toutefois noter la rareté du mobilier dans les labours actuels. Plusieurs explications alternatives et non exclusives peuvent être envisagées : des prospections pédestres récurrentes, des labours demeurant à une certaine profondeur sans entamer les lambeaux restants (pas de sous-solage selon l'exploitant actuel) mais finissant par éparpiller des vestiges déjà éparés dès leur abandon par les populations préhistoriques, ou encore un déplacement progressif des objets les plus superficiels selon la pente naturelle du terrain, hors de l'emprise de fouille. Ces explications peuvent être

complétées par les phénomènes de bioturbation, provoquant la remontée des terres les plus fines qui entraîne pour finir le mobilier vers le bas.

La cartographie des altitudes des objets récoltés montre un gradient décroissant progressif ouest-est en étroite corrélation avec la topographie générale du terrain (fig. 4.11), au contraire de leur répartition en plan, liée au parcellaire ancien (cf. ci-dessus).

#### 4.3.2. Le mobilier en terre cuite

Dans cette catégorie de matériau définie par les *thesauri*, se trouvent les tessons de céramique, tout comme les terres cuites architecturales. Les objets récoltés au décapage totalisent 260 pièces, dont 205 sont des tessons, 49 des fragments de terre cuite architecturale et six des fragments de terre cuite au sens large.

Le taux de fragmentation des tessons est relativement élevé avec une moyenne de 2786,5 g pour 197 tessons, toute période confondue, soit 14 g par tesson. La moyenne est sensiblement plus élevée que sur d'autres sites de plateau ayant livré du mobilier en nappe pour

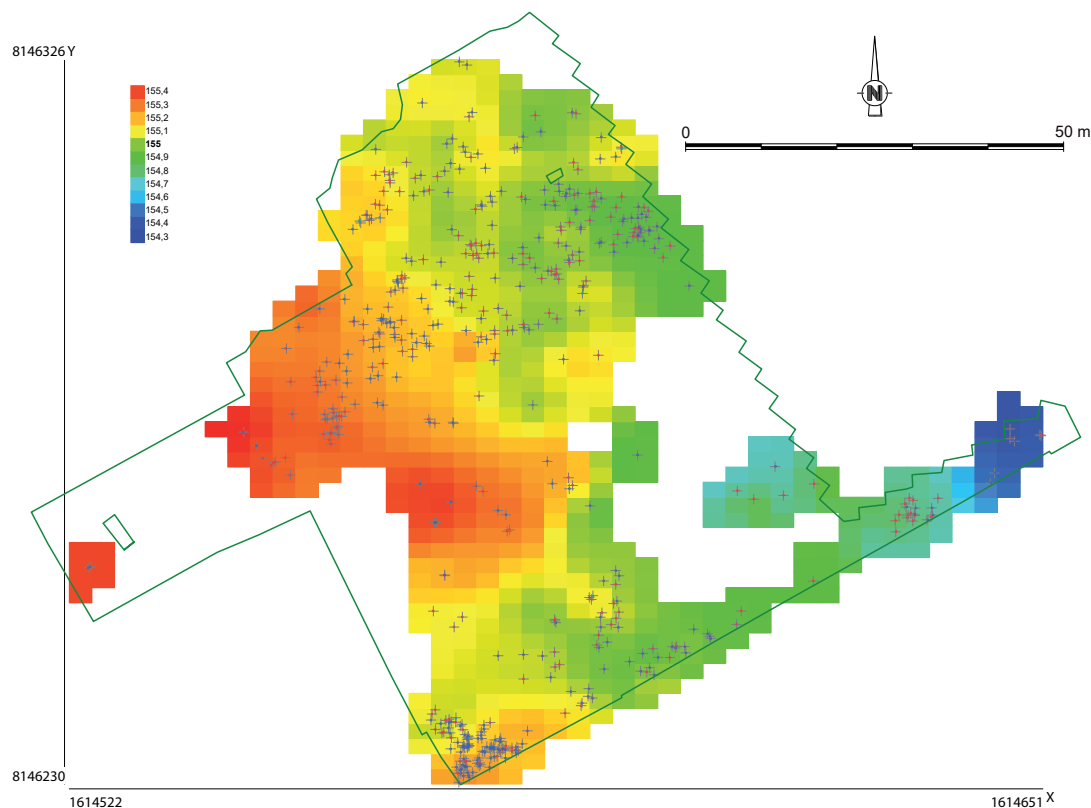


Figure 4.11 – Ablis - « les Genêts ». Cartographie des altitudes m NGF du mobilier, extrapolées avec le logiciel QuikGrid 5.4. DAO A. Hauzeur.

lesquels la moyenne oscille entre 5 et 10 g : entre autres, Beynes, 6 g (Hauzeur et al. 2012, p. 45), Compans, 10 g (Hauzeur et al. 2014, p. 39), Citry-sur-Marne, entre 5 et 10 g (Hauzeur et al. 2014, p. 54) ... Une première explication est la nature des tessons, ayant appartenu en général à des récipients en pâte grossière à paroi épaisse. Malgré des tessons de dimensions plus importantes, le fait d'appartenir à des récipients en céramique à pâte grossière, non décorés, limite fortement la précision des attributions chrono-culturelles : un seul au Néolithique, quatre à la Protohistoire, trois sûrement au Bronze ancien, sept oscillant entre la fin des âges des Métaux et le début de l'Antiquité, treize tessons à la période antique, dont deux peut-être à une période plus récente, six médiévaux ou plus tardifs et enfin sept restent indéterminables. Le restant (N = 151) se range, à défaut d'éléments pertinents, dans la vaste catégorie des céramiques non tournées, produites entre le Néolithique récent et les débuts de la Protohistoire.

#### Description du corpus

Les éléments significatifs, tels les bords, fonds et moyens de préhension ont été relevés et illustrés, ainsi que les éléments pertinents des terres cuites architecturales (pl. 4.1 et 4.2).

Près de 80 % du mobilier céramique sont des tessons de récipients en céramique à pâte grossière (N = 153), non décorée. Seulement six tessons portent des éléments décoratifs (PT115, PT514, PT547, PT555, PT559, PT651 ; pl. 4.1). Au moins trois d'entre eux sont apparentés et pourraient avoir fait partie du même récipient, qui rassemble aussi d'autres morceaux. Ces quelques tessons décorés témoignent d'une présence au Bronze ancien, sans pouvoir en préciser l'importance et la nature vu la faiblesse du corpus, non significatif.

De manière globale, la série « Néo/Proto » présente une certaine homogénéité, accentuée par l'absence de céramique fine. Les pâtes sont essentiellement dégraissées avec du sable à fraction plus ou moins fine (85 cas), soit ajouté, soit naturellement contenu dans la matrice argileuse. Vingt-quatre autres cas de pâte « sableuse » attestent l'ajout de matériaux organiques qui ont laissé des traces carbonisées ou des vacuoles, tandis que quatre cas révèlent la présence de calcaire ou de meulière pilée. Cette présence est faible et pourrait très bien résulter d'une manipulation accidentelle à la fabrication. L'utilisation de la chamotte a été observée dans 30 cas, mais pour la majorité, combinée au sable ou aux grains de quartz triés. Des matériaux organiques viennent s'y ajouter dans huit cas et du calcaire ou de

la meulière pilée dans cinq cas. La chamotte n'apparaît pas dans cette série comme un composant dominant et semble plutôt accessoire, voire accidentelle. Il est en effet difficile de juger de son importance réelle vu la taille des tessons. La moyenne pondérale est d'environ 7 g, une valeur tout à fait en adéquation avec les masses moyennes observées sur les sites érodés de plateau. Les épaisseurs montrent des valeurs continues, entre 8 et 18 mm, soit des parois épaisses (entre 8-9 mm) à très épaisses (autour de 13 mm), propres aux récipients de stockage ou de cuisson (fig. 4.12).

La couleur des surfaces et du cœur des tessons indique des phases de cuisson réductrices et oxydantes dans les trois quarts des cas (123/159), une cuisson totalement réductrice dans 16 cas et oxydante dans 20 cas. Les teintes rouge à brun sont les plus fréquentes. Les surfaces sont lissées, mais sont également souvent desquamées dans les deux tiers des cas. Quelques rares tessons montrent des bords rongés attestant une longue exposition à l'air libre (N = 7) et d'autres sont réellement émoussés (N = 4).

Dans la série, 12 tessons sont des bords, arrondis dans sept cas, amincis dans trois cas, aplati ou indéterminé dans un cas chacun. Une très légère inflexion est sensible sous le bord pour trois d'entre eux. Les moyens de préhension font figure d'exception : une languette arciforme (pl. 4.1, PT420), qui est le seul indice probant pour une attribution chronologique au Bronze ancien (par ex. Billard et al. 1996), et une amorce de languette ou de cordon (PT474). Outre les fragments de bords et les éléments plastiques, il existe cinq fragments de fond plat (pl. 4.1), à pied légèrement protubérant dans deux cas (PT135 et PT439). Aucune forme n'est restituable. Toutefois l'homogénéité technique de la série permet des rapprochements. Trois lots ont été ainsi formés avec toute les réserves d'usage mais dont la pertinence sera discutée en fin de chapitre. Certains des tessons apparentés sont en effet fort proches les uns des autres, au niveau des pâtes et des éléments de décor ou de forme. Deux tessons (PT115 et PT651) sont apparentés par leur décor d'impressions au doigt sous la carène, qui signe une appartenance au Bronze ancien. Un autre lot rassemble de nombreux tessons, dont un bord aminci avec des impressions au doigt (PT547 avec PT420, 439, 452, 493, 527, 549, 554, 596, 668). Cet ensemble pourrait former un tout avec le lot précédent. Enfin PT469, 470 et 471 sont très proches et PT72-1, 73, 74, 85, 86 également. Les

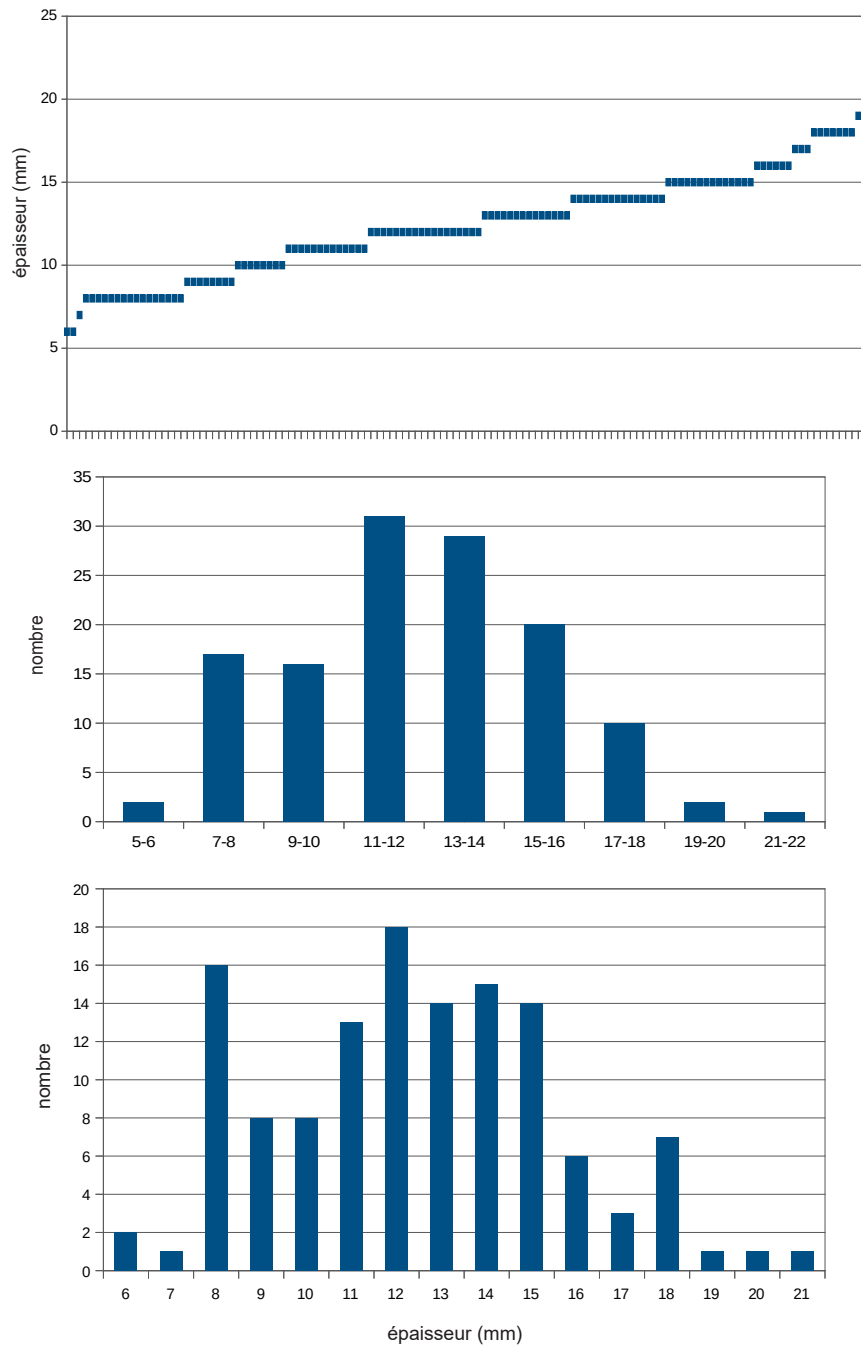


Figure 4.12 – Ablis - « les Genêts ». Mobilier céramique. Épaisseur des tessons attribués à la Préhistoire récente, mesurée sur 128 objets, en valeur croissante et par classes arbitraires de 2 et de 1 mm. DAO A. Hauzeur.

deux lots les plus significatifs amènent à restituer deux formes biconiques, sans pouvoir préciser d'avantage leur profil. D'un point de vue technique (dégraissants, finitions) et morphologique (fonds plats, bords) cet ensemble s'inscrit relativement bien dans la mouvance des productions de la fin du Néolithique et des débuts de l'âge du Bronze, telles qu'elles ont pu être caractérisées dans le Bassin parisien au sens large (par ex. R. Martineau

dans Renard *et al.* 2014, p. 318-327). Par contre, l'absence de silex pilé comme dégraissant ne prône pas pour une attribution au Néolithique récent si l'on s'en réfère aux corpus du Bassin parisien (par ex. Martineau *et al.* 2014).

Pour la série de tessons attribués à la période antique, huit tessons font partie des céramiques communes, à pâte grise ou blanche. Un seul très petit tesson atteste

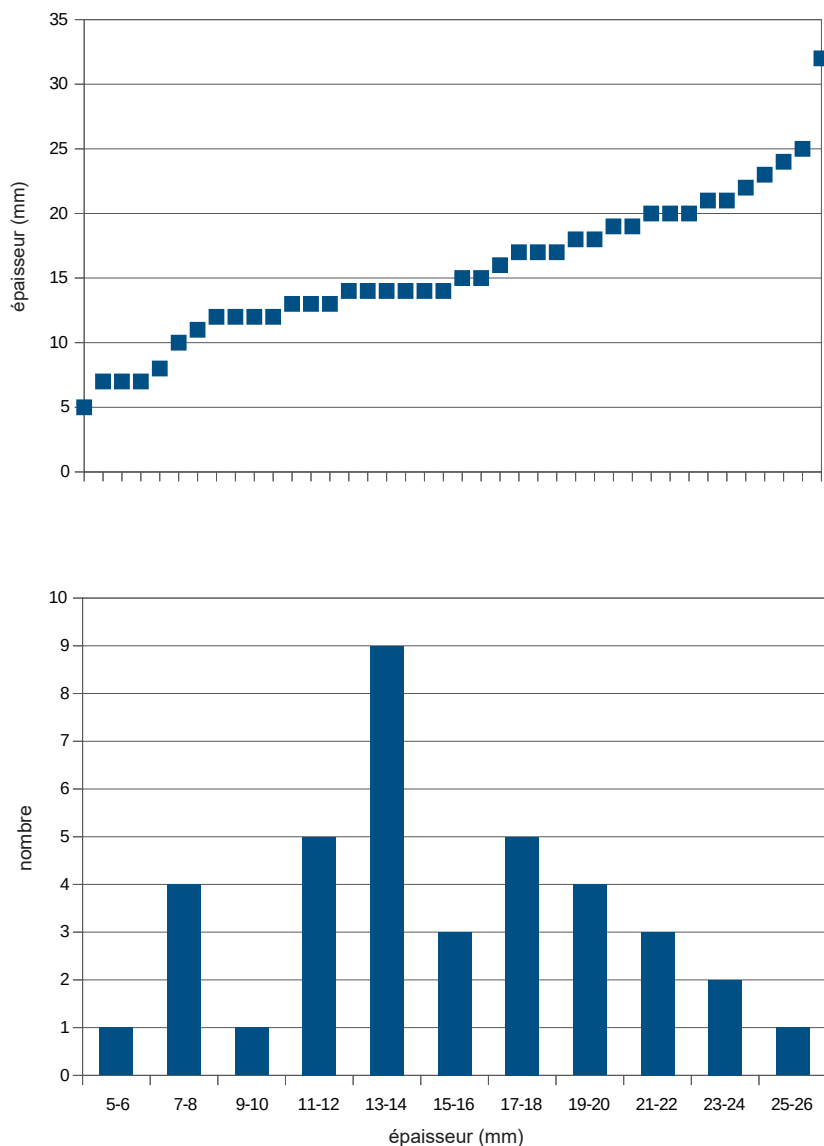


Figure 4.13 – Ablis - « les Genêts ». Mobilier en terre cuite : épaisseur des terres cuites architecturales, par valeur croissante et par classe arbitraire de 2 mm. DAO A. Hauzeur.

un bord éversé (PT273). Deux tessons épais (épaisseur 25 mm) pourraient faire partie de vases de stockage de type dolium (PT48 et PT224). Enfin un tesson à paroi lissée et engobe blanche appartient sans doute à un vase de stockage, et a été possiblement reconverti en peson de fortune (PT105).

La période antique est mieux représentée par les éléments de terre cuite architecturale (TCA), dont six proviennent de la structure ST4 (pl. 4.2). Avec une masse pondérale moyenne de 32 g, certains éléments sont petits et donc difficiles à identifier, tant au niveau de leur catégorie fonctionnelle que chronologique. En effet certains éléments

pourraient bien être des terres cuites architecturales du Moyen-Âge et faire partie des productions locales de Dourdan, notamment les fragments en pâte rouge (Claude 2009).

La série se caractérise par des cuissons oxydantes, donnant des couleurs de pâte variant du blanc au rouge, des pâtes essentiellement dégraissées au calcaire pilé (N = 19) ou avec du sable souvent à grains fins (N = 27), deux étant de composition mixte. Les épaisseurs des fragments mesurés sont variables et s'étalent entre 5 et 32 mm (fig. 4.13), avec toutefois une plus grande fréquence vers 12-14 mm et une autre vers 17-22 mm.

Outre les quelques fragments éventuels de TCA, le Moyen-Âge est représenté par deux petits tessons en céramique vernissée, à glaçure verte (PT584) et verte et jaune (PT403). Leur attribution chronologique au XIV<sup>e</sup> siècle assure une forme de cohérence avec la présence de fragments de tuiles en terre cuite rouge, dont la production est située entre les XIII<sup>e</sup> et XIV<sup>e</sup> siècles à Dourdan.

Le mobilier classé en terre cuite regroupe quelques éléments de torchis, contenant des éléments végétaux. L'un des fragments comporte également des traces de baguettes, vestiges d'un montage indéterminé en clayonnage (pl. 4.2, PT155). Ces fragments de terre façonnée cuite ne sont malheureusement pas datables.

#### Répartition spatiale

En première analyse, les trois principales catégories de terre cuite – céramique, terre cuite architecturale (TCA) et autre terre cuite comme les fragments de torchis brûlés – se répartissent de façon ubiquiste dans les zones de densité de mobilier (fig. 4.14). Les fragments de TCA sont néanmoins plus concentrés

au niveau des seules structures de l'emprise, comme la grande fosse d'extraction ST4.

L'analyse spatiale, croisée avec les données chronologiques, montre une tendance générale à une distribution ubiquiste des objets, sans concentration particulière d'une période donnée, si ce n'est au niveau de la fosse d'extraction où se trouve la majorité des fragments de TCA antique et aux abords de la grande dépression à l'est de l'emprise (fig. 4.15). Cette concentration de mobilier antique au niveau de cette vaste dépression pourrait avoir un lien avec celle-ci et, à défaut d'autres arguments, la considérer comme faisant partie des vestiges antiques mis au jour sur l'emprise.

En projection verticale, le mobilier en terre cuite ne montre pas non plus d'organisation stratigraphique entre celui de la Préhistoire récente (« Néo/Proto »), de la période antique ou du Moyen-Âge (fig. 4.16). En effet l'ensemble du mobilier, quelle que soit la période chronologique, se trouve compacté dans la même nappe stratigraphique, dans une même unité pédo-

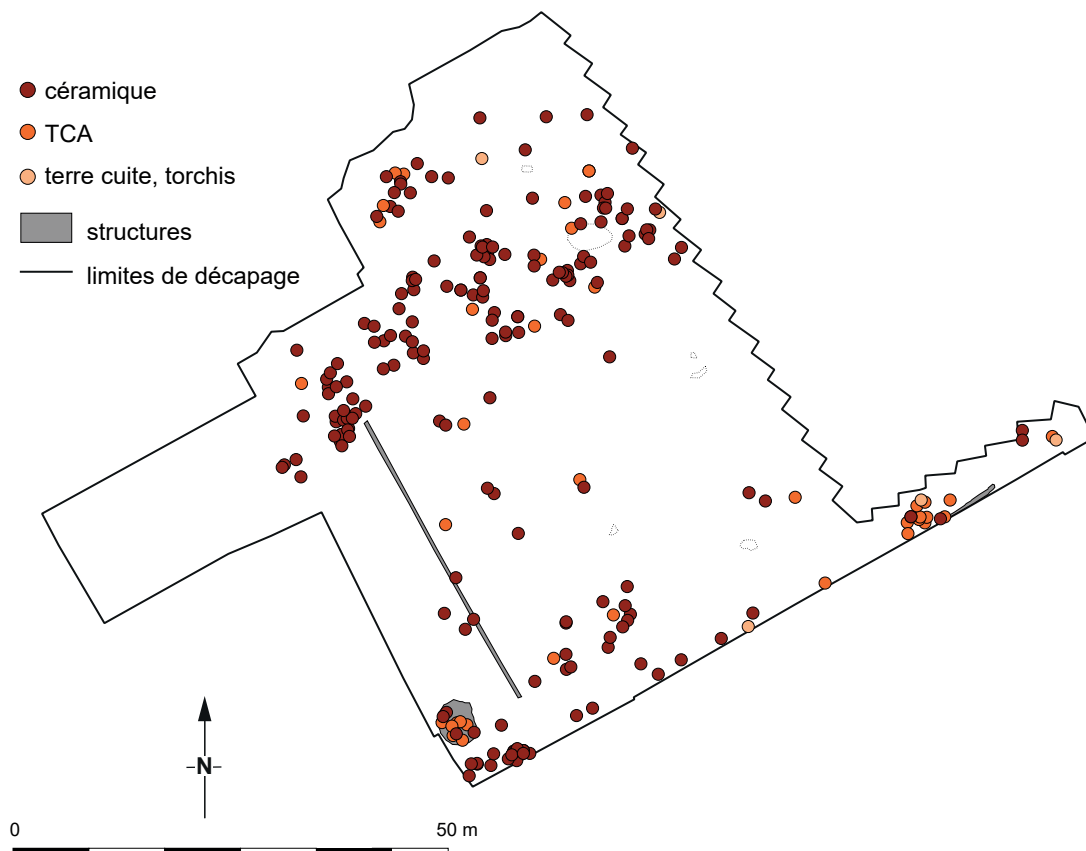


Figure 4.14 – Ablis - « les Genêts ». Mobilier en terre cuite. Répartition spatiale des objets topographiés selon les catégories de matériau. DAO A. Hauzeur.

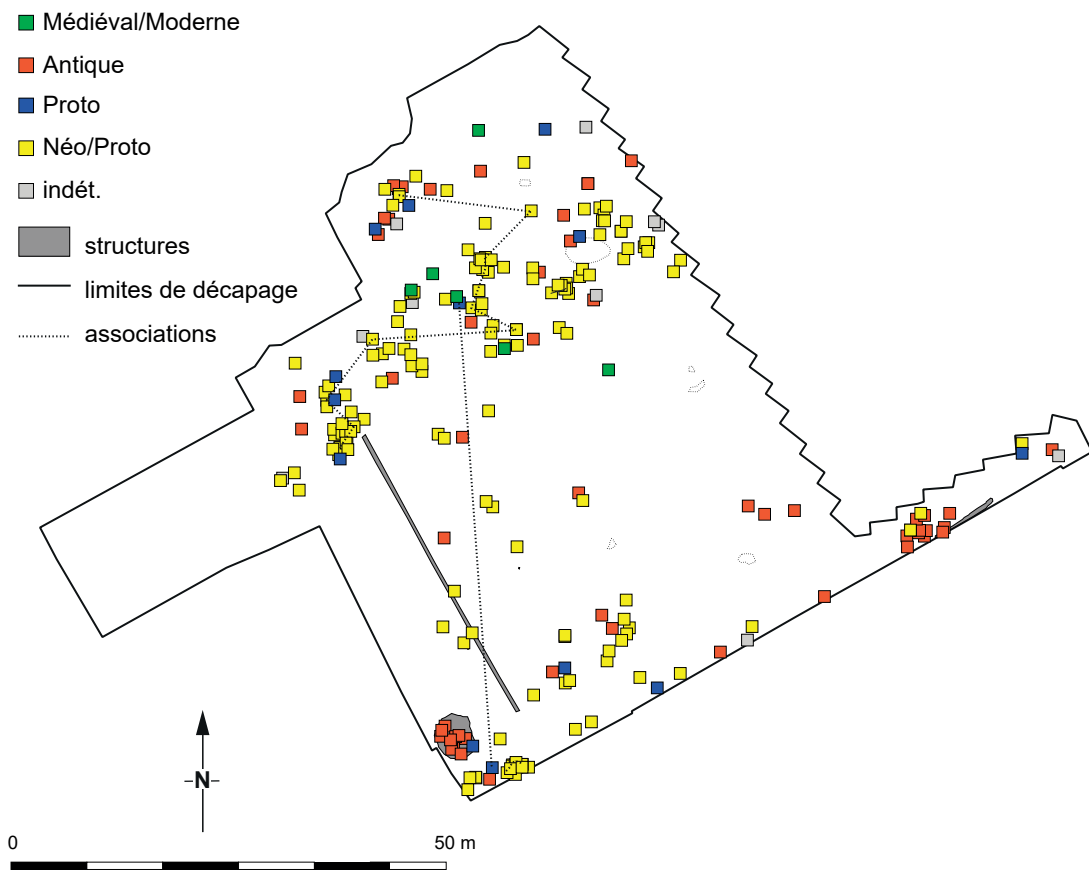


Figure 4.15 – Ablis - « les Genêts ». Mobilier en terre cuite. Répartition spatiale des objets topographiés selon les attributions chronologiques et matérialisation des appariements céramiques. DAO A. Hauzeur.

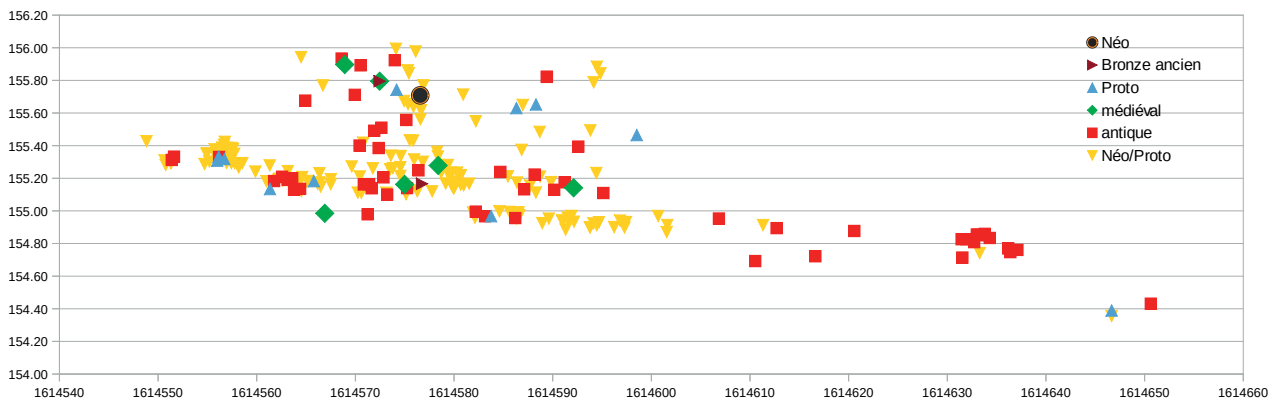


Figure 4.16 – Ablis - « les Genêts ». Mobilier en terre cuite. Projection verticale des objets topographiés selon les attributions chronologiques et selon un axe arbitraire O-E. DAO A. Hauzeur.

sdimentaire. Par sa position verticale, le mobilier en terre cuite ne témoigne pas d'un site stratifié.

Si l'on considère les rapprochements morphologiques de certains tessons d'un point de vue spatial, en posant comme hypothèse de travail leur corrélation, leur dispersion sur l'emprise fait état d'une dispersion plus ou moins prononcée selon les appariements retenus. Qu'ils soient proches ou plus éloignés, ces derniers ne montrent pas de dispersion préférentielle et de toutes les façons sont trop peu nombreux pour discuter de cet aspect. Quant au rapprochement effectué entre PT115 et PT651, il indique une distance de plus de 60 m entre les deux tessons ce qui paraît considérable pour un déplacement naturel. Soit il s'agit d'un déplacement artificiel de cause inconnue, soit il s'agit en réalité de deux tessons appartenant à deux récipients différents mais stylistiquement proches.

En résumé, le corpus céramique atteste plusieurs périodes présentes sur l'emprise, avec une propension pour les récipients à usage culinaire ou de stockage plutôt qu'à la vaisselle fine à usage domestique, et ce quelle que soit la période chronologique considérée. En ce qui concerne l'attribution chronologique, la série « Néo/Proto » pourrait se ranger dans une fourchette temporelle entre le Néolithique final et le Bronze ancien, sans exclure d'autres intervalles de temps. La terre cuite architecturale témoigne de la présence de vestiges d'habitat ou de reliquat de fabrication pour les périodes antiques et médiévales. Dans l'ensemble, le mobilier en terre cuite est peu abondant et ne

montre aucun signe d'un habitat ou d'une organisation villageoise *in situ*, mais relève d'indices de sites proches, dont les vestiges les plus probants sont les structures d'extraction de l'Antiquité.

#### 4.3.3. Le mobilier en pierre

Parmi les 297 pièces en pierre, 252 sont en silex ou en silexites et seulement 45 sont en d'autres roches que le silex : 33 en conglomérat, 7 en grès, 3 en calcaire, une en silcrète et un galet. L'ensemble de ce mobilier est soumis au même questionnement que pour la terre cuite, sur son degré d'homogénéité chrono-culturelle, sa répartition spatiale en plan et en stratigraphie, sur son statut socio-économique.

##### Les objets en silex, silexite et silcrète

Parmi le mobilier en roches siliceuses, 30 débris et 14 blocs ont été récoltés et géoréférencés. Ces écofacts et fragments indéterminés ont si peu de pertinence dans le cas d'une caractérisation typo-fonctionnelle et chronologique de l'industrie lithique qu'ils ont été écartés de l'étude. Il reste donc 208 objets, qui se répartissent essentiellement en produits de débitage (89 %) et qui comptent 23 produits transformés, allant du simple grignotage des bords par utilisation au fragment de lame de hache polie (fig. 4.17).

Afin d'essayer au mieux de caractériser cette série, ce seront les objets les plus susceptibles de fournir des indices chronologiques qui seront d'abord présentés, suivi par les différentes catégories de produits de débitage.

produits transformés, outils	23
nucléus	8
produits techniques	7
très grands éclats (> 80 mm)	7
grands éclats (50-80 mm)	38
éclats (20-50 mm)	89
petits éclats (< 20 mm)	11
lames, lamelles	26
débris	30
blocs	14

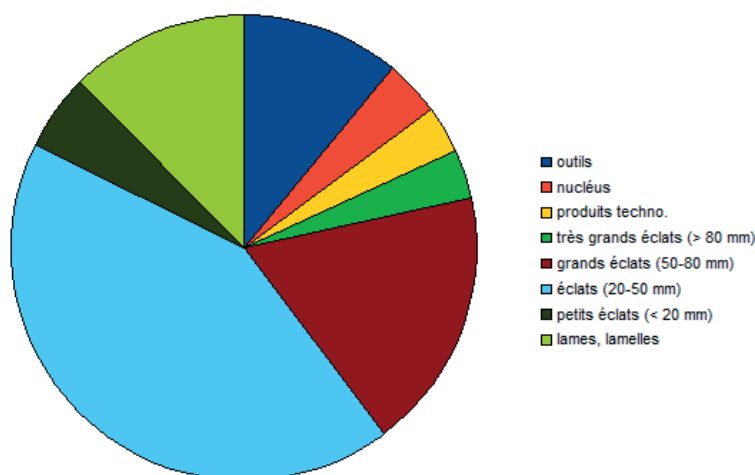


Figure 4.17 – Ablis - « les Genêts ». Décompte global de l'industrie en roches siliceuses (à gauche) et proportion relative des artefacts, hors débris et blocs (à droite). DAO A. Hauzeur.

Les pièces ayant subi des transformations anthropiques sont au nombre de 23 et se répartissent comme suit :

denticulés	4
microdenticulés	4
grattoir	1
éclats ou lames retouchés	5
lames de hache	2
percuteurs	2
abraseur	1
pièce encochée	1
pièce esquillée/martelée	1
fragments indéterminés	2

Cette série, sans présumer de son homogénéité chronologique, ne représente ni un assemblage de type domestique, car il y manque notamment de nombreux grattoirs, ni un assemblage traduisant une activité spécialisée. On notera de surcroît l'absence notoire d'éléments de faucille, de perçoirs, d'armatures de flèche.

Les microdenticulés d'Ablis sont réalisés sur support laminaire (PT51, PT229, PT504, PT521 ; pl. 4.3). Ils sont considérés comme caractéristiques des industries de la fin du 4<sup>e</sup> millénaire et du 3<sup>e</sup> millénaire, selon les régions. Dans le nord de la France, les séries de la fin du Néolithique peuvent en compter plus de la moitié des effectifs (par ex. Piningre 1985). Le choix se porte sur un support allongé, comme à Seclin, mais ce n'est pas systématique. L'unique grattoir sur fragment de lame affiche un front débordant (PT207 ; pl. 4.4). Il s'intègre dans des assemblages tout aussi bien de la fin du Néolithique moyen, que dans ceux du Néolithique récent, comme par exemple ceux du large corpus lithique du site d'habitat du « Pré-à-Vaches » à Morains-le-Petit (Martineau *et al.* 2014, p. 209-211), mais qui sont plutôt réalisés sur des éclats épais. Dans ce cas-ci, il n'y a qu'un seul exemple et l'on ne peut avoir une idée statistique de ce type de production. Les deux fragments de lames de hache polie consistent en un talon retaillé de lames de hache de section biconvexe à bords droits en silex tertiaire jaune (PT536 ; pl. 4.5) et en une « lame » de retaillage de lame de hache polie en silex brun translucide du Turonien inférieur (PT681 ; pl. 4.5). Les bords facettés signent les modèles les plus récents de lames de hache et semblent former une constante dans les corpus du Néolithique récent, en particulier dans des séries numériquement importantes de produits finis à usage domestique (Martineau *et al.* 2014, p. 213-215).

Sur les huit nucléus présents sur le site et non transformés *a posteriori*, un seul est réalisé dans un silcrète blanc, silicifié pédogénétiquement et que certains archéologues ont baptisé « opale-résinite » (PT416 ; pl. 4.6). Ce matériau renvoie immédiatement aux travaux sur les gîtes de la région de Muides-sur-Loire (Iribarria 1995). Par contre les processus de silicification par pédogénèse ne sont pas l'apanage de cette région (Blanchard, Forré 2003).

Ce matériau est unique sur le site et la morphologie du petit nucléus à lamelles de moins de 3 cm le placerait soit au Mésolithique (par ex. Verjux 2014, fig. 51), soit dans les industries à lamelles néolithiques de la deuxième moitié du 4<sup>e</sup> millénaire. Si ces industries sont fréquentes dans le sud de la France (par ex. Fouéré, Dias-Meirhino 2008), la présence de petits nucléus à lamelles est attestée dans les séries du Bassin parisien, notamment et toujours avec le même site de comparaison, à savoir le « Pré-à-Vaches » (Martineau *et al.* 2014, p. 217). La diffusion du silcrète blanc de la région ligérienne s'étale sur les 4<sup>e</sup> et 3<sup>e</sup> millénaire avant notre ère, en particulier les petits nucléus à lamelles (Fouéré, Dias-Meirhino 2008, p. 233). Les autres nucléus sont le résultat de l'exploitation du silex du Turonien inférieur ou du silex tertiaire Bartonien (pl. 4.6-4.7). Lorsque le débitage est avancé, les stigmates des enlèvements témoignent de la recherche de produits allongés courts, éclats ou lames, obtenus avec peu d'investissements. La mise en forme des blocs est sommaire, avec un minimum de préparation du plan de frappe et du cintre. Le nucléus prismatique PT641, réutilisé en percuteur, possède les mêmes caractéristiques typo-technologiques. Le peu d'investissement technique et la morphologie des nucléus suggèrent une attribution aux phases les plus récentes du Néolithique, voire au début des âges des Métaux. Les blocs en silex bartonien sont à peine débités et ne permettent pas de s'aventurer dans des interprétations typo-chronologiques.

Les produits techniques sont rares : sept pièces au total, réparties en éclats de ravivage ou d'entretien des cintres et plans de frappe (N = 5 ; pl. 4.8, PT 631), essentiellement en silex du Turonien inférieur, une lame à crête en silex tertiaire bartonien (PT509 ; pl. 4.8) et un fragment de nucléus ou éclat épais d'entretien, également en silex bartonien. Ces pièces témoignent au minimum de la réfection ou de l'entretien des nucléus sur place.

De manière globale et sans considération chronologique, les produits bruts de débitage totalisent

171 pièces (fig. 4.17). Sans surprise, ce sont les éclats qui sont majoritaires avec 84 % des déchets bruts. Cette catégorie est dominée par les éclats de taille moyenne, entre 20 et 50 mm de gabarit hors tout, alors que les éclats de très grandes dimensions sont rares et que la fraction fine (inférieure à 20 mm) est particulièrement indigente. Si le décapage mécanique peut être un motif de sous-représentation de cet effectif, l'impression d'un manque dû à d'autres facteurs, comme le ruissellement, n'est pas à mettre en doute. Huit des 11 pièces sont en silex tertiaire ; ils sont quasiment tous fragmentés et sans cortex. Les éclats de taille moyenne (20-50 mm) présentent également un taux de fragmentation élevé (71/89 pièces, soit 80 %), traduisant sans doute une histoire post-dépositionnelle mouvementée. 50 sont sans cortex, 32 avec une plage corticale et sept seulement avec une plage corticale dépassant 80 % de la surface dorsale. Deux seulement ont été considérés comme des éclats de façonnage de pièces bifaciales (PT99 et 244 ; pl. 4.8). 56 d'entre eux sont en silex tertiaire, y compris les deux éclats de façonnage, et 29 en silex du Turonien inférieur ; le restant étant indéterminé ou anecdotique. Dans cette catégorie dimensionnelle, les talons se décomptent comme suit : 16 lisses, dont quatre au moins témoignent de la percussion indirecte avec une lèvre marquée, 9 punctiformes, 6 dièdres, 2 facettés et 2 linéaires. Douze portent des traces de chauffe. Les grands éclats (entre 50 et 80 mm) rassemblent 38 pièces, dont 26 sont brisées, trois portent des traces de chauffe et 9 ont été identifiés comme éclat de façonnage. Les faces supérieures sont sans cortex pour 16 d'entre eux, à plage corticale pour 20 et avec un cortex couvrant plus de 80 % de la surface pour deux seulement. Les talons sont en majorité lisses (N = 16), punctiformes pour cinq pièces, facettés dans trois cas, dièdre dans un seul. Les indices de percussion indirecte sont également présents. Au niveau des matières premières, le silex tertiaire prédomine avec 27 pièces, en majorité en silex bartonien « jaune ». Le Turonien est minoritaire avec 10 pièces. Cette observation est sans doute liée à la qualité des matériaux récoltés et/ou disponibles. En effet, les blocs de silex du Turonien inférieur sont plus petits, comme en témoignent les nucléus dont trois sur quatre portent encore des plages corticales. Il n'y a pas de nucléus en silex bartonien, mais cette matière première est disponible en plaquettes ou en dalles de plusieurs dizaines de centimètres. Enfin les très grands éclats dépassant les 80 mm de gabarit dimensionnel hors tout sont rares et presque tous en silex tertiaire Bartonien gris mat, ce qui crédite l'hypothèse de taille liée à la matière première. Ils portent quasiment tous une plage corticale et ont des talons lisses.

Les produits laminaires (N = 26 ; pl. 4.8), sont en majorité réalisés aux dépens du silex du Turonien inférieur (N = 19), pour seulement quatre en silex bartonien, gris ou « jaune ». Il n'y a aucune lamelle. Les 18 pièces fragmentées sont essentiellement des parties médianes (N = 9) ou proximales (N = 4), voire proximo-médianes (N = 4). À l'exception d'un talon dièdre – et ce n'est sans doute pas un vrai dièdre au sens technique du terme – tous les supports ont un talon lisse. Les lames entières ou fragmentées sont à deux ou trois pans, avec des largeurs observées comprises entre 17 et 35 mm pour le plus large tronçon. Quinze lames ou fragments sont sans cortex, 10 partiellement corticales et aucune avec une plage dépassant les 80 % de la surface dorsale.

Ces observations sur les produits bruts permettent de constater qu'il y a une recherche de produits allongés, laminaires, pour le silex du Turonien inférieur, corroborée par la présence de lames et de nucléus dans ce matériau. Au contraire, le silex tertiaire à altération jaune semble avoir été un matériau sélectionné pour la confection de pièces bifaciales, en témoignent les quelques éclats de façonnage et le fragment de lame de hache polie, retaillé. Quant au silex bartonien, de couleur grise à violacée et à zonation parfois marquée, il a été débité pour en tirer des éclats. Ces trois matériaux sont liés à trois productions différentes, posant la question de leur homogénéité chronologique. La diversité des approvisionnements multidirectionnels est un trait chrono-culturel du Néolithique final du Nord-Ouest (Ghesquière, Guyodo 2008, p. 120-124), avec des séquences de débitage peu élaborées, une recherche de supports allongés mais courts ou d'éclats, une abondance de grattoirs concurrencée par celle des microdentculés. Ce type de comportement économique pourrait très bien s'appliquer au mobilier d'Ablis - « les Genêts », mais l'éloignement géographique est un facteur limitatif pour les comparaisons. Dans le centre du Bassin parisien, plusieurs points communs ont été soulignés avec des ensembles du Néolithique récent, tel le « Pré-à-Vaches » à Morains-le-Petit, ce qui permet d'envisager un intervalle chronologique plus large pour la série ablisienne ou la non-contemporanéité des différents types de production. Les points communs comme les divergences peuvent s'étendre à toute la zone périphérique à la région concernée. Le seul point de conclusion qui reste est une fourchette chronologique large, entre le Néolithique récent et le Néolithique final. Sans ensemble clos, ni plan structuré de zone d'habitat, et avec des pièces peu nombreuses, toute

attribution précise relèverait d'un tri peu objectif, d'autant que les autres types de structures et de mobiliers font état d'une réelle diversité temporelle.

### Les objets en roche autre que le silex

Le matériau le plus fréquemment rencontré sur le site - outre les silexites - est un conglomérat de type poudingue, qui se caractérise par de très nombreux nodules de silice de taille et de couleur variées, plus ou moins triés et cimentés par un sable grossier. Ce type de matériau évoque le « poudingue d'Auneau », à galets cimentés par un sable grésifié d'origine stampienne (Bricon, Menillet 1971, p. 10). Ils affleurent dans toutes les vallées et sont accessibles à moins de trois kilomètres du site vers le nord, à moins de sept kilomètres vers l'est et le sud-ouest. Sur une échelle de granoclassement établie pour les roches meulières françaises (Fabre *et al.* 2006), l'indice est 1, soit une granulométrie étendue. Excepté une sorte de « boulet » cubique (PT392, pl. 4.9), tous sont des fragments dont la masse varie entre 19 et 3822 grammes. Parmi ces 32 objets, l'un d'eux porte des traces d'enlèvements de matière et a été considéré comme « nucléus » (PT17 ; pl. 4.9). Quatorze autres fragments sont des parties d'instruments à surface piquetée et à usure couvrante : huit appartiennent à des meules dormantes et trois assurément à des molettes au vu de la courbure des surfaces utilisées (pl. 4.9-10). Les surfaces d'usure sont tellement lisses et sans stigmates orientés qu'une appartenance de ces fragments à des meules rotatives plutôt qu'à des moulins de type « va-et-vient » est très probable. Quinze autres pièces sont de simples fragments de bloc ou débris, dont certains pourraient avoir appartenu aux instruments de mouture ou de broyage. Sur ces 32 pièces, 21 portent des traces de chauffe plus ou moins intense, jusqu'à rougir, voire blanchir le matériau.

La présence de ce type de matériau dans lequel ont été réalisés plusieurs instruments de mouture, de broyage ou d'abrasion interpelle à plus d'un titre. Si la catégorie d'outils ne fait aucun doute, sa datation est nettement plus hypothétique. En effet ce matériau n'est pas ou peu utilisé au Néolithique, qui marque une préférence pour les grès, notamment en région parisienne où ils abondent (e. a. Hamon 2004, p. 117-119). Toutefois l'emploi de microconglomérats pour la fabrication d'instruments de mouture ou de broyage est attesté dès la fin du Néolithique dans le Massif central par exemple (Servelle 2006) et se développe durant les âges des Métaux ou l'Antiquité (par ex. Guillier *et al.* 2005 ; Picavet 2011, p. 172-175). Ensuite le nombre

relativement élevé de ces objets dans ce secteur soulève la question de leur relation avec une activité précise, d'autant qu'il n'y a aucun autre indice proche comme des structures d'ensilage. Ils ont par ailleurs subi une chauffe importante et quasi systématique. Si l'on pose l'hypothèse d'une aire de traitement des céréales avec la carbonisation des grains pour assurer leur conservation, leur mouture et le rejet des instruments brisés, alors il faut admettre une érosion importante ayant lessivé toutes ses traces superficielles et emporté le niveau de sol, ne conservant que quelques éléments lourds. S'ajoute le fait que certains éléments remontent (PT139, 140-1 et 143 ; PT147 et 154 ; pl. 4.10) ou sont apparentés (PT140 et 515), ce qui induit une certaine cohérence de ce type de mobilier.

Les sept objets en grès correspondent en majorité à des fragments de polissoir (N = 4) en grès de couleur gris clair à blanchâtre à grains fins de type Fontainebleau (pl. 4.11). Trois d'entre eux appartiennent sans doute au même instrument initial (PT572-574). Un éclat dans le même type de matériau atteste peut-être d'un cycle de réfection (PT747). Enfin un fragment d'outil indéterminé à surface abrasée est réalisé aux dépens d'un conglomérat gréseux à grains de quartz et de silice plus grossier (PT505).

Les trois objets en calcaire sont des blocs naturels de calcaire coquiller que l'on trouve localement dans la formation miocène des Calcaires de Beauce (PT678, 679 et ST4).

### Répartition spatiale

Quelle que soit l'option prise d'un mobilier lithique plutôt homogène d'un point de vue chronologique ou au contraire se rapportant à plusieurs périodes, sa répartition spatiale selon différents critères amène à quelques considérations supplémentaires sur son statut taphonomique.

La répartition du mobilier lithique selon différentes familles de roches (fig. 4.18) montre que les familles de silex du Turonien (inférieur) ou du Tertiaire (Bartonien) se trouvent éparpillées sur l'ensemble du site. Une concentration de silex turonien est cependant nettement perceptible dans l'angle SSO de l'emprise, entre la berme et la ST4. Les grès se concentrent par petits lots, dans la partie septentrionale de l'emprise, tandis que les conglomérats de type poudingue, sont également rassemblés par paquets et se retrouvent tant dans la zone méridionale que septentrionale.

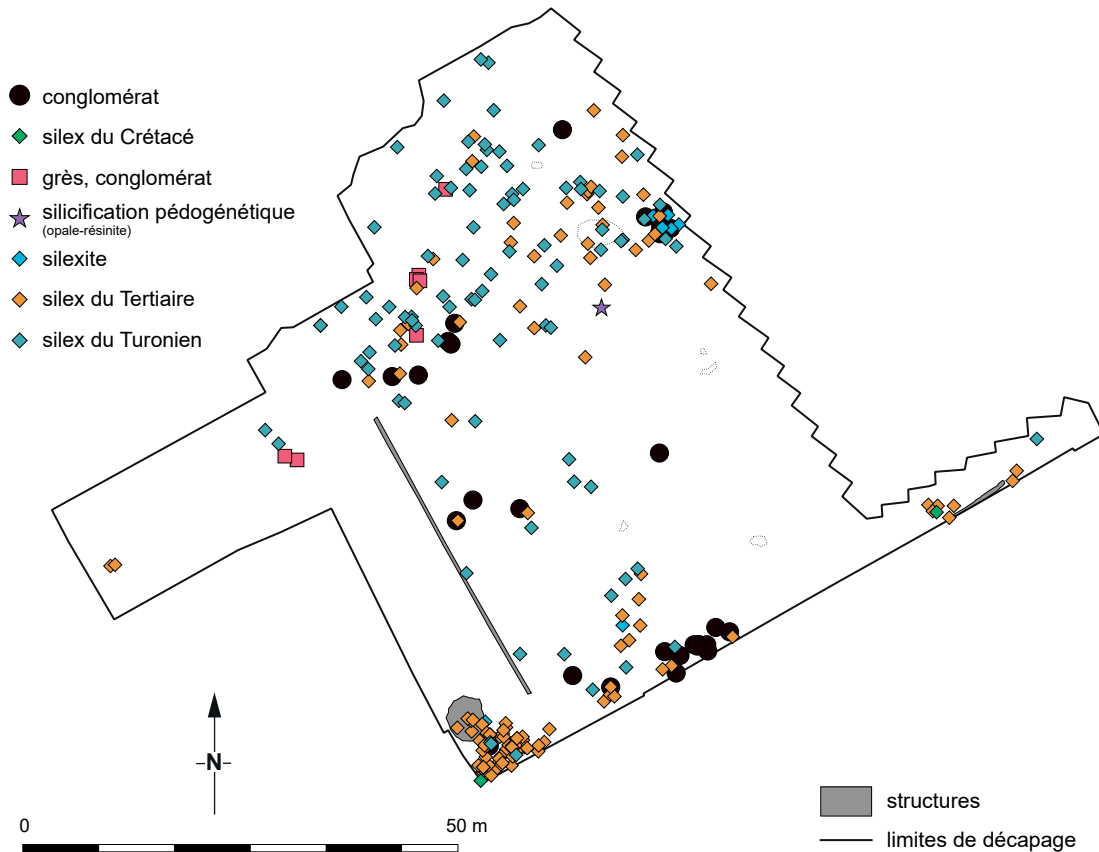


Figure 4.18 – Ablis - « les Genêts ». Répartition spatiale du mobilier lithique par type de roches. DAO A. Hauzeur.

Si l'on examine la répartition spatiale du mobilier selon les grandes catégories d'artefacts, sans considération de matière première, l'ubiquité de leur dispersion est tangible et n'apprend rien sur l'homogénéité de la série ni son organisation typo-fonctionnelle (fig. 4.19). On constatera néanmoins que la concentration de silex turonien dans l'angle SSO de l'emprise concerne des produits de débitage.

Quant à la répartition de l'outillage, en silex et en roches tenaces, elle montre qu'il n'y a aucune préférence géographique pour telle catégorie d'outils et que même les objets diagnostiques, comme les microdentelés, se trouvent dispersés sur l'ensemble de l'emprise (fig. 4.20). Ce n'est pas avec ce nombre restreint d'outils ni leur dispersion que l'on peut en déduire la présence d'un habitat *in situ*. Les remontages et associations de pièces concernent les instruments à face plane et abrasée/polie, comme les meules dormantes, les molettes et les polissoirs, ce sont des pièces géographiquement très proches qui se remontent. Toutefois une association à plus longue distance, entre PT515 et PT139-140-143, est probable. Elle dessine un axe (fig. 4.20) orthonormé par rapport au tracé linéaire ST9 et borde en quelque

sorte l'ancien parcellaire napoléonien (fig. 4.5). Il pourrait s'agir d'un déplacement occasionné par les engins agricoles labourant dans le sens de la parcelle, si toutefois il s'avérait être initialement deux morceaux d'une même pièce.

#### 4.3.4. Le mobilier en métal

Les objets métalliques récoltés au décapage sont au nombre de 11. Ils sont rares et très épars sur le site. La série comprend quatre fragments de scorie, deux clous (PT177 et 419) et deux fragments ferreux indéterminables, appartenant soit à une pièce de harnachement, ou encore de machine agricole. L'un des clous est à tête large avec une gibbosité centrale ; il pourrait correspondre à un ornement mobilier, situés entre les périodes antique et moderne.

#### 4.4. Discussion

Après l'examen des vestiges archéologiques de toute nature, force est de constater que le bilan est succinct et limité. Pour ce qui est de la cohérence des vestiges,

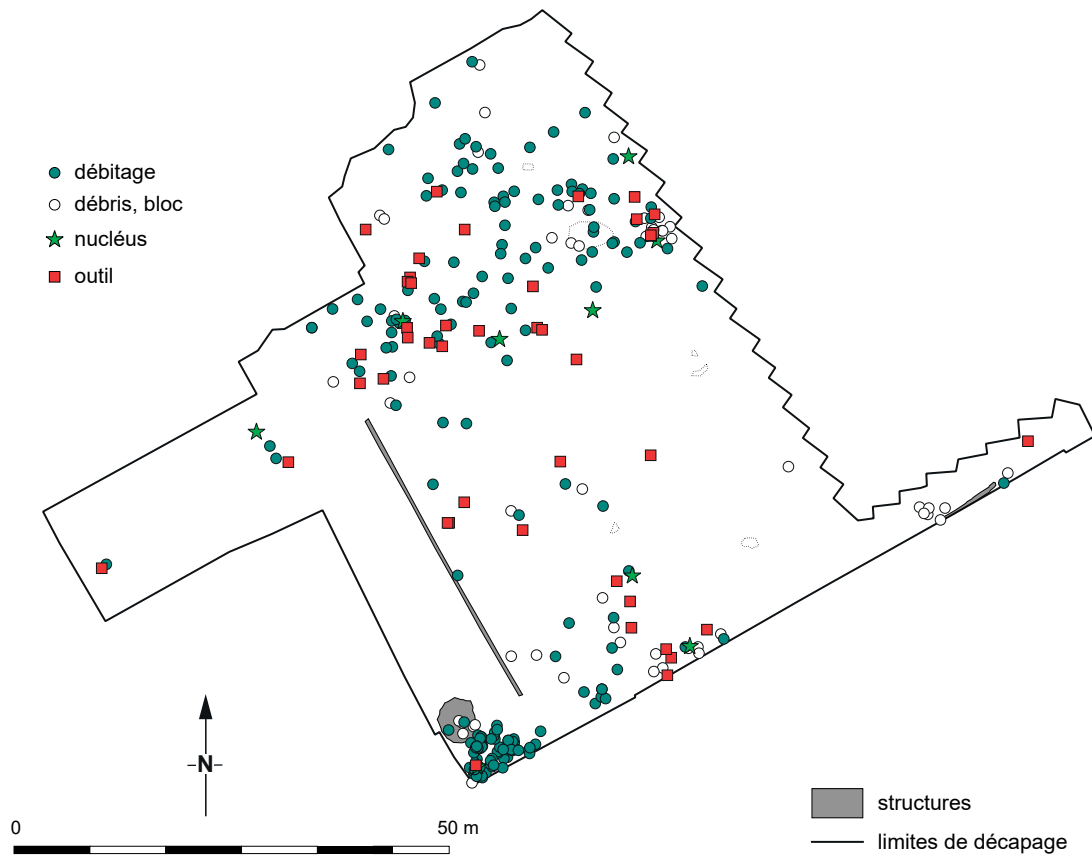


Figure 4.19 – Ablis - « les Genêts ». Répartition spatiale du mobilier lithique par catégorie d'artefacts. DAO A. Hauzeur.

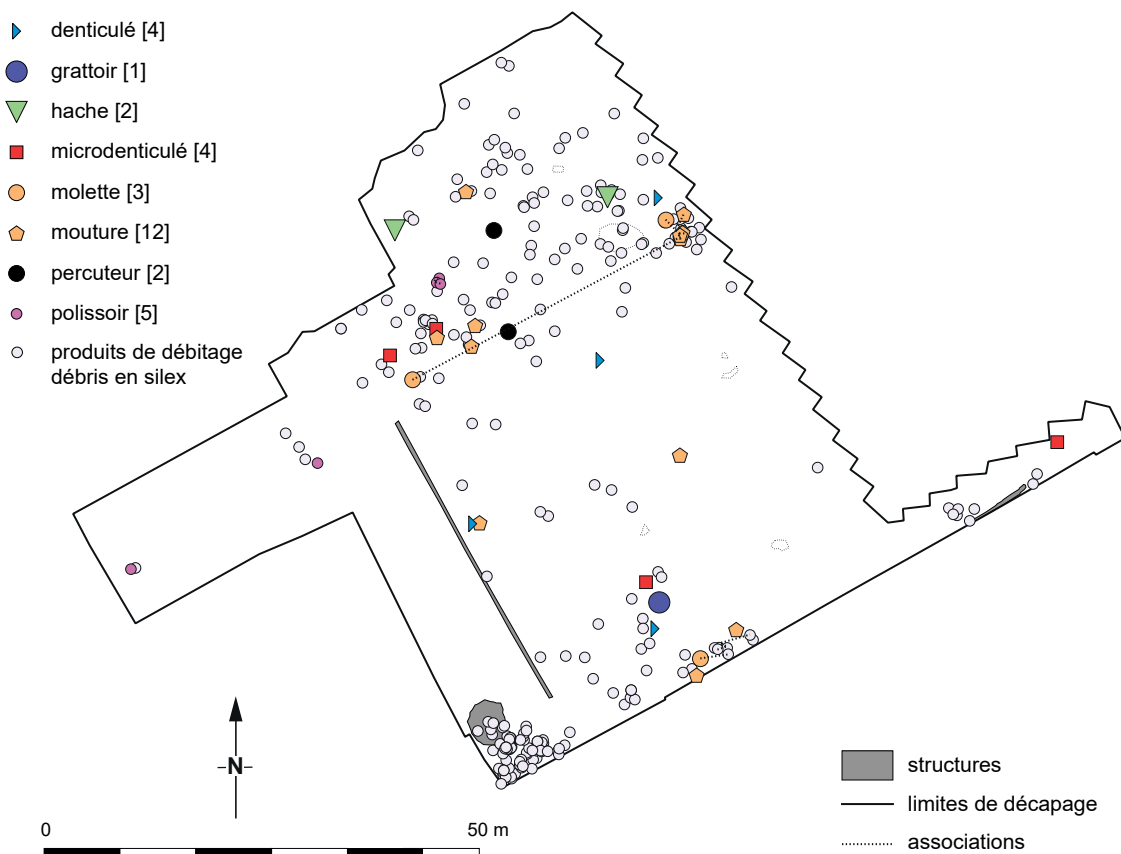


Figure 4.20 – Ablis - « les Genêts ». Répartition spatiale du mobilier lithique par classe typologique. Les remontages et associations sont matérialisés par un trait pointillé. DAO A. Hauzeur.

nous avons au moins des structures antiques (fosse d'extraction et parcellaire), quelques tessons céramiques et des fragments de terre cuite architecturale qui forment un ensemble, attestant la présence vraisemblable d'une zone artisanale (fosse d'extraction) plutôt que d'une zone d'habitat. Cela fait partie sans doute de la vaste implantation antique mise en évidence par les diagnostics et les fouilles antérieures dans et autour du village actuel d'Ablis. De même les quelques rares et petits vestiges de la période médiévale sont en accord avec l'histoire du village.

À propos des vestiges plus anciens, on retiendra une industrie lithique témoignant non pas d'une unique période mais sans doute de plusieurs occupations dans les environs, que l'on situe entre la deuxième partie du Néolithique récent et la fin du Néolithique. Par ailleurs, la diversité des sources d'approvisionnement n'est pas forcément un critère de diachronie. La présence de récipients céramiques des débuts de l'âge du Bronze n'exclut pas que certains éléments lithiques datent de cette période également, notamment les fragments d'instrument de mouture ou de broyage en conglomérat. Ces derniers, à défaut de formes complètes, pourraient aussi faire partie des ensembles antiques ou médiévaux. Les fragments de polissoir pourraient par contre se rapprocher des fragments de lame de hache polie ou alors avoir fait partie d'autres activités artisanales d'autres périodes. Aucune hypothèse n'est conclusive, d'autant que l'ensemble du mobilier n'est pas en place et qu'il est impossible d'en mesurer l'histoire taphonomique, qui peut également varier selon les catégories d'objets et leur appartenance chronologique.



Planche 4.1 – Ablis - « les Genêts ». Mobilier céramique.  
Relevés, photos, DAO A. Hauzeur.

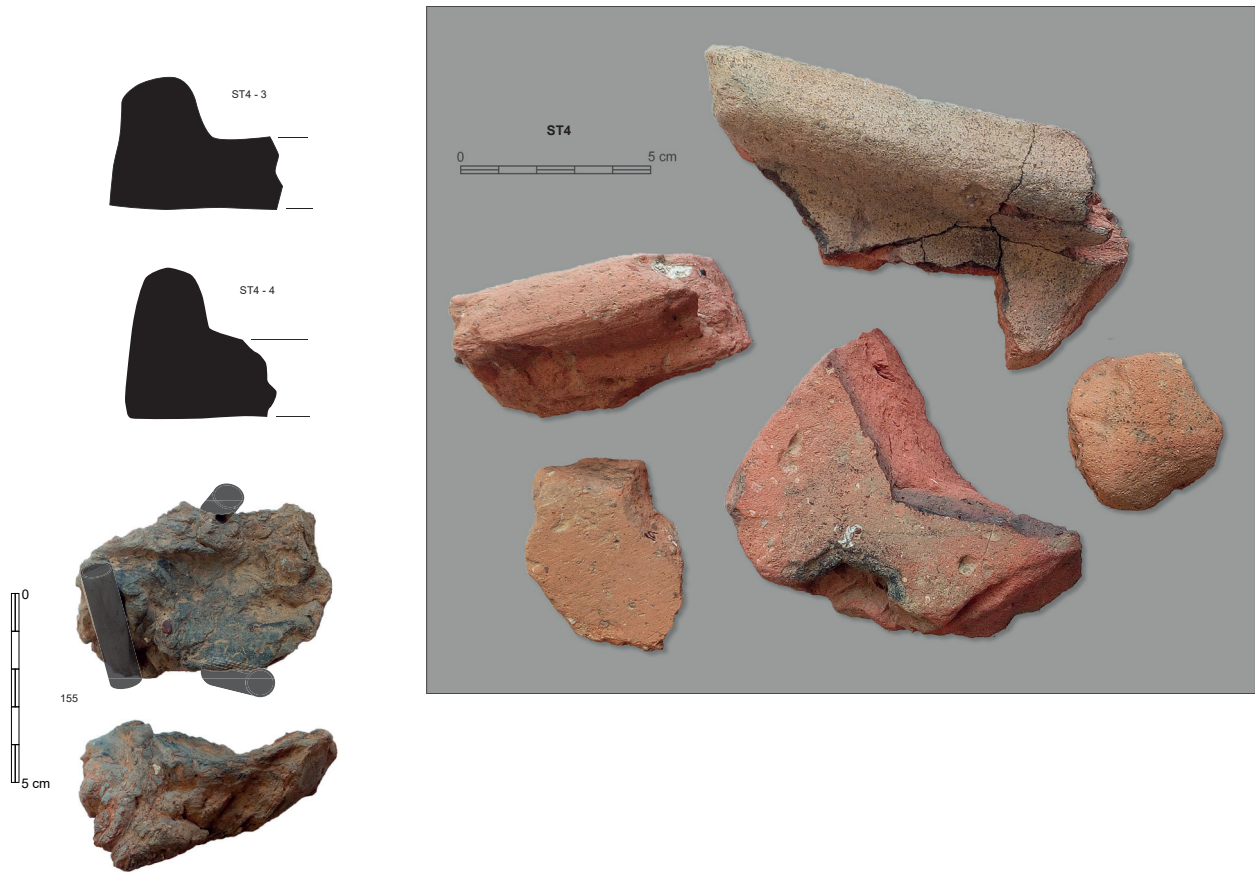


Planche 4.2 – Ablis - « les Genêts ». Mobilier en terre cuite : terres cuites architecturales et torchis.  
Relevés, photos, DAO A. Hauzeur.

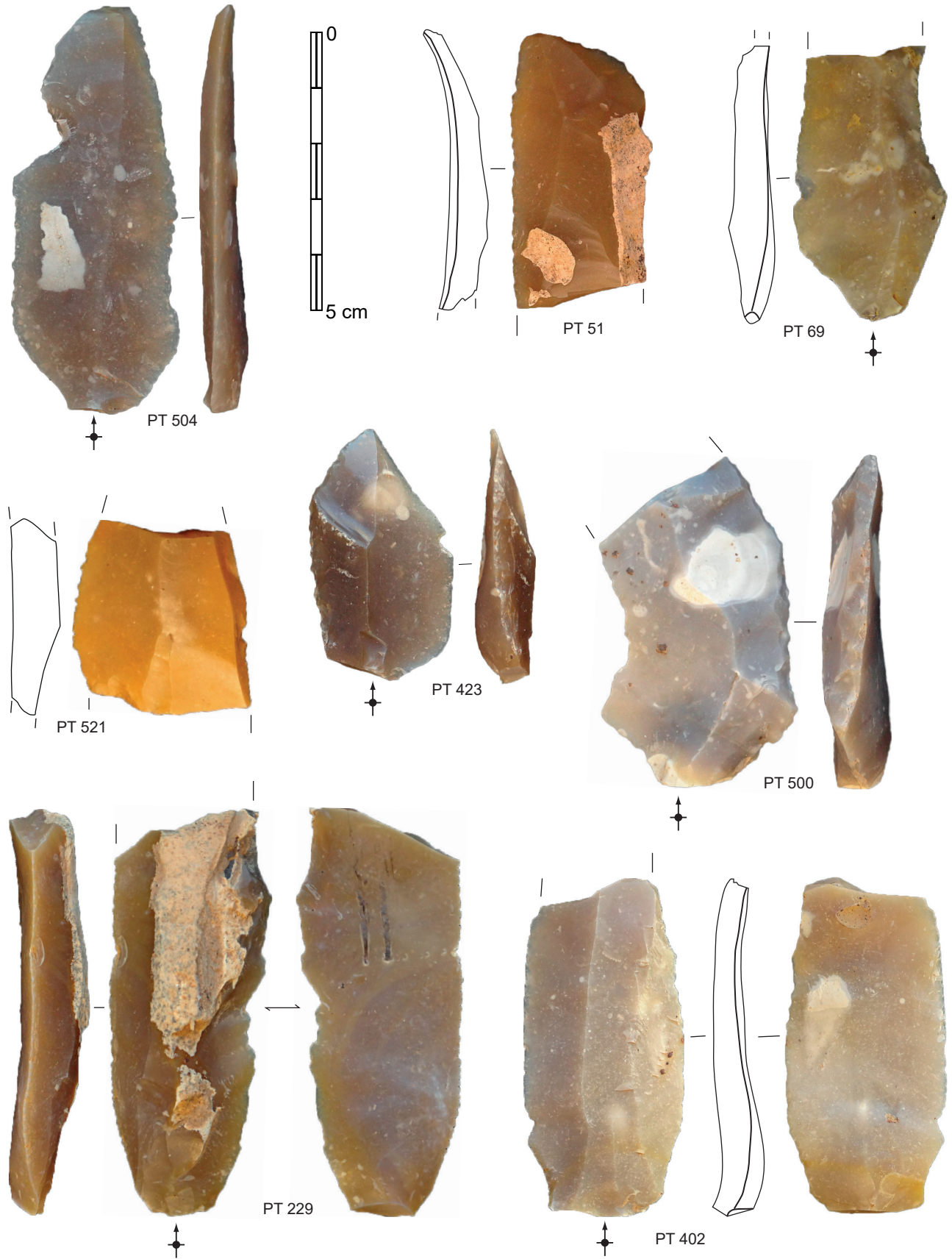


Planche 4.3 – Ablis - « les Genêts ». Mobilier en silex : outillage.  
Relevés, photos, DAO A. Hauzeur.

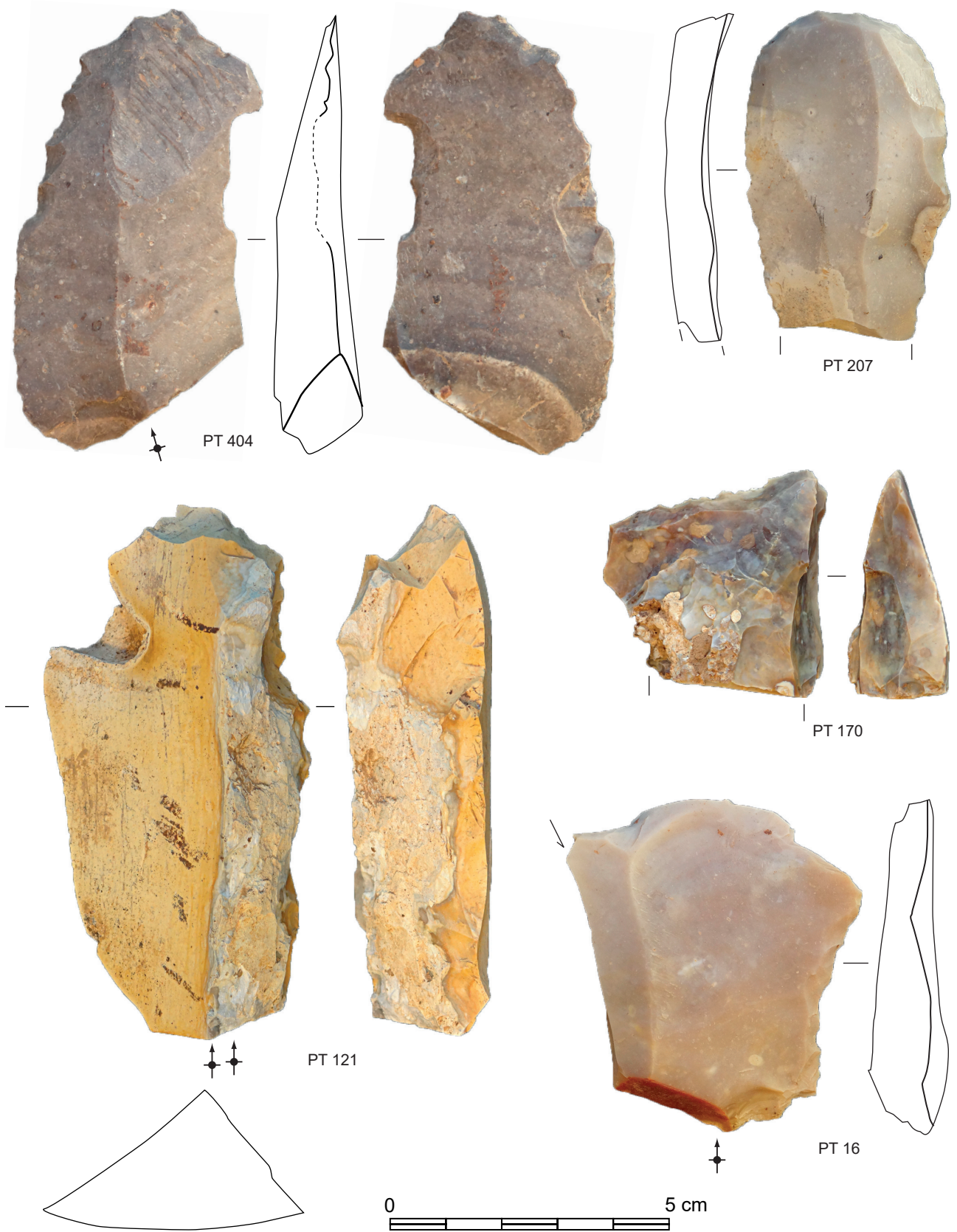


Planche 4.4 – Ablis - « les Genêts ». Mobilier en silex : outillage.  
Relevés, photos, DAO A. Hauzeur.

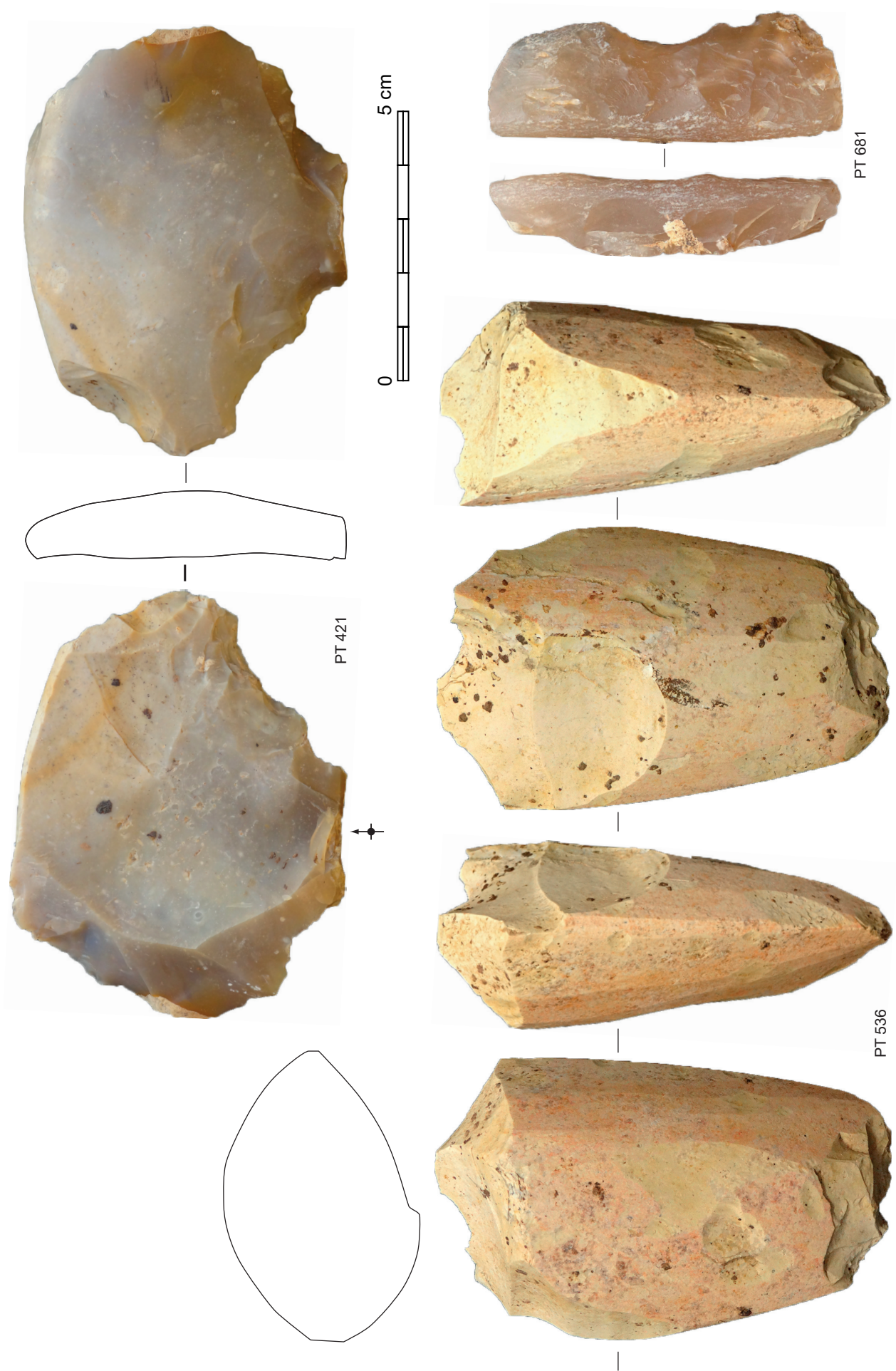


Planche 4.5 – Ablis - « les Genêts ». Mobilier en silex : outillage, fragment de lame de hache polie et lame de retaille.  
Relevés, photos, DAO A. Hauzeur.

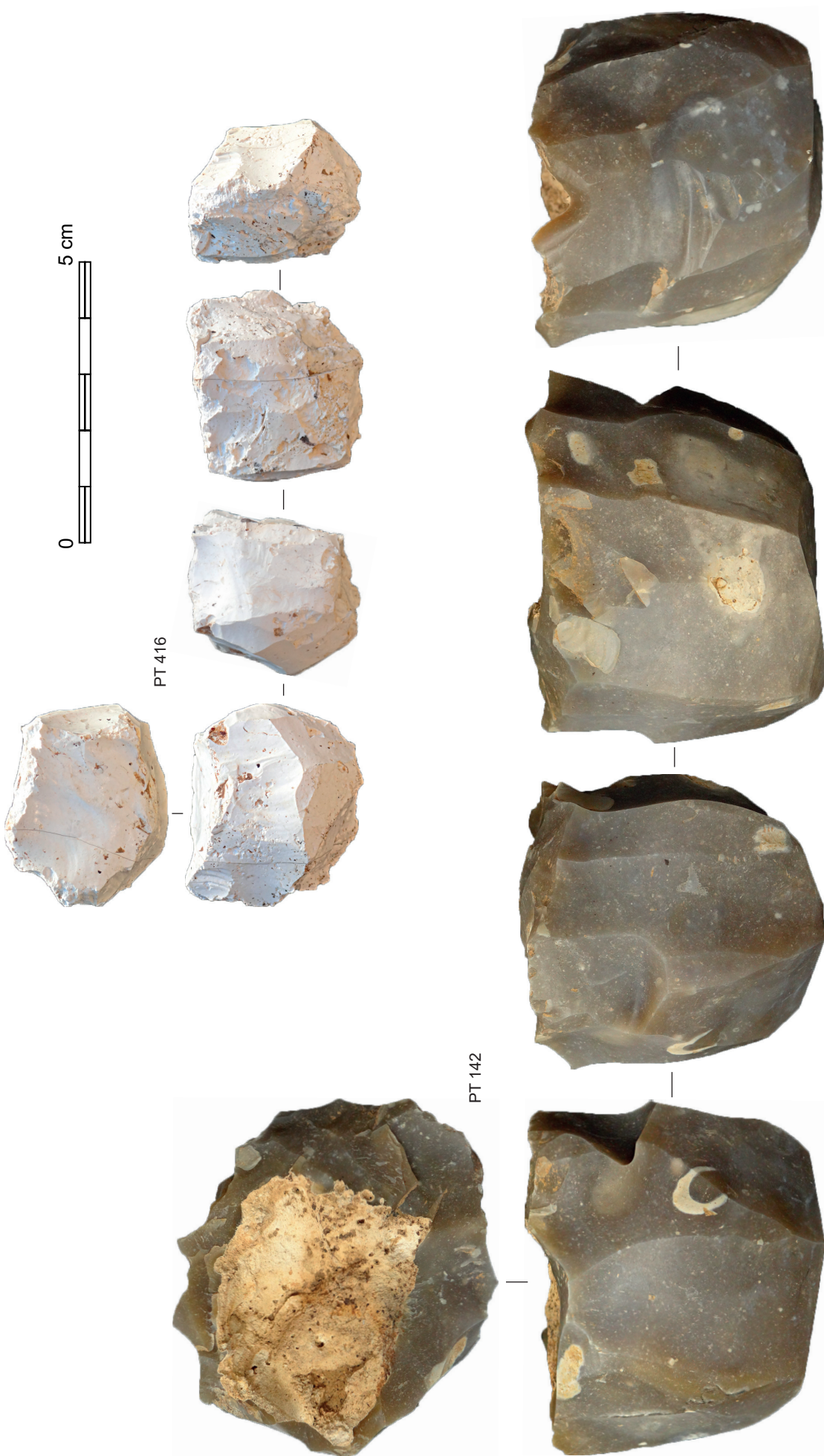
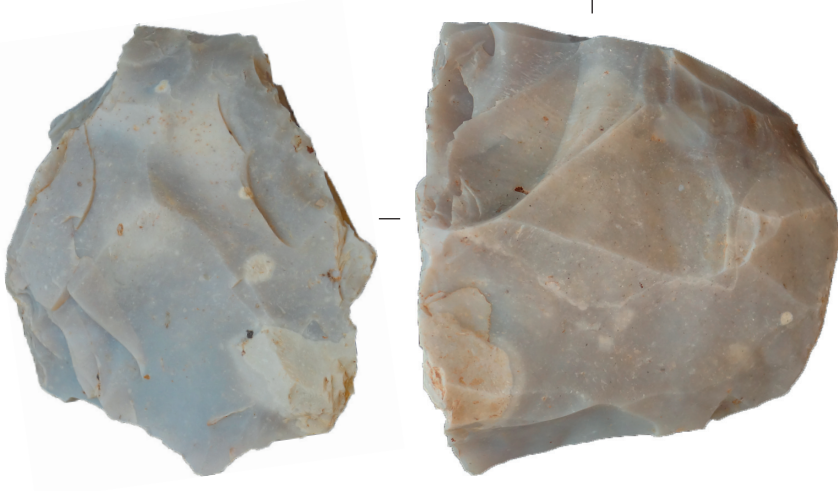


Planche 4.6 – Ablis - « les Genêts ». Mobilier en silex : nucléus.  
Relevés, photos, DAO A. Hauzeur.



PT 508



PT 641



PT 483

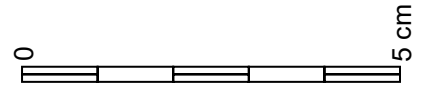


Planche 4.7 – Ablis - « les Genêts ». Mobilier en silex : nucléus et percuteur.  
Relevés, photos, DAO A. Hauzeur.

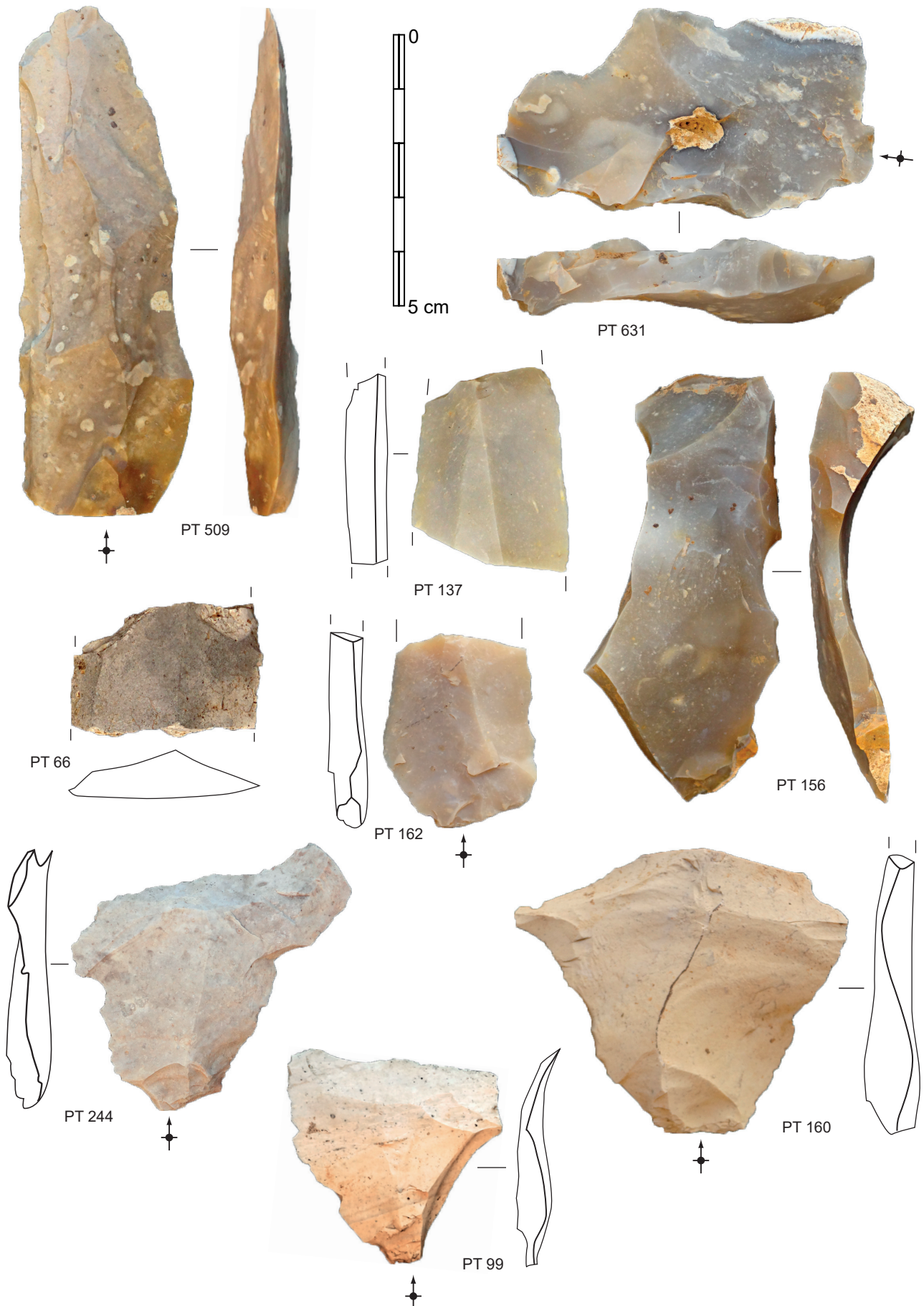


Planche 4.8 – Ablis - « les Genêts ». Mobilier en silex : produits de débitage et de façonnage.  
Relevés, photos, DAO A. Hauzeur.



Planche 4.9 – Ablis - « les Genêts ». Mobilier sur conglomérat à galets de silice.  
Relevés, photos, DAO A. Hauzeur.



PT154 et PT147 •



Planche 4.10 – Ablis - « les Genêts ». Mobilier sur conglomérat à galets de silice : fragments de meule rubéfiés  
Photos, DAO A. Hauzeur.



Planche 4.11 – Ablis - « les Genêts ». Mobilier divers : fragments de molette sur conglomérat à galets de silice; fragments de polissoir en grès. Photos, DAO A. Hauzeur.

## Chapitre 5. Synthèse générale

(Anne Hauzeur et Mathieu Rué)

### 5.1. Rappel de la problématique

La fouille préventive d'une surface de 5340 m<sup>2</sup> au lieu-dit « les Genêts » avait pour principal objectif de questionner l'existence d'éléments en terre crue, dont l'organisation spatiale détermine généralement la présence résiduelle de bâtiments. En temps normal, la reconnaissance d'éléments de terre crue architecturale est liée à plusieurs critères, des plus évidents comme les briques, pains ou autres éléments façonnés, aux moins lisibles, comme la bauge, demandant à être confirmés par un protocole de fouille et des analyses adaptés (de Chazelles 2016).

Si l'existence de constructions en terre, et uniquement en terre, sans autres éléments porteurs comme les poteaux en bois est une évidence en région *circum* méditerranéenne, y compris dans le sud de la France (de Chazelles, Roux 2010 ; Gutherz et al. 2011 ; Sénépart et al. 2015, p. 6-15), pour ne prendre que des exemples les plus proches, leur identification et leur existence même ont été et continuent de nous interroger pour la moitié nord du pays (Issenmann, Nicolas 2016). En effet, dès le Néolithique ancien, la plupart des constructions pérennes sont réalisées sur poteaux porteurs avec des parois en clayonnage et torchis, le tout étant couvert par une toiture végétale (Masuch, Ziessow 1985). Dans les régions de plateaux à couverture loessique, ces bâtiments sont matérialisés par les trous d'implantation des poteaux verticaux, et par des restes de torchis préservés dans les fosses à détritiques parce qu'ils ont été cuits, et parfois par des fragments de parois à enduit intérieur (Hauzeur 2006, p. 78). En cas de forte érosion ou de construction plus légère, seuls ces éléments de terre crue cuite, conjugués à d'autres indices, permettent la reconnaissance de bâtiments et d'attester la présence d'un habitat pérenne. En schématisant, et pour aller à l'essentiel, la répartition spatiale de ce type de mobilier parfois conservé en nappe, indique la position de ces bâtiments, donne une idée de leurs dimensions et permet d'en circonscrire les limites par des « effets de paroi » (par ex. Riche et al. 2016).

Ces dernières décennies ont vu s'étendre la reconnaissance de bâtiments en terre crue dans les

régions tempérées du nord de l'Europe, avec toutes les difficultés d'identification d'éléments architecturaux qui se conservent en principe très mal sous ce genre de climat, en particulier lors de l'abandon des bâtiments construits hors sol et laissés à l'air libre, soumis aux aléas climatiques durant des décennies, voire des siècles. Pour en déterminer la présence, il faut soit des conditions géomorphologiques exceptionnelles provoquant un ensevelissement rapide des vestiges, soit des bâtiments partiellement enterrés, des sols d'occupation préservés ou des « pains de terre » façonnés préservés dans des structures en creux. Pour certains chercheurs, ces éléments sont parfois bien présents, car même s'ils ne sont pas visibles et identifiables à l'œil nu, ils sont reconnaissables par le biais d'analyses micromorphologiques (Onfray, Wattez 2014 ; Cammas 2015).

À Ablis, tous les éléments favorables à ce type de reconnaissance semblaient réunis : des sols préservés avec du mobilier domestique « piégé par l'effondrement de constructions en terre crue » (Brutus et al. 2015, p. 11) des « pains en terre » formant des parois, tant en plan qu'en coupe, voire même des éléments de murs effondrés. Ce site s'ajoutait ainsi à la série des sites beaucerons à éléments en terre crue prétendus conservés comme à Prasville - « la Fosse Blanche » (Bailleux et al. 2015), Sours - « les Friches de Flotville » (Hamon et al. 2014, p. 344-346) ou encore à Gas - « les Grands Noyers » (Noël, Onfray 2015, p. 25-29). Ces découvertes récentes interpellent une partie de la communauté des chercheurs sur le degré de validité des interprétations proposées.

La reconnaissance de terre crue façonnée requiert selon nous une parfaite convergence des résultats pédosédimentaires, taphonomiques et archéologiques pour étayer leur existence. Il ne s'agit pas simplement de détecter des signes d'anthropisation sur quelques lames minces, encore faut-il conforter ces observations avec des données de terrain tangibles et des résultats analytiques complémentaires. Nous avons en effet démontré à Ablis que les faciès observés en lame mince peuvent aussi résulter de l'activité de la faune du sol (cf. infra). La prise en compte des faciès de dégradation

nous semble également indispensable (ils sont très rarement présentés dans les exemples précités, tout apparaît au contraire très bien conservé). Enfin, il nous semble périlleux de réaliser une interprétation *a posteriori* sur des photographies sans être passé sur le terrain comme en témoigne le rapport de diagnostic.

## 5.2. Les résultats de la fouille

L'opération de terrain, sur une emprise décapée de 5340 m<sup>2</sup>, a permis de cerner la question de la reconnaissance d'éléments anthropiques en terre crue, en appliquant différentes méthodes d'examen tant sur le terrain qu'en laboratoire et de dresser une conclusion reposant sur les différents résultats apportés par le contexte pédosédimentaire, par les analyses granulométriques et géochimiques, les mesures de la susceptibilité magnétique, une datation par luminescence, la micromorphologie et l'archéologie.

Nous rappellerons que les conditions générales d'observation et d'étude sur le terrain ont été réalisées dans des conditions climatiques très proches voire similaires à celles du diagnostic. Après un décapage mécanique par passes fines, un rasetage manuel a été opéré sur différents secteurs permettant d'obtenir de larges surfaces lisses pour les observations en plan.

D'un point de vue stratigraphique, l'ensemble de l'emprise révèle une succession de trois principales unités pédosédimentaires induites par l'évolution sur place d'un matériel limono-lössique mis en place au cours du Dernier maximum glaciaire et dont le sommet a été affecté par la mise en culture du plateau. La nature et l'organisation de ces unités permettent de reconnaître sans ambiguïté un profil de sol lessivé (Luvisol typique). L'horizon cultivé se superpose à l'horizon éluvié (unité 1) tandis que le mobilier se concentre au sommet de l'horizon argilique (unité 2). La pente actuelle et passée du terrain est inférieure à 1 %, limitant ainsi le transit des matériaux. Aucun ancien horizon de surface n'a été observé et détecté dans cette séquence, ni sol archéologique construit, ni niveau d'érosion. L'examen des coupes générées par les travaux de viabilisation du lotissement à l'ouest de l'emprise de fouille a par ailleurs montré que cette organisation pédostratigraphique s'étendait bien au-delà de la zone prescrite, conformément à la carte pédologique à 1/100000 (Crahet et al. 1981), confirmant ainsi le caractère ubiquiste des faciès rencontrés.

L'examen de la séquence aux échelles macro- et microscopiques montre en outre que les unités supérieures de la séquence ont été intensément affectées par la bioturbation actuelle et passée, notamment par l'activité des lombricidés. Il s'avère ainsi que la plupart du mobilier découvert s'insère dans la frange bioturbée de l'horizon argilique du Luvisol. La bonne conservation des traits illuviaux argileux au sein de cet horizon ainsi que l'absence d'indicateurs d'érosion suggèrent que la bioturbation (comprenant la remontée de la terre fine en surface et la formation des conduits) constitue le moteur principal de formation de la nappe d'objets, un phénomène bien documenté mais rarement considéré dans l'étude des processus de formation des sites.

L'ensemble des données recueillies sur le terrain, en coupe et en plan, complétées par les résultats analytiques, amènent à la conclusion que :

- Les « pains de terre » identifiés sur le terrain pendant le diagnostic résultent en réalité d'une structuration polyédrique, une conséquence de l'argilluviation qui caractérise les sols lessivés.
- Les autres restes architecturaux en terre ont été confondus avec des organisations naturelles (traces de bioturbation et figures d'hydromorphie principalement).
- Les microfaciès A et B d'origine anthropique décrits par J. Wattez sont en réalité l'expression de la bioturbation. Ces faciès sont omniprésents.
- Aucune entité anthropique n'est décelée sur la surface étudiée. Mis à part l'horizon cultivé, l'organisation stratigraphique est entièrement naturelle.

Ces éléments contredisent ainsi l'existence d'éléments façonnés en terre crue sur cette emprise, tant en plan que verticalement.

D'un point de vue archéologique, le mobilier recueilli au décapage atteste plusieurs périodes s'étalant du Néolithique (moyen ?) aux périodes médiévales et modernes. Il a été principalement récolté dans l'unité 2 et ne montre aucune organisation spatiale en faveur d'un habitat résiduel fantôme. Au contraire, sa répartition visible actuellement est fortement liée au parcellaire de l'Époque moderne et traduit une conservation différenciée selon les parcelles anciennes. La densité moyenne est faible, avec une moyenne de 0,1 pièce/m<sup>2</sup> (531 pièces sur 5340 m<sup>2</sup>, tout type d'artefact confondu). Même dans le cas des concentrations les plus importantes, comme dans le

sud-ouest de l'emprise, la densité ne reflète pas l'image d'un niveau d'occupation préservé, avec 1,8 objet par mètre carré ; il faudrait au moins atteindre des densités nettement supérieures (par ex. Noël, Onfray 2015, p. 18 ; Hamon et al. 2014, fig. 8). Les différents éléments épars des diverses occupations préhistoriques et historiques se retrouvent également mélangés verticalement, dont des éléments de tuiles antiques et médiévales, de la céramique protohistorique, de l'outillage en silex néolithique. Le même constat est visible sur la projection verticale du sondage réalisé dans la tranchée 16 du diagnostic (Brutus et al. 2015, fig. 26). Il est donc impossible que ces éléments correspondent à un sol néolithique d'habitation enterrée ou semi-enterrée, conservée à plusieurs dizaines de centimètres sous le niveau actuel, ou à un niveau d'abandon sous un niveau d'effondrement, également enterré, tel que scénarisé dans le diagnostic par T. Hamon (Brutus et al. 2015, p. 78-79). D'après les données géomorphologiques, si un niveau néolithique a existé, il se situait peu ou prou au niveau de la surface actuelle du sol (sans doute légèrement au-dessus) et il ne resterait donc à ce jour que sa partie sous-jacente conservée par la bioturbation.

Tant à l'issue du diagnostic qu'à celle de la fouille, aucune structure en creux n'étaye toutefois la présence d'un habitat pérenne néolithique, ce que l'on s'attendrait à trouver, surtout si les sols « construits » et les murs des maisons sont en partie conservés comme affirmé dans le rapport de diagnostic par J. Wattez et T. Hamon (Brutus et al. 2015, p. 67, 73, 76, 79, fig. 45, 49). Il faudrait imaginer un village de maisons en terre, sans armature de bois, sans fosse de rejet et sans foyer, ce qui paraît difficilement concevable sous les latitudes d'une Europe moyenne tempérée. À cela s'ajoute le fait que, curieusement, ces vestiges conservés ont été essentiellement observés à partir des coupes et dans une fenêtre réduite en plan, sans pour autant y délimiter des éléments tangibles de construction. Seul un effet de paroi est proposé sur un sondage d'environ 22 m<sup>2</sup> dans la tranchée 16 (Brutus et al. 2015, fig. 26 et 32) avec une densité en mobilier qui atteint à peine plus de 4 pièces/m<sup>2</sup>... Les seules structures en creux avérées et relevées à la fouille consistent en une fosse d'extraction antique et deux tronçons de tracés linéaires, peut-être en relation avec une occupation antique.

Ces éléments contredisent l'existence d'habitations néolithiques en terre crue sur cette emprise, tant en plan que verticalement.

Au final, cette opération conclut à l'absence de toute trace de vestiges en terre crue anthropisés et donc à l'absence d'habitation construite uniquement dans ce matériau. De même, il n'y a pas de sol construit conservé ni de lambeau de sol ou niveau archéologique, il n'y a que des indices de site fournis par le mobilier présent en épandage, un constat auquel les résultats des opérations de terrain alentour arrivent également (Dwirla 2004).

Cette opération nous a en revanche offert l'opportunité d'étudier une vaste surface dans de bonnes conditions logistiques et scientifiques et de souligner l'importance des altérations naturelles enregistrées dans les séquences loessiques condensées. Elle a aussi fourni l'occasion de reposer la question des critères les plus objectifs de reconnaissance de la terre crue façonnée ainsi que des protocoles à mettre en œuvre pour leur reconnaissance. Les résultats obtenus contribuent ainsi au débat sur cette problématique et invitent à une plus grande prudence qui, sans elle, peut conduire à des interprétations excessives, nuisibles à cet axe de recherche naissant et promis à un bel avenir si on ne le bâtit pas sur un mur d'incohérences...



## Bibliographie

### A

#### Antoine et al. 2016

ANTOINE P., COUTARD S., GUERIN G., DESCHODT L., GOVAL E., LOCHT J.-L., PARIS C., « Upper Pleistocene loess-palaeosol records from Northern France in the European context: Environmental background and dating of the Middle Palaeolithic », *Quaternary International*, 411, pp. 4-24.

#### Armour-Chelu, Andrews [sans date]

ARMOUR-CHELU M., ANDREWS P., « Some effects of bioturbation by earthworms (*Oligochaeta*) on archaeological sites », *Journal of Archaeological Science*, 21, 4, pp. 433-443.

### B

#### Bailleux et al. 2015

BAILLEUX A., BAILLEUX G., HAMON T., COUSSOT C., WATTEZ J., « L'habitat stratifié de Prasville », *Archéopages*, 42, pp. 26-27.

#### Baize, Girard 2009

BAIZE D., GIRARD M.-C., *Référentiel pédologique 2008* [en ligne], éd. Quae, Versailles : Association Française pour l'Etude du Sol, URL : [http://afes.fr/afes/egs/EGS\\_11\\_2\\_baize2.pdf](http://afes.fr/afes/egs/EGS_11_2_baize2.pdf)

#### Baize, Jabiol 2011

BAIZE D., JABIOL B., *Guide pour la description des sols*, Paris : éd. Quae, 430 p.

#### Balek 2002

BALEK C. L., « Buried artifacts in stable upland sites and the role of bioturbation: a review », *Geoarchaeology*, 17, 1, pp. 41-51.

#### Bertran et al. 2013

BERTRAN P., ANDRIEUX E., ANTOINE P., COUTARD S., DESCHODT L., GARDÈRE P., HERNANDEZ M., LEGENTIL C., LENOBLE A., LIARD M., MERCIER N., MOINE O., SITZIA L., VAN VLIET-LANOË B., « Distribution and chronology of Pleistocene permafrost features in France: Database and first results », *Boreas*, 43, 3, pp. 699-711.

#### Blanchard, Forré 2003

BLANCHARD N., FORRÉ P., « Géologie et géographie de l'opale résinite et de l'opale en Centre-Ouest », *Feuillets mensuels de la société nantaise de Préhistoire*, 411, pp. 34-39.

#### Bouché, M., B. 2014

BOUCHÉ, M. B., *Des vers de terre et des hommes, découvrir nos écosystèmes fonctionnant à l'énergie solaire*, Paris : Actes Sud, 322 p.

#### Bricon, Ménillet 1971

BRICON C., MÉNILLET F., *Notice explicative de la carte géologique au 1/50000, Dourdan XXII-16*, Orléans : BRGM.

#### Brochier 1994

BROCHIER J.-L., « Etude de la sédimentation anthropique. Stratégie des éthnofaciès sédimentaires en milieu de construction en terre », *Bulletin de correspondance hellénique*, 118, 2, pp. 619-645.

#### Brutus 2014

BRUTUS F., *Ablis, Rue du Jeu de Paume, Île-de-France, Yvelines (78). Rapport de fouille*, Pantin : Inrap.

#### Brutus 2015

BRUTUS F., *Ablis « Les Genêts », Île-de-France, Yvelines (78). Rapport de diagnostic*, Pantin : Inrap.

#### Butt et al. 2016

BUTT K. R., JR. M. A. C., LOUDERMILK E. L., BLAIK R., « Action of earthworms on flint burial – A return to Darwin's estate », *Applied Soil Ecology*, 104, pp. 157-162.

### C

#### Cammas 2015

CAMMAS C., « La construction en terre crue de l'âge du Fer à nos jours. l'apport de la micromorphologie à la compréhension des techniques », *Archéopages*, 42, pp. 58-67.

#### Canti 2003

CANTI M. G., « Earthworm Activity and Archaeological

Stratigraphy: A Review of Products and Processes », *Journal of Archaeological Science*, 30, 2, pp. 135-148.

### **Chouquer 2005**

CHOUQUER G., « L'émergence de la planimétrie agraire à l'âge du fer », *Etudes rurales*, 175-176, 2005/3, pp. 29-52.

### **Claude 2009**

CLAUDE C., « Panorama des productions céramiques médiévales en pâte rouge de Dourdan (Essonne) », *Revue archéologique d'Île-de-France*, 2, pp. 235-252.

### **Coussot, Liard 2017**

COUSSOT C., LIARD M., « Élaboration d'un cadre chronostratigraphique pour le Pléistocène de la région Centre-Val de Loire (France): présentation du projet de recherche et des premiers résultats », *Revue archéologique du Centre de la France*, 56, p. 14 p.

### **Crahet et al. 1981**

CRAHET M., RIGHI D., FEDOROFF N., VERMEIRE R., AMAT J. P., *Carte pédologique de France à 1/100000, Chartres, J-8*, Versailles : Institut national de la recherche agronomique, notice de 233 p.

## **D**

### **Darwin 1881**

DARWIN C., *The Formation of Vegetable Mould Through the Action of Worms with Some Observations on Their Habits*, London : John Murray, traduit en français par A. Berra, Paris : Syllepse éd., 2001, 196 p.

### **Davidson 2002**

DAVIDSON D. A., « Bioturbation in Old Arable Soils: Quantitative Evidence from Soil Micromorphology », *Journal of Archaeological Science*, 29, 11, pp. 1247-1253.

### **Dearing, J., A. 1999**

DEARING, J., A., *Environmental magnetic susceptibility, using the Bartington MS2 system*, 2nd edition, Kenilworth : Chi Publishing.

### **de Chazelles 2016**

DE CHAZELLES C.-A., « Problématiques et méthodes des recherches sur les vestiges de construction et de mobiliers en terre crue », in ISSENMANN R., NICOLAS T. (éd.), *L'usage de la terre à bâtir en France non méditerranéenne durant la Protohistoire : du petit*

*mobilier à l'architecture. Actes de la journée d'étude de l'APRAB 1er Mars 2013, Musée d'Archéologie Nationale*, s.l. : s.n., coll. « Bulletin de l'APRAB », pp. 3-14.

### **de Chazelles, Roux 2010**

DE CHAZELLES C.-A., ROUX J.-C., « La construction en terre crue en France méditerranéenne », in DELESTRE X., MARCHESI H. (éd.), *Archéologie des rivages méditerranéens : 50 ans de recherche, Oct 2009, Arles*, Paris : Errance, pp. 343-347.

### **Drwila 2004**

DRWILA G., *Ablis, Dérivation de la RD988, Île-de-France, Yvelines (78). Rapport de diagnostic*, Pantin : Inrap.

## **F**

### **Fabre et al. 2006**

FABRE D., CARRIO E., ORENGO Y., MALACOUR C., « Analyses pétrographiques et mécaniques d'un ensemble de roches meulières françaises », in BELMONT A., MANGARTZ F. (éd.), *Mühlsteinbrüche. Erforschung, Schutz und Inwertsetzung eines Kulturerbes europäischer Industrie (Antike-21. Jahrhundert). Internationales Kolloquium Grenoble - 22. bis 25. September 2005 - Maison des Sciences de l'Homme-Alpes. Les meulières. recherche, protection et valorisation d'un patrimoine industriel européen (antiquité-XXIe siècle) Colloque international Grenoble - 22 au 25 septembre - Maison des Sciences de l'Homme-Alpes*, Mainz : Verlag des RGZM, coll. « RGZM - Tagungen », pp. 91-97.

### **Fec, Khazar 2015**

FEC J.-M., KHAZAR E., *Ablis, Angle de la rue de Boinville et la D988, Création d'un bâtiment (EHPAD) et création de voiries d'accès, parkings et d'un bassin d'infiltration, rapport de missions géotechniques normalisées G2 AVP + G5, étude n° 15/25932*, Rambouillet : Sol Progrès SARL, 47 p.

### **Fec, Khazar 2016**

FEC J.-M., KHAZAR E., *Ablis, Les 3 Moulins, route départementale n°988, Création d'un lotissement pavillonnaire de 80 lots et d'une voirie d'accès, rapport de mission géotechnique normalisée G1 PGC, étude 16/26566*, Rambouillet : Sol Progrès SARL, 35 p.

### **Fedoroff, Courty 1987**

FEDOROFF N., COURTY M.-A., « Paléosols », in

MISKOWSKY J.-C. (dir.), *Géologie de la Préhistoire*, Paris : Association pour l'Etude de l'Environnement Géologique de la Préhistoire, pp. 251-280.

#### **Feller et al. 2003**

FELLER C., BROWN G. G., BLANCHART E., DELEPORTE P., CHERNYANSKII S. S., « Charles Darwin, earthworms and the natural sciences: various lessons from past to future », *Agriculture, Ecosystems & Environment*, 99, 1-3, pp. 29-49.

#### **Fouéré, Dias-Meirinho 2008**

FOUÉRE P., DIAS-MEIRINHO M.-H., « Les industries lithiques taillées des IVe et IIIe millénaires dans le Centre-Ouest et le Sud-Ouest de la France », in DIAS-MEIRINHO M.-H., VANESSA L., GERNIGON K., FOUÉRE P., BRIOIS F., BAILLY M. (éd.), *Les industries lithiques taillées des IVe et IIIe millénaires en Europe occidentale. Colloque international, Toulouse 7-9 avril 2005*, Oxford : Archaeopress, coll. « BAR International Series », pp. 231-258.

#### **Friesem et al. 2014**

FRIESEM D. E., KARKANAS P., TSARTSIDOU G., SHAHACK-GROSS R., « Sedimentary processes involved in mud brick degradation in temperate environments: a micromorphological approach in an ethnoarchaeological context in northern Greece », *Journal of Archaeological Science*, 41, pp. 556-567.

#### **Friesem et al. 2017**

FRIESEM D., WATTEZ J., ONFRAY M., « Earth Construction Materials », in NICOSIA C., STOOPS G. (éd.), *Archaeological Soil and Sediment Micromorphology*, Hoboken NJ : Wiley & Sons ed., pp. 99-110.

## G

#### **Galbraith et al. 1999**

GALBRAITH R. F., ROBERTS R. G., LASLETT G. M., YOSHIDA H., OLLEY J. M., « Optical dating of single and multiple grains of quartz from Jinmium rock shelter, northern Australia: Part I, Experimental design and statistical models », *Archaeometry*, 41, 2, pp. 339-364.

#### **Gaucher 1968**

GAUCHER G., *Traité de pédologie agricole, le sol et ses caractéristiques agronomiques*, Paris : Dunod.

#### **Gautronneau, Manichon 1987**

GAUTRONNEAU Y., MANICHON H., Guide méthodique du profil cultural, Lyon : CEREF-ISARA, 71 p.

#### **Gebhardt et al. 2014**

GEBHARDT A., FECHNER K., OCCHIETTI S., « Grandes phases de pédogenèse, d'érosion et d'anthropisation des sols au cours de la seconde moitié de l'Holocène en Lorraine (France) », *ArchéoSciences*, 38, 1, pp. 7-29.

#### **Goodman-Elgar 2008**

GOODMAN-ELGAR M., « The devolution of mudbrick: ethnoarchaeology of abandoned earthen dwellings in the Bolivian Andes », *Journal of Archaeological Science*, 35, 12, pp. 3057-3071.

#### **Guillier et al. 2005**

GUILLIER G., BIARD M., CHEREL A.-F., « Un atelier augustéen de taille de meules en poudingue au "Clos des Forges" à Avrilly (Eure) », *Revue archéologique de l'Ouest*, 22, 1, pp. 199-220.

#### **Gutherz et al. 2011**

GUTHERZ X., JALLOT L., WATTEZ J., BORGNON C., ROUX J.-C., THOUVENOT Y., ORGEVAL M., AVEC LA COLL. DE BLAISE E., CROS J.-P., DIAZ A., DUBOSQ S., ESCALLON G., FELLOT-GIRARD J., GUERRERO Y., KAENEL S., RAUX A., RECCHIA J., ROUSSELET O., « L'habitat néolithique final de la Capoulière IV (Mauguio, Hérault) : présentation des principaux résultats 2004-2007 », in SÉNÉPART I., PERRIN T., THIRAULT É., BONNARDIN S. (dir.) (éd.), *Marges, frontières et transgressions. Actualité de la recherche. Actes des 8e Rencontres Méridionales de Préhistoire Récente, Marseille, 7 et 8 novembre 2008*, Toulouse : Archives d'Ecologie Préhistorique, pp. 413-438.

## H

#### **Hamon 2004**

HAMON C., « Le statut des outils de broyage et d'abrasion dans l'espace domestique au Néolithique ancien en Bassin parisien », *Notae Praehistoricae*, 24, pp. 117-128.

#### **Hamon et al. 2014**

HAMON T., CREUSILLET M.-F., ONFRAY M., « Sours "Les Hauts de Flotville" (Eure-et-Loir), mise en évidence de sols néolithiques et protohistoriques

en plaine de Beauce, approches et limite de terrain et d'étude », in SÉNÉPART I., BILLARD C., BOSTYN F., PRAUD I., THIRAUT É. (éd.), *Méthodologies des recherches de terrain sur la Préhistoire récente en France. Nouveaux acquis, nouveaux outils, 1987-2012. Actes des premières Rencontres Nord/Sud de Préhistoire récente, Marseille, 23-25 mai 2012*, Toulouse : Editions Archives d'Ecologie Préhistorique, pp. 349-354.

#### Hauzeur 2006

HAUZEUR A., *Le Rubané au Luxembourg : Contribution à l'étude du Rubané du Nord-Ouest européen*, Mersch : Imprimerie Fr. Faber, coll. « Dossiers d'Archéologie du Musée National d'Histoire et d'Art, X & Etudes et Recherches Archéologiques de l'Université de Liège, 114 ».

#### Hulin et al. 2012

HULIN G., BROES F., FECHNER K., « Caractérisation de phénomènes anthropiques par la mesure de paramètres magnétiques sur surface décapée : premiers résultats sur le projet Canal Seine-Nord Europe », *ArchéoSciences. Revue d'archéométrie*, 36, pp. 61-70.

## I

#### Irribarria 1995

IRRIBARRIA R., « Premiers repérages d'une minière d'extraction d'opalite-silexite (silex tertiaire) en Loir-et-Cher, communes de Suèvres et de Mer », in PELEGRIN J., RICHARD A. (éd.), *Les mines de silex au néolithique en Europe. Avancées récentes. Actes de la table-ronde internationale de Vesoul, 18-19 octobre 1991*, Nancy : Comité des travaux historiques et scientifiques, Section de Préhistoire et de Protohistoire, coll. « Documents Préhistoriques », pp. 83-88.

#### Jagercikova et al. 2014

JAGERCIKOVA M., EVRARD O., BALESSENT J., LEFÈVRE I., CORNU S., « Modeling the migration of fallout radionuclides to quantify the contemporary transfer of fine particles in Luvisol profiles under different land uses and farming practices », *Soil and Tillage Research*, 140, pp. 82-97.

## J

#### Jamagne 2011

JAMAGNE M., *Grands paysages pédologiques de France*, Versailles : éd. Quae.

#### Jeanson 1968

JEANSON C., *Essai de pédozoologie expérimentale : morphologie d'un sol artificiel structuré par les Lombricidés*, 3, Paris : MNHN, coll. « Mémoires du Muséum national d'Histoire naturelle, Série A, Zoologie », 46.

#### Johnson 2002

JOHNSON D. L., « Darwin would be proud: bioturbation, dynamic denudation, and the power of theory in science », *Geoarchaeology*, 17, 1, pp. 7-40.

#### Joly, Prié 1994

JOLY J.-L., PRIÉ A., *ZAC de la Porte de l'Île-de-France, Ablis (78). Rapport de diagnostic archéologique*, [Paris] : SRA.

#### Jones et al. 1994

JONES C. G., LAWTON J. H., SHACHAK M., « Organisms as Ecosystem Engineers », *Oikos*, 69, 3, p. 373.

## K

#### Kemp et al. 2014

KEMP J., PIETSCH T. J., OLLEY J., « Digging your own grave: OSL signatures in experimental graves », *Journal of Human Evolution*, 76, pp. 77-82.

#### Kooistra, Pulleman 2010

KOOISTRA M. J., PULLEMAN M. M., « Features related to faunal activity », in: STOOPS, G., MARCELINO, V. & MEES, F. (eds), *Interpretation of Micromorphological Features of Soils and Regoliths*, Amsterdam, Elsevier éd., pp. 397-418.

## L

#### Langohr 2001

LANGOHR R., « L'anthropisation du paysage pédologique agricole de la Belgique depuis le Néolithique ancien, Apports de l'archéopédologie », *Etudes et Gestion des Sols*, 8, 2, pp. 103-118.

#### Leturcq 2008

LETURCQ S., « Fonction et devenir d'un réseau invisible : les crêtes de labours dans les terroirs beaucerons (XIVe-XXe siècles), in COMPATANGELO-SOUSSIGNAN R., BERTRAND J. R., CHAPMAN J., LAFFONT P.-Y. (dir.), *Marqueurs des paysages et systèmes socioéconomiques*, Proceedings of Le Mans COST Conference, Presses universitaires de Rennes, pp. 163-174.

**Lewis 2012**

LEWIS H., Investigating Ancient Tillage, An experimental and soil micromorphological study, BAR International Series, 2388, Oxford : Archaeopress, 119 p.

**M****Makó et al. 2017**

MAKÓ A., TÓTH G., WEYNANTS M., RAJKAI K., HERMANN T., TÓTH B., « Pedotransfer functions for converting laser diffraction particle-size data to conventional values: Conversion of particle-size distribution data », *European Journal of Soil Science*, 68, 5, pp. 769-782.

**Martineau et al. 2014**

MARTINEAU R., LANGRY-FRANÇOIS F., CHARPY J.-J., RENARD C., MAINGAUD A., VILLES A., POLLONI A., MAGNE P., « L'habitat néolithique récent du Pré-à-Vaches à Morains-le-Petit (Val-des-Marais, Marne) », in COTTIAUX R., SALANOVA L. (éd.), *La fin du IV<sup>e</sup> millénaire dans le Bassin parisien. Le Néolithique récent entre Seine, Oise et Marne (3500-2900 avant notre ère)*, Dijon, Vendrest : RAE, RAIF, coll. « Revue archéologique de l'Est, 34<sup>e</sup> suppl. et Revue archéologique d'Île-de-France, 1<sup>er</sup> suppl. », pp. 189-309.

**Martineau 2014**

MARTINEAU R., « Méthodologie des techniques et chaînes opératoires céramiques étudiées dans ce volume », in COTTIAUX R., SALANOVA L. (éd.), *La fin du IV<sup>e</sup> millénaire dans le Bassin parisien. Le Néolithique récent entre Seine, Oise et Marne (3500-2900 avant notre ère)*, Dijon, Vendrest : RAE, RAIF, coll. « Revue archéologique de l'Est, 34<sup>e</sup> suppl. et Revue archéologique d'Île-de-France, 1<sup>er</sup> suppl. », pp. 531-532.

**Masuch, Ziessow 1985**

MASUCH A., ZIESSOW K.-H., « Reconstructing Linear Culture houses : theoretical and practical contributions », *Helinium*, XXV, 1, pp. 58-93.

**Mazière 2013**

MAZIÈRE T., Ablis « Les Pierres Noires » (rue de la Mairie - rue des Loges), Île-de-France, Yvelines (78). *Rapport de diagnostic*, Pantin : Inrap.

**Murray, Wintle 2000**

MURRAY A. S., WINTLE A. G., « Luminescence dating

of quartz using an improved regenerative-dose single-aliquot protocol », *Radiation Measurements*, 32, pp. 57-73.

**N****Nicole et al. 2003**

NICOLE J., COQUET Y., VACHIER P., MICHELIN J., DEVER L., « Fonctionnement hydrodynamique et différenciation pédologique d'une couverture de sol limoneux hydromorphe en Bassin Parisien », *Etude Gest. Sols*, 10, pp. 173-190.

**Noël et al. 2015**

NOËL J.-Y., ONFRAY M., AVEC LA COLL. DE CHAMAUX G., RODOT M.-A., « Approche pluridisciplinaire des nappes de mobilier en contexte de plateau : mise en évidence d'un habitat de la fin du Néolithique à Gas "Les Grands Noyers" (Eure-et-Loir) », in LAURELUT C., VANMOERKERKE J. (dir.) (éd.), *Occupations et exploitations néolithiques et si l'on parlait des plateaux... 31<sup>e</sup> colloque Internéo. Actes du colloque de Châlons-en-Champagne - octobre 2013*, Châlons-en-Champagne : SAC, DRAC, coll. « Bulletin de la Société archéologique champenoise », 107, 4, pp. 7-34.

**O****Onfray, Wattez 2014**

ONFRAY M., WATTEZ J., « Les nappes de mobilier en Beauce : état de la question et apport de la géoarchéologie pour leur compréhension », in LAURELUT C., VANMOERKERKE J. (éd.), *Occupations et exploitations néolithiques, et si on parlait des plateaux... 31<sup>e</sup> colloque Internéo, Actes du colloque de Châlons-en-Champagne, octobre 2013*, Châlons-en-Champagne, coll. « Bulletin de la Société archéologique champenoise », 107, 4, pp. 61-73.

**P****Pétronille 2009**

PETRONILLE M., Contribution à la caractérisation du type d'occupation des sols à partir des propriétés magnétiques, thèse de doctorat (Institut de Physique du Globe, Paris), 354 p.

**Picavet et al. 2011**

PICAVET P., AVEC LA COLL. DE FRONTEAU G., BOYER

F., « Les meules romaines de sept chefs-lieux de cité de Gaule Belgique occidentale, étude du matériel et synthèse bibliographique », *Revue du Nord*, 393, 5, pp. 167-226.

#### **Piningre 1985**

PININGRE J.-F., « Un aspect de la fin du Néolithique dans le nord de la France. Les sites de Seclin, Houplin-Ancoisne et Saint-Saulve (Nord) », in *Actes du neuvième colloque interrégional sur le Néolithique tenu à Compiègne en 1982. IIème partie*, Chevrières : DRAC, coll. « Revue Archéologique de Picardie », pp. 53-69.

#### **Piron et al. 2012**

PIRON D., PÉRÈS G., HALLAIRE V., CLUZEAU D., « Morphological description of soil structure patterns produced by earthworm bioturbation at the profile scale », *European Journal of Soil Biology*, 50, pp. 83-90.

#### **Poirier, Nuninger 2012**

POIRIER N., NUNINGER L., « Techniques d'amendement agraire et témoins matériels. Pour une approche archéologique des espaces agraires anciens », *Histoire & Sociétés Rurales*, 2, 38, pp. 11-50.

## **R**

#### **Renard et al. 2014**

RENARD C., POLLONI A., SOHN M., IHUEL E., LANGRY-FRANÇOIS F., MAGNE P., MAINGAUD A., MARTINEAU R., SALANOVA L., « La collection du baron Joseph de Baye au musée d'Archéologie nationale », in COTTIAUX R., SALANOVA L. (éd.), *La fin du IVe millénaire dans le Bassin parisien. Le Néolithique récent entre Seine, Oise et Marne (3500-2900 avant notre ère)*, Dijon, Vendrest : RAE, RAIF, coll. « Revue archéologique de l'Est, 34e suppl. et Revue archéologique d'Île-de-France, 1er suppl. », pp. 313-371.

#### **Richards, Humphreys 2010**

RICHARDS P. J., HUMPHREYS G. S., « Burial and turbulent transport by bioturbation: a 27-year experiment in southeast Australia », *Earth Surface Processes and Landforms*, 35, 7, pp. 856-862.

## **S**

#### **Sauzet 2016**

SAUZET O., *Quantification par approche micromorphologique couplée à de l'analyse d'images de*

*l'effet de la mise en culture et de l'apport de matières organiques sur l'intensité et la dynamique des processus de lessivage et de bioturbation à l'échelle pluri-décennale*, thèse de l'Université Paris-Saclay, Paris, AgroParisTech, 239 p.

#### **Sauzet et al. 2016**

SAUZET O., CAMMAS C., BARBILLON P., ÉTIENNE M.-P., MONTAGNE D., « Illuviation intensity and land use change: Quantification via micromorphological analysis », *Geoderma*, 266, pp. 46-57.

#### **Schwartz, Gebhardt 2011**

SCHWARTZ D., GEBHARDT A., « L'enfouissement de vestiges archéologiques par la bioturbation », *Etudes et Gestion des Sols*, 18, 4, pp. 287-300.

#### **Seilacher 2007**

SEILACHER A., *Burrows of Stripminers*, in *Trace Fossil Analysis*, Paris : Elsevier, pp. 116-103.

#### **Sénépart et al. 2015**

SÉNÉPART I., WATTEZ J., JALLOT L., HAMON T., ONFRAY M., « La construction en terre crue au Néolithique. Un état de la question », *Archéopages*, 42, pp. 6-19.

#### **Servelle 2006**

SERVELLE C., « Les meulières antiques de La Marèze (Saint-Martin-Laguépie et Le Riols, Tarn, France) : géologie, géomorphologie, techniques d'exploitation et de façonnage », in BELMONT A., MANGARTZ F. (éd.), *Mühlsteinbrüche. Erforschung, Schutz und Inwertsetzung eines Kulturerbes europäischer Industrie (Antike-21. Jahrhundert). Internationales Kolloquium Grenoble - 22. bis 25. September 2005 - Maison des Sciences de l'Homme-Alpes. Les meulières. recherche, protection et valorisation d'un patrimoine industriel européen (antiquité-XXIe siècle) Colloque international Grenoble - 22 au 25 septembre - Maison des Sciences de l'Homme-Alpes*, Mainz : Verlag des RGZM, coll. « RGZM - Tagungen », pp. 61-69.

#### **Stein 1983**

STEIN J. K., « Earthworm activity: a source of potential disturbance of archaeological sediments », *American Antiquity*, 48, 2, pp. 277-289.

#### **Stoops 2003**

STOOPS G., *Guidelines for analysis and description of soil and regolith thin sections*, Madison : Soil Science Society of America, 184 p.

# T

## Thompson et al. 1990

THOMPSON M. L., FEDOROFF N., FOURNIER B., « Morphological features related to agriculture and faunal activity in three loess-derived soils in France », *Geoderma*, 46, 4, pp. 329–349.

# V

## Verjux 2014

VERJUX C., *Les structures en creux du site mésolithique d'Auneau « le Parc du Château » (Eure-et-Loir). Nouveau bilan et implications concernant le mode de vie des dernières populations de chasseurs-collecteurs en Europe* [en ligne], (Paris, Université de Paris I Panthéon-Sorbonne, Préhistoire, ethnologie, anthropologie), URL : [https://www.academia.edu/24062374/Les\\_structures\\_en\\_creux\\_du\\_site\\_m%C3%A9solithique\\_dAuneau\\_le\\_Parc\\_du\\_Ch%C3%A2teau\\_Eure-et-Loir\\_Nouveau\\_bilan\\_et\\_implications\\_concernant\\_le\\_mode\\_de\\_vie\\_des\\_derni%C3%A8res\\_populations\\_de\\_chasseurs-collecteurs\\_en\\_Europe\\_Novembre\\_2014](https://www.academia.edu/24062374/Les_structures_en_creux_du_site_m%C3%A9solithique_dAuneau_le_Parc_du_Ch%C3%A2teau_Eure-et-Loir_Nouveau_bilan_et_implications_concernant_le_mode_de_vie_des_derni%C3%A8res_populations_de_chasseurs-collecteurs_en_Europe_Novembre_2014).

# W

## Walkington 2010

WALKINGTON H., « Soil science applications in archaeological contexts: A review of key challenges », *Earth-Science Reviews*, 103, 3-4, pp. 122-134.

## Wuscher et al. 2012

WUSCHER P., BLASER R., CAMMAS C., DURAND J., GLISONI S., SARON E., PASTRE J.-F., « Des plateaux, des limons et des hommes : état des connaissances et questions sur les sols et l'érosion tardiglaciaires et holocènes en Île-de-France », *Revue archéologique d'Île-de-France*, 5, pp. 5-28.



# Liste des illustrations

## Chapitre 1

Figure 1.1 – Vue cavalière du village d'Ablis et ses environs, montrant l'extension des pratiques agricoles céréalières. L'organisation rayonnante du parcellaire autour du village trahit son origine médiévale. © Google Earth, 2011.

Figure 1.2 – Contexte oro-hydrographique de l'emprise de fouille. DAO A. Hauzeur.

Figure 1.3 – Plan général de densité du mobilier archéologique attribué au Néolithique, à l'issue du diagnostic. (DAO : A. Hauzeur, d'après Brutus et al. 2015, fig. 14 et 18 combinées).

Figure 1.4 – Contexte archéologique d'Ablis - « les Genêts », période néolithique. DAO : A. Hauzeur.

Figure 1.5 – Implantation des deux premières tranchées de décapage au sein de l'emprise de fouille. Relevés topographiques J.-B. Caverne et G. Gazagnol ; DAO A. Hauzeur.

Figure 1.6 – Ablis - « les Genêts ». Décapage du secteur occidental de l'emprise, entre les tranchées initiales sud et médiane. Cliché Paléotime.

## Chapitre 2

Figure 2.1 - Contexte géologique et pédologique (M. Rué).

Figure 2.2 - Vues aériennes anciennes (M. Rué, J.-B. Caverne).

Figure 2.3 - Plan des investigations géoarchéologiques (M. Rué, A. Hauzeur, J.-B. Caverne).

Figure 2.4 - Aperçu photographique de la séquence stratigraphique (M. Rué).

Figure 2.5 - Aperçu photographique de la séquence stratigraphique (suite) (M. Rué).

Figure 2.6 - Principales coupes stratigraphiques (M. Rué, L. Fénéon).

Figure 2.7 - Transect stratigraphique « CP2 » (M. Rué).

Figure 2.8 - Prélèvements réalisés sur la coupe 4.1 sud (sondage D du diagnostic) (M. Rué).

Figure 2.9 - Scans des lames minces et localisation des clichés (M. Rué). Les numéros des clichés renvoient aux figures 2.10 et 2.11.

Figure 2.10 - Aperçu des microfaciès (M. Rué). Lumière polarisée non analysée.

Figure 2.11 - Aperçu des microfaciès (suite) (M. Rué). Lumière polarisée non analysée.

Figure 2.12 - Evolution verticale de la susceptibilité magnétique et des fractions granulométriques le long de la coupe 4.1 sud (M. Rué). A gauche, l'interprétation stratigraphique donnée à l'issue du diagnostic.

Figure 2.13 - Résultats chiffrés des analyses granulométriques par diffraction laser (M. Rué). Fraction inférieure à 2 mm.

Figure 2.14 - Résultats des analyses granulométriques par tamisage (J. Robbe, M. Rué). Tamisage à l'eau, fraction supérieure à 0,5 mm.

Figure 2.15 - Evolution verticale des carbonates, des matières organiques et humiques, des phosphates, du pH et de la couleur sur la coupe 4.1 (B. Ritter, IPNA, Bâle). Fraction inférieure à 0,5 mm. Localisation des prélèvements sur la figure 2.12. u.c. : unité colorimétrique.

Figure 2.16 - Courbe de distribution des âges OSL par aliquote (P. Moska, GADAM).

Figure 2.17 - Interprétation des faciès pédosédimentaires à l'issue du diagnostic (d'après Brutus et al. 2015).

## Chapitre 3

Figure 3.1 – Ablis - « les Genêts ». Détail de l'implantation des fenêtres 1 à 3 autour du sondage D du diagnostic. DAO A. Hauzeur.

Figure 3.2 – Ablis - « les Genêts ». Structuration en « pain », telle que déterminée par l'équipe du diagnostic (a et b) et vue zénithale de la fenêtre 2 avec apparition des fentes de séchage lors de la fouille

(c). Pour le diagnostic ; Brutus et al. 2015, fig. 30).

Figure 3.3 – Ablis - « les Genêts ». Fenêtre 3 : vue cavalière dont les contrastes ont été accentués pour mettre en exergue les bandes sombres (haut), délimitées par une ligne tiretée (en bas). DAO M. Rué.

Figure 3.4 – Ablis - « les Genêts ». Détail de l'implantation des fenêtres 5 et 6 autour et sur la fenêtre 84 du diagnostic. DAO A. Hauzeur.

Figure 3.5 – Ablis - « les Genêts ». Vue cavalière de la surface décapée (a), proche du sondage 84 et détail des taches blanchâtres observées (b, c) autour de la fenêtre 84 du diagnostic. Clichés Paléotime, A. Hauzeur.

Figure 3.6 – Ablis - « les Genêts ». Détail de l'implantation des fenêtres 7 et 8 autour de la coupe CP2.2. DAO A. Hauzeur.

Figure 3.7 – Ablis - « les Genêts ». Vue cavalière de la fenêtre 10, accentuation des limites des anomalies de terrain par un trait discontinu noir et restitution d'un chablis matérialisé par un trait pointillé clair. DAO A. Hauzeur.

## Chapitre 4

Figure 4.1 – Ablis - « les Genêts ». Structure 4. a. Niveau d'apparition et remplissage sommital ; b-c. Apparition des niveaux à blocs de pierre dans le quadrant NO ; d. Vue zénithale de la structure (en marron) à -250 cm sous le niveau de décapage, dans le substrat tertiaire à blocs calcaires ; e. Ensemble des blocs récoltés et nettoyage d'un échantillon sur place ; f. Carottage à la tarière jusqu'au fond de la structure (environ -350 cm sous le niveau de décapage). Clichés Paléotime.

Figure 4.2 – Ablis - « les Genêts ». Structure 4. Projection altimétrique des points de contour d'apparition nette de la structure et du mobilier adjacent selon un axe arbitraire sud-nord. La nappe de mobilier s'infléchit à hauteur de la structure. Exagération de la hauteur ca x10. DAO A. Hauzeur.

Figure 4.3 – Ablis - « les Genêts ». Structure 4. Coupe ENE-OSO du quadrant NO. Cliché Paléotime.

Figure 4.4 – Ablis - « les Genêts ». Structures 1 et 9. a. Projection altimétrique des points de contour d'apparition nette de la structure et du mobilier susjacent selon un axe arbitraire ouest-est (exagération de la hauteur ca x10) ; b. coupe transversale de l'extrémité orientale de ST1 ; c. Coupe transversale de ST9.

Figure 4.5 – Ablis - « les Genêts ». Position des tracés linéaires 1 et 9 et répartition du mobilier en nappe sur fond de cadastre napoléonien. DAO A. Hauzeur.

Figure 4.6 – Ablis - « les Genêts ». Structure 11. a. Vue cavalière vers l'est après nettoyage de la surface ; b. Vue zénithale de la fouille manuelle du quadrant A1 ; c. Echantillon de blocs et de cailloux. Clichés Paléotime, DAO A. Hauzeur.

Figure 4.7 – Ablis - « les Genêts ». Structure 2. Coupe sud dans le sondage mécanique 2.

Figure 4.8 – Ablis - « les Genêts ». Structure 10. a. Contexte général de la structure 10, redécouverte sur le fond de la tranchée 19 du diagnostic (vue vers l'ouest) ; b. Coupe nord dans le quadrant SE ; c. Vue cavalière de la même anomalie découverte au diagnostic. a,b : clichés Paléotime ; c : cliché Inrap (Brutus et al. 2015, fig. 33).

Figure 4.9 – Ablis - « les Genêts ». Vue cavalière d'un petit tesson de céramique vernissée verte découverte dans une bioturbation au niveau de la fenêtre 7 d'enregistrement des anomalies. Cliché Paléotime.

Figure 4.10 – Ablis - « les Genêts ». Emprise de la fouille localisée sur la vue aérienne prise le 23/09/1946. Cliché n° 145 de la mission C2216-0011-1946-F2216-2317\_0145 ; Archives Géoportail.

Figure 4.11 – Ablis - « les Genêts ». Cartographie des altitudes m NGF du mobilier, extrapolées avec le logiciel QuikGrid 5.4. DAO A. Hauzeur.

Figure 4.12 – Ablis - « les Genêts ». Mobilier céramique. Épaisseur des tessons attribués à la Préhistoire récente, mesurée sur 128 objets, en valeur croissante et par classes arbitraires de 2 et de 1 mm. DAO A. Hauzeur.

Figure 4.13 – Ablis - « les Genêts ». Mobilier en terre cuite : épaisseur des terres cuites architecturales, par valeur croissante et par classe arbitraire de 2 mm. DAO A. Hauzeur.

Figure 4.14 – Ablis - « les Genêts ». Mobilier en terre cuite. Répartition spatiale des objets topographiés selon les catégories de matériau. DAO A. Hauzeur.

- Figure 4.15 – Ablis - « les Genêts ». Mobilier en terre cuite. Répartition spatiale des objets topographiés selon les attributions chronologiques et matérialisation des appariements céramiques. DAO A. Hauzeur.
- Figure 4.16 – Ablis - « les Genêts ». Mobilier en terre cuite. Projection verticale des objets topographiés selon les attributions chronologiques et selon un axe arbitraire O-E. DAO A. Hauzeur.
- Figure 4.17 – Ablis - « les Genêts ». Décompte global de l'industrie en roches siliceuses (à gauche) et proportion relative des artefacts, hors débris et blocs (à droite). DAO A. Hauzeur.
- Figure 4.18 – Ablis - « les Genêts ». Répartition spatiale du mobilier lithique par type de roches. DAO A. Hauzeur.
- Figure 4.19 – Ablis - « les Genêts ». Répartition spatiale du mobilier lithique par catégorie d'artefacts. DAO A. Hauzeur.
- Figure 4.20 – Ablis - « les Genêts ». Répartition spatiale du mobilier lithique par classe typologique. Les remontages et associations sont matérialisés par un trait pointillé. DAO A. Hauzeur.
- Planche 4.1 – Ablis - « les Genêts ». Mobilier céramique. Relevés, photos, DAO A. Hauzeur.
- Planche 4.2 – Ablis - « les Genêts ». Mobilier en terre cuite : terres cuites architecturales et torchis. Relevés, photos, DAO A. Hauzeur.
- Planche 4.3 – Ablis - « les Genêts ». Mobilier en silex : outillage. Relevés, photos, DAO A. Hauzeur.
- Planche 4.4 – Ablis - « les Genêts ». Mobilier en silex : outillage. Relevés, photos, DAO A. Hauzeur.
- Planche 4.5 – Ablis - « les Genêts ». Mobilier en silex : outillage, fragment de lame de hache polie et lame de retaille. Relevés, photos, DAO A. Hauzeur.
- Planche 4.6 – Ablis - « les Genêts ». Mobilier en silex : nucléus. Relevés, photos, DAO A. Hauzeur.
- Planche 4.7 – Ablis - « les Genêts ». Mobilier en silex : nucléus et percuteur. Relevés, photos, DAO A. Hauzeur.
- Planche 4.8 – Ablis - « les Genêts ». Mobilier en silex : produits de débitage et de façonnage. Relevés, photos, DAO A. Hauzeur.
- Planche 4.9 – Ablis - « les Genêts ». Mobilier sur conglomérat à galets de silice. Relevés, photos, DAO A. Hauzeur.
- Planche 4.10 – Ablis - « les Genêts ». Mobilier sur conglomérat à galets de silice : fragments de meule rubéfiés Photos, DAO A. Hauzeur.
- Planche 4.11 – Ablis - « les Genêts ». Mobilier divers : fragments de molette sur conglomérat à galets de silice; fragments de polissoir en grès. Photos, DAO A. Hauzeur.
- Figure 4.1 – Ablis - « les Genêts ». Structure 4. a. Niveau d'apparition et remplissage sommital ; b-c. Apparition des niveaux à blocs de pierre dans le quadrant NO ; d. Vue zénithale de la structure (en marron) à -250 cm sous le niveau de décapage, dans le substrat tertiaire à blocs calcaires ; e. Ensemble des blocs récoltés et nettoyage d'un échantillon sur place ; f. Carottage à la tarière jusqu'au fond de la structure (environ -350 cm sous le niveau de décapage). Clichés Paléotime.



A vertical bar on the left side of the page with a gradient from dark grey at the top to dark red at the bottom.

## SECTION 2

### Annexes



## Annexe 2.1 – Résultats des mesures de la susceptibilité magnétique (M. Rué)

Mesures *in situ* de la susceptibilité magnétique volumique

Appareil : Barlington, capteur MS2K  
 Date des mesures : 23/08/2016  
 Opérateurs : M. Rué, G. Gazagnol  
 Localisation des mesures : CP4.1  
 Valeurs en unités CGS x 10<sup>6</sup>

Repère topo. sur axe vertical	PT1061 à z=22 cm
Température	24°C
Valeur du témoin au début	343
Valeur du témoin à la fin	342

profondeur (cm)	valeur SM	unité
10	27	1
12	33	1
14	31	1
16	31	1
18	32	1
20	28	1
22	32	1
24	85	1
26	26	1
28	27	1
30	29	
32	29	2
34	29	2
36	25	2
38	30	2
40	29	2
42	32	2
44	30	2
46	22	2
48	27	2
50	27	2
52	30	2
54	32	2
56	35	2
58	30	2
60	25	2
62	27	3
64	31	3
66	27	3
68	27	3
70	26	3
72	25	3
74	26	3
76	23	3
78	25	3
80	24	3
82	22	3
84	27	3
86	24	3
88	26	3
90	20	3
92	23	3
94	20	3
96	23	3
98	20	3
100	23	3
102	20	3
104	28	3
106	19	3
108	47	3
110	19	3
112	19	3
114	19	3
116	17	3
118	19	4
120	20	4
122	21	4
124	20	4
126	20	4
128	24	4
130	18	4
132	19	4
134	19	4
136	18	4
138	17	4
140	18	4

## Mesures aléatoires par unité (n=10)

	1	2	3a	3b	4	terriers dans 3a
prof. moyenne	20 cm	40 cm	70 cm	100 cm	130 cm	70 cm
1	27	28	24	20	20	27
2	31	29	23	20	26	23
3	32	23	27	21	22	24
4	30	27	26	25	22	25
5	30	28	29	19	21	26
6	28	31	25	20	22	26
7	36	30	25	19	20	26
8	28	32	24	20	25	25
9	49	32	29	21	23	25
10	33	27	27	21	19	25
moyenne	32,4	28,7	25,9	20,6	22,0	25,2
écart type	6,4	2,8	2,1	1,7	2,2	1,1

**Annexe 2.2 – Résultat de la datation par OSL et protocole analytique (GADAM)**

Luminescence Dating Laboratory  
Institute of Physics, Silesian University of Technology

2017-06-13

Report on the assessment of age by the luminescent method  
194/2017

Customer: Paleotime  
Job no.: ALG16

Catalog no.: 3478 Sample name: ALG16\_PR3

**A. Laboratory number and dating result**

GdTL-2806 22.3(12) ka
--------------------------

**B. Laboratory measurements**

## 1. Determination of the dose rate

radioactivity measured by: germanium spectrometer

mineral: quartz

etched in 40% HF for 60 min

water content measured: 17.1(5)%

grain size: 90-125 µm

alpha rad. effect.: 0.03(1) assumed

assumed mean water content: 18(5)%

Activity, Bq/kg		
Th-232	U-238	K-40
53.9(11)	33.17(58)	475(13)

Effective dose rate, Gy/ka				
alpha	beta	gamma	cosmic rays	total
0.0230(61)	1.481(74)	1.094(35)	0.202(20)	2.800(84)

## 2. Determination of the equivalent dose

method – OSL-SAR single aliquot regenerative

doses of beta radiation (in Gy):

additive: N/A

nonlinearity of growth of OSL - taken into account

regenerative: 40, 60, 90, 150

anomalous fading test: not tested

Equivalent dose 62.5(27) Gy
--------------------------------

## 3. Notes:

DE obtained for 12 aliquots

CAM (Central Age Model) for 12 aliquots

The sample is characterize by a high scatter of individual DE value

**C. Explanatory notes**

- Age stated in section A is expressed in years (a), thousand (ka) or million (Ma) years before the year 1950.
- Total standard uncertainties expressed in parentheses are given in the last two (or one) digits of the result. Standard uncertainties have been assessed basing on estimated accuracy of laboratory measurements and do not account for any extralaboratory factors.
- Please state the laboratory number when quoting the result of dating.

Director of Laboratory

### Analytic protocol used by GADAM centre for OSL datings

Piotr Moska  
Silesian University of Technology, Institute of Physics  
Department of Radioisotopes, GADAM Centre of Excellence  
Konarskiego 22B, 44-100 Gliwice, POLAND

The annual dose was calculated using Canberra spectrometer equipped with HPGe detector. Typical mass of dry sample was about 800 g, which was measured at least 24 hours. Final dose rates were calculated using the conversion factors of Adamiec and Aitken (1998) and contains also cosmic ray dose-rate to the site which was determined using Prescott and Hutton (1994) description. We assumed that the average water content was no higher than 20 % and consequently used a value of  $15 \pm 5$  %.

For standard OSL measurements, medium sized grains (45–63  $\mu\text{m}$ ) and coarse grains of quartz (90–125  $\mu\text{m}$ ) were extracted from the sediment samples. Laboratory protocol includes few steps of chemical treatment such as 20 % hydrochloric acid (HCl), 20 % hydrogen peroxide ( $\text{H}_2\text{O}_2$ ) and finally concentrated hydrofluoric acid (HF). The quartz grains were also separated using density separation with the application of sodium polytungstate solutions leaving grains of densities between 2.62  $\text{g}/\text{cm}^3$  and 2.75  $\text{g}/\text{cm}^3$ . The medium sized quartz fraction discs were prepared by spraying silicone oil on to 10-mm-diameter stainless steel discs through a mask with holes of a diameter of ca. 6 mm allowing for ca. 1 mg of grains be stuck on them.

All OSL measurements were made using an automated Daybreak 2200 TL/OSL reader (Bortolot, 2000). This reader uses blue diodes ( $470 \pm 4$  nm) delivering about 60  $\text{mW}/\text{cm}^2$  at the sample position and is equipped with 6 mm Hoya U-340 filter for the OSL measurements. Laboratory irradiations were made using a calibrated  $^{90}\text{Sr}/^{90}\text{Y}$  beta source mounted onto the reader with a dose rate of 3.0 Gy/min.

For the medium grain quartz fraction, equivalent doses were determined using the single-aliquot regenerative-dose (SAR) protocol (Murray and Wintle, 2000). Ages calculated using the Central Age Model (CAM) (Galbraith et al., 1999) are presented in figures where the relative probability density functions (Berger, 2010) for all samples are presented on the scale of the age.

ADAMIEC, G., AND M. AITKEN. 1998. Dose-Rate Conversion Factors: Update. *Ancient TL*. Vol. 16, no. 2, pp. 37–50.

BERGER, G. W. 2010. An Alternate Form of Probability-Distribution Plot for  $D_e$  Values. *Ancient TL*. Vol. 28, no. 1, pp. 11–21.

BORTOLOTT, V. J. 2010. A New Modular High Capacity OSL Reader System. *Radiation Measurements*. Vol. 32, pp. 751–57.

GALBRAITH, R. F., R. G. ROBERTS, G. M. LASLETT, H. YOSHIDA, AND J. M. OLLEY. 1999. Optical Dating of Single and Multiple Grains of Quartz from Jinmium Rock Shelter, Northern Australia : Part I, Experimental Design and Statistical Models. *Archeometry*. Vol. 41, no. 2, pp. 339–64.

MURRAY, A. S., AND A. G. WINTLE. 2000. Luminescence Dating of Quartz Using an Improved Single-Aliquot Regenerative-Dose Protocol. *Radiation Measurements*. N°. 32, pp. 57–73.

PRESCOTT, J. R., AND J. T. HUTTON. 1994. Cosmic Ray Contributions to Dose Rates for Luminescence and ESR Dating : Large Depaths and Long-Term Time Variations. *Radiation Measurements*. Vol. 23, no. 2/3, pp. 497–500.

### Annexe 2.3 – Bilan des observations stratigraphiques, semaine 2 (M. Rué)

ABLIS (78) Les Genêts – ALG16  
Fouille préventive Paléotime, RO Anne Hauzeur  
**Bilan des observations stratigraphiques, semaine 2**  
Mathieu Rué, Paléotime  
19/08/16

---

Les observations stratigraphiques se sont focalisées sur sept coupes réparties sur l'ensemble de la zone décapée. Elles ont également tiré parti de plusieurs fenêtres de 1 à 2 m<sup>2</sup> nettoyées manuellement à proximité des coupes, dans l'horizon à mobilier, et selon différentes conditions d'observation (ombre/lumière, avant/après séchage).

Même si, à ce jour, les enregistrements ne sont pas tous achevés, les observations menées cette semaine permettent d'esquisser le cadre stratigraphique du site. Six unités pédosédimentaires ont été reconnues en tout point de l'emprise, sur une épaisseur maximale de 2,5 m. On trouve schématiquement de haut en bas :

- l'horizon cultivé actuel (unité 1), d'épaisseur régulière (environ 30 cm) ;
- un horizon limoneux brun (unité 2), renfermant le mobilier en épandage diffus, d'épaisseur variable (environ 30 cm) ;
- un horizon limono-argileux brun jaune (unité 3), exempt de vestiges, épais d'environ 40 cm ;
- un complexe argileux brun débutant par un niveau à blocs de meulière (unité 4) et dans lequel s'intercalent des volumes de graviers (unité 5), d'épaisseur très variable ;
- des argiles bariolées (unité 6) qui appartiennent au substrat oligocène (formation g3M de la carte géologique), base non atteinte.

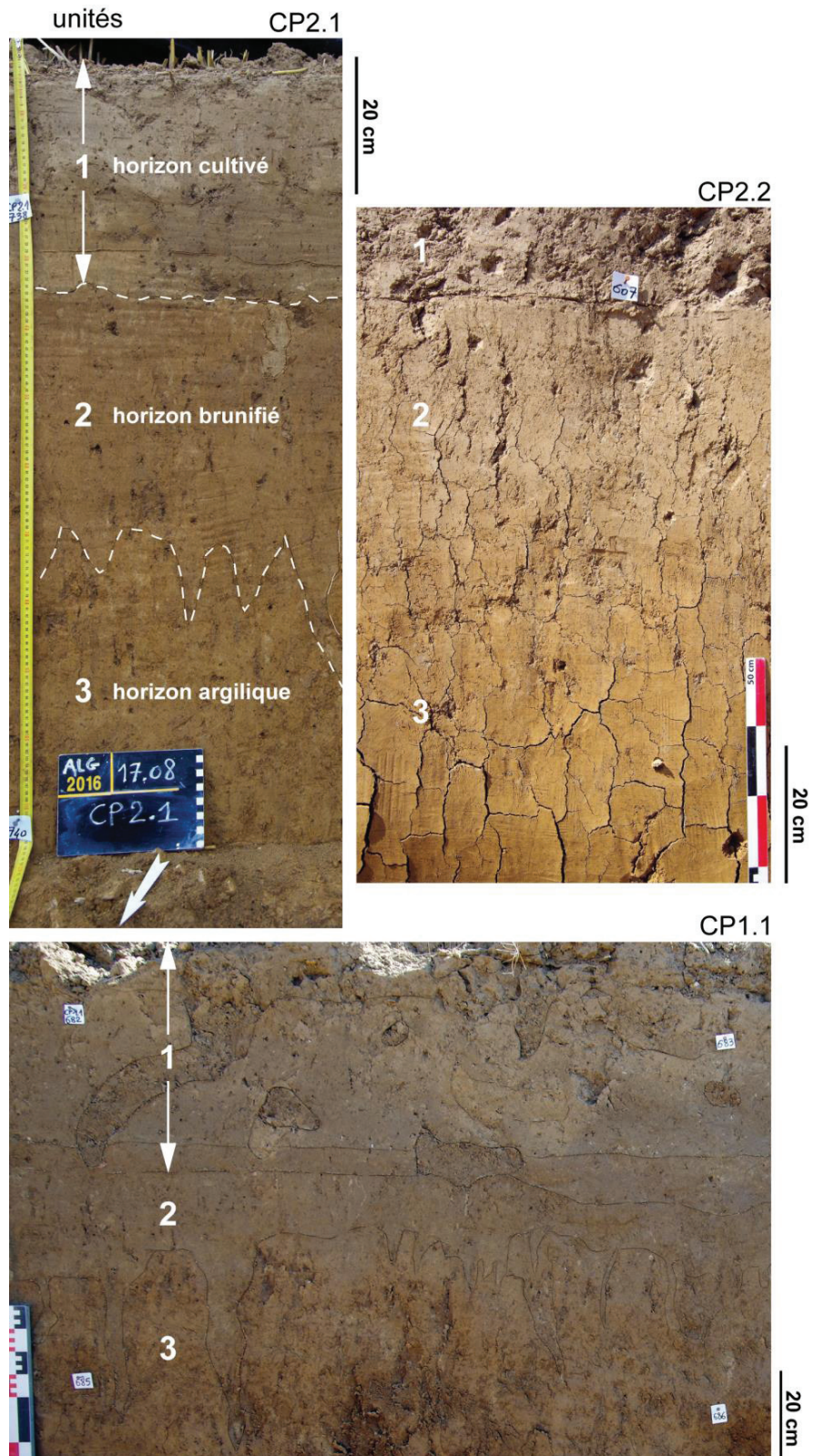
L'organisation de la partie supérieure de cette séquence est tout à fait classique :

1) L'horizon cultivé (unité 1) est homogénéisé par le passage répété des engins agricoles. Localement, des volumes de matériaux remontés des unités sous-jacentes par les labours profonds subsistent (billons). La partie inférieure de cet horizon est ponctuée par des tâches limoneuses claires, millimétriques à centimétriques, au contour net. Elles témoignent d'épisodes de ruissellement sur sol nu (croûtes de battance). Ces limons ruisselés sont également préservés dans les conduits biologiques verticaux qui descendent vers le bas du profil, provoquant en plan tout un réseau de tâches subcirculaires. Sous la semelle de labour, le limon présente localement des fissurations horizontales provoquées par le passage des engins (pseudo-structure lamellaire).

2) Les deux horizons sous-jacents (unités 2 et 3), interprétés lors du diagnostic comme les restes de matériaux de construction en terre, traduisent en réalité chacun un stade d'altération du sol, celui à la base correspondant au stade le plus évolué (horizon argilique de luvisol). Aux échelles macroscopiques, plus aucun indice du milieu de dépôt initial n'est perceptible. En d'autres termes, les figures ou anomalies que l'on perçoit aujourd'hui en plan ou en coupe, en particulier les tâches plus claires, de taille centimétrique à décimétrique, et de formes variées, résultent de l'évolution naturelle d'un dépôt limono-loessique. Cette longue évolution pédogénétique, qui couvre sans doute une grande partie de l'Holocène, a progressivement abouti à l'enrichissement du limon initial en argile, expliquant, entre autres, l'apparition de caractères hydromorphes plus contrastées vers la base (et donc de figures ou anomalies au contour plus net). Les fentes de retrait qui apparaissent en coupe après quelques jours de séchage illustrent parfaitement l'augmentation naturelle de cette teneur en argile vers le bas des profils.

3) Enfin, différents terriers, actuels ou anciens, viennent complexifier cette organisation.

En raison du caractère très commun des faciès pédosédimentaires reconnus sur la zone décapée et de leur grande extension latérale (sans doute bien au-delà de l'emprise), le potentiel « terre crue » du site est donc à ce jour entièrement remis en question.



*Aperçu photographique du sommet de la séquence.  
Les horizons 2 et 3 ont été interprétés comme d'origine anthropique lors du diagnostic.*

### Annexe 3.1 – Modèle de fiche d'enregistrement pour les fenêtres d'observation en plan

#### fiche d'enregistrement des faciès pédosédimentaires en plan

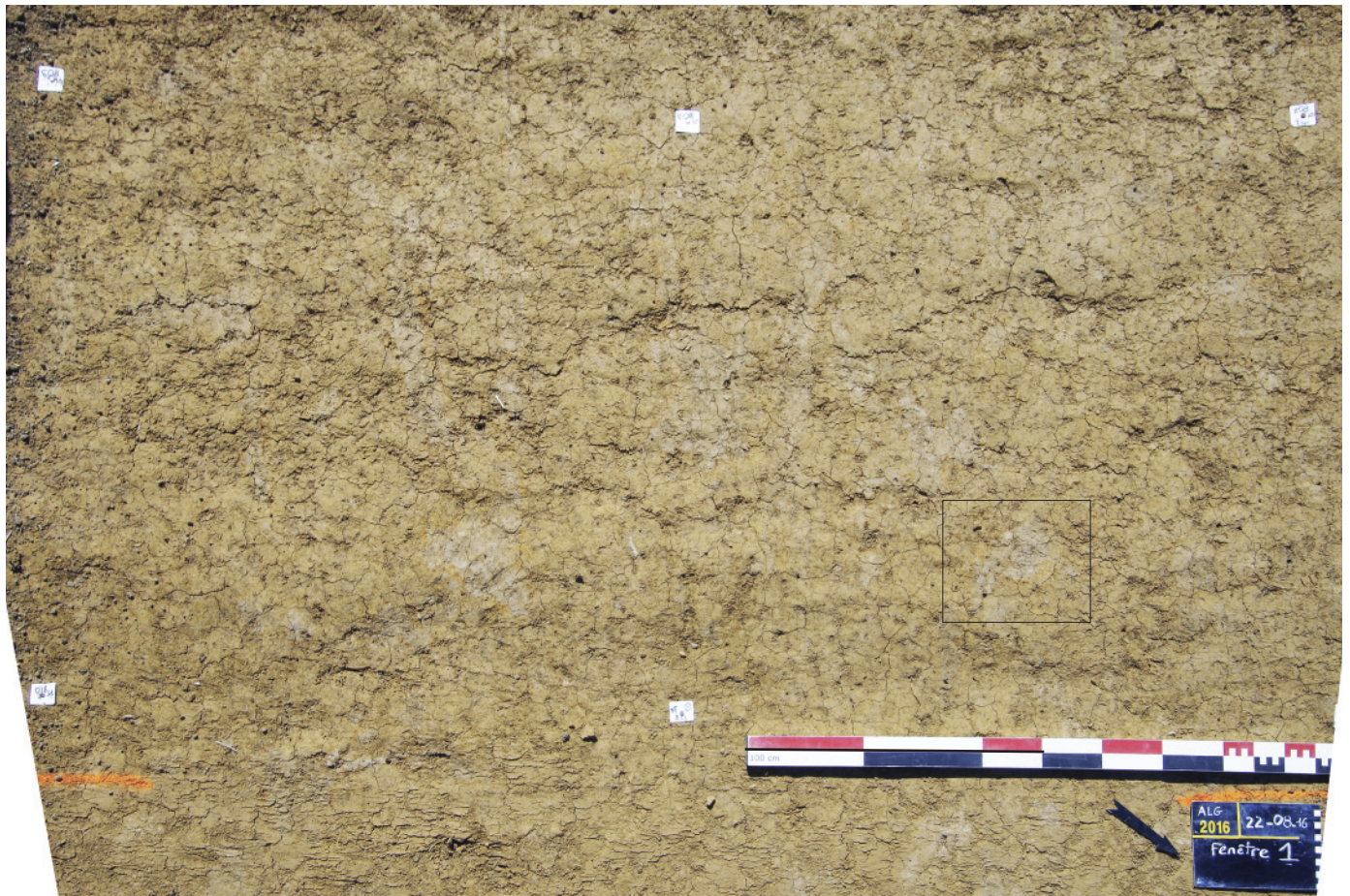
<p>opération : </p> <p>date : auteur(s) :</p>	<p><b>fenêtre n°</b></p>
<p><b>croquis d'implantation des points topographiques</b> (indiquer le nord, les clous et leur numéro, localiser si besoin les éléments singuliers)</p>	<p><b>position dans l'unité pédosédimentaire</b></p>
<p><b>méthodologie</b> (indiquer la date, les travaux réalisés et les conditions d'observation)</p>	<p><b>enregistrements associés</b></p> <ul style="list-style-type: none"><li><input type="checkbox"/> photo</li><li><input type="checkbox"/> minute</li><li><input type="checkbox"/> prélèvement</li><li><input type="checkbox"/> mobilier côté</li><li><input type="checkbox"/> autre :</li></ul>
<p><b>à faire</b></p>	
<p><b>observations et interprétations</b></p>	

### Annexe 3.2 – Catalogue des fenêtres d'observation (A. Hauzeur)

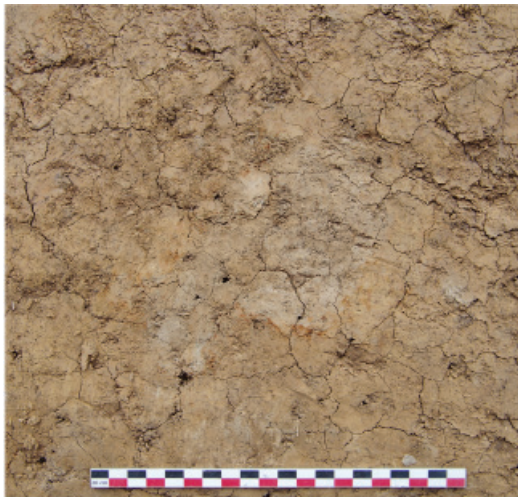
(tableau de synthèse et illustrations pages suivantes)

	Fenêtre 1	Fenêtre 2	Fenêtre 3	Fenêtre 4	Fenêtre 5	Fenêtre 6
points topographiques	807-812	1051-1054	1063-1066	732-737	688-693	-
unité pédosédimentaire (UPS)	interface 2/3	2	base 2	interface 2/3	2	base 2
méthodologie	<ul style="list-style-type: none"> <li>décapage méca</li> <li>raséage fin, 16/08</li> <li>photo zénithale et détails, 22/08</li> <li>séchage à l'air libre</li> </ul>	<ul style="list-style-type: none"> <li>décapage méca, 18/08</li> <li>séchage air libre</li> <li>photo zénithale, 22/08</li> <li>apparition d'une tache claire</li> <li>seau d'eau de 5 litres sur surface, 23/08</li> <li>fouille manuelle, 24/08</li> <li>fouille millimétrique en plan</li> </ul>	<ul style="list-style-type: none"> <li>décapage méca et raséage, 18/08</li> <li>bâchage</li> <li>raséage fin, 23/08</li> <li>photo zénithale, 23/08</li> <li>humidification au vaporisateur</li> <li>photos, 23/08</li> </ul>	<ul style="list-style-type: none"> <li>décapage méca</li> <li>raséage fin</li> <li>photo zénithale</li> <li>séchage à l'air libre, molié est</li> <li>bâchage, molié ouest</li> </ul>	<ul style="list-style-type: none"> <li>décapage méca, 08/08</li> <li>raséage fin, 08/08</li> <li>redécapage méca à -10 cm</li> <li>fouille en US du terrier</li> <li>photos</li> <li>bâchage</li> </ul>	<ul style="list-style-type: none"> <li>décapage méca, 09/08, zone M184 au niveau initial du diagnostic</li> <li>raséage fin, 09/08</li> <li>bâchage</li> <li>humidification, 11/08</li> </ul>
enregistrements	photographies	photographies à chaque passe	photographies	photographies	photographies	photographies
observations	taches blanchâtres entourées d'un liséré d'oxydation	le mouillage de la surface fait ressortir la structuration polyédrique (l'eau s'infiltre préférentiellement dans les fentes)	serie de taches blanchâtres à contour circulaire en section	taches blanchâtres subcirculaires à contour non oxydé	galeries horizontales comblées ou non par un matériau meuble	taches blanchâtres subcirculaires à contour non oxydé
interprétations	langues de dégradation de l'horizon argilique (glosses)	zone plus intensément lessivée et structuration polyédrique (effet "pain de terre")	association de comblements d'anciens conduits biologiques et de glosses	comblements d'anciens conduits biologiques	terrier récent	comblements d'anciens conduits biologiques
points topographiques	580-583	728-731	1095-1097	1099-1101	663-665	Fenêtre 11
unité pédosédimentaire (UPS)	sommet 2	sommet 2	interface 2/3	base 2	interface 2/3	
méthodologie	<ul style="list-style-type: none"> <li>décapage méca</li> <li>fouille méca par passes fines sur 15 cm</li> <li>arrêt dès apparition terre vernissée</li> <li>photos</li> <li>fouille manuelle en coupe débordante, 24/08</li> </ul>	<ul style="list-style-type: none"> <li>décapage méca</li> <li>raséage fin</li> <li>fouille manuelle en plan sur 5 cm</li> <li>photos</li> <li>séchage air libre</li> </ul>	<ul style="list-style-type: none"> <li>décapage méca, 08/08</li> <li>raséage fin, 08/08</li> <li>séchage air libre</li> <li>photos, 24/08</li> </ul>	<ul style="list-style-type: none"> <li>décapage méca, semaine 1</li> <li>raséage fin</li> <li>séchage air libre</li> <li>photos, semaine 3</li> </ul>	<ul style="list-style-type: none"> <li>décapage méca, semaine 1</li> <li>raséage fin</li> <li>séchage air libre</li> <li>photos, semaine 3</li> </ul>	
enregistrements	photographies	photographies	photographies	photographies	photographies	
observations	conduit vertical à comblement de type UPS incluant un fragment de terre cuite vernissée verte médiévale	anomalie claire à liseré brun, uniquement visible dans CP 2.2, taille décimétrique	zone à nombreuses taches claires subcirculaires	tache principale en forme de fer à cheval, dimension métrique, avec remontée graveleuse au centre	taches blanchâtres subcirculaires à contour net	
interprétations	comblement d'un ancien conduit biologique	origine précise inconnue (bioturbation ou altération ?)	comblements d'anciens conduits biologiques	stigmatisme de la chute d'un arbre (chablis)	comblements d'anciens conduits biologiques	

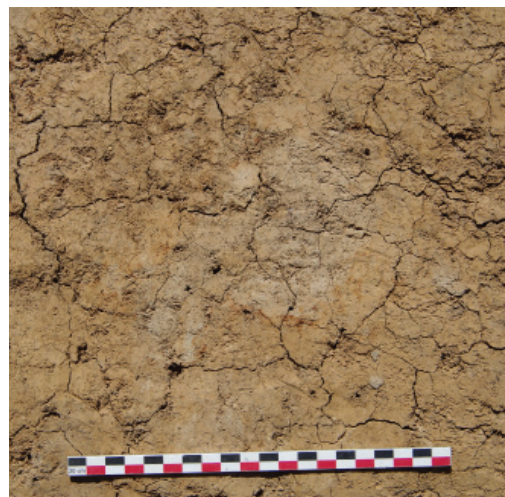
## Fenêtre 1



Vue zénithale redressée de la fenêtre 1 avec le détail de l'observation d'une anomalie.

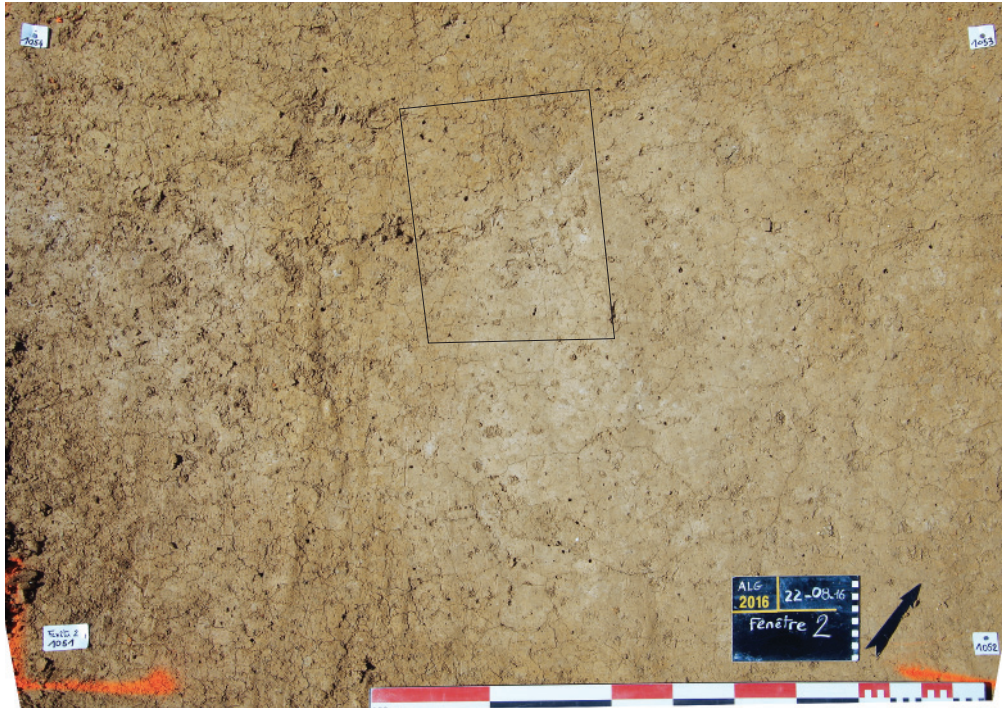


Vue zénithale de l'une des anomalies  
(cliché 18/08/16).

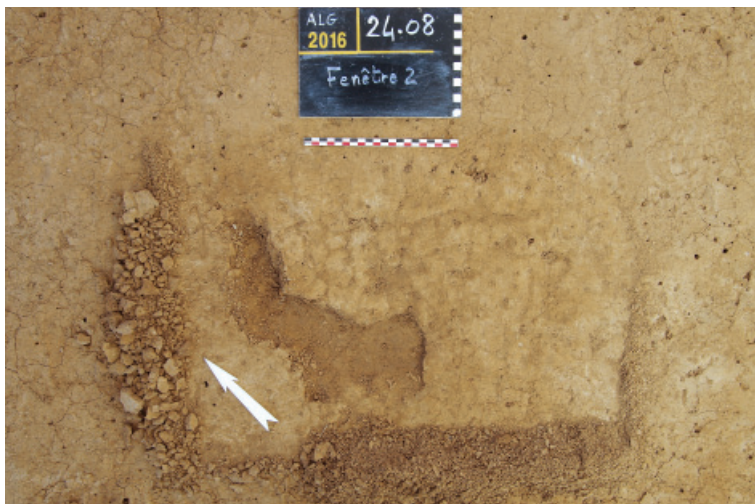


Vue zénithale de l'une des anomalies  
(cliché 22/08/16).

## Fenêtre 2



Vue zénithale redressée de la fenêtre 2  
et emplacement de la sous-fenêtre de fouille.



Fouille planimétrique d'une sous-fenêtre  
après mouillage. Le sédiment s'arrache en  
« cubes » centimétriques (13h59).

Méthodologie de la fouille fine.

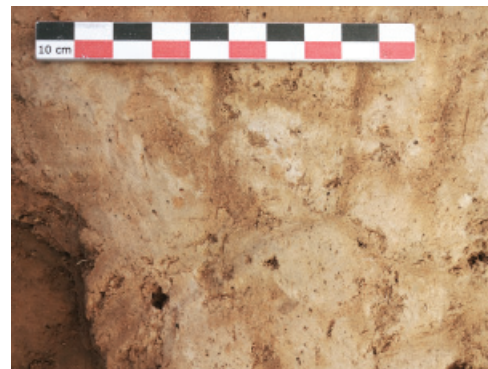


Fouille planimétrique d'une sous-fenêtre après mouillage.  
Enregistrement photographique des différentes passes millimétriques de 2 à 5 mm effectuées au couteau ou à la spatule métallique.

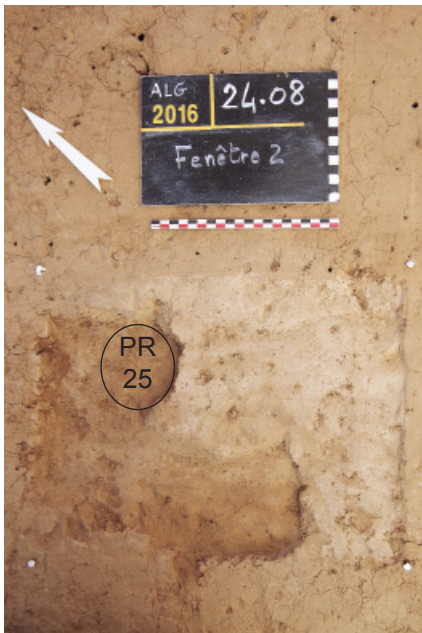


Suite décapage (cliché 14h55).

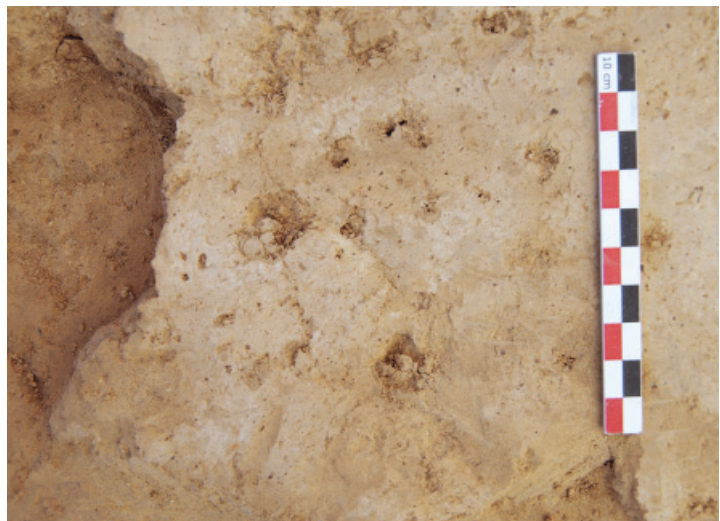
Renettoyage et mise en place  
des clous de référence (cliché 14h42).



Détail de la fissuration en blocs centimétriques et des bioturbations (cliché 15h04). On remarquera deux trous de ver comblés par de la terre cuite ? (PR25)

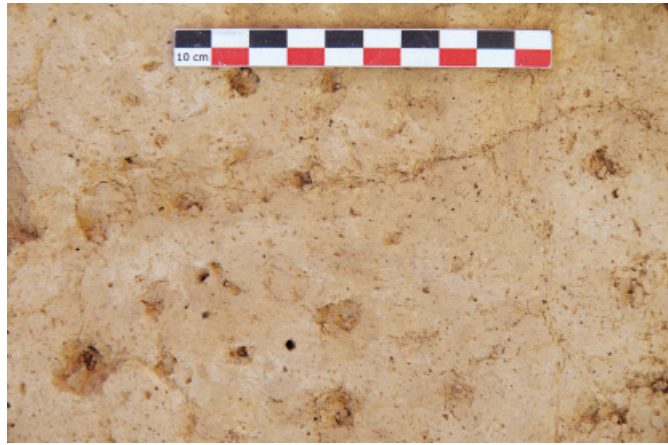


Suite décapage (cliché 15h34)  
et détail de la micro-zone à droite  
du prélèvement.





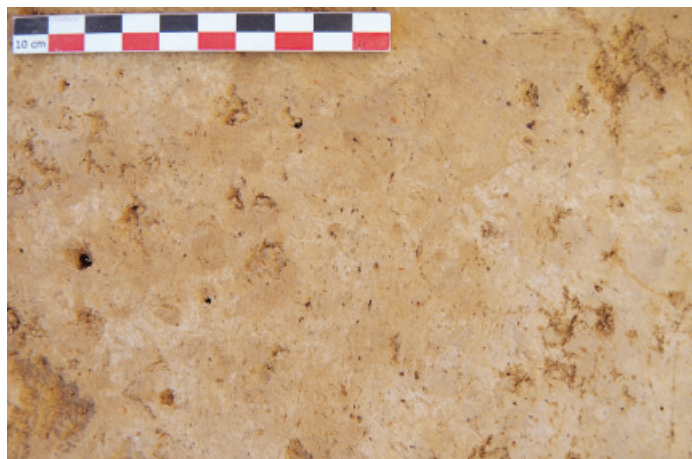
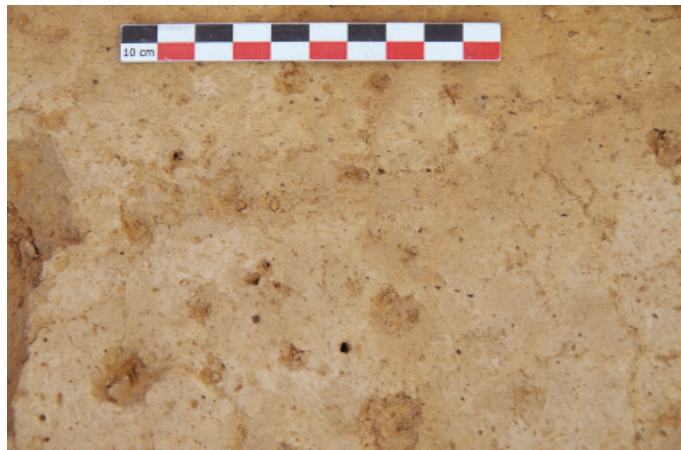
Suite décapage (cliché 15h41). Développement net d'un conduit horizontal linéaire et de sa fissuration médiane.



Détail 1 (cliché 15h42).



Suite décapage (cliché 16h36).



Détail (cliché 16h37).

### Fenêtre 3



Vue cavalière de la fenêtre 3 après nettoyage fin à la truelle; vue vers le nord-ouest.



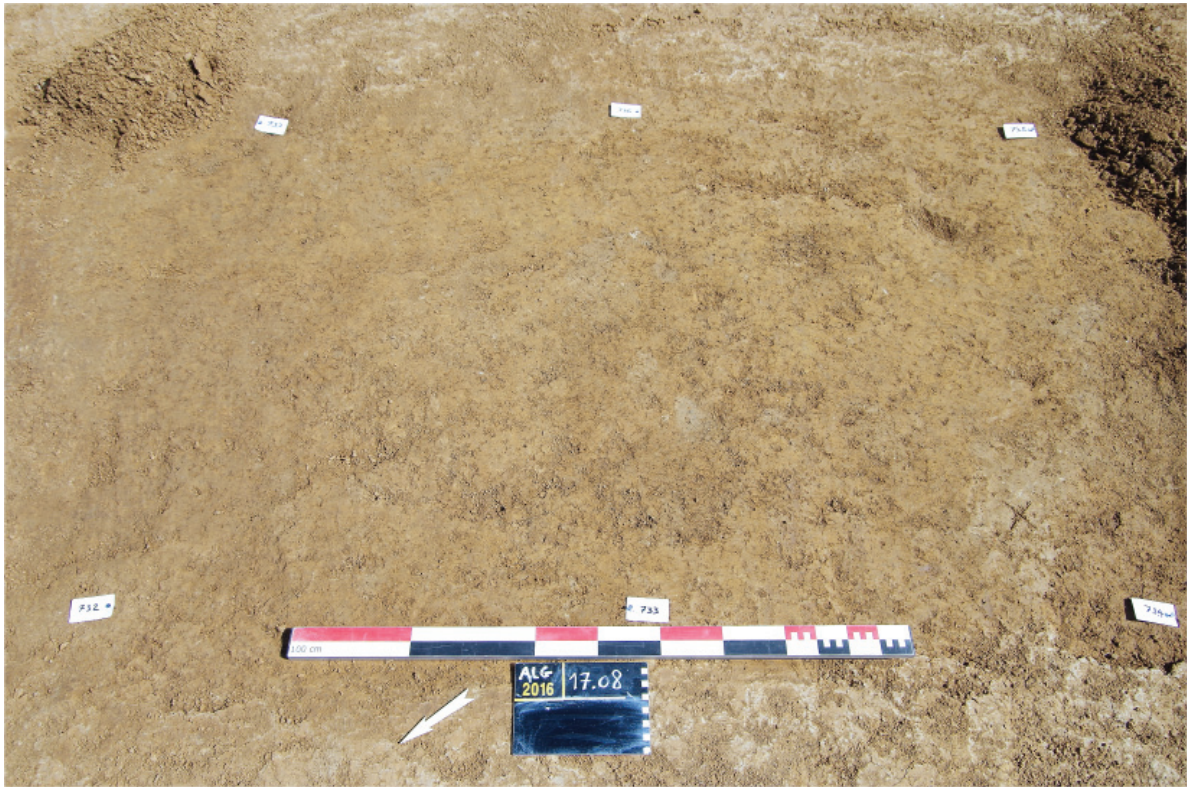
Vue zénithale redressée de la fenêtre 3 (PT1063, 1064, 1066, 1067) après nettoyage fin à la truelle; vue vers le nord-est.

Vue cavalière de la fenêtre 3 après nettoyage fin à la truelle; vue vers le sud-ouest.



Vue cavalière de la fenêtre 3 après humidification au vaporisateur; vue vers le sud-ouest.

## Fenêtre 4



Vue cavalière de la fenêtre 4 après nettoyage fin; vue vers le sud-est.

## Fenêtre 5



Vue cavalière de la fenêtre 5 après nettoyage fin; vue vers le sud-est.



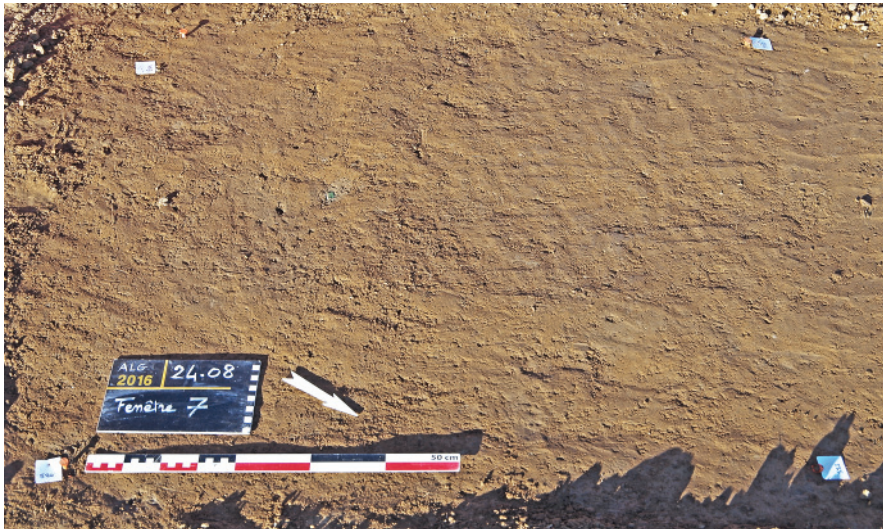
Vue zénithale du terrier; vue vers le sud-est.

## Fenêtre 6



Vue générale de la zone autour du sondage MI84 du diagnostic.  
A l'avant-plan se distingue la tracé linéaire blanchâtre ST9 (entre les deux flèches).

## Fenêtre 7



Vue cavalière de la fenêtre 7 après nettoyage fin; vue vers le sud-ouest.  
On notera le petit tesson de terre vernissée verte dans une bioturbation.

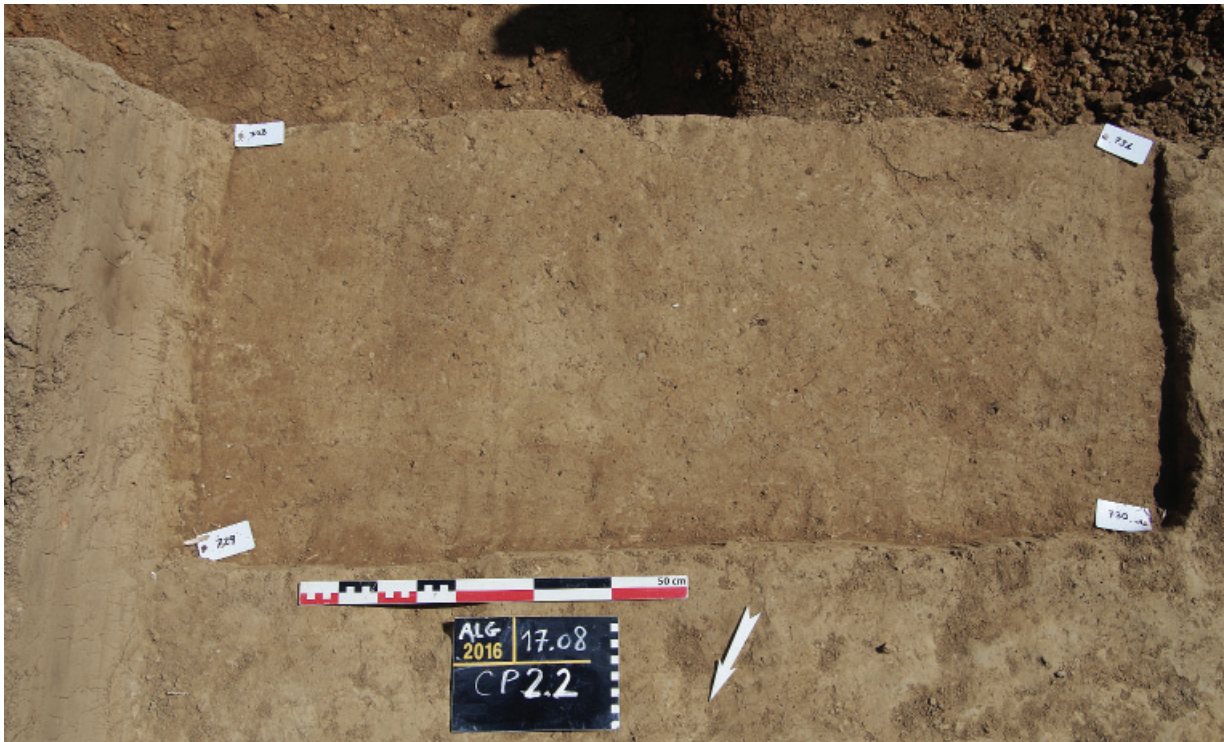
Détail du petit tesson de terre vernissée verte dans une bioturbation.



Coupe de l'anomalie au niveau du tesson de terre vernissée verte.



## Fenêtre 8



Vue zénithale de la fenêtre 8 après fouille; vue vers le sud-est.



Vue en coupe et en plan de l'anomalie à liseré brun.

## Fenêtre 9



Vue cavalière de la fenêtre 9 après décapage mécanique, rasettage et séchage à l'air libre (cliché 24/08/16).

## Fenêtre 10



Vue cavalière de la fenêtre 10 après décapage mécanique, rasettage et séchage à l'air libre (cliché 23/08/16).  
La zone blanchâtre et la zone graveleuse adjacente correspondent à la trace de la chute d'un arbre.



Vue cavalière de la fenêtre 10 après séchage à l'air libre (cliché 25/08/16);  
vue vers le sud-est.

## Fenêtre 11



Vue zénithale redressée de la fenêtre 11 après nettoyage à la truelle.  
Localisation de la vue de détail.



Fenêtre 11 : détail des taches blanchâtres.



## SECTION 3

# Inventaires techniques et scientifiques



## 1 - Inventaire des unités pédo-sédimentaires

N° UPS	COUPE DE RÉFÉRENCE	DESCRIPTION GÉNÉRALE	CODE COULEUR MUNSELL	STRUCTURE	LIMITE INFÉRIEURE	ÉPAISSEUR MOYENNE (cm)	INTERPRÉTATION
1	4.1	Limoneux, globalement brun olive clair, d'apparence grise, à rares graviers siliceux, à mobilier anthropique épars.	2,5Y 5/3	polyédrique à grumeleuse	nette et rectiligne	30	Horizon cultivé (LE)
2	4.1	Limoneux, brun jaune sombre, à rares graviers siliceux, à mobilier anthropique épars.	10YR 4/4	polyédrique à tendance prismatique	diffuse et ondulée	30	Horizon argilique BT1 (bioturbé)
3	4.1	Limoneux, brun jaune, à rares graviers siliceux.	10YR 5/8	polyédrique à tendance prismatique	nette et ondulée	40	Horizon argilique BT1
4	4.1	Limono-argileux, brun jaune, à quelques graviers et cailloux siliceux, à tâches hydromorphes diffuses.	10YR 5/6	polyédrique	nette et rectiligne	40	Horizon argilique BT2
5	4.1	Argileux, brun vif, d'aspect légèrement rouge en coupe, à nombreux graviers, cailloux et blocs siliceux, à tâches hydromorphes diffuses.	7.5YR 4/6	polyédrique	(non observé)	?	Horizon argilique BT3
6	3.1	Argileux bariolé (blanchâtre, brun et rouge), à rares éléments grossiers (peu observé).	(non observé)	(non observée)	(non observé)	?	Argiles à meulière de Montmorency

## 2 – Inventaire des prélèvements

N° PR	LOCALISATION	UPS	US	TYPE DE PRÉLÈVEMENT	QUANTITÉ	ANALYSE	REMARQUES	AUTEUR	DATE	TRAITEMENT RÉALISÉ	LABO	MATÉRIAU CONSERVÉ	LIEU DE CONSERVATION
1	Fenêtre 7	-		sédiment vrac	petit sac	granulométrie	complètement conduit biologique, PT568	MR	16/08/2016	microgranulométrie	ESIREM	oui	Paléotime
2	Fenêtre 7	2		sédiment vrac	petit sac	granulométrie	encaissant PR1	MR	16/08/2016	microgranulométrie	ESIREM	oui	Paléotime
3	CP 4.1	3		sédiment tube + vrac	2 L	OSL	PT 1069 pris au centre	MR	23/08/2016	datation	GADAM	non	
4	CP 4.1	1/2		sédiment bloc	1	micromorphologie	PT pris à la base	MR	23/08/2016	litholamellage	EPOC	oui	Paléotime
5	CP 4.1	2/3		sédiment bloc	1	micromorphologie	PT pris à la base	MR	23/08/2016	litholamellage	EPOC	oui	Paléotime
6	CP 4.1	3		sédiment bloc	1	micromorphologie	PT pris à la base	MR	23/08/2016	litholamellage	EPOC	oui	Paléotime
7	CP 4.1	1		sédiment vrac	petit sac	granulométrie, géochimie		MR	23/08/2016	microgranulométrie, géochimie	ESIREM / INPA	oui	Paléotime
8	CP 4.1	1		sédiment vrac	petit sac	granulométrie, géochimie		MR	23/08/2016	microgranulométrie, géochimie	ESIREM / INPA	oui	Paléotime
9	CP 4.1	2		sédiment vrac	petit sac	granulométrie, géochimie		MR	23/08/2016	microgranulométrie, géochimie	ESIREM / INPA	oui	Paléotime
10	CP 4.1	2		sédiment vrac	petit sac	granulométrie, géochimie		MR	23/08/2016	microgranulométrie, géochimie	ESIREM / INPA	oui	Paléotime
11	CP 4.1	2		sédiment vrac	petit sac	granulométrie, géochimie		MR	23/08/2016	microgranulométrie, géochimie	ESIREM / INPA	oui	Paléotime
12	CP 4.1	2		sédiment vrac	petit sac	granulométrie, géochimie		MR	23/08/2016	microgranulométrie, géochimie	ESIREM / INPA	oui	Paléotime
13	CP 4.1	3		sédiment vrac	petit sac	granulométrie, géochimie		MR	23/08/2016	microgranulométrie, géochimie	ESIREM / INPA	oui	Paléotime
14	CP 4.1	3		sédiment vrac	petit sac	granulométrie, géochimie		MR	23/08/2016	microgranulométrie, géochimie	ESIREM / INPA	oui	Paléotime
15	CP 4.1	3		sédiment vrac	petit sac	granulométrie, géochimie		MR	23/08/2016	microgranulométrie, géochimie	ESIREM / INPA	oui	Paléotime
16	CP 4.1	3		sédiment vrac	petit sac	granulométrie, géochimie		MR	23/08/2016	microgranulométrie, géochimie	ESIREM / INPA	oui	Paléotime
17	CP 4.1	3		sédiment vrac	petit sac	granulométrie, géochimie		MR	23/08/2016	microgranulométrie, géochimie	ESIREM / INPA	oui	Paléotime
18	CP 4.1	4		sédiment vrac	petit sac	granulométrie, géochimie		MR	23/08/2016	microgranulométrie, géochimie	ESIREM / INPA	oui	Paléotime
19	CP 4.1	4		sédiment vrac	petit sac	granulométrie, géochimie		MR	23/08/2016	microgranulométrie, géochimie	ESIREM / INPA	oui	Paléotime
20	CP 4.1	1		sédiment vrac	3 L	granulométrie		MR	23/08/2016	granulométrie	Paléotime	oui	Paléotime
21	CP 4.1	2		sédiment vrac	3 L	granulométrie		MR	23/08/2016	granulométrie	Paléotime	oui	Paléotime
22	CP 4.1	3		sédiment vrac	3 L	granulométrie		MR	23/08/2016	granulométrie	Paléotime	oui	Paléotime
23	CP 4.1	5		sédiment vrac	petit sac	observation / témoin		MR	23/08/2016	-		oui	Paléotime
24	ST4	6		sédiment vrac	petit sac	observation / témoin		MR	23/08/2016	-		oui	Paléotime
25	Fenêtre 2	2		sédiment bloc	2	observation / témoin		AH	24/08/2016	-		oui	Paléotime

## 3 - Inventaire des structures et anomalies

CODE OPÉRATION	CODE SITE	PARCELLE	FAIT	TYPE DE FAIT	INTERPRÉTATION	FORME EN PLAN	PAROIS	FOND	LONGUEUR (cm)	LARGEUR (cm)	PROFONDEUR (cm)	ATTRIBUTION CHRONOLOGIQUE	FAUNE	CERAMIQUE	LITHIQUE	MÉTAL	AUTRE	COUPE	PLAN	MINUTE	PHOTOS
10280	ALG16	ZL349	01	tracé linéaire	parcellaire	longiligne	oblique	irrégulier		54	5	indét.						X	X	X	X
10280	ALG16	ZL349	02	dépression, partiellement dégagée	mare ? fosse ?	inconnu	oblique	non atteint			> 120	indét.							X		X
10280	ALG16	ZL349	03	anomalie	chablis														X		
10280	ALG16	ZL349	04	fosse subcirculaire	fosse d'extraction	ovale	en gradins	atteint à la tarière	600	400	400	Antique ?					X		X		X
10280	ALG16	ZL349	05	anomalie	chablis														X		
10280	ALG16	ZL349	06	anomalie	terrier ou racine														X		
10280	ALG16	ZL349	07	anomalie	terrier ou racine														X		
10280	ALG16	ZL349	08	anomalie	chablis														X		
10280	ALG16	ZL349	09	tracé linéaire	parcellaire	longiligne	oblique	irrégulier			11	indét.						X	X	X	X
10280	ALG16	ZL349	10	anomalie	figure d'hydromorphie	rectangulaire	verticale	plat	145	85	27							X	X	X	X
10280	ALG16	ZL349	11	concentration de blocs	empierrement	ovale			590	365	< 10	indét.			X				X		X

## 4 - Inventaire du mobilier archéologique : administratif des points topographiés (PT) et des structures

OA10280\_ALG16\_inventaire04\_mobilier.xls: page 1/9

DONNEES ADMINISTRATIVES						DONNEES SCIENTIFIQUES					N°casse
Code OA	Commune	INSEE	Localisation / Lieu-dit	Parcelle cadastrale	Propriétaire(s) du terrain	UE	N°ordre	Catégorie matériau	Matériau	Etat	
10280	ABLIS	78003	les Genêts	ZL349	Tepac	PT0001	1	terre_cuite	céramique	stable	1
10280	ABLIS	78003	les Genêts	ZL349	Tepac	PT0002	1	lithique	silix	stable	2
10280	ABLIS	78003	les Genêts	ZL349	Tepac	PT0003	1	terre_cuite	céramique	stable	1
10280	ABLIS	78003	les Genêts	ZL349	Tepac	PT0004	1	lithique	silix	stable	2
10280	ABLIS	78003	les Genêts	ZL349	Tepac	PT0005	1	lithique	silix	stable	2
10280	ABLIS	78003	les Genêts	ZL349	Tepac	PT0006	1	lithique	silix	stable	2
10280	ABLIS	78003	les Genêts	ZL349	Tepac	PT0007	1	lithique	silix	stable	2
10280	ABLIS	78003	les Genêts	ZL349	Tepac	PT0008	1	terre_cuite	céramique	stable	1
10280	ABLIS	78003	les Genêts	ZL349	Tepac	PT0009	1	lithique	silix	stable	2
10280	ABLIS	78003	les Genêts	ZL349	Tepac	PT0010	1	lithique	conglomérat	stable	2
10280	ABLIS	78003	les Genêts	ZL349	Tepac	PT0011	1	lithique	conglomérat	stable	2
10280	ABLIS	78003	les Genêts	ZL349	Tepac	PT0012	1	lithique	silix	stable	2
10280	ABLIS	78003	les Genêts	ZL349	Tepac	PT0013	1	lithique	conglomérat	stable	2
10280	ABLIS	78003	les Genêts	ZL349	Tepac	PT0014	1	lithique	silix	stable	2
10280	ABLIS	78003	les Genêts	ZL349	Tepac	PT0015	1	terre_cuite	céramique	stable	1
10280	ABLIS	78003	les Genêts	ZL349	Tepac	PT0016	1	terre_cuite	céramique	stable	1
10280	ABLIS	78003	les Genêts	ZL349	Tepac	PT0017	1	terre_cuite	céramique	stable	1
10280	ABLIS	78003	les Genêts	ZL349	Tepac	PT0018	1	lithique	conglomérat	stable	2
10280	ABLIS	78003	les Genêts	ZL349	Tepac	PT0019	1	lithique	conglomérat	stable	2
10280	ABLIS	78003	les Genêts	ZL349	Tepac	PT0020	1	lithique	conglomérat	stable	2
10280	ABLIS	78003	les Genêts	ZL349	Tepac	PT0021	1	lithique	conglomérat	stable	2
10280	ABLIS	78003	les Genêts	ZL349	Tepac	PT0022	1	lithique	conglomérat	stable	2
10280	ABLIS	78003	les Genêts	ZL349	Tepac	PT0023	1	lithique	conglomérat	stable	2
10280	ABLIS	78003	les Genêts	ZL349	Tepac	PT0023	2	lithique	conglomérat	stable	2
10280	ABLIS	78003	les Genêts	ZL349	Tepac	PT0024	1	lithique	silix	stable	2
10280	ABLIS	78003	les Genêts	ZL349	Tepac	PT0025	1	lithique	silix	stable	2
10280	ABLIS	78003	les Genêts	ZL349	Tepac	PT0026	1	lithique	conglomérat	stable	2
10280	ABLIS	78003	les Genêts	ZL349	Tepac	PT0027	1	terre_cuite	terre cuite	stable	1
10280	ABLIS	78003	les Genêts	ZL349	Tepac	PT0028	1	terre_cuite	céramique	stable	1
10280	ABLIS	78003	les Genêts	ZL349	Tepac	PT0029	1	terre_cuite	TCA	stable	1
10280	ABLIS	78003	les Genêts	ZL349	Tepac	PT0030	1	terre_cuite	TCA	stable	1
10280	ABLIS	78003	les Genêts	ZL349	Tepac	PT0031	1	terre_cuite	TCA	stable	1
10280	ABLIS	78003	les Genêts	ZL349	Tepac	PT0032	1	terre_cuite	TCA	stable	1
10280	ABLIS	78003	les Genêts	ZL349	Tepac	PT0033	1	terre_cuite	TCA	stable	1
10280	ABLIS	78003	les Genêts	ZL349	Tepac	PT0034	1	terre_cuite	TCA	stable	1
10280	ABLIS	78003	les Genêts	ZL349	Tepac	PT0035	1	lithique	silix	stable	2
10280	ABLIS	78003	les Genêts	ZL349	Tepac	PT0036	2	terre_cuite	céramique	stable	1
10280	ABLIS	78003	les Genêts	ZL349	Tepac	PT0036	1	terre_cuite	TCA	stable	1
10280	ABLIS	78003	les Genêts	ZL349	Tepac	PT0037	1	terre_cuite	TCA	stable	1
10280	ABLIS	78003	les Genêts	ZL349	Tepac	PT0038	1	lithique	silix	stable	2
10280	ABLIS	78003	les Genêts	ZL349	Tepac	PT0039	1	lithique	silix	stable	2
10280	ABLIS	78003	les Genêts	ZL349	Tepac	PT0040	1	terre_cuite	TCA	stable	1
10280	ABLIS	78003	les Genêts	ZL349	Tepac	PT0041	1	terre_cuite	terre cuite	stable	1
10280	ABLIS	78003	les Genêts	ZL349	Tepac	PT0042	1	terre_cuite	TCA	stable	1
10280	ABLIS	78003	les Genêts	ZL349	Tepac	PT0043	1	terre_cuite	TCA	stable	1
10280	ABLIS	78003	les Genêts	ZL349	Tepac	PT0044	1	terre_cuite	TCA	stable	1
10280	ABLIS	78003	les Genêts	ZL349	Tepac	PT0045	1	lithique	silix	stable	2
10280	ABLIS	78003	les Genêts	ZL349	Tepac	PT0046	1	lithique	silix	stable	2
10280	ABLIS	78003	les Genêts	ZL349	Tepac	PT0047	1	lithique	silix	stable	2
10280	ABLIS	78003	les Genêts	ZL349	Tepac	PT0048	1	terre_cuite	céramique	stable	1
10280	ABLIS	78003	les Genêts	ZL349	Tepac	PT0049	1	lithique	silix	stable	2
10280	ABLIS	78003	les Genêts	ZL349	Tepac	PT0050	1	lithique	silix	stable	2
10280	ABLIS	78003	les Genêts	ZL349	Tepac	PT0051	1	lithique	silix	stable	2
10280	ABLIS	78003	les Genêts	ZL349	Tepac	PT0052	1	terre_cuite	céramique	stable	1
10280	ABLIS	78003	les Genêts	ZL349	Tepac	PT0053	1	terre_cuite	céramique	stable	1
10280	ABLIS	78003	les Genêts	ZL349	Tepac	PT0062	1	terre_cuite	terre cuite	stable	1
10280	ABLIS	78003	les Genêts	ZL349	Tepac	PT0063	1	terre_cuite	TCA	stable	1
10280	ABLIS	78003	les Genêts	ZL349	Tepac	PT0064	1	lithique	silix	stable	2
10280	ABLIS	78003	les Genêts	ZL349	Tepac	PT0065	1	lithique	silix	stable	2
10280	ABLIS	78003	les Genêts	ZL349	Tepac	PT0066	1	lithique	silix	stable	2
10280	ABLIS	78003	les Genêts	ZL349	Tepac	PT0067	1	lithique	silix	stable	2
10280	ABLIS	78003	les Genêts	ZL349	Tepac	PT0068	1	terre_cuite	céramique	stable	1
10280	ABLIS	78003	les Genêts	ZL349	Tepac	PT0069	1	lithique	silix	stable	2

OA10280\_ALG16\_inventaire04\_mobilier.xls: page 2/9

DONNEES ADMINISTRATIVES						DONNEES SCIENTIFIQUES					N°casse
Code OA	Commune	INSEE	Localisation / Lieu-dit	Parcelle cadastrale	Propriétaire(s) du terrain	UE	N°ordre	Catégorie matériau	Matériau	Etat	
10280	ABLIS	78003	les Genêts	ZL349	Tepac	PT0070	1	lithique	silex	stable	2
10280	ABLIS	78003	les Genêts	ZL349	Tepac	PT0071	1	lithique	silex	stable	2
10280	ABLIS	78003	les Genêts	ZL349	Tepac	PT0072	1	terre_cuite	céramique	stable	1
10280	ABLIS	78003	les Genêts	ZL349	Tepac	PT0072	2	terre_cuite	céramique	stable	1
10280	ABLIS	78003	les Genêts	ZL349	Tepac	PT0072	3	terre_cuite	céramique	stable	1
10280	ABLIS	78003	les Genêts	ZL349	Tepac	PT0073	1	terre_cuite	céramique	stable	1
10280	ABLIS	78003	les Genêts	ZL349	Tepac	PT0074	1	terre_cuite	céramique	stable	1
10280	ABLIS	78003	les Genêts	ZL349	Tepac	PT0074	1	lithique	silex	stable	2
10280	ABLIS	78003	les Genêts	ZL349	Tepac	PT0075	1	lithique	silex	stable	2
10280	ABLIS	78003	les Genêts	ZL349	Tepac	PT0076	1	lithique	silex	stable	2
10280	ABLIS	78003	les Genêts	ZL349	Tepac	PT0077	1	lithique	silex	stable	2
10280	ABLIS	78003	les Genêts	ZL349	Tepac	PT0078	1	lithique	silex	stable	2
10280	ABLIS	78003	les Genêts	ZL349	Tepac	PT0079	1	terre_cuite	céramique	stable	1
10280	ABLIS	78003	les Genêts	ZL349	Tepac	PT0080	1	lithique	silex	stable	2
10280	ABLIS	78003	les Genêts	ZL349	Tepac	PT0081	1	lithique	silex	stable	2
10280	ABLIS	78003	les Genêts	ZL349	Tepac	PT0082	1	lithique	silex	stable	2
10280	ABLIS	78003	les Genêts	ZL349	Tepac	PT0083	1	lithique	conglomérat	stable	2
10280	ABLIS	78003	les Genêts	ZL349	Tepac	PT0084	1	lithique	silex	stable	2
10280	ABLIS	78003	les Genêts	ZL349	Tepac	PT0085	1	terre_cuite	céramique	stable	1
10280	ABLIS	78003	les Genêts	ZL349	Tepac	PT0086	1	terre_cuite	céramique	stable	1
10280	ABLIS	78003	les Genêts	ZL349	Tepac	PT0087	1	lithique	silex	stable	2
10280	ABLIS	78003	les Genêts	ZL349	Tepac	PT0088	1	lithique	silex	stable	2
10280	ABLIS	78003	les Genêts	ZL349	Tepac	PT0089	1	lithique	silex	stable	2
10280	ABLIS	78003	les Genêts	ZL349	Tepac	PT0090	1	terre_cuite	céramique	stable	1
10280	ABLIS	78003	les Genêts	ZL349	Tepac	PT0091	1	lithique	silex	stable	2
10280	ABLIS	78003	les Genêts	ZL349	Tepac	PT0092	1	lithique	silex	stable	2
10280	ABLIS	78003	les Genêts	ZL349	Tepac	PT0093	1	lithique	silex	stable	2
10280	ABLIS	78003	les Genêts	ZL349	Tepac	PT0094	1	terre_cuite	céramique	stable	1
10280	ABLIS	78003	les Genêts	ZL349	Tepac	PT0095	1	lithique	silex	stable	2
10280	ABLIS	78003	les Genêts	ZL349	Tepac	PT0096	1	lithique	silex	stable	2
10280	ABLIS	78003	les Genêts	ZL349	Tepac	PT0097	1	terre_cuite	céramique	stable	1
10280	ABLIS	78003	les Genêts	ZL349	Tepac	PT0098	1	lithique	silex	stable	2
10280	ABLIS	78003	les Genêts	ZL349	Tepac	PT0099	1	lithique	silex	stable	2
10280	ABLIS	78003	les Genêts	ZL349	Tepac	PT0100	1	terre_cuite	céramique	stable	1
10280	ABLIS	78003	les Genêts	ZL349	Tepac	PT0101	1	lithique	silex	stable	2
10280	ABLIS	78003	les Genêts	ZL349	Tepac	PT0102	1	lithique	silex	stable	2
10280	ABLIS	78003	les Genêts	ZL349	Tepac	PT0103	1	lithique	silex	stable	2
10280	ABLIS	78003	les Genêts	ZL349	Tepac	PT0104	1	lithique	silex	stable	2
10280	ABLIS	78003	les Genêts	ZL349	Tepac	PT0105	1	terre_cuite	céramique	stable	1
10280	ABLIS	78003	les Genêts	ZL349	Tepac	PT0106	1	lithique	silex	stable	2
10280	ABLIS	78003	les Genêts	ZL349	Tepac	PT0107	1	lithique	silex	stable	2
10280	ABLIS	78003	les Genêts	ZL349	Tepac	PT0108	1	terre_cuite	céramique	stable	1
10280	ABLIS	78003	les Genêts	ZL349	Tepac	PT0109	1	lithique	silex	stable	2
10280	ABLIS	78003	les Genêts	ZL349	Tepac	PT0110	1	lithique	silex	stable	2
10280	ABLIS	78003	les Genêts	ZL349	Tepac	PT0111	1	lithique	silex	stable	2
10280	ABLIS	78003	les Genêts	ZL349	Tepac	PT0112	1	lithique	silex	stable	2
10280	ABLIS	78003	les Genêts	ZL349	Tepac	PT0113	1	lithique	silex	stable	2
10280	ABLIS	78003	les Genêts	ZL349	Tepac	PT0114	1	lithique	silex	stable	2
10280	ABLIS	78003	les Genêts	ZL349	Tepac	PT0115	1	terre_cuite	céramique	stable	1
10280	ABLIS	78003	les Genêts	ZL349	Tepac	PT0115	1	lithique	silex	stable	2
10280	ABLIS	78003	les Genêts	ZL349	Tepac	PT0116	1	lithique	silex	stable	2
10280	ABLIS	78003	les Genêts	ZL349	Tepac	PT0117	1	lithique	silex	stable	2
10280	ABLIS	78003	les Genêts	ZL349	Tepac	PT0118	1	lithique	silex	stable	2
10280	ABLIS	78003	les Genêts	ZL349	Tepac	PT0119	1	lithique	silex	stable	2
10280	ABLIS	78003	les Genêts	ZL349	Tepac	PT0120	1	lithique	silex	stable	2
10280	ABLIS	78003	les Genêts	ZL349	Tepac	PT0121	1	lithique	silex	stable	2
10280	ABLIS	78003	les Genêts	ZL349	Tepac	PT0122	1	terre_cuite	céramique	stable	1
10280	ABLIS	78003	les Genêts	ZL349	Tepac	PT0123	1	lithique	silex	stable	2
10280	ABLIS	78003	les Genêts	ZL349	Tepac	PT0124	1	terre_cuite	céramique	stable	1
10280	ABLIS	78003	les Genêts	ZL349	Tepac	PT0124	1	lithique	galet	stable	2
10280	ABLIS	78003	les Genêts	ZL349	Tepac	PT0125	1	terre_cuite	TCA	stable	1
10280	ABLIS	78003	les Genêts	ZL349	Tepac	PT0126	1	terre_cuite	TCA	stable	1
10280	ABLIS	78003	les Genêts	ZL349	Tepac	PT0127	1	lithique	silex	stable	2

Section 3 – Inventaires techniques et scientifiques

OA10280\_ALG16\_inventaire04\_mobilier.xls: page 3/9

DONNEES ADMINISTRATIVES						DONNEES SCIENTIFIQUES					N°caisse
Code OA	Commune	INSEE	Localisation / Lieu-dit	Parcelle cadastrale	Propriétaire(s) du terrain	UE	N°ordre	Catégorie matériau	Matériau	Etat	
10280	ABLIS	78003	les Genêts	ZL349	Tepac	PT0128	1	lithique	silix	stable	2
10280	ABLIS	78003	les Genêts	ZL349	Tepac	PT0129	1	lithique	silix	stable	2
10280	ABLIS	78003	les Genêts	ZL349	Tepac	PT0130	1	lithique	silix	stable	3
10280	ABLIS	78003	les Genêts	ZL349	Tepac	PT0131	1	lithique	silix	stable	3
10280	ABLIS	78003	les Genêts	ZL349	Tepac	PT0132	1	lithique	silix	stable	3
10280	ABLIS	78003	les Genêts	ZL349	Tepac	PT0133	1	terre_cuite	céramique	stable	1
10280	ABLIS	78003	les Genêts	ZL349	Tepac	PT0134	1	lithique	silix	stable	3
10280	ABLIS	78003	les Genêts	ZL349	Tepac	PT0135	1	terre_cuite	céramique	stable	1
10280	ABLIS	78003	les Genêts	ZL349	Tepac	PT0136	1	terre_cuite	céramique	stable	1
10280	ABLIS	78003	les Genêts	ZL349	Tepac	PT0137	1	lithique	silix	stable	3
10280	ABLIS	78003	les Genêts	ZL349	Tepac	PT0138	1	lithique	silix	stable	3
10280	ABLIS	78003	les Genêts	ZL349	Tepac	PT0139	1	lithique	conglomérat	stable	3
10280	ABLIS	78003	les Genêts	ZL349	Tepac	PT0140	1	lithique	conglomérat	stable	3
10280	ABLIS	78003	les Genêts	ZL349	Tepac	PT0141	1	lithique	conglomérat	stable	3
10280	ABLIS	78003	les Genêts	ZL349	Tepac	PT0142	1	lithique	conglomérat	stable	3
10280	ABLIS	78003	les Genêts	ZL349	Tepac	PT0143	1	lithique	silix	stable	3
10280	ABLIS	78003	les Genêts	ZL349	Tepac	PT0144	1	terre_cuite	céramique	stable	1
10280	ABLIS	78003	les Genêts	ZL349	Tepac	PT0145	1	terre_cuite	céramique	stable	1
10280	ABLIS	78003	les Genêts	ZL349	Tepac	PT0146	1	terre_cuite	céramique	stable	1
10280	ABLIS	78003	les Genêts	ZL349	Tepac	PT0147	1	lithique	conglomérat	stable	3
10280	ABLIS	78003	les Genêts	ZL349	Tepac	PT0149	1	lithique	conglomérat	stable	3
10280	ABLIS	78003	les Genêts	ZL349	Tepac	PT0150	1	lithique	silix	stable	3
10280	ABLIS	78003	les Genêts	ZL349	Tepac	PT0151	1	terre_cuite	céramique	stable	1
10280	ABLIS	78003	les Genêts	ZL349	Tepac	PT0152	1	terre_cuite	céramique	stable	1
10280	ABLIS	78003	les Genêts	ZL349	Tepac	PT0153	1	lithique	silix	stable	3
10280	ABLIS	78003	les Genêts	ZL349	Tepac	PT0154	1	lithique	silix	stable	3
10280	ABLIS	78003	les Genêts	ZL349	Tepac	PT0155	1	terre_cuite	terre cuite	stable	1
10280	ABLIS	78003	les Genêts	ZL349	Tepac	PT0156	1	lithique	silicite	stable	3
10280	ABLIS	78003	les Genêts	ZL349	Tepac	PT0157	1	terre_cuite	céramique	stable	1
10280	ABLIS	78003	les Genêts	ZL349	Tepac	PT0158	1	lithique	conglomérat	stable	3
10280	ABLIS	78003	les Genêts	ZL349	Tepac	PT0159	1	lithique	silix	stable	3
10280	ABLIS	78003	les Genêts	ZL349	Tepac	PT0160	1	lithique	silicite	stable	3
10280	ABLIS	78003	les Genêts	ZL349	Tepac	PT0161	1	lithique	silicite	stable	3
10280	ABLIS	78003	les Genêts	ZL349	Tepac	PT0162	1	lithique	silix	stable	3
10280	ABLIS	78003	les Genêts	ZL349	Tepac	PT0163	1	lithique	silicite	stable	3
10280	ABLIS	78003	les Genêts	ZL349	Tepac	PT0164	1	terre_cuite	céramique	stable	1
10280	ABLIS	78003	les Genêts	ZL349	Tepac	PT0165	1	lithique	silix	stable	3
10280	ABLIS	78003	les Genêts	ZL349	Tepac	PT0166	1	terre_cuite	céramique	stable	1
10280	ABLIS	78003	les Genêts	ZL349	Tepac	PT0167	1	terre_cuite	céramique	stable	1
10280	ABLIS	78003	les Genêts	ZL349	Tepac	PT0168	1	terre_cuite	céramique	stable	1
10280	ABLIS	78003	les Genêts	ZL349	Tepac	PT0169	1	terre_cuite	céramique	stable	1
10280	ABLIS	78003	les Genêts	ZL349	Tepac	PT0171	1	terre_cuite	céramique	stable	1
10280	ABLIS	78003	les Genêts	ZL349	Tepac	PT0172	1	terre_cuite	céramique	stable	1
10280	ABLIS	78003	les Genêts	ZL349	Tepac	PT0173	1	lithique	conglomérat	stable	3
10280	ABLIS	78003	les Genêts	ZL349	Tepac	PT0174	1	terre_cuite	céramique	stable	1
10280	ABLIS	78003	les Genêts	ZL349	Tepac	PT0175	1	terre_cuite	céramique	stable	1
10280	ABLIS	78003	les Genêts	ZL349	Tepac	PT0175	2	terre_cuite	céramique	stable	1
10280	ABLIS	78003	les Genêts	ZL349	Tepac	PT0176	1	lithique	silicite	stable	3
10280	ABLIS	78003	les Genêts	ZL349	Tepac	PT0177	1	métal	ferreux	stable	6
10280	ABLIS	78003	les Genêts	ZL349	Tepac	PT0178	1	terre_cuite	céramique	stable	1
10280	ABLIS	78003	les Genêts	ZL349	Tepac	PT0179	1	lithique	silix	stable	3
10280	ABLIS	78003	les Genêts	ZL349	Tepac	PT0180	1	terre_cuite		stable	1
10280	ABLIS	78003	les Genêts	ZL349	Tepac	PT0181	1	terre_cuite	TCA	stable	1
10280	ABLIS	78003	les Genêts	ZL349	Tepac	PT0181	2	terre_cuite	TCA	stable	1
10280	ABLIS	78003	les Genêts	ZL349	Tepac	PT0182	1	lithique	silix	stable	3
10280	ABLIS	78003	les Genêts	ZL349	Tepac	PT0183	1	terre_cuite	céramique	stable	1
10280	ABLIS	78003	les Genêts	ZL349	Tepac	PT0184	1	lithique	silix	stable	3
10280	ABLIS	78003	les Genêts	ZL349	Tepac	PT0185	1	lithique	silix	stable	3
10280	ABLIS	78003	les Genêts	ZL349	Tepac	PT0186	1	terre_cuite	céramique	stable	1
10280	ABLIS	78003	les Genêts	ZL349	Tepac	PT0191	1	terre_cuite	céramique	stable	1
10280	ABLIS	78003	les Genêts	ZL349	Tepac	PT0192	1	terre_cuite	céramique	stable	1
10280	ABLIS	78003	les Genêts	ZL349	Tepac	PT0193	1	terre_cuite	céramique	stable	1
10280	ABLIS	78003	les Genêts	ZL349	Tepac	PT0205	1	terre_cuite	céramique	stable	1

OA10280\_ALG16\_inventaire04\_mobilier.xls: page 4/9

DONNEES ADMINISTRATIVES						DONNEES SCIENTIFIQUES					N°caisse
Code OA	Commune	INSEE	Localisation / Lieu-dit	Parcelle cadastrale	Propriétaire(s) du terrain	UE	N°ordre	Catégorie matériau	Matériau	Etat	
10280	ABLIS	78003	les Genêts	ZL349	Tepac	PT0206	1	lithique	silix	stable	3
10280	ABLIS	78003	les Genêts	ZL349	Tepac	PT0207	1	lithique	silix	stable	3
10280	ABLIS	78003	les Genêts	ZL349	Tepac	PT0208	1	terre_cuite	TCA	stable	1
10280	ABLIS	78003	les Genêts	ZL349	Tepac	PT0209	1	lithique	conglomérat	stable	3
10280	ABLIS	78003	les Genêts	ZL349	Tepac	PT0210	1	lithique	silix	stable	3
10280	ABLIS	78003	les Genêts	ZL349	Tepac	PT0211	1	lithique	silix	stable	3
10280	ABLIS	78003	les Genêts	ZL349	Tepac	PT0212	1	terre_cuite	céramique	stable	1
10280	ABLIS	78003	les Genêts	ZL349	Tepac	PT0213	1	terre_cuite	céramique	stable	1
10280	ABLIS	78003	les Genêts	ZL349	Tepac	PT0214	1	terre_cuite	céramique	stable	1
10280	ABLIS	78003	les Genêts	ZL349	Tepac	PT0215	1	lithique	silix	stable	3
10280	ABLIS	78003	les Genêts	ZL349	Tepac	PT0216	1	lithique	silix	stable	3
10280	ABLIS	78003	les Genêts	ZL349	Tepac	PT0217	1	terre_cuite	céramique	stable	1
10280	ABLIS	78003	les Genêts	ZL349	Tepac	PT0218	1	terre_cuite	céramique	stable	1
10280	ABLIS	78003	les Genêts	ZL349	Tepac	PT0219	1	terre_cuite	céramique	stable	1
10280	ABLIS	78003	les Genêts	ZL349	Tepac	PT0220	1	lithique	silix	stable	3
10280	ABLIS	78003	les Genêts	ZL349	Tepac	PT0220	1	terre_cuite	TCA	stable	1
10280	ABLIS	78003	les Genêts	ZL349	Tepac	PT0221	1	lithique	silicite	stable	3
10280	ABLIS	78003	les Genêts	ZL349	Tepac	PT0222	1	lithique	conglomérat	stable	3
10280	ABLIS	78003	les Genêts	ZL349	Tepac	PT0223	1	lithique	silix	stable	3
10280	ABLIS	78003	les Genêts	ZL349	Tepac	PT0224	1	terre_cuite	céramique	stable	1
10280	ABLIS	78003	les Genêts	ZL349	Tepac	PT0225	1	terre_cuite	céramique	stable	1
10280	ABLIS	78003	les Genêts	ZL349	Tepac	PT0226	1	lithique	silicite	stable	3
10280	ABLIS	78003	les Genêts	ZL349	Tepac	PT0227	1	lithique	silix	stable	3
10280	ABLIS	78003	les Genêts	ZL349	Tepac	PT0228	1	terre_cuite	céramique	stable	1
10280	ABLIS	78003	les Genêts	ZL349	Tepac	PT0229	1	lithique	silix	stable	3
10280	ABLIS	78003	les Genêts	ZL349	Tepac	PT0230	1	lithique	silix	stable	3
10280	ABLIS	78003	les Genêts	ZL349	Tepac	PT0231	1	métal	ferreux	stable	6
10280	ABLIS	78003	les Genêts	ZL349	Tepac	PT0232	1	terre_cuite	céramique	stable	1
10280	ABLIS	78003	les Genêts	ZL349	Tepac	PT0233	1	lithique	silix	stable	3
10280	ABLIS	78003	les Genêts	ZL349	Tepac	PT0234	1	terre_cuite	céramique	stable	1
10280	ABLIS	78003	les Genêts	ZL349	Tepac	PT0235	1	terre_cuite	céramique	stable	1
10280	ABLIS	78003	les Genêts	ZL349	Tepac	PT0236	1	lithique	silix	stable	3
10280	ABLIS	78003	les Genêts	ZL349	Tepac	PT0237	1	lithique	silix	stable	3
10280	ABLIS	78003	les Genêts	ZL349	Tepac	PT0238	1	lithique	silix	stable	3
10280	ABLIS	78003	les Genêts	ZL349	Tepac	PT0239	1	lithique	silix	stable	3
10280	ABLIS	78003	les Genêts	ZL349	Tepac	PT0240	1	lithique	silix	stable	3
10280	ABLIS	78003	les Genêts	ZL349	Tepac	PT0241	1	lithique	silix	stable	3
10280	ABLIS	78003	les Genêts	ZL349	Tepac	PT0242	1	lithique	silix	stable	3
10280	ABLIS	78003	les Genêts	ZL349	Tepac	PT0243	1	lithique	silix	stable	3
10280	ABLIS	78003	les Genêts	ZL349	Tepac	PT0244	1	lithique	silix	stable	3
10280	ABLIS	78003	les Genêts	ZL349	Tepac	PT0245	1	lithique	silix	stable	3
10280	ABLIS	78003	les Genêts	ZL349	Tepac	PT0246	1	lithique	silix	stable	3
10280	ABLIS	78003	les Genêts	ZL349	Tepac	PT0247	1	lithique	conglomérat	stable	3
10280	ABLIS	78003	les Genêts	ZL349	Tepac	PT0248	1	lithique	silix	stable	3
10280	ABLIS	78003	les Genêts	ZL349	Tepac	PT0249	1	lithique	silix	stable	3
10280	ABLIS	78003	les Genêts	ZL349	Tepac	PT0250	1	lithique	silix	stable	3
10280	ABLIS	78003	les Genêts	ZL349	Tepac	PT0251	1	terre_cuite	TCA	stable	1
10280	ABLIS	78003	les Genêts	ZL349	Tepac	PT0252	1	terre_cuite	céramique	stable	1
10280	ABLIS	78003	les Genêts	ZL349	Tepac	PT0253	1	terre_cuite	céramique	stable	1
10280	ABLIS	78003	les Genêts	ZL349	Tepac	PT0254	1	terre_cuite	TCA	stable	1
10280	ABLIS	78003	les Genêts	ZL349	Tepac	PT0255	1	lithique	silix	stable	3
10280	ABLIS	78003	les Genêts	ZL349	Tepac	PT0256	1	lithique	silix	stable	3
10280	ABLIS	78003	les Genêts	ZL349	Tepac	PT0257	1	lithique	silix	stable	3
10280	ABLIS	78003	les Genêts	ZL349	Tepac	PT0258	1	lithique	silix	stable	3
10280	ABLIS	78003	les Genêts	ZL349	Tepac	PT0259	1	lithique	silix	stable	3
10280	ABLIS	78003	les Genêts	ZL349	Tepac	PT0260	1	lithique	silicite	stable	3
10280	ABLIS	78003	les Genêts	ZL349	Tepac	PT0261	1	lithique	silix	stable	3
10280	ABLIS	78003	les Genêts	ZL349	Tepac	PT0262	1	terre_cuite	TCA	stable	1
10280	ABLIS	78003	les Genêts	ZL349	Tepac	PT0263	1	lithique	silix	stable	3
10280	ABLIS	78003	les Genêts	ZL349	Tepac	PT0264	1	lithique	silix	stable	3
10280	ABLIS	78003	les Genêts	ZL349	Tepac	PT0265	1	terre_cuite	TCA	stable	1
10280	ABLIS	78003	les Genêts	ZL349	Tepac	PT0266	1	terre_cuite	TCA	stable	1
10280	ABLIS	78003	les Genêts	ZL349	Tepac	PT0267	1	métal	ferreux	stable	6

Section 3 – Inventaires techniques et scientifiques

OAI0280\_ALG16\_inventaire04\_mobilier.xls: page 5/9

DONNEES ADMINISTRATIVES						DONNEES SCIENTIFIQUES					N°caisse
Code OA	Commune	INSEE	Localisation / Lieu-dit	Parcelle cadastrale	Propriétaire(s) du terrain	UE	N°ordre	Catégorie matériau	Matériau	Etat	
10280	ABLIS	78003	les Genêts	ZL349	Tepac	PT0268	1	métal		stable	1
10280	ABLIS	78003	les Genêts	ZL349	Tepac	PT0269	1	lithique	silix	stable	3
10280	ABLIS	78003	les Genêts	ZL349	Tepac	PT0269	1	terre_cuite	TCA	stable	1
10280	ABLIS	78003	les Genêts	ZL349	Tepac	PT0271	1	lithique	silix	stable	3
10280	ABLIS	78003	les Genêts	ZL349	Tepac	PT0271	1	terre_cuite	TCA	stable	1
10280	ABLIS	78003	les Genêts	ZL349	Tepac	PT0272	1	terre_cuite	céramique	stable	1
10280	ABLIS	78003	les Genêts	ZL349	Tepac	PT0273	1	terre_cuite	céramique	stable	1
10280	ABLIS	78003	les Genêts	ZL349	Tepac	PT0274	1	lithique	silix	stable	3
10280	ABLIS	78003	les Genêts	ZL349	Tepac	PT0313	1	lithique	silix	stable	3
10280	ABLIS	78003	les Genêts	ZL349	Tepac	PT0314	1	terre_cuite	céramique	stable	1
10280	ABLIS	78003	les Genêts	ZL349	Tepac	PT0358	1	terre_cuite	céramique	stable	1
10280	ABLIS	78003	les Genêts	ZL349	Tepac	PT0359	1	terre_cuite	céramique	stable	1
10280	ABLIS	78003	les Genêts	ZL349	Tepac	PT0360	1	terre_cuite	céramique	stable	1
10280	ABLIS	78003	les Genêts	ZL349	Tepac	PT0361	1	lithique	silix	stable	3
10280	ABLIS	78003	les Genêts	ZL349	Tepac	PT0362	1	terre_cuite	TCA	stable	1
10280	ABLIS	78003	les Genêts	ZL349	Tepac	PT0363	1	lithique	silix	stable	3
10280	ABLIS	78003	les Genêts	ZL349	Tepac	PT0364	1	lithique	silix	stable	3
10280	ABLIS	78003	les Genêts	ZL349	Tepac	PT0365	1	lithique	silix	stable	3
10280	ABLIS	78003	les Genêts	ZL349	Tepac	PT0366	1	lithique	conglomérat	stable	3
10280	ABLIS	78003	les Genêts	ZL349	Tepac	PT0367	1	terre_cuite	céramique	stable	1
10280	ABLIS	78003	les Genêts	ZL349	Tepac	PT0368	1	terre_cuite	céramique	stable	1
10280	ABLIS	78003	les Genêts	ZL349	Tepac	PT0369	1	terre_cuite	céramique	stable	1
10280	ABLIS	78003	les Genêts	ZL349	Tepac	PT0370	1	lithique	silix	stable	3
10280	ABLIS	78003	les Genêts	ZL349	Tepac	PT0371	1	lithique	conglomérat	stable	3
10280	ABLIS	78003	les Genêts	ZL349	Tepac	PT0372	1	terre_cuite	céramique	stable	1
10280	ABLIS	78003	les Genêts	ZL349	Tepac	PT0373	1	terre_cuite	TCA	stable	1
10280	ABLIS	78003	les Genêts	ZL349	Tepac	PT0392	1	lithique	silix	stable	3
10280	ABLIS	78003	les Genêts	ZL349	Tepac	PT0400	1	lithique	silix	stable	4
10280	ABLIS	78003	les Genêts	ZL349	Tepac	PT0401	1	lithique	silix	stable	4
10280	ABLIS	78003	les Genêts	ZL349	Tepac	PT0402	1	lithique	conglomérat	stable	4
10280	ABLIS	78003	les Genêts	ZL349	Tepac	PT0403	1	terre_cuite	céramique	stable	1
10280	ABLIS	78003	les Genêts	ZL349	Tepac	PT0404	1	lithique	silix	stable	4
10280	ABLIS	78003	les Genêts	ZL349	Tepac	PT0405	1	métal	ferreux	stable	6
10280	ABLIS	78003	les Genêts	ZL349	Tepac	PT0406	1	terre_cuite	céramique	stable	1
10280	ABLIS	78003	les Genêts	ZL349	Tepac	PT0407	1	lithique	conglomérat	stable	4
10280	ABLIS	78003	les Genêts	ZL349	Tepac	PT0408	1	terre_cuite	TCA	stable	1
10280	ABLIS	78003	les Genêts	ZL349	Tepac	PT0409	1	terre_cuite	céramique	stable	1
10280	ABLIS	78003	les Genêts	ZL349	Tepac	PT0410	1	lithique	silix	stable	4
10280	ABLIS	78003	les Genêts	ZL349	Tepac	PT0411	1	terre_cuite	céramique	stable	1
10280	ABLIS	78003	les Genêts	ZL349	Tepac	PT0412	1	terre_cuite	TCA	stable	1
10280	ABLIS	78003	les Genêts	ZL349	Tepac	PT0413	1	lithique	silix	stable	4
10280	ABLIS	78003	les Genêts	ZL349	Tepac	PT0414	1	métal	ferreux	stable	6
10280	ABLIS	78003	les Genêts	ZL349	Tepac	PT0415	1	terre_cuite	céramique	stable	1
10280	ABLIS	78003	les Genêts	ZL349	Tepac	PT0416	1	lithique	silix	stable	4
10280	ABLIS	78003	les Genêts	ZL349	Tepac	PT0417	1	terre_cuite	céramique	stable	1
10280	ABLIS	78003	les Genêts	ZL349	Tepac	PT0418	1	terre_cuite	céramique	stable	1
10280	ABLIS	78003	les Genêts	ZL349	Tepac	PT0419	1	métal	ferreux	stable	6
10280	ABLIS	78003	les Genêts	ZL349	Tepac	PT0420	1	terre_cuite	céramique	stable	1
10280	ABLIS	78003	les Genêts	ZL349	Tepac	PT0420	2	terre_cuite	céramique	stable	1
10280	ABLIS	78003	les Genêts	ZL349	Tepac	PT0421	1	lithique	silix	stable	4
10280	ABLIS	78003	les Genêts	ZL349	Tepac	PT0422	1	terre_cuite	céramique	stable	1
10280	ABLIS	78003	les Genêts	ZL349	Tepac	PT0423	1	lithique	silix	stable	4
10280	ABLIS	78003	les Genêts	ZL349	Tepac	PT0424	1	lithique	silicrète	stable	4
10280	ABLIS	78003	les Genêts	ZL349	Tepac	PT0425	1	terre_cuite	céramique	stable	1
10280	ABLIS	78003	les Genêts	ZL349	Tepac	PT0426	1	terre_cuite	TCA	stable	1
10280	ABLIS	78003	les Genêts	ZL349	Tepac	PT0427	1	lithique	silix	stable	4
10280	ABLIS	78003	les Genêts	ZL349	Tepac	PT0428	1	lithique	silix	stable	4
10280	ABLIS	78003	les Genêts	ZL349	Tepac	PT0429	1	terre_cuite	céramique	stable	1
10280	ABLIS	78003	les Genêts	ZL349	Tepac	PT0430	1	terre_cuite		stable	2
10280	ABLIS	78003	les Genêts	ZL349	Tepac	PT0431	1	terre_cuite	céramique	stable	1
10280	ABLIS	78003	les Genêts	ZL349	Tepac	PT0432	1	lithique	silix	stable	4
10280	ABLIS	78003	les Genêts	ZL349	Tepac	PT0433	1	lithique	silix	stable	4
10280	ABLIS	78003	les Genêts	ZL349	Tepac	PT0434	1	lithique	silix	stable	4

OA10280\_ALG16\_inventaire04\_mobilier.xls: page 6/9

DONNEES ADMINISTRATIVES						DONNEES SCIENTIFIQUES					N°caisse
Code OA	Commune	INSEE	Localisation / Lieu-dit	Parcelle cadastrale	Propriétaire(s) du terrain	UE	N°ordre	Catégorie matériau	Matériau	Etat	
10280	ABLIS	78003	les Genêts	ZL349	Tepac	PT0435	1	lithique	silicite	stable	4
10280	ABLIS	78003	les Genêts	ZL349	Tepac	PT0436	1	terre_cuite	céramique	stable	1
10280	ABLIS	78003	les Genêts	ZL349	Tepac	PT0437	1	terre_cuite	céramique	stable	1
10280	ABLIS	78003	les Genêts	ZL349	Tepac	PT0438	1	terre_cuite	céramique	stable	1
10280	ABLIS	78003	les Genêts	ZL349	Tepac	PT0439	1	terre_cuite	céramique	stable	1
10280	ABLIS	78003	les Genêts	ZL349	Tepac	PT0439	2	terre_cuite	céramique	stable	1
10280	ABLIS	78003	les Genêts	ZL349	Tepac	PT0440	1	terre_cuite	céramique	stable	1
10280	ABLIS	78003	les Genêts	ZL349	Tepac	PT0441	1	terre_cuite	céramique	stable	1
10280	ABLIS	78003	les Genêts	ZL349	Tepac	PT0442	1	terre_cuite	céramique	stable	1
10280	ABLIS	78003	les Genêts	ZL349	Tepac	PT0443	1	terre_cuite	céramique	stable	1
10280	ABLIS	78003	les Genêts	ZL349	Tepac	PT0444	1	terre_cuite	céramique	stable	1
10280	ABLIS	78003	les Genêts	ZL349	Tepac	PT0444	1	métal	ferreux	stable	6
10280	ABLIS	78003	les Genêts	ZL349	Tepac	PT0445	1	terre_cuite	céramique	stable	1
10280	ABLIS	78003	les Genêts	ZL349	Tepac	PT0446	1	terre_cuite	céramique	stable	1
10280	ABLIS	78003	les Genêts	ZL349	Tepac	PT0447	1	terre_cuite	céramique	stable	1
10280	ABLIS	78003	les Genêts	ZL349	Tepac	PT0448	1	terre_cuite	céramique	stable	1
10280	ABLIS	78003	les Genêts	ZL349	Tepac	PT0449	1	terre_cuite	TCA	stable	1
10280	ABLIS	78003	les Genêts	ZL349	Tepac	PT0450	1	terre_cuite	céramique	stable	1
10280	ABLIS	78003	les Genêts	ZL349	Tepac	PT0451	1	terre_cuite	céramique	stable	1
10280	ABLIS	78003	les Genêts	ZL349	Tepac	PT0452	1	terre_cuite	céramique	stable	1
10280	ABLIS	78003	les Genêts	ZL349	Tepac	PT0453	1	terre_cuite	céramique	stable	1
10280	ABLIS	78003	les Genêts	ZL349	Tepac	PT0454	1	terre_cuite	céramique	stable	1
10280	ABLIS	78003	les Genêts	ZL349	Tepac	PT0455	1	terre_cuite	céramique	stable	1
10280	ABLIS	78003	les Genêts	ZL349	Tepac	PT0456	1	terre_cuite	céramique	stable	1
10280	ABLIS	78003	les Genêts	ZL349	Tepac	PT0457	1	terre_cuite	céramique	stable	1
10280	ABLIS	78003	les Genêts	ZL349	Tepac	PT0458	1	terre_cuite	céramique	stable	1
10280	ABLIS	78003	les Genêts	ZL349	Tepac	PT0459	1	terre_cuite	céramique	stable	1
10280	ABLIS	78003	les Genêts	ZL349	Tepac	PT0460	1	lithique	silix	stable	4
10280	ABLIS	78003	les Genêts	ZL349	Tepac	PT0461	1	terre_cuite	TCA	stable	1
10280	ABLIS	78003	les Genêts	ZL349	Tepac	PT0463	1	lithique	silix	stable	4
10280	ABLIS	78003	les Genêts	ZL349	Tepac	PT0464	1	terre_cuite	céramique	stable	1
10280	ABLIS	78003	les Genêts	ZL349	Tepac	PT0464	1	lithique	conglomérat	stable	4
10280	ABLIS	78003	les Genêts	ZL349	Tepac	PT0465	1	terre_cuite	céramique	stable	1
10280	ABLIS	78003	les Genêts	ZL349	Tepac	PT0466	1	lithique	silix	stable	4
10280	ABLIS	78003	les Genêts	ZL349	Tepac	PT0467	1	terre_cuite	céramique	stable	1
10280	ABLIS	78003	les Genêts	ZL349	Tepac	PT0468	1	terre_cuite	céramique	stable	1
10280	ABLIS	78003	les Genêts	ZL349	Tepac	PT0469	1	terre_cuite	céramique	stable	1
10280	ABLIS	78003	les Genêts	ZL349	Tepac	PT0470	1	terre_cuite	céramique	stable	1
10280	ABLIS	78003	les Genêts	ZL349	Tepac	PT0471	1	terre_cuite	céramique	stable	1
10280	ABLIS	78003	les Genêts	ZL349	Tepac	PT0472	1	lithique	silix	stable	4
10280	ABLIS	78003	les Genêts	ZL349	Tepac	PT0473	1	lithique	silix	stable	4
10280	ABLIS	78003	les Genêts	ZL349	Tepac	PT0474	1	terre_cuite	céramique	stable	1
10280	ABLIS	78003	les Genêts	ZL349	Tepac	PT0475	1	lithique	silix	stable	4
10280	ABLIS	78003	les Genêts	ZL349	Tepac	PT0476	1	lithique	silix	stable	4
10280	ABLIS	78003	les Genêts	ZL349	Tepac	PT0477	1	terre_cuite	céramique	stable	1
10280	ABLIS	78003	les Genêts	ZL349	Tepac	PT0478	1	terre_cuite	TCA	stable	1
10280	ABLIS	78003	les Genêts	ZL349	Tepac	PT0479	1	lithique	silix	stable	4
10280	ABLIS	78003	les Genêts	ZL349	Tepac	PT0480	1	terre_cuite	céramique	stable	1
10280	ABLIS	78003	les Genêts	ZL349	Tepac	PT0481	1	lithique	silix	stable	4
10280	ABLIS	78003	les Genêts	ZL349	Tepac	PT0482	1	terre_cuite	céramique	stable	1
10280	ABLIS	78003	les Genêts	ZL349	Tepac	PT0482	1	lithique	silix	stable	4
10280	ABLIS	78003	les Genêts	ZL349	Tepac	PT0483	1	lithique	silix	stable	4
10280	ABLIS	78003	les Genêts	ZL349	Tepac	PT0484	1	lithique	silix	stable	4
10280	ABLIS	78003	les Genêts	ZL349	Tepac	PT0485	1	lithique	silix	stable	4
10280	ABLIS	78003	les Genêts	ZL349	Tepac	PT0486	1	lithique	conglomérat	stable	4
10280	ABLIS	78003	les Genêts	ZL349	Tepac	PT0487	1	lithique	conglomérat	stable	4
10280	ABLIS	78003	les Genêts	ZL349	Tepac	PT0488	1	lithique	silix	stable	4
10280	ABLIS	78003	les Genêts	ZL349	Tepac	PT0489	1	lithique	silix	stable	4
10280	ABLIS	78003	les Genêts	ZL349	Tepac	PT0490	1	lithique	silix	stable	4
10280	ABLIS	78003	les Genêts	ZL349	Tepac	PT0491	1	lithique	silix	stable	4
10280	ABLIS	78003	les Genêts	ZL349	Tepac	PT0492	1	lithique	conglomérat	stable	4
10280	ABLIS	78003	les Genêts	ZL349	Tepac	PT0493	1	terre_cuite	céramique	stable	1
10280	ABLIS	78003	les Genêts	ZL349	Tepac	PT0494	1	terre_cuite	TCA	stable	1
10280	ABLIS	78003	les Genêts	ZL349	Tepac	PT0495	1	terre_cuite	céramique	stable	1

OA10280\_ALG16\_inventaire04\_mobilier.xls: page 7/9

DONNEES ADMINISTRATIVES						DONNEES SCIENTIFIQUES					N°caisse
Code OA	Commune	INSEE	Localisation / Lieu-dit	Parcelle cadastrale	Propriétaire(s) du terrain	UE	N°ordre	Catégorie matériau	Matériau	Etat	
10280	ABLIS	78003	les Genêts	ZL349	Tepac	PT0496	1	terre_cuite	céramique	stable	1
10280	ABLIS	78003	les Genêts	ZL349	Tepac	PT0497	2	terre_cuite	céramique	stable	1
10280	ABLIS	78003	les Genêts	ZL349	Tepac	PT0497	1	terre_cuite	TCA	stable	1
10280	ABLIS	78003	les Genêts	ZL349	Tepac	PT0498	1	terre_cuite	céramique	stable	1
10280	ABLIS	78003	les Genêts	ZL349	Tepac	PT0499	1	terre_cuite	céramique	stable	1
10280	ABLIS	78003	les Genêts	ZL349	Tepac	PT0500	1	lithique	silix	stable	4
10280	ABLIS	78003	les Genêts	ZL349	Tepac	PT0501	1	lithique	silix	stable	4
10280	ABLIS	78003	les Genêts	ZL349	Tepac	PT0502	1	terre_cuite	céramique	stable	1
10280	ABLIS	78003	les Genêts	ZL349	Tepac	PT0503	1	terre_cuite	céramique	stable	1
10280	ABLIS	78003	les Genêts	ZL349	Tepac	PT0504	1	lithique	silix	stable	4
10280	ABLIS	78003	les Genêts	ZL349	Tepac	PT0505	1	lithique	silix	stable	4
10280	ABLIS	78003	les Genêts	ZL349	Tepac	PT0506	1	terre_cuite	céramique	stable	1
10280	ABLIS	78003	les Genêts	ZL349	Tepac	PT0507	1	terre_cuite	céramique	stable	1
10280	ABLIS	78003	les Genêts	ZL349	Tepac	PT0508	1	lithique	silix	stable	4
10280	ABLIS	78003	les Genêts	ZL349	Tepac	PT0509	1	lithique	grès	stable	4
10280	ABLIS	78003	les Genêts	ZL349	Tepac	PT0510	1	lithique	silix	stable	4
10280	ABLIS	78003	les Genêts	ZL349	Tepac	PT0511	1	lithique	silix	stable	4
10280	ABLIS	78003	les Genêts	ZL349	Tepac	PT0512	1	terre_cuite	céramique	stable	1
10280	ABLIS	78003	les Genêts	ZL349	Tepac	PT0513	1	terre_cuite	céramique	stable	1
10280	ABLIS	78003	les Genêts	ZL349	Tepac	PT0514	1	terre_cuite	céramique	stable	1
10280	ABLIS	78003	les Genêts	ZL349	Tepac	PT0515	1	lithique	silix	stable	4
10280	ABLIS	78003	les Genêts	ZL349	Tepac	PT0516	1	lithique	silix	stable	4
10280	ABLIS	78003	les Genêts	ZL349	Tepac	PT0517	1	terre_cuite	céramique	stable	1
10280	ABLIS	78003	les Genêts	ZL349	Tepac	PT0518	1	terre_cuite	céramique	stable	1
10280	ABLIS	78003	les Genêts	ZL349	Tepac	PT0519	1	lithique	conglomérat	stable	4
10280	ABLIS	78003	les Genêts	ZL349	Tepac	PT0520	1	terre_cuite	céramique	stable	1
10280	ABLIS	78003	les Genêts	ZL349	Tepac	PT0521	1	lithique	silix	stable	4
10280	ABLIS	78003	les Genêts	ZL349	Tepac	PT0522	1	lithique	silix	stable	4
10280	ABLIS	78003	les Genêts	ZL349	Tepac	PT0523	1	lithique	silix	stable	4
10280	ABLIS	78003	les Genêts	ZL349	Tepac	PT0524	1	terre_cuite	céramique	stable	1
10280	ABLIS	78003	les Genêts	ZL349	Tepac	PT0525	1	lithique	silix	stable	4
10280	ABLIS	78003	les Genêts	ZL349	Tepac	PT0526	1	terre_cuite	céramique	stable	1
10280	ABLIS	78003	les Genêts	ZL349	Tepac	PT0527	1	terre_cuite	céramique	stable	1
10280	ABLIS	78003	les Genêts	ZL349	Tepac	PT0528	1	terre_cuite	céramique	stable	1
10280	ABLIS	78003	les Genêts	ZL349	Tepac	PT0529	1	lithique	silix	stable	4
10280	ABLIS	78003	les Genêts	ZL349	Tepac	PT0530	1	terre_cuite	céramique	stable	1
10280	ABLIS	78003	les Genêts	ZL349	Tepac	PT0531	1	terre_cuite	céramique	stable	1
10280	ABLIS	78003	les Genêts	ZL349	Tepac	PT0532	1	terre_cuite	céramique	stable	1
10280	ABLIS	78003	les Genêts	ZL349	Tepac	PT0533	1	lithique	silix	stable	4
10280	ABLIS	78003	les Genêts	ZL349	Tepac	PT0534	1	lithique	conglomérat	stable	4
10280	ABLIS	78003	les Genêts	ZL349	Tepac	PT0535	1	lithique	silix	stable	4
10280	ABLIS	78003	les Genêts	ZL349	Tepac	PT0536	1	lithique	silix	stable	4
10280	ABLIS	78003	les Genêts	ZL349	Tepac	PT0537	1	lithique	silicite	stable	4
10280	ABLIS	78003	les Genêts	ZL349	Tepac	PT0538	1	lithique	silix	stable	4
10280	ABLIS	78003	les Genêts	ZL349	Tepac	PT0539	1	lithique	silix	stable	4
10280	ABLIS	78003	les Genêts	ZL349	Tepac	PT0540	1	terre_cuite	TCA	stable	1
10280	ABLIS	78003	les Genêts	ZL349	Tepac	PT0541	1	terre_cuite	céramique	stable	1
10280	ABLIS	78003	les Genêts	ZL349	Tepac	PT0542	1	lithique	silix	stable	4
10280	ABLIS	78003	les Genêts	ZL349	Tepac	PT0543	1	lithique	silix	stable	4
10280	ABLIS	78003	les Genêts	ZL349	Tepac	PT0544	1	lithique	silix	stable	4
10280	ABLIS	78003	les Genêts	ZL349	Tepac	PT0545	1	lithique	silix	stable	4
10280	ABLIS	78003	les Genêts	ZL349	Tepac	PT0546	1	lithique	silix	stable	4
10280	ABLIS	78003	les Genêts	ZL349	Tepac	PT0547	1	terre_cuite	céramique	stable	1
10280	ABLIS	78003	les Genêts	ZL349	Tepac	PT0548	1	terre_cuite	céramique	stable	1
10280	ABLIS	78003	les Genêts	ZL349	Tepac	PT0549	1	terre_cuite	céramique	stable	1
10280	ABLIS	78003	les Genêts	ZL349	Tepac	PT0550	1	terre_cuite	céramique	stable	1
10280	ABLIS	78003	les Genêts	ZL349	Tepac	PT0551	1	lithique	silix	stable	4
10280	ABLIS	78003	les Genêts	ZL349	Tepac	PT0552	1	terre_cuite	céramique	stable	1
10280	ABLIS	78003	les Genêts	ZL349	Tepac	PT0553	1	terre_cuite	céramique	stable	1
10280	ABLIS	78003	les Genêts	ZL349	Tepac	PT0554	1	terre_cuite	céramique	stable	1
10280	ABLIS	78003	les Genêts	ZL349	Tepac	PT0555	1	terre_cuite	céramique	stable	1
10280	ABLIS	78003	les Genêts	ZL349	Tepac	PT0556	1	terre_cuite	céramique	stable	1
10280	ABLIS	78003	les Genêts	ZL349	Tepac	PT0557	1	lithique	silix	stable	4

OA10280\_ALG16\_inventaire04\_mobilier.xls: page 8/9

DONNEES ADMINISTRATIVES						DONNEES SCIENTIFIQUES					N°caisse
Code OA	Commune	INSEE	Localisation / Lieu-dit	Parcelle cadastrale	Propriétaire(s) du terrain	UE	N°ordre	Catégorie matériau	Matériau	Etat	
10280	ABLIS	78003	les Genêts	ZL349	Tepac	PT0558	1	lithique	silix	stable	4
10280	ABLIS	78003	les Genêts	ZL349	Tepac	PT0559	1	terre_cuite	céramique	stable	1
10280	ABLIS	78003	les Genêts	ZL349	Tepac	PT0560	1	terre_cuite	céramique	stable	1
10280	ABLIS	78003	les Genêts	ZL349	Tepac	PT0561	1	lithique	silix	stable	4
10280	ABLIS	78003	les Genêts	ZL349	Tepac	PT0562	1	lithique	silix	stable	4
10280	ABLIS	78003	les Genêts	ZL349	Tepac	PT0563	1	terre_cuite	céramique	stable	1
10280	ABLIS	78003	les Genêts	ZL349	Tepac	PT0564	1	terre_cuite	céramique	stable	1
10280	ABLIS	78003	les Genêts	ZL349	Tepac	PT0564	1	lithique	silix	stable	4
10280	ABLIS	78003	les Genêts	ZL349	Tepac	PT0565	1	lithique	silix	stable	4
10280	ABLIS	78003	les Genêts	ZL349	Tepac	PT0566	1	lithique	silix	stable	4
10280	ABLIS	78003	les Genêts	ZL349	Tepac	PT0567	1	terre_cuite	céramique	stable	1
10280	ABLIS	78003	les Genêts	ZL349	Tepac	PT0569	1	terre_cuite	céramique	stable	1
10280	ABLIS	78003	les Genêts	ZL349	Tepac	PT0570	1	terre_cuite	céramique	stable	1
10280	ABLIS	78003	les Genêts	ZL349	Tepac	PT0571	1	terre_cuite	céramique	stable	1
10280	ABLIS	78003	les Genêts	ZL349	Tepac	PT0572	1	lithique	silix	stable	4
10280	ABLIS	78003	les Genêts	ZL349	Tepac	PT0573	1	lithique	grès	stable	4
10280	ABLIS	78003	les Genêts	ZL349	Tepac	PT0574	1	lithique	grès	stable	4
10280	ABLIS	78003	les Genêts	ZL349	Tepac	PT0577	1	terre_cuite	céramique	stable	1
10280	ABLIS	78003	les Genêts	ZL349	Tepac	PT0578	1	lithique	grès	stable	4
10280	ABLIS	78003	les Genêts	ZL349	Tepac	PT0579	1	lithique	silix	stable	4
10280	ABLIS	78003	les Genêts	ZL349	Tepac	PT0584	1	terre_cuite	céramique	stable	1
10280	ABLIS	78003	les Genêts	ZL349	Tepac	PT0585	1	terre_cuite	céramique	stable	1
10280	ABLIS	78003	les Genêts	ZL349	Tepac	PT0586	1	lithique	silicite	stable	5
10280	ABLIS	78003	les Genêts	ZL349	Tepac	PT0587	1	lithique	silicite	stable	5
10280	ABLIS	78003	les Genêts	ZL349	Tepac	PT0588	1	lithique	silix	stable	5
10280	ABLIS	78003	les Genêts	ZL349	Tepac	PT0589	1	lithique	silix	stable	5
10280	ABLIS	78003	les Genêts	ZL349	Tepac	PT0590	1	lithique	silix	stable	5
10280	ABLIS	78003	les Genêts	ZL349	Tepac	PT0591	1	terre_cuite	céramique	stable	1
10280	ABLIS	78003	les Genêts	ZL349	Tepac	PT0592	1	lithique	silix	stable	5
10280	ABLIS	78003	les Genêts	ZL349	Tepac	PT0593	1	lithique	silix	stable	5
10280	ABLIS	78003	les Genêts	ZL349	Tepac	PT0594	1	lithique	silix	stable	5
10280	ABLIS	78003	les Genêts	ZL349	Tepac	PT0595	1	terre_cuite	céramique	stable	1
10280	ABLIS	78003	les Genêts	ZL349	Tepac	PT0596	1	terre_cuite	céramique	stable	1
10280	ABLIS	78003	les Genêts	ZL349	Tepac	PT0597	1	lithique	silix	stable	5
10280	ABLIS	78003	les Genêts	ZL349	Tepac	PT0598	1	lithique	silix	stable	5
10280	ABLIS	78003	les Genêts	ZL349	Tepac	PT0599	1	lithique	silix	stable	5
10280	ABLIS	78003	les Genêts	ZL349	Tepac	PT0600	1	lithique	silix	stable	5
10280	ABLIS	78003	les Genêts	ZL349	Tepac	PT0601	1	lithique	silix	stable	5
10280	ABLIS	78003	les Genêts	ZL349	Tepac	PT0601	2	lithique	silix	stable	5
10280	ABLIS	78003	les Genêts	ZL349	Tepac	PT0602	1	lithique	silix	stable	5
10280	ABLIS	78003	les Genêts	ZL349	Tepac	PT0603	1	terre_cuite	céramique	stable	1
10280	ABLIS	78003	les Genêts	ZL349	Tepac	PT0604	1	lithique	silix	stable	5
10280	ABLIS	78003	les Genêts	ZL349	Tepac	PT0605	1	lithique	silix	stable	5
10280	ABLIS	78003	les Genêts	ZL349	Tepac	PT0610	1	lithique	silix	stable	5
10280	ABLIS	78003	les Genêts	ZL349	Tepac	PT0611	1	lithique	silix	stable	5
10280	ABLIS	78003	les Genêts	ZL349	Tepac	PT0612	1	terre_cuite	terre_cuite	stable	1
10280	ABLIS	78003	les Genêts	ZL349	Tepac	PT0613	1	lithique	silix	stable	5
10280	ABLIS	78003	les Genêts	ZL349	Tepac	PT0614	1	lithique	silix	stable	5
10280	ABLIS	78003	les Genêts	ZL349	Tepac	PT0615	1	lithique	silix	stable	5
10280	ABLIS	78003	les Genêts	ZL349	Tepac	PT0616	1	lithique	silix	stable	5
10280	ABLIS	78003	les Genêts	ZL349	Tepac	PT0617	1	lithique	silix	stable	5
10280	ABLIS	78003	les Genêts	ZL349	Tepac	PT0618	1	terre_cuite	céramique	stable	1
10280	ABLIS	78003	les Genêts	ZL349	Tepac	PT0628	1	lithique	silix	stable	5
10280	ABLIS	78003	les Genêts	ZL349	Tepac	PT0629	1	lithique	silix	stable	5
10280	ABLIS	78003	les Genêts	ZL349	Tepac	PT0630	1	lithique	silix	stable	5
10280	ABLIS	78003	les Genêts	ZL349	Tepac	PT0631	1	lithique	silix	stable	5
10280	ABLIS	78003	les Genêts	ZL349	Tepac	PT0632	1	lithique	silix	stable	5
10280	ABLIS	78003	les Genêts	ZL349	Tepac	PT0641	1	lithique	grès	stable	5
10280	ABLIS	78003	les Genêts	ZL349	Tepac	PT0651	1	terre_cuite	céramique	stable	1
10280	ABLIS	78003	les Genêts	ZL349	Tepac	PT0651	2	terre_cuite	céramique	stable	1
10280	ABLIS	78003	les Genêts	ZL349	Tepac	PT0651	1	lithique	silix	stable	5
10280	ABLIS	78003	les Genêts	ZL349	Tepac	PT0653	1	lithique	silix	stable	5
10280	ABLIS	78003	les Genêts	ZL349	Tepac	PT0654	1	lithique	silix	stable	5

Section 3 – Inventaires techniques et scientifiques

OA10280\_ALG16\_inventaire04\_mobilier.xls: page 9/9

DONNEES ADMINISTRATIVES						DONNEES SCIENTIFIQUES					N°caisse
Code OA	Commune	INSEE	Localisation / Lieu-dit	Parcelle cadastrale	Propriétaire(s) du terrain	UE	N°ordre	Catégorie matériau	Matériau	Etat	
10280	ABLIS	78003	les Genêts	ZL349	Tepac	PT0655	1	lithique	calcaire	stable	5
10280	ABLIS	78003	les Genêts	ZL349	Tepac	PT0656	1	terre_cuite	céramique	stable	1
10280	ABLIS	78003	les Genêts	ZL349	Tepac	PT0657	1	terre_cuite	céramique	stable	1
10280	ABLIS	78003	les Genêts	ZL349	Tepac	PT0658	1	terre_cuite	TCA	stable	1
10280	ABLIS	78003	les Genêts	ZL349	Tepac	PT0659	1	terre_cuite	TCA	stable	1
10280	ABLIS	78003	les Genêts	ZL349	Tepac	PT0660	1	terre_cuite	céramique	stable	1
10280	ABLIS	78003	les Genêts	ZL349	Tepac	PT0661	1	terre_cuite	céramique	stable	1
10280	ABLIS	78003	les Genêts	ZL349	Tepac	PT0666	1	terre_cuite	céramique	stable	1
10280	ABLIS	78003	les Genêts	ZL349	Tepac	PT0667	1	terre_cuite	TCA	stable	1
10280	ABLIS	78003	les Genêts	ZL349	Tepac	PT0668	1	terre_cuite	céramique	stable	1
10280	ABLIS	78003	les Genêts	ZL349	Tepac	PT0669	1	terre_cuite	céramique	stable	1
10280	ABLIS	78003	les Genêts	ZL349	Tepac	PT0670	1	lithique	calcaire	stable	5
10280	ABLIS	78003	les Genêts	ZL349	Tepac	PT0671	1	métal	alliage cuivreux	stable	6
10280	ABLIS	78003	les Genêts	ZL349	Tepac	PT0672	1	terre_cuite	TCA	stable	1
10280	ABLIS	78003	les Genêts	ZL349	Tepac	PT0673	1	terre_cuite	céramique	stable	1
10280	ABLIS	78003	les Genêts	ZL349	Tepac	PT0674	1	terre_cuite	céramique	stable	1
10280	ABLIS	78003	les Genêts	ZL349	Tepac	PT0675	1	terre_cuite	TCA	stable	1
10280	ABLIS	78003	les Genêts	ZL349	Tepac	PT0676	1	terre_cuite	céramique	stable	1
10280	ABLIS	78003	les Genêts	ZL349	Tepac	PT0676	1	métal		stable	6
10280	ABLIS	78003	les Genêts	ZL349	Tepac	PT0677	1	métal	ferreux	stable	6
10280	ABLIS	78003	les Genêts	ZL349	Tepac	PT0678	1	lithique	silix	stable	5
10280	ABLIS	78003	les Genêts	ZL349	Tepac	PT0679	1	lithique	grès	stable	5
10280	ABLIS	78003	les Genêts	ZL349	Tepac	PT0680	1	terre_cuite	céramique	stable	1
10280	ABLIS	78003	les Genêts	ZL349	Tepac	PT0681	1	lithique	grès	stable	5
10280	ABLIS	78003	les Genêts	ZL349	Tepac	PT0724	1	terre_cuite	céramique	stable	1
10280	ABLIS	78003	les Genêts	ZL349	Tepac	PT0725	1	terre_cuite	céramique	stable	1
10280	ABLIS	78003	les Genêts	ZL349	Tepac	PT0726	1	terre_cuite	TCA	stable	1
10280	ABLIS	78003	les Genêts	ZL349	Tepac	PT0727	1	terre_cuite	céramique	stable	1
10280	ABLIS	78003	les Genêts	ZL349	Tepac	PT0744	1	terre_cuite	céramique	stable	1
10280	ABLIS	78003	les Genêts	ZL349	Tepac	PT0745	1	terre_cuite	céramique	stable	1
10280	ABLIS	78003	les Genêts	ZL349	Tepac	PT0748	1	terre_cuite	céramique	stable	1
10280	ABLIS	78003	les Genêts	ZL349	Tepac	PT0769	1	lithique	silix	stable	5
10280	ABLIS	78003	les Genêts	ZL349	Tepac	PT0770	1	lithique	silix	stable	5
10280	ABLIS	78003	les Genêts	ZL349	Tepac	PT0806	1	lithique	silix	stable	5
10280	ABLIS	78003	les Genêts	ZL349	Tepac	PT0821	1	lithique	silix	stable	5
10280	ABLIS	78003	les Genêts	ZL349	Tepac	PT0822	1	lithique	silix	stable	5
10280	ABLIS	78003	les Genêts	ZL349	Tepac	PT1089	1	lithique	silix	stable	5
10280	ABLIS	78003	les Genêts	ZL349	Tepac	PT1090	1	lithique	silix	stable	5
10280	ABLIS	78003	les Genêts	ZL349	Tepac	PT1091	1	lithique	silix	stable	5
10280	ABLIS	78003	les Genêts	ZL349	Tepac	PT1092	1	lithique	silix	stable	5
10280	ABLIS	78003	les Genêts	ZL349	Tepac	PT1093	1	lithique	silix	stable	5
10280	ABLIS	78003	les Genêts	ZL349	Tepac	PT1094	1	terre_cuite	céramique	stable	1
10280	ABLIS	78003	les Genêts	ZL349	Tepac	ST01	1	lithique	silix	stable	5
10280	ABLIS	78003	les Genêts	ZL349	Tepac	ST04	1	terre_cuite	TCA	stable	1
10280	ABLIS	78003	les Genêts	ZL349	Tepac	ST04	2	terre_cuite	TCA	stable	1
10280	ABLIS	78003	les Genêts	ZL349	Tepac	ST04	3	terre_cuite	TCA	stable	1
10280	ABLIS	78003	les Genêts	ZL349	Tepac	ST04	4	terre_cuite	TCA	stable	1
10280	ABLIS	78003	les Genêts	ZL349	Tepac	ST04	5	terre_cuite	TCA	stable	1
10280	ABLIS	78003	les Genêts	ZL349	Tepac	ST04	6	terre_cuite	TCA	stable	1
10280	ABLIS	78003	les Genêts	ZL349	Tepac	ST04	7	terre_cuite	terre_cuite	stable	1
10280	ABLIS	78003	les Genêts	ZL349	Tepac	ST04	8	lithique	calcaire	stable	5
10280	ABLIS	78003	les Genêts	ZL349	Tepac	ST10	1	lithique	silix	stable	5

4 - Inventaire du mobilier archéologique : lithique des points topographiques (PT) et des structures

OA1026C\_ALG16\_inventaire04\_mobilier.xls: lithique

17

NUM	X (est)	Y (nord)	Z (alt)	CODE support	Matière	Type de matière	outils	nudus	produit techno	très grands éclats (> 80 mm)	grands éclats (50-80 mm)	éclats (20-50 mm)	petits éclats (< 20 mm)	lames lamelles	débris	bloc	(fragment)	(technique)	(traces de feu)	autres context	context (> 80 %)	type de tesson	matière première	ablation de surface	attribution chronologique	observations typochrono	remarques / matériel	masse (g)	illustration sélection
P10002	1614581.63604	8146242.25345	155.098850	M	lithique	sléx																Turonien	-	-		transalpidé			
P10004	1614581.63644	8146240.72161	155.172505	M	lithique	sléx																Turonien	plane	-	-		néocortex brun		
P10005	1614581.65787	8146241.61042	155.126075	M	lithique	sléx																Turonien	plane	-	-		néocortex brun		
P10006	1614581.63226	8146241.37225	155.018425	M	lithique	sléx																Turonien	plane	-	-		néocortex brun		
P10007	1614582.67723	8146245.22402	154.975217	M	lithique	sléx																Turonien	plane	-	-		néocortex brun		
P10009	1614588.89532	8146245.43256	155.048837	M	lithique	sléx																Turonien	plane	-	-		néocortex brun		
P10010	1614589.80109	8146244.462139	155.127363	M	lithique	conglomérat	1															Turonien	voile	-	-		gale de silice gris clair à blanc néocortex brun		
P10011	1614597.87522	8146247.291869	154.998671	M	lithique	conglomérat																Turonien	voile	-	-		gale de silice gris clair à blanc néocortex brun		
P10012	1614597.70764	8146244.852103	154.953595	M	lithique	sléx																Turonien	voile	-	-		gale de silice gris clair à blanc néocortex brun		
P10014	1614600.00975	8146246.792135	154.873849	M	lithique	conglomérat	1															Turonien	voile	-	-		gale de silice gris clair à blanc néocortex brun		
P10016	1614599.33705	8146247.61995	154.898462	M	lithique	sléx																Turonien	voile	-	-		gale de silice gris clair à blanc néocortex brun		
P10017	1614602.47538	8146246.241245	155.052135	M	lithique	conglomérat	1															Turonien	voile	-	-		gale de silice gris clair à blanc néocortex brun		
P10018	1614600.54971	8146249.204838	155.048550	M	lithique	conglomérat																Turonien	voile	-	-		gale de silice gris clair à blanc néocortex brun		
P10019	1614601.891910	8146248.204681	154.994680	M	lithique	conglomérat																Turonien	voile	-	-		gale de silice gris clair à blanc néocortex brun		
P10020	1614602.30390	8146248.028900	154.990377	M	lithique	conglomérat																Turonien	voile	-	-		gale de silice gris clair à blanc néocortex brun		
P10021	1614603.88300	8146247.378811	154.992779	M	lithique	conglomérat																Turonien	voile	-	-		gale de silice gris clair à blanc néocortex brun		
P10022	1614604.74466	8146250.496232	154.913364	M	lithique	conglomérat	1															Turonien	voile	-	-		gale de silice gris clair à blanc néocortex brun		
P10023-1	1614606.83873	8146245.624444	154.852990	M	lithique	conglomérat																Turonien	voile	-	-		gale de silice gris clair à blanc néocortex brun		
P10023-2	1614606.83973	8146245.624444	154.852990	M	lithique	sléx																Turonien	voile	-	-		gale de silice gris clair à blanc néocortex brun		
P10024	1614608.87357	8146246.289137	154.931789	M	lithique	sléx																Turonien	voile	-	-		gale de silice gris clair à blanc néocortex brun		
P10026	1614608.87606	8146246.913308	154.938095	M	lithique	conglomérat																Turonien	voile	-	-		gale de silice gris clair à blanc néocortex brun		
P10028	1614633.87827	8146247.738694	154.843291	M	lithique	conglomérat																Turonien	voile	-	-		gale de silice gris clair à blanc néocortex brun		
P10029	1614632.89540	8146246.698275	154.810561	M	lithique	sléx																Turonien	voile	-	-		gale de silice gris clair à blanc néocortex brun		
P10039	1614634.121037	8146248.507017	154.824833	M	lithique	sléx																Turonien	voile	-	-		gale de silice gris clair à blanc néocortex brun		
P10042	1614633.276262	8146249.373158	154.738444	M	lithique	sléx																Turonien	voile	-	-		gale de silice gris clair à blanc néocortex brun		
P10045	1614635.864578	8146248.054611	154.723085	M	lithique	sléx																Turonien	voile	-	-		gale de silice gris clair à blanc néocortex brun		
P10047	1614638.28802	8146248.979593	154.733395	M	lithique	sléx																Turonien	voile	-	-		gale de silice gris clair à blanc néocortex brun		
P10049	1614644.248995	8146248.978354	154.523553	M	lithique	sléx																Turonien	voile	-	-		gale de silice gris clair à blanc néocortex brun		
P10050	1614644.278269	8146271.218011	154.420319	M	lithique	sléx																Turonien	voile	-	-		gale de silice gris clair à blanc néocortex brun		
P10051	1614647.249888	8146279.418418	154.390173	M	lithique	sléx	1															Turonien	voile	-	-		gale de silice gris clair à blanc néocortex brun		
P10064	1614682.716262	8146237.048981	155.272562	M	lithique	sléx																Turonien	voile	-	-		gale de silice gris clair à blanc néocortex brun		
P10065	1614682.039500	8146238.331081	155.163665	M	lithique	sléx																Turonien	voile	-	-		gale de silice gris clair à blanc néocortex brun		
P10066-1	1614681.139889	8146234.534515	155.220295	M	lithique	sléx																Turonien	voile	-	-		gale de silice gris clair à blanc néocortex brun		
P10066-2	1614681.139889	8146234.534515	155.220295	M	lithique	sléx																Turonien	voile	-	-		gale de silice gris clair à blanc néocortex brun		
P10067	1614679.211126	8146235.599776	155.238161	M	lithique	sléx																Turonien	voile	-	-		gale de silice gris clair à blanc néocortex brun		
P10069	1614678.232628	8146238.632671	155.306893	M	lithique	sléx																Turonien	voile	-	-		gale de silice gris clair à blanc néocortex brun		
P10070	1614677.622576	8146238.947158	155.246694	M	lithique	sléx																Turonien	voile	-	-		gale de silice gris clair à blanc néocortex brun		
P10071	1614677.837718	8146234.848866	155.241179	M	lithique	sléx																Turonien	voile	-	-		gale de silice gris clair à blanc néocortex brun		
P10075	1614677.837873	8146239.437999	155.245065	M	lithique	sléx																Turonien	voile	-	-		gale de silice gris clair à blanc néocortex brun		
P10076	1614679.164789	8146238.031874	155.233552	M	lithique	sléx																Turonien	voile	-	-		gale de silice gris clair à blanc néocortex brun		
P10077	1614678.938652	8146234.688017	155.244498	M	lithique	sléx																Turonien	voile	-	-		gale de silice gris clair à blanc néocortex brun		
P10078	1614678.932233	8146234.621165	155.242888	M	lithique	sléx																Turonien	voile	-	-		gale de silice gris clair à blanc néocortex brun		
P10080	1614677.038346	8146231.181871	155.238443	M	lithique	sléx																Turonien	voile	-	-		gale de silice gris clair à blanc néocortex brun		
P10081	1614677.044496	8146231.353125	155.242493	M	lithique	sléx																Turonien	voile	-	-		gale de silice gris clair à blanc néocortex brun		

NIM	X (est)	Y (nord)	Z (est)	CODE support	Matière	Type de matière	outils	nœuds	profils techno.	très grands éclats (> 80 mm)	grands éclats (50-80 mm)	éclats (20-50 mm)	petits éclats (< 20 mm)	lames lamelles	éclats	bloc	(fragment)	(façonnage)	(traces de lu)	sans cortex	cortex partiel	cortex (> 80 %)	Type de bloc	matière première	attribution de surface	chronologique	Observations typotechno	remarques / matériel	messe (g)
PT002	1614577.321505	8146234.628248	155.203846	M	lithique	saix									1	1	1				1	lame néocortical à lèvre marquée	Tertiaire	voile	Néo			néocortex brun gris de silex gris clair à brun faiblement rouillé	28
PT003	1614578.204865	8146234.670562	155.217963	M	lithique	conglomérat											1				1	lame néocortical à lèvre marquée	Tertiaire	jaune	Néo				
PT004	1614578.506262	8146234.673811	155.174650	M	lithique	saix						1					1				1	lame néocortical à lèvre marquée	Tertiaire, Bartonien	jaune	Néo				
PT007	1614578.228774	8146234.618087	155.175492	M	lithique	saix				1							1				1	lame néocortical à lèvre marquée	Tertiaire, Bartonien	blanchâtre	-				
PT008	1614578.011817	8146235.207222	155.807061	M	lithique	saix						1					1				1	lame néocortical à lèvre marquée	Tertiaire	jaune	-				
PT008	1614578.980773	8146234.431318	155.174178	M	lithique	saix				1							1				1	lame néocortical à lèvre marquée	Tertiaire	jaune	-				
PT009-1	1614578.433308	8146235.642010	155.189725	M	lithique	saix						1					1				1	lame néocortical à lèvre marquée	Tertiaire, Bartonien	jaune	-				
PT009-2	1614578.433308	8146235.642010	155.189725	M	lithique	saix						1					1				1	lame néocortical à lèvre marquée	Tertiaire	jaune	-				
PT002	1614578.849762	8146234.627773	155.177824	M	lithique	saix						1					1				1	dièdre	Tertiaire, Bartonien	jaune	-				
PT006	1614578.776227	8146234.533633	155.173811	M	lithique	saix						1					1				1	dièdre	Tertiaire, Bartonien	jaune	-				
PT005	1614581.267254	8146234.119076	155.169965	M	lithique	saix						1					1				1	lame	Tertiaire, Bartonien	jaune	-				
PT008	1614581.297197	8146234.687145	155.157900	M	lithique	saix						1					1				1	lame	Tertiaire, Bartonien	jaune	-				
PT008	1614578.008191	8146237.623891	155.153115	M	lithique	saix						1					1				1	lame	Tertiaire, Bartonien	jaune	-				
PT009	1614578.280969	8146233.447727	155.302850	M	lithique	saix						1					1				1	lame néocortical à lèvre marquée	Tertiaire	jaune	Néo/identifié				
PT010	1614574.798177	8146231.514450	155.367271	M	lithique	saix						1					1				1	lame	Tertiaire, Bartonien	blanc	Néo				
PT002	1614578.465175	8146231.546189	155.329579	M	lithique	saix						1					1				1	lame	Tertiaire, Bartonien	blanc	Néo				
PT003	1614578.323260	8146232.374119	155.282165	M	lithique	saix						1					1				1	lame	Tertiaire, Bartonien	blanc	Néo				
PT004	1614578.048386	8146232.738520	155.250988	M	lithique	saix						1					1				1	lame	Tertiaire, Bartonien	jaune	-				
PT006	1614577.688308	8146232.239273	155.312010	M	lithique	saix						1					1				1	lame	Tertiaire, Bartonien	jaune	-				
PT007	1614578.482308	8146232.376726	155.290654	M	lithique	saix						1					1				1	lame	Tertiaire, Bartonien	jaune	-				
PT009	1614578.809300	8146231.417488	155.300308	M	lithique	saix						1					1				1	lame	Tertiaire, Bartonien	jaune	-				
PT010	1614578.362200	8146231.630032	155.282973	M	lithique	saix						1					1				1	dièdre	Tertiaire, Bartonien	jaune	-				
PT011	1614577.754637	8146234.646144	155.184470	M	lithique	saix						1					1				1	lame	Tertiaire, Bartonien	jaune	-				
PT012	1614578.061746	8146236.033031	155.186400	M	lithique	saix						1					1				1	lame	Tertiaire, Bartonien	jaune	-				
PT013	1614578.462025	8146236.462025	155.176299	M	lithique	saix						1					1				1	lame	Tertiaire, Bartonien	jaune	-				
PT014	1614578.044484	8146236.007709	155.179798	M	lithique	saix						1					1				1	lame	Tertiaire, Bartonien	jaune	-				
PT016	1614578.082526	8146233.570444	155.217629	M	lithique	saix						1					1				1	lame	Tertiaire, Bartonien	jaune	-				
PT017	1614578.006877	8146230.923989	155.254822	M	lithique	saix						1					1				1	lame néocortical	Tertiaire, Bartonien	blanc	-				
PT018	1614578.945540	8146231.152155	155.251559	M	lithique	saix						1					1				1	lame	Tertiaire	voile	-				
PT019	1614578.231180	8146231.019888	155.249471	M	lithique	saix						1					1				1	lame	Tertiaire	voile	-				
PT020	1614578.374776	8146232.325757	155.244439	M	lithique	saix						1					1				1	lame	Tertiaire, Bartonien	voile	Néo/Photo				
PT021	1614578.143015	8146232.265720	155.248314	M	lithique	saix						1					1				1	lame néocortical	Tertiaire	jaune	Néo				
PT023	1614578.064128	8146232.296341	155.210020	M	lithique	saix						1					1				1	lame	Tertiaire, Bartonien	jaune	-				
PT027	1614578.533831	8146272.072328	154.700642	M	lithique	galet						1					1				1	lame	Tertiaire, Bartonien	jaune	-				
PT028	1614578.461742	8146232.864784	155.215182	M	lithique	saix						1					1				1	lame	Tertiaire, Bartonien	jaune	-				
PT029	1614578.262228	8146233.384342	155.210391	M	lithique	saix						1					1				1	lame	Tertiaire, Bartonien	jaune	-				
PT030	1614578.325275	8146232.252950	155.222688	M	lithique	saix						1					1				1	lame	Tertiaire, Bartonien	jaune	-				
PT031-1	1614578.970336	8146232.093317	155.249760	M	lithique	saix						1					1				1	lame	Tertiaire, Bartonien	jaune	-				
PT031-2	1614578.970336	8146232.093317	155.249760	M	lithique	saix						1					1				1	lame	Tertiaire, Bartonien	jaune	-				
PT032	1614578.331155	8146230.230827	155.283303	M	lithique	saix						1					1				1	lame	Tertiaire	blanc	-				
PT034	1614804.102268	8146235.653323	154.839683	M	lithique	saix						1					1				1	lame	Tertiaire	jaune	-				
PT037	1614976.509797	8146300.651016	154.900525	M	lithique	saix						1					1				1	lame	Turonien	voile	Néo				
PT038	1614800.110360	8146302.288520	154.830475	M	lithique	saix						1					1				1	lame	indét.	voile	Néo				
PT039	1614977.404194	8146302.615722	154.930461	M	lithique	conglomérat						1					1				1	lame	conglomérat	chauffé à rouge	-				
PT040-1	1614977.671786	8146303.037342	154.928624	M	lithique	conglomérat						1					1				1	lame	conglomérat	chauffé à rouge	-				
PT040-2	1614977.671786	8146303.037342	154.928624	M	lithique	conglomérat						1					1				1	lame	conglomérat	chauffé à rouge	-				
PT041	1614980.700797	8146303.318029	154.914328	M	lithique	conglomérat						1					1				1	lame	conglomérat	petits galets de silex rose et gris	-				

NIM	X (est)	Y (nord)	Z (alt)	CODE support	Matière	Type de matière	outils	nudus	profils techno	très grands éclats (> 80 mm)	grands éclats (50-80 mm)	petits éclats (< 20 mm)	lames lames	débris	bloc	(fragments)	(traces de feu)	sans cortex	cortex partim	cortex (0-8%)	type de lison	matière première	altération de surface	attribution chronologique	observations typofrén	remarques / matériaux	masse (g)	Illustratif sélection
PF0142	1614596.136985	8146301.935005	154.893481	M	lithique	silex	1														Turonien	voile	voile	Néol	noyau microlithique à base de silex (entre 20-22 mm)		364	X
PF0143	1614597.322865	8146302.707024	154.871360	M	lithique	conglomérat	1															conglomérat	chaille à rouge	Néol	fragment de meule dormante à surface conique avec 139		660	X
PF0147	1614597.477875	8146303.772087	154.931200	M	lithique	conglomérat																conglomérat	chaille à rouge	Néol	fragment de meule dormante à surface conique avec 139		65	
PF0148	1614596.731189	8146302.562267	154.890747	M	lithique	silex																conglomérat	chaille à rouge	Néol	fragment de meule dormante à surface conique avec 139		17	
PF0149	1614596.109843	8146301.712989	154.898935	M	lithique	silex																Terrière ?	voile	Néol	fragment de meule dormante à surface conique avec 139			
PF0150	1614594.181610	8146300.481801	154.928800	M	lithique	silex																Terrière	voile	Néol	fragment de meule dormante à surface conique avec 139			
PF0153	1614599.887743	8146303.830064	154.894848	M	lithique	silex																conglomérat	chaille à rouge	Néol	fragment de meule dormante à surface conique avec 139		1037	X
PF0154	1614597.844613	8146305.482261	154.898522	M	lithique	conglomérat	1															conglomérat	voile	Néol	fragment de meule dormante à surface conique avec 139			
PF0156	1614597.402149	8146306.440386	154.921823	M	lithique	silex																Turonien	voile	Néol	fragment de meule dormante à surface conique avec 139			
PF0158	1614598.906297	8146302.298793	154.892414	M	lithique	silex																saïbe	voile	Néol	fragment de meule dormante à surface conique avec 139			
PF0159	1614597.709889	8146303.431919	154.916692	M	lithique	saïbe																saïbe	voile	Néol	fragment de meule dormante à surface conique avec 139		15	
PF0160	1614597.347279	8146304.968332	154.910389	M	lithique	silex																Terrière	saïbe	Néol	fragment de meule dormante à surface conique avec 139		0.1	
PF0161	1614596.499890	8146304.976439	154.890019	M	lithique	saïbe																saïbe	saïbe	Néol	fragment de meule dormante à surface conique avec 139		4	
PF0162	1614596.319050	8146304.532195	154.893124	M	lithique	silex																voile	voile	Néol	fragment de meule dormante à surface conique avec 139		4	
PF0163	1614596.484649	8146304.844658	154.873607	M	lithique	conglomérat	1															conglomérat	voile	Néol	fragment de meule dormante à surface conique avec 139		240	X
PF0165	1614598.448077	8146305.097833	154.925047	M	lithique	saïbe																saïbe	voile	Néol	fragment de meule dormante à surface conique avec 139		5	
PF0170	1614596.203975	8146307.76651	154.946672	M	lithique	silex	1															Terrière	voile	Néol	fragment de meule dormante à surface conique avec 139			
PF0173	1614592.483438	8146307.547783	154.910981	M	lithique	silex																voile	voile	Néol	fragment de meule dormante à surface conique avec 139			
PF0176	1614594.038264	8146310.091527	152.230098	M	lithique	silex	1															Turonien inf.	voile	Néol	fragment de meule dormante à surface conique avec 139		62	
PF0179	1614592.369110	8146312.822999	156.068166	M	lithique	silex																voile gris verdâtre	voile	Néol	fragment de meule dormante à surface conique avec 139			
PF0182	1614592.462449	8146315.671113	152.048667	M	lithique	silex																Terrière	voile	Néol	fragment de meule dormante à surface conique avec 139		14	
PF0184	1614598.646198	8146316.951963	152.059606	M	lithique	silex																Terrière	voile	Néol	fragment de meule dormante à surface conique avec 139			
PF0185	1614594.488134	8146318.394823	154.968342	M	lithique	conglomérat																conglomérat	voile	Néol	fragment de meule dormante à surface conique avec 139			
PF0206	1614594.743894	8146250.759712	156.048233	M	lithique	silex	1															voile	voile	Néol	fragment de meule dormante à surface conique avec 139			
PF0207	1614594.566152	8146254.238836	156.000286	M	lithique	silex	1															voile	voile	Néol	fragment de meule dormante à surface conique avec 139			
PF0209	1614592.380881	8146252.093027	156.044000	M	lithique	silex																voile	voile	Néol	fragment de meule dormante à surface conique avec 139			
PF0210	1614592.180979	8146258.074669	159.017965	M	lithique	silex																voile	voile	Néol	fragment de meule dormante à surface conique avec 139			
PF0211	1614593.283398	8146258.808604	154.972733	M	lithique	silex																voile	voile	Néol	fragment de meule dormante à surface conique avec 139		9	
PF0215	1614592.424980	8146257.782523	154.938276	M	lithique	saïbe																saïbe	saïbe	Néol	fragment de meule dormante à surface conique avec 139			
PF0216	1614596.806683	8146244.138668	156.065712	M	lithique	conglomérat																conglomérat	voile	Néol	fragment de meule dormante à surface conique avec 139		128	
PF0220	1614594.697609	8146256.064132	156.022612	M	lithique	silex																conglomérat	voile	Néol	fragment de meule dormante à surface conique avec 139			
PF0221	1614582.182694	8146247.146824	154.086369	M	lithique	saïbe																conglomérat	voile	Néol	fragment de meule dormante à surface conique avec 139			
PF0222	1614576.977454	8146257.282665	156.127480	M	lithique	silex																voile	voile	Néol	fragment de meule dormante à surface conique avec 139		0.1	
PF0223	1614576.172628	8146256.042180	156.159799	M	lithique	silex																voile	voile	Néol	fragment de meule dormante à surface conique avec 139			
PF0226	1614594.410969	8146259.274124	156.089174	M	lithique	silex																voile	voile	Néol	fragment de meule dormante à surface conique avec 139			
PF0227	1614594.863278	8146257.592646	154.969326	M	lithique	silex																voile	voile	Néol	fragment de meule dormante à surface conique avec 139			
PF0229	1614592.809151	8146258.913953	154.894807	M	lithique	silex	1															voile	voile	Néol	fragment de meule dormante à surface conique avec 139			
PF0230	1614590.924616	8146254.710920	156.227786	M	lithique	silex																voile	voile	Néol	fragment de meule dormante à surface conique avec 139			
PF0233	1614596.491419	8146251.378966	156.040390	M	lithique	silex																voile	voile	Néol	fragment de meule dormante à surface conique avec 139			
PF0236	1614579.832684	8146246.962782	156.072215	M	lithique	silex																voile	voile	Néol	fragment de meule dormante à surface conique avec 139			
PF0237	1614572.442233	8146258.738614	156.162491	M	lithique	silex																voile	voile	Néol	fragment de meule dormante à surface conique avec 139			
PF0238	1614572.368499	8146258.157098	156.134489	M	lithique	silex																voile	voile	Néol	fragment de meule dormante à surface conique avec 139			
PF0239	1614572.544883	8146258.658032	156.128909	M	lithique	silex																voile	voile	Néol	fragment de meule dormante à surface conique avec 139			
PF0240	1614574.880888	8146256.324655	156.091342	M	lithique	silex																voile	voile	Néol	fragment de meule dormante à surface conique avec 139			
PF0241	1614574.704930	8146256.883983	156.129839	M	lithique	silex																voile	voile	Néol	fragment de meule dormante à surface conique avec 139			
PF0242	1614574.892104	8146253.311537	156.146704	M	lithique	silex																voile	voile	Néol	fragment de meule dormante à surface conique avec 139			

47

OM10280\_ALG16\_inventaire04\_mobilier.arts.lithique

NUM	X (est)	Y (nord)	Z (alt)	CODE support	Matière	Type de matière	coûts	nucleus	produit techno.	très grands éclats (> 80 mm)	grands éclats (50-80 mm)	éclats (20-50 mm)	petits éclats (< 20 mm)	lames / lamelles	débris	bloc	(fragment)	(rapportage)	(traces de feu)	sans cortex	cortex partiel	cortex (< 80 %)	Type de lichen	matière première	attention de surface	attribution chronologique	observations typochron	remarques / matériel	masse (g)	illustration / sélection	
PT0243	1614576,009704	8148235,104883	155,138090	M	lithique	selix		1													1		lisse	Turonien inf.	-	-	éclat de ravaillage de plan de sape	gris translucide			
PT0244	1614576,821266	8148235,193078	155,138547	M	lithique	selix		1													1		lisse	Terraine, Bartonien	-	-	éclat de façonnage	gris mat	19	X	
PT0245	1614574,749451	8148234,914653	155,149298	M	lithique	conglomérat															1		boisé	Terraine, Bartonien	-	-	lison en sape d'oiseau - petit éclat				
PT0246	1614574,729783	8148234,925077	155,148271	M	lithique	selix		1													1		boisé	Terraine, Bartonien	-	-	PM de très grand éclat	gris mat			
PT0247	1614574,638838	8148235,029144	155,147006	M	lithique	selix		1													1		lisse	Terraine, Bartonien	-	-	laken en ale d'oiseau	gris mat			
PT0248	1614574,491658	8148235,521654	155,144682	M	lithique	selix		1													1		lisse	Terraine, Bartonien	-	-	cont. distal, 2 cass. débris	gris mat	74		
PT0249	1614574,430623	8148235,549327	155,059811	M	lithique	selix		1													1		pariforme	Terraine, Bartonien	-	-	cont. distal, 2 cass. débris	gris mat			
PT0250	1614574,824088	8148237,683794	155,058875	M	lithique	selix		1													1		pariforme	Terraine, Bartonien	-	-	cont. distal, 2 cass. débris	gris mat			
PT0255	1614573,880273	8148234,229725	155,108682	M	lithique	selix		1													1		pariforme	Terraine, Bartonien	-	-	cont. distal, 2 cass. débris	gris mat			
PT0256	1614574,410342	8148234,823231	155,108131	M	lithique	selix		1													1		pariforme	Terraine, Bartonien	-	-	cont. distal, 2 cass. débris	gris mat			
PT0257	1614574,833349	8148236,324538	155,085454	M	lithique	selix		1													1		lisse	Terraine, Bartonien	-	-	cont. distal, 2 cass. débris	gris mat			
PT0258	1614574,044711	8148237,911487	155,045589	M	lithique	selix		1													1		lisse	Terraine, Bartonien	-	-	cont. distal, 2 cass. débris	gris mat	6		
PT0259	1614574,708855	8148235,911487	155,045589	M	lithique	selix		1													1		lisse	Terraine, Bartonien	-	-	cont. distal, 2 cass. débris	gris mat			
PT0260	1614574,252734	8148235,171042	155,069935	M	lithique	selix		1													1		lisse	Terraine, Bartonien	-	-	cont. distal, 2 cass. débris	gris mat			
PT0261	1614574,132953	8148235,078901	155,069214	M	lithique	selix		1													1		lisse	Terraine, Bartonien	-	-	cont. distal, 2 cass. débris	gris mat			
PT0262	1614574,207934	8148235,952862	155,079859	M	lithique	selix		1													1		lisse	Terraine, Bartonien	-	-	cont. distal, 2 cass. débris	gris mat			
PT0263	1614574,207934	8148235,058864	155,077286	M	lithique	selix		1													1		lisse	Terraine, Bartonien	-	-	cont. distal, 2 cass. débris	gris mat			
PT0264	1614572,201535	8148237,453863	155,050159	M	lithique	selix		1													1		lisse	Terraine, Bartonien	-	-	cont. distal, 2 cass. débris	gris mat	185		
PT0265	1614571,910119	8148238,443085	155,049151	M	lithique	selix		1													1		lisse	Terraine, Bartonien	-	-	cont. distal, 2 cass. débris	gris mat			
PT0266	1614570,542517	8148237,227805	155,011832	M	lithique	selix		1													1		lisse	Terraine, Bartonien	-	-	cont. distal, 2 cass. débris	gris mat			
PT0270	1614570,542517	8148237,227805	155,011832	M	lithique	selix		1													1		lisse	Terraine, Bartonien	-	-	cont. distal, 2 cass. débris	gris mat			
PT0274	1614570,599598	8148238,206953	154,994800	M	lithique	selix		1													1		lisse	Terraine, Bartonien	-	-	cont. distal, 2 cass. débris	gris mat			
PT0274	1614570,599598	8148238,206953	154,994800	M	lithique	selix		1													1		lisse	Terraine, Bartonien	-	-	cont. distal, 2 cass. débris	gris mat			
PT0274	1614570,599598	8148238,206953	154,994800	M	lithique	selix		1													1		lisse	Terraine, Bartonien	-	-	cont. distal, 2 cass. débris	gris mat			
PT0274	1614570,599598	8148238,206953	154,994800	M	lithique	selix		1													1		lisse	Terraine, Bartonien	-	-	cont. distal, 2 cass. débris	gris mat			
PT0274	1614570,599598	8148238,206953	154,994800	M	lithique	selix		1													1		lisse	Terraine, Bartonien	-	-	cont. distal, 2 cass. débris	gris mat			
PT0274	1614570,599598	8148238,206953	154,994800	M	lithique	selix		1													1		lisse	Terraine, Bartonien	-	-	cont. distal, 2 cass. débris	gris mat			
PT0274	1614570,599598	8148238,206953	154,994800	M	lithique	selix		1													1		lisse	Terraine, Bartonien	-	-	cont. distal, 2 cass. débris	gris mat			
PT0274	1614570,599598	8148238,206953	154,994800	M	lithique	selix		1													1		lisse	Terraine, Bartonien	-	-	cont. distal, 2 cass. débris	gris mat			
PT0274	1614570,599598	8148238,206953	154,994800	M	lithique	selix		1													1		lisse	Terraine, Bartonien	-	-	cont. distal, 2 cass. débris	gris mat			
PT0274	1614570,599598	8148238,206953	154,994800	M	lithique	selix		1													1		lisse	Terraine, Bartonien	-	-	cont. distal, 2 cass. débris	gris mat			
PT0274	1614570,599598	8148238,206953	154,994800	M	lithique	selix		1													1		lisse	Terraine, Bartonien	-	-	cont. distal, 2 cass. débris	gris mat			
PT0274	1614570,599598	8148238,206953	154,994800	M	lithique	selix		1													1		lisse	Terraine, Bartonien	-	-	cont. distal, 2 cass. débris	gris mat			
PT0274	1614570,599598	8148238,206953	154,994800	M	lithique	selix		1													1		lisse	Terraine, Bartonien	-	-	cont. distal, 2 cass. débris	gris mat			
PT0274	1614570,599598	8148238,206953	154,994800	M	lithique	selix		1													1		lisse	Terraine, Bartonien	-	-	cont. distal, 2 cass. débris	gris mat			
PT0274	1614570,599598	8148238,206953	154,994800	M	lithique	selix		1													1		lisse	Terraine, Bartonien	-	-	cont. distal, 2 cass. débris	gris mat			
PT0274	1614570,599598	8148238,206953	154,994800	M	lithique	selix		1													1		lisse	Terraine, Bartonien	-	-	cont. distal, 2 cass. débris	gris mat			
PT0274	1614570,599598	8148238,206953	154,994800	M	lithique	selix		1													1		lisse	Terraine, Bartonien	-	-	cont. distal, 2 cass. débris	gris mat			
PT0274	1614570,599598	8148238,206953	154,994800	M	lithique	selix		1													1		lisse	Terraine, Bartonien	-	-	cont. distal, 2 cass. débris	gris mat			
PT0274	1614570,599598	8148238,206953	154,994800	M	lithique	selix		1													1		lisse	Terraine, Bartonien	-	-	cont. distal, 2 cass. débris	gris mat			
PT0274	1614570,599598	8148238,206953	154,994800	M	lithique	selix		1													1		lisse	Terraine, Bartonien	-	-	cont. distal, 2 cass. débris	gris mat			
PT0274	1614570,599598	8148238,206953	154,994800	M	lithique	selix		1													1		lisse	Terraine, Bartonien	-	-	cont. distal, 2 cass. débris	gris mat			
PT0274	1614570,599598	8148238,206953	154,994800	M	lithique	selix		1													1		lisse	Terraine, Bartonien	-	-	cont. distal, 2 cass. débris	gris mat			
PT0274	1614570,599598	8148238,206953	154,994800	M	lithique	selix		1													1		lisse	Terraine, Bartonien	-	-	cont. distal, 2 cass. débris	gris mat			
PT0274	1614570,599598	8148238,206953	154,994800	M	lithique	selix		1													1		lisse	Terraine, Bartonien	-	-	cont. distal, 2 cass. débris	gris mat			
PT0274	1614570,599598	8148238,206953	154,994800	M	lithique	selix		1													1		lisse	Terraine, Bartonien	-	-	cont. distal, 2 cass. débris	gris mat			
PT0274	1614570,599598	8148238,206953	154,994800	M	lithique	selix		1													1		lisse	Terraine, Bartonien	-	-	cont. distal, 2 cass. débris	gris mat			
PT0274	1614570,599598																														

5/7

OM10280\_ALG16\_inventaire04\_mobilierx3 lithique

N°MI	X (est)	Y (nord)	Z (alt)	CODE support	Matière	Type de matière	outils	nucleus	produit bichrome	très grands éclats (> 80 mm)	grands éclats (50-80 mm)	petits éclats (< 20 mm)	lames	débris	bloc	(fragment)	(taçage)	(traces de feu)	sans cortex	cortex partiel	cortex (< 30 %)	Type de taçon	matière première	attention de surface	attribution chronologique	observations typochron	remarques / matériel	masse (g)	illustration / sélection
PT0435	1614596.39984	8146250.923653	155.117067	M	lithique	conglomérat									1	1	1	1	1	1		conglomérat	voile	Néol	Taçon de cortex ou sous-cortex distal / cassé distal	nodules de silex blancs et gris incrustés, microinclusions	547		
PT0460	1614596.17059	8146250.433463	154.984676	M	lithique	silex				1						1						puriforme	Tertaire, Bartonien	voile	Néol	Taçon de cortex ou sous-cortex distal / cassé distal	gis mat	16	
PT0462	1614596.80462	8146250.693988	155.072287	M	lithique	silex									1							indif.	voile	Néol		gis mat	1507		
PT0463	1614597.44628	8146250.301903	155.058972	M	lithique	silex										1						Tertaire, Bartonien	gis mat	Néol		gis mat	3		
PT0466	1614594.25272	8146250.394425	155.013070	M	lithique	silex										1						Tertaire	gis mat	Néol					
PT0472	1614591.74890	8146250.652877	155.053060	M	lithique	silex										1						Turonien inf.	blanc-jaune	Néol	bord signalé sur FD de lame à 3 pans	bra ceurex taussoude			
PT0473	1614590.74870	8146250.650481	155.003192	M	lithique	silex										1						Turonien	rouge/brun/bleu/ocre	Néol	FM de lame large corticale à .72 (mm)	sous-corticale noire			
PT0475	1614583.75461	8146250.398989	154.978241	M	lithique	silex				1						1						Turonien inf.	voile	Néol	FM de lame (très large) (L. 30 mm)	gis taussoude			
PT0479	1614582.09439	8146250.091650	154.996252	M	lithique	silex										1						Turonien inf.	voile	Néol	FM	lame taussoude			
PT0479	1614579.442613	8146250.028847	155.090006	M	lithique	silex										1						silex caudoventral	voile	Néol	tracé corticale distale, profil en S	lame taussoude			
PT0481	1614579.857483	8146250.025441	155.070794	M	lithique	silex				1						1						bleu	jaune	Néol	tracé corticale distale, profil en S	lame taussoude			
PT0483	1614574.598459	8146250.073045	155.189763	M	lithique	silex										1						bleu	jaune	Néol	percuteurs sur nodules ? top déclinant pour le distal	lame taussoude	312	X	
PT0484	1614590.350441	8146250.374397	155.234346	M	lithique	conglomérat				1						1						bleu	conglomérat	Néol	« lame » de réflexion ?	gis taussoude			
PT0485	1614590.72440	8146250.029852	155.189809	M	lithique	conglomérat										1						bleu	conglomérat	Néol	tracé de moule dominant à surface concave épaissée pole	gis taussoude	92	X	
PT0486	1614596.05721	8146250.309277	155.217511	M	lithique	silex										1						bleu	conglomérat	Néol	tracé de moule dominant à surface concave épaissée pole	gis taussoude	468	X	
PT0487	1614596.542651	8146250.343832	155.170168	M	lithique	silex										1						bleu	conglomérat	Néol	tracé de moule dominant à surface concave épaissée pole	gis taussoude	569	X	
PT0488	1614572.445647	8146250.963200	155.103246	M	lithique	silex										1						bleu	conglomérat	Néol	tracé de moule dominant à surface concave épaissée pole	gis taussoude			
PT0489	1614570.88885	8146250.832948	155.140186	M	lithique	silex										1						bleu	conglomérat	Néol	tracé de moule dominant à surface concave épaissée pole	gis taussoude			
PT0490	1614570.217384	8146250.776261	155.120064	M	lithique	conglomérat										1						bleu	conglomérat	Néol	tracé de moule dominant à surface concave épaissée pole	gis taussoude			
PT0491	1614572.893441	8146250.878937	155.069193	M	lithique	silex										1						bleu	conglomérat	Néol	tracé de moule dominant à surface concave épaissée pole	gis taussoude			
PT0492	1614573.864829	8146250.647862	155.078934	M	lithique	silex										1						bleu	conglomérat	Néol	tracé de moule dominant à surface concave épaissée pole	gis taussoude			
PT0493	1614575.017974	8146250.271657	155.095742	M	lithique	silex										1						bleu	conglomérat	Néol	tracé de moule dominant à surface concave épaissée pole	gis taussoude			
PT0500	1614586.035431	8146250.463521	155.158906	M	lithique	silex										1						bleu	conglomérat	Néol	tracé de moule dominant à surface concave épaissée pole	gis taussoude			
PT0501	1614597.402482	8146250.670912	155.212587	M	lithique	silex										1						bleu	conglomérat	Néol	tracé de moule dominant à surface concave épaissée pole	gis taussoude			
PT0504	1614586.056512	8146250.468932	155.191541	M	lithique	silex										1						bleu	conglomérat	Néol	tracé de moule dominant à surface concave épaissée pole	gis taussoude			
PT0505	1614586.156979	8146250.184140	155.178892	M	lithique	silex										1						bleu	conglomérat	Néol	tracé de moule dominant à surface concave épaissée pole	gis taussoude			
PT0508	1614594.510770	8146251.277848	155.198847	M	lithique	gis										1						bleu	conglomérat	Néol	tracé de moule dominant à surface concave épaissée pole	gis taussoude			
PT0509	1614594.080853	8146251.071230	155.194002	M	lithique	silex										1						bleu	conglomérat	Néol	tracé de moule dominant à surface concave épaissée pole	gis taussoude			
PT0510	1614592.951437	8146250.112937	155.270826	M	lithique	silex										1						bleu	conglomérat	Néol	tracé de moule dominant à surface concave épaissée pole	gis taussoude			
PT0511	1614593.028613	8146250.860049	155.208103	M	lithique	silex										1						bleu	conglomérat	Néol	tracé de moule dominant à surface concave épaissée pole	gis taussoude			
PT0515	1614591.840331	8146250.727476	155.241797	M	lithique	conglomérat										1						bleu	conglomérat	Néol	tracé de moule dominant à surface concave épaissée pole	gis taussoude			
PT0516	1614593.127110	8146250.990095	155.198043	M	lithique	silex										1						bleu	conglomérat	Néol	tracé de moule dominant à surface concave épaissée pole	gis taussoude			
PT0519	1614592.308939	8146250.839849	155.197039	M	lithique	silex										1						bleu	conglomérat	Néol	tracé de moule dominant à surface concave épaissée pole	gis taussoude			
PT0521	1614596.843801	8146250.946570	155.298874	M	lithique	silex										1						bleu	conglomérat	Néol	tracé de moule dominant à surface concave épaissée pole	gis taussoude			
PT0522	1614596.786582	8146250.720385	155.246826	M	lithique	silex										1						bleu	conglomérat	Néol	tracé de moule dominant à surface concave épaissée pole	gis taussoude			
PT0523	1614596.835144	8146250.132155	155.231851	M	lithique	silex										1						bleu	conglomérat	Néol	tracé de moule dominant à surface concave épaissée pole	gis taussoude			
PT0525	1614597.812726	8146250.769831	155.239332	M	lithique	silex										1						bleu	conglomérat	Néol	tracé de moule dominant à surface concave épaissée pole	gis taussoude			
PT0529	1614596.300891	8146250.327469	155.320208	M	lithique	conglomérat										1						bleu	conglomérat	Néol	tracé de moule dominant à surface concave épaissée pole	gis taussoude			
PT0533	1614596.847882	8146250.406449	155.112841	M	lithique	silex										1						bleu	conglomérat	Néol	tracé de moule dominant à surface concave épaissée pole	gis taussoude			
PT0534	1614596.254222	8146250.088886	154.993216	M	lithique	silex										1						bleu	conglomérat	Néol	tracé de moule dominant à surface concave épaissée pole	gis taussoude			
PT0535	1614596.057385	8146250.041320	154.982235	M	lithique	ardoise										1						bleu	conglomérat	Néol	tracé de moule dominant à surface concave épaissée pole	gis taussoude			
PT0536	1614597.747822	8146250.863400	154.933173	M	lithique	silex										1						bleu	conglomérat	Néol	tracé de moule dominant à surface concave épaissée pole	gis taussoude			

NUM	X (est)	Y (sud)	Z (H)	CODE support	Matière	Type de matière	os	nucleus	produit techno.	très grands éclats (> 80 mm)	grands éclats (50-80 mm)	éclats (20-50 mm)	petits éclats (< 20 mm)	lames lamelles	débris	bloc	(regner)	(traces de feu)	sans cortex	cortex partiel	cortex (> 80 %)	type de labe	matière première	adhésion de surface	attribution chronologique	observations typochrono	remarques / matériel	masse (g)	illustration / sélection
PT0637	164596.286194	8148306.820685	154.98816	M	lithique	silex											1	1	1			-	jaune-blanc	Néo	cass. distale et basale	zoniforme et lenticulaire fine que 534			
PT0638	164596.396753	8148306.524443	154.978498	M	lithique	silex											1	1	1			-	jaune-blanc	Néo	FM	gris-beun ramolade			
PT0639	164596.397247	8148306.640241	154.971096	M	lithique	silex											1	1	1			-	jaune-blanc	Néo	lame très large à 3 pans et concave distale	Néocortice et sous-cortice rouge-beun		1	
PT0642	164596.408825	8148306.274072	154.921054	M	lithique	silex											1	1	1			-	jaune-blanc	Néo	FD	gris-beun ramolade			
PT0643	164597.886774	8148306.227813	154.929897	M	lithique	silex											1	1	1			-	jaune-blanc	Néo	FD	gris-beun ramolade			
PT0644	164596.884251	8148306.692723	154.984116	M	lithique	silex											1	1	1			-	jaune-blanc	Néo	FD	gris-beun ramolade			
PT0645	164596.099214	8148306.733934	154.938232	M	lithique	silex											1	1	1			-	jaune-blanc	Néo	FD	gris-beun ramolade			
PT0646	164596.462933	8148307.470752	154.996467	M	lithique	silex											1	1	1			-	jaune-blanc	Néo	FD	gris-beun ramolade			
PT0651	164577.649834	8148301.476103	156.091133	M	lithique	silex											1	1	1			-	jaune-blanc	Néo	FD	gris-beun ramolade			
PT0657	164577.470441	8148302.280809	156.054813	M	lithique	silex											1	1	1			-	jaune-blanc	Néo	FD	gris-beun ramolade			
PT0658	164579.030935	8148304.046956	156.058475	M	lithique	silex											1	1	1			-	jaune-blanc	Néo	FD	gris-beun ramolade			
PT0661	164571.272481	8148299.150297	156.054249	M	lithique	silex											1	1	1			-	jaune-blanc	Néo	FD	gris-beun ramolade			
PT0662	164596.882900	8148294.337286	156.142480	M	lithique	silex											1	1	1			-	jaune-blanc	Néo	FD	gris-beun ramolade			
PT0665	164567.376939	8148299.262231	156.071274	M	lithique	silex											1	1	1			-	jaune-blanc	Néo	FD	gris-beun ramolade			
PT0666	164596.875414	8148298.678144	156.050091	M	lithique	silex											1	1	1			-	jaune-blanc	Néo	FD	gris-beun ramolade			
PT0672	164596.471978	8148298.784651	156.113913	M	lithique	grès											1	1	1			-	jaune-blanc	Néo	FD	gris-beun ramolade			
PT0673	164596.491975	8148296.584115	156.107039	M	lithique	grès											1	1	1			-	jaune-blanc	Néo	FD	gris-beun ramolade			
PT0674	164596.610304	8148296.412927	156.059902	M	lithique	grès											1	1	1			-	jaune-blanc	Néo	FD	gris-beun ramolade			
PT0678	164596.542908	8148314.321602	156.114651	M	lithique	silex											1	1	1			-	jaune-blanc	Néo	FD	gris-beun ramolade			
PT0679	164596.152608	8148316.374819	156.041059	M	lithique	silex											1	1	1			-	jaune-blanc	Néo	FD	gris-beun ramolade			
PT0686	164596.339249	8148292.792482	156.258879	M	lithique	silex											1	1	1			-	jaune-blanc	Néo	FD	gris-beun ramolade			
PT0687	164596.402771	8148292.392622	156.258467	M	lithique	silex											1	1	1			-	jaune-blanc	Néo	FD	gris-beun ramolade			
PT0688	164596.649638	8148292.659262	156.238862	M	lithique	silex											1	1	1			-	jaune-blanc	Néo	FD	gris-beun ramolade			
PT0689	164596.572337	8148291.152407	156.188750	M	lithique	silex											1	1	1			-	jaune-blanc	Néo	FD	gris-beun ramolade			
PT0690	164579.390137	8148309.872969	156.128141	M	lithique	silex											1	1	1			-	jaune-blanc	Néo	FD	gris-beun ramolade			
PT0692	164596.832384	8148294.240215	156.211887	M	lithique	silex											1	1	1			-	jaune-blanc	Néo	FD	gris-beun ramolade			
PT0693	164591.559612	8148292.951091	156.178694	M	lithique	silex											1	1	1			-	jaune-blanc	Néo	FD	gris-beun ramolade			
PT0694	164599.782939	8148291.338243	156.181379	M	lithique	silex											1	1	1			-	jaune-blanc	Néo	FD	gris-beun ramolade			
PT0697	164595.208202	8148292.980731	156.469250	M	lithique	silex											1	1	1			-	jaune-blanc	Néo	FD	gris-beun ramolade			
PT0698	164577.823908	8148309.881601	156.171220	M	lithique	silex											1	1	1			-	jaune-blanc	Néo	FD	gris-beun ramolade			
PT0699	164578.609861	8148308.738422	156.183104	M	lithique	silex											1	1	1			-	jaune-blanc	Néo	FD	gris-beun ramolade			
PT0700	164578.703644	8148306.690017	156.174276	M	lithique	silex											1	1	1			-	jaune-blanc	Néo	FD	gris-beun ramolade			
PT0701-1	164592.463432	8148292.503346	156.244238	M	lithique	silex											1	1	1			-	jaune-blanc	Néo	FD	gris-beun ramolade			
PT0701-2	164592.463432	8148292.503346	156.244238	M	lithique	silex											1	1	1			-	jaune-blanc	Néo	FD	gris-beun ramolade			
PT0702	164578.038380	8148307.119193	156.051910	M	lithique	silex											1	1	1			-	jaune-blanc	Néo	FD	gris-beun ramolade			
PT0704	164579.292901	8148308.462893	156.038752	M	lithique	silex											1	1	1			-	jaune-blanc	Néo	FD	gris-beun ramolade			
PT0705	164578.144881	8148313.503301	156.191606	M	lithique	silex											1	1	1			-	jaune-blanc	Néo	FD	gris-beun ramolade			
PT0710	164572.745904	8148311.503302	155.123297	M	lithique	silex											1	1	1			-	jaune-blanc	Néo	FD	gris-beun ramolade			
PT0711	164577.147884	8148311.612704	155.070231	M	lithique	silex											1	1	1			-	jaune-blanc	Néo	FD	gris-beun ramolade			
PT0713	164572.209889	8148308.391217	154.981872	M	lithique	silex											1	1	1			-	jaune-blanc	Néo	FD	gris-beun ramolade			
PT0714	164574.493645	8148312.728515	155.007382	M	lithique	silex											1	1	1			-	jaune-blanc	Néo	FD	gris-beun ramolade			
PT0715	164574.221004	8148314.449889	155.029371	M	lithique	silex											1	1	1			-	jaune-blanc	Néo	FD	gris-beun ramolade			
PT0716	164572.052979	8148314.828889	155.071740	M	lithique	silex											1	1	1			-	jaune-blanc	Néo	FD	gris-beun ramolade			
PT0717	164571.733973	8148311.209157	155.038019	M	lithique	silex											1	1	1			-	jaune-blanc	Néo	FD	gris-beun ramolade			
PT0728	164572.558978	8148312.227052	155.038759	M	lithique	silex											1	1	1			-	jaune-blanc	Néo	FD	gris-beun ramolade			
PT0729	164572.746908	8148312.498244	155.002252	M	lithique	silex											1	1	1			-	jaune-blanc	Néo	FD	gris-beun ramolade			
PT0730	164574.746334	8148324.270826	155.100766	M	lithique	silex											1	1	1			-	jaune-blanc	Néo	FD	gris-beun ramolade			
PT0831	164573.701617	8148326.698512	155.050444	M	lithique	silex											1	1	1			-	jaune-blanc	Néo	FD	gris-beun ramolade			
PT0832	164596.793935	8148352.251744	155.162939	M	lithique	silex											1	1	1			-	jaune-blanc	Néo	FD	gris-beun ramolade			
PT0841	164572.700708	8148309.483789	154.979295	M	lithique	silex											1	1	1			-	jaune-blanc	Néo	FD	gris-beun ramolade			
PT0852	164598.727005	8148308.770923	155.052886	M	lithique	silex			</																				

77

OA10280\_ALG16\_inventaire04\_mobilier.xls: lithique

NUM	X (est)	Y (nord)	Z (alt)	CODE support	Matière	Type de matière	outils	nucleus	produit techno	très grands éclats (> 80 mm)	grands éclats (50-80 mm)	éclats (20-50 mm)	petits éclats (< 20 mm)	lames / lamelles	débris	bloc	(fragment)	(scrapage)	(traces de feu)	sans cortex	cortex partim	cortex (> 80 %)	Type de béton	matière première	altération de surface	attribution chronologique	observations typotechno	remarques / matériel	masses (g)	illustration/ sélection		
PT 0654	1614560.01627	8148326.502375	156.038472	M	lithique	grès	1									1	1		1	1	1			roug par la chauffe	Néo	exemplaire de meule dormante à surface plane, peaufinée et polie						
PT 0655	1614567.839900	8148307.951607	156.051594	M	lithique	silex								1			1				1		lisse	grès fin		Néo	lame de débitage	grès-bun transalocde				
PT 0656	1614567.857158	8148310.270715	156.038895	M	lithique	silex										1	1				1		déclat	Turonien inf.		Néo	lame de débitage					
PT 0670	1614562.833950	8148314.093311	156.041667	M	lithique	silex										1	1				1			Turonien inf.		Néo	FD					
PT 0678	1614561.483720	8148306.363886	156.181869	M	lithique	calcaire										1	1				1			calcaire coquiller		Néo	FD			52		
PT 0679	1614562.054900	8148304.890869	156.189742	M	lithique	calcaire										1	1				1			calcaire coquiller		Néo	lame de meule/dormante à surface plane, peaufinée et polie			22		
PT 0681	1614566.898772	8148309.493822	156.133095	M	lithique	silex	1									1	1				1		lisse	Turonien inf.		Néo	lame de meule/dormante à surface plane, peaufinée et polie	brun transalocde		26	X	
PT 0748	1614549.347802	8148272.70205	156.266990	M	lithique	grès	1									1	1				1			grès fin		Néo	polissoir : surface peu concave	« grès lisse » blanc		90		
PT 0747	1614547.722413	8148273.2001	156.267757	M	lithique	grès										1	1				1			grès fin		Néo		« grès lisse » blanc		93		
PT 0769	1614546.804626	8148274.839196	156.440579	M	lithique	silex										1	1				1			Turonien inf.		Néo	lame de meule/dormante à surface plane, peaufinée et polie			43		
PT 0770	1614545.126549	8148276.650033	156.500831	M	lithique	silex										1	1				1			Turonien inf.		Néo	lame de meule/dormante à surface plane, peaufinée et polie			43		
PT 0808	1614524.830897	8148258.674834	156.464626	M	lithique	silex	1									1	1				1			Tertaire		Néo ?				204	X	
PT 0821	1614528.892248	8148256.837209	156.412920	M	lithique	silex										1	1				1			Tertaire, Bartonien		Néo		grès mat				
PT 0822	1614566.188858	8148256.441850	156.147467	M	lithique	silex										1	1				1			Tertaire, Bartonien		Néo	lame de meule en forme de L (21 mm)	grès mat				
PT 0889	1614598.586449	8148300.508872	156.013800	M	lithique	silex										1	1				1		lisse	Turonien inf.		Néo	lame de meule en forme de L (91 mm) x 24 mm	grès clair transalocde				
PT 0900	1614598.748556	8148300.514742	156.002894	M	lithique	silex										1	1				1		lisse	Turonien inf.		Néo	lame de débitage (L: 102 mm)	brun transalocde				
PT 0991	1614598.802131	8148300.721817	156.032761	M	lithique	silex										1	1				1			Tertaire, Bartonien		Néo		grès mat				
PT 0992	1614592.489877	8148301.825109	156.048176	M	lithique	silex										1	1				1		déclat	Turonien inf.		Néo	lame à 3 pans : casse, distale faîtière (L: 18 mm)	grès transalocde				
PT 0993	1614592.247888	8148301.650185	156.057704	M	lithique	silex										1	1				1		lisse	Turonien inf.		Néo	lame courbe (5 x 24 mm)	brun coque transalocde				
ST04				M	lithique	calcaire										1	1				1			meule		Néo	meule					
ST10				M	lithique	silex										1	1				1			Turonien inf.		Néo	lame à 2 pans (L: 24)	grès clair transalocde			195	

4 - Inventaire du mobilier archéologique : en terre cuite des points topographiques (PT) et des structures

OAI020\_A1.G16\_inventaire\_mobilier\_archeologique\_terre\_cuite

18

NUM	X (est)	Y (nord)	Z (m)	CODE support	Type de matériau	identification	sélecteur / illi	épaisseur	dégraissant	cuison	surfaces	bord	préhension	fond	décor	attribution chrono	Tessons Nb	masse (g)	remarques
PT0001	1614587,11874	8146239,392095	155,154638	M	terre_cuite	céramique	-	-	sable fin, végétal	B/NB	lisse	-	-	-	-	NeoProb	1	2	
PT0003	1614589,831289	8146230,389282	155,176688	M	terre_cuite	céramique	-	-	sable, chamotte	BR/BRB	lisse	-	-	-	-	NeoProb	1	13	terre cuite, fonction ? rongé
PT0008	1614598,519905	8146244,800683	155,004615	M	terre_cuite	céramique	-	-	sable grossier	R/NB	lisse	-	-	-	-	ProtoAntique	1	119	
PT0013	1614593,22522	8146246,226398	154,900869	M	terre_cuite	céramique	-	-	sable, chamotte	BR/BRB	lisse	-	-	-	-	NeoProb	1	9	
PT0015	1614601,565538	8146246,75553	154,870176	M	terre_cuite	céramique	-	-	sable grossier	RE/NBR	lisse	-	-	-	-	NeoProb	1	6	
PT0025	1614606,849988	8146249,574556	154,56331	M	terre_cuite	céramique	-	-	sable fin	N/JN	lisse	-	-	-	-	Antique	1	1,5	tournée
PT0027	1614610,11647	8146251,150547	154,938377	M	terre_cuite	terre cuite	-	-	végétal	réductrice	-	-	-	-	-	indét.	1		Torchis, graines
PT0028	1614611,1032016	8146252,38524	154,913066	M	terre_cuite	céramique	-	-	sable, végétal	BR/BRB	lisse, desquamée	-	-	-	-	NeoProb	1	20	
PT0029	1614620,9691175	8146256,891541	154,876669	M	terre_cuite	TCA	-	-	calcaire, chamotte	G/B/rose	lisse	-	-	-	-	Antique	1	4	TCA
PT0030	1614631,447289	8146264,884278	154,828229	M	terre_cuite	TCA	-	-	calcaire	rose	lisse	-	-	-	-	Antique	1	17	legata
PT0031	1614633,737373	8146264,843678	154,86031	M	terre_cuite	TCA	-	-	calcaire	Grose/G	lisse	-	-	-	-	Antique	1	21	legata
PT0032	1614634,030092	8146265,976147	154,834146	M	terre_cuite	TCA	-	-	calcaire	rouge	lisse	-	-	-	-	Antique	1	12	legata
PT0033	1614632,995383	8146265,289514	154,835183	M	terre_cuite	TCA	-	-	calcaire	rose	lisse	-	-	-	-	Antique	1	28	legata
PT0034	1614631,717897	8146265,615763	154,854731	M	terre_cuite	TCA	-	-	calcaire	Beige	lisse	-	-	-	-	Antique	1	11	TCA
PT0035-1	1614631,930806	8146265,652718	154,826505	M	terre_cuite	TCA	-	-	calcaire	blanc/rose/blanc	lisse	-	-	-	-	Antique	1	11	TCA
PT0035-2	1614631,930806	8146265,652718	154,826505	M	terre_cuite	céramique	-	-	chamotte, végétal	B/R/R	-	-	-	-	-	NeoProto	1	2	céramique
PT0037	1614632,72345	8146267,897122	154,88883	M	terre_cuite	TCA	-	-	calcaire	G/G/rose	lisse	-	-	-	-	Antique	1	21	legata
PT0040	1614633,790065	8146267,676115	154,889367	M	terre_cuite	TCA	-	-	calcaire, végétal	G/G/rose	lisse	-	-	-	-	Antique	1	6	TCA
PT0041	1614633,287331	8146267,869525	154,741391	M	terre_cuite	terre cuite	-	-	sable, chamotte, végétal	N/R/?	lisse	-	-	-	-	NeoProb	6	67	remontent; terre cuite, fonction ?
PT0043	1614631,531984	8146263,423649	154,714263	M	terre_cuite	TCA	-	-	sable fin	rouge	lisse	-	-	-	-	Antique	1	13	TCA
PT0044	1614637,107981	8146267,867588	154,780802	M	terre_cuite	TCA	-	-	sable fin	rouge	lisse	-	-	-	-	Antique	1	13	TCA
PT0046	1614638,395985	8146265,938338	154,747308	M	terre_cuite	TCA	-	-	sable fin	blanc/rose/blanc	lisse	-	-	-	-	Antique	1	32	TCA
PT0048	1614636,183902	8146265,379089	154,789481	M	terre_cuite	céramique	-	-	sable, calcaire	rose/R/rose	lisse	-	-	-	-	Antique	1	22	vase de stockage, dolum ? Roulé
PT0052	1614616,669493	8146275,772147	154,388435	M	terre_cuite	céramique	-	-	sable fin	G/G/N	lustres ? desquamées	-	-	-	-	ProtoAntique	1	4	tournée
PT0053	1614646,661786	8146277,054845	154,356672	M	terre_cuite	céramique	-	-	meulière pilée, chamotte, os, végétal	beige/NB	lisse	-	-	-	-	NeoProto	1	14	sort de l'ensemble
PT0062	1614650,771318	8146276,140733	154,444554	M	terre_cuite	terre cuite	-	-	sable, végétal	Oxyde-réducteur	-	-	-	-	-	indét.	1	50	TCA, torchis
PT0063	1614650,627686	8146276,250941	154,43143	M	terre_cuite	TCA	-	-	sable grossier	G/R/G	lisse	-	-	-	-	Antique/Modem	1	102	luite griseuse
PT0068	1614573,388004	8146234,564278	155,281722	M	terre_cuite	céramique	-	-	sable, végétal	O/NB	lisse, desquamée	-	-	-	-	NeoProto	1	6	
PT0072-1	1614580,673289	8146234,774846	155,218106	M	terre_cuite	céramique	-	-	sable, végétal	RE/NRB	lisse, desquamée	-	-	-	-	NeoProb	1	8	
PT0072-2	1614580,673289	8146234,774846	155,218106	M	terre_cuite	céramique	-	-	sable	R/O/O	lisse, desquamée	-	-	-	-	NeoProto	1	12	
PT0072-3	1614580,673289	8146234,774846	155,218106	M	terre_cuite	céramique	-	-	sable, végétal	BR/NB	lisse, desquamée	-	-	-	-	NeoProb	1	9	
PT0073	1614578,698279	8146233,678732	155,238147	M	terre_cuite	céramique	-	-	sable, végétal	BR/NB	lisse, desquamée	-	-	-	-	NeoProto	1	42	
PT0074	1614578,41685	8146234,705684	155,228848	M	terre_cuite	céramique	-	-	sable (calcaire), (chamotte)	BR/NRB	lisse, desquamée	-	-	-	-	NeoProto	1	5	appareillé à 72-1, 73, 85, 86
PT0075	1614579,16573	8146234,729473	155,234246	M	terre_cuite	céramique	-	-	sable, végétal	RE/NRB	lisse, desquamée	-	-	-	-	NeoProb	1	29	
PT0085	1614579,879483	8146235,027211	155,179995	M	terre_cuite	céramique	-	-	sable, végétal	RE/NRB	lisse, desquamée	-	-	-	-	NeoProb	1	8	
PT0086	1614579,15077	8146234,20733	155,188218	M	terre_cuite	céramique	-	-	sable, végétal	RE/NB	lisse, desquamée	-	-	-	-	NeoProb	1	7	
PT0090	1614580,679956	8146234,39544	155,160451	M	terre_cuite	céramique	-	-	sable, végétal	B/NB	lisse, desquamée	-	-	-	-	NeoProb	1	9	
PT0094	1614581,553976	8146234,395099	155,167215	M	terre_cuite	céramique	-	-	sable fin	R/R/B	lisse, desquamée	-	-	-	-	NeoProto	1	13	
PT0097	1614577,6477	8146238,28734	155,120189	M	terre_cuite	céramique	-	-	sable	R/B/BR	lisse, desquamée	-	-	-	-	NeoProb	1	13	inflexion sous bord
PT0100	1614574,597816	8146232,384431	155,338859	M	terre_cuite	céramique	-	-	-	-	-	-	-	-	-	NeoProb	1	1,5	
PT0105	1614576,392614	8146232,384465	155,248925	M	terre_cuite	céramique	-	-	terre cuite pilée	O	lisse à empoe	-	-	-	-	Antique	1	19	peson, récipient de stockage ?
PT0108	1614573,798797	8146233,015587	155,28231	M	terre_cuite	céramique	-	-	sable grossier-pilé ?	O/G/O	lisse	-	-	-	-	NeoProb	1	13	

NUM	X (est)	Y (nord)	Z (m)	CODE support	Type de matériau	identification	sélectori/ lili	épaisseur	dégraisant	cuisson	surfaces	bord	prohension	fond	décor	attribution chrono	Tessons Nb	masse (g)	remarques
P70115	1614576,730727	8146234,341806	155,186242	M	terre_cuite	céramique	+	13	sable fin	R/R/R	lisse, desquamée	-	-	-	impressions au doigt	Bronze ancien	1	17	impressions sous la carène - appartené à 651
P70122	1614573,51781	8146231,436741	155,205168	M	terre_cuite	céramique		13	sable grossier	O/O/O	lisse, desquamée	-	-	-	-	NéoProto	1	16	ronglé
P70124	1614579,800446	8146233,441848	155,150004	M	terre_cuite	céramique		9	sable, chamotte, meulière pile	R/B/B	lisse	-	-	-	-	NéoProto	1	6	
P70125	1614620,670468	8146230,761507	154,849307	M	terre_cuite	TCA		10	calcaire, chamotte	rose/rose/rose	lisse	-	-	-	-	Antique	1	3	
P70126	1614616,629382	8146238,232614	154,720284	M	terre_cuite	TCA		12	sable fin	rouge	lisse	-	-	-	-	Antique	1	11	regula
P70133	1614574,559612	8146233,077038	155,214579	M	terre_cuite	céramique		-	sable	R/R/B	-	-	-	-	-	NéoProto	1	3	
P70135	1614600,6093159	8146239,745344	154,908631	M	terre_cuite	céramique	+	-	végétal	B/N/B	lisse, desquamée	-	-	plat légèrement protubérant	-	NéoProto	1	34	fond à centre épais
P70136	1614601,622969	8146301,274746	154,913247	M	terre_cuite	céramique	+	-	sable grossier, végétal	R/B/B/R	lisse, desquamée	-	-	plat	-	NéoProto	1	31	
P70144	1614596,82751	8146303,044376	154,940251	M	terre_cuite	céramique		-	-	oxydante	-	-	-	-	-	NéoProto	1	1	
P70145	1614597,030788	8146303,599654	154,931529	M	terre_cuite	céramique		14	sable grossier	R/N/R	lisse, desquamée	-	-	-	-	NéoProto	1	22	
P70146	1614597,743156	8146303,560562	154,931166	M	terre_cuite	céramique		8	-	R/B/B	desquamées	-	-	-	-	NéoProto	1	3	
P70151	1614594,133623	8146301,463274	154,922687	M	terre_cuite	céramique		11	sable grossier	BO/BOR	desquamées	-	-	-	-	NéoProto	1	2	ronglé
P70152	1614597,281369	8146302,445356	154,886239	M	terre_cuite	céramique		-	-	G/G/G	lisse	-	-	-	-	NéoProto	1	14	traces de laquettes indél.
P70155	1614598,33083	8146305,808615	154,920378	M	terre_cuite	terre_cuite		-	(végétal)	G/G/G	lisse	-	-	-	-	indél.	1	45	traces de laquettes indél. infère que 155
P70157	1614598,17778	8146306,364023	154,930113	M	terre_cuite	céramique		-	(végétal)	O/O/O	lisse	-	-	plat	-	NéoProto	1	39	
P70164	1614594,697639	8146302,805953	154,930825	M	terre_cuite	céramique	+	-	sable, chamotte	R/N	-	-	-	-	-	NéoProto	1	2	
P70166	1614591,607573	8146306,47398	154,932332	M	terre_cuite	céramique		-	végétal	R/R/R	desquamées	-	-	-	-	NéoProto	1	9	
P70167	1614591,520285	8146307,745862	154,908491	M	terre_cuite	céramique		-	sable grossier	oxydante	-	-	-	-	-	NéoProto	1	2	
P70168	1614590,890581	8146308,188356	154,941707	M	terre_cuite	céramique		-	-	R/N/B	desquamées	-	-	-	-	NéoProto	1	18	
P70169	1614591,841506	8146308,409725	154,908787	M	terre_cuite	céramique		13	sable grossier, végétal	R/N/B	desquamées	-	-	-	-	NéoProto	1	3	
P70171	1614590,85732	8146304,650355	154,936297	M	terre_cuite	céramique		8	sable, végétal	R/N/B	lisse	-	-	-	-	NéoProto	1	5	
P70172	1614594,470368	8146306,366135	154,912327	M	terre_cuite	céramique		13	sable (chamotte)	R/N/B	desquamées	-	-	-	-	NéoProto	1	5	
P70174	1614591,330958	8146306,462455	154,886484	M	terre_cuite	céramique		20	sable	R/B/R/B	lisse	-	-	-	-	NéoProto	1	17	
P70175-1	1614593,779918	8146305,100315	154,899348	M	terre_cuite	céramique		7	-	O/G/R	desquamées	-	-	-	-	NéoProto	1	1,5	
P70175-2	1614593,779918	8146305,100315	154,899348	M	terre_cuite	céramique		13	sable	R/O/N	desquamées	-	-	-	-	NéoProto	1	14	
P70178	1614595,140732	8146314,368674	155,109867	M	terre_cuite	céramique		5	-	blanc/rose/blanc	lisse	-	-	-	-	Antique	1	1,5	commune blanche non retrouvé
P70180	1614588,832883	8146312,302427	155,0546	M	terre_cuite	céramique		-	-	-	-	-	-	-	-	-	-	-	-
P70181-1	1614594,406716	8146311,387159	155,082168	M	terre_cuite	TCA		-	-	R/R/R	-	-	-	-	-	Antique	1	6	TCA ?
P70181-2	1614594,406716	8146311,387159	155,082168	M	terre_cuite	TCA		> 21	sable	oxydante	lisse	-	-	-	-	Antique	1	18	TCA
P70183	1614591,151328	8146318,833741	154,936622	M	terre_cuite	céramique		-	-	réduction	-	-	-	-	-	indél.	1	1	
P70186	1614583,788531	8146316,568825	154,907518	M	terre_cuite	céramique		13	-	G/G/G	lisse	-	-	-	-	Proto	1	19	
P70191	1614594,152966	8146253,917929	155,078803	M	terre_cuite	céramique		-	sable	R/B/?	-	-	-	-	-	NéoProto	1	2	
P70192	1614594,839729	8146252,778575	155,084301	M	terre_cuite	céramique		17	sable	R/B/R	lisse, desquamée	-	-	-	-	NéoProto	1	21	
P70195	1614594,476465	8146251,971817	155,088378	M	terre_cuite	céramique		12	sable	R/B/R/B	desquamées	-	-	-	-	NéoProto	1	14	légère inflexion
P70205	1614593,834732	8146251,117842	155,049334	M	terre_cuite	céramique		7	sable fin	O/O/O	desquamées	-	-	-	-	NéoProto	1	14	TCA
P70208	1614592,592986	8146252,884537	155,094532	M	terre_cuite	TCA		7	sable fin	rouge	lisse	-	-	-	-	Antique	1	3	TCA
P70212	1614591,898559	8146248,416629	154,909192	M	terre_cuite	céramique		18	sable fin	BO/BO	lisse	-	-	-	-	NéoProto	1	10	
P70213	1614592,165963	8146249,728363	154,933643	M	terre_cuite	céramique		13	sable grossier	R/N/B	desquamées	-	-	-	-	NéoProto	1	12	
P70214	1614596,380125	8146245,504165	155,174023	M	terre_cuite	céramique		11	sable	R/B/R/B	lisse	-	-	-	-	NéoProto	1	17	
P70217	1614596,323115	8146247,489259	155,062938	M	terre_cuite	céramique		19	sable grossier	B-R/B-R-B	desquamées	-	-	-	-	Proto	1	24	
P70218	1614596,4054419	8146245,623021	155,006497	M	terre_cuite	céramique		15	sable	R/B/O/B	lisse, desquamée	-	-	-	-	NéoProto	1	12	
P70219	1614592,208803	8146243,631684	155,054972	M	terre_cuite	céramique		12	sable grossier	R/B/R/B	lisse, desquamée	-	-	-	-	NéoProto	1	10	
P70220	1614584,6977809	8146246,864132	155,023912	M	terre_cuite	TCA		-	-	Oxyd-éducteur	lisse	-	-	-	-	Antique	1	6	TCA
P70224	1614612,634395	8146257,746509	154,894289	M	terre_cuite	céramique		25	chamotte, sable	rose/R/rose	lisse	-	-	-	-	Antique	1	50	usage de stockage, dolium ? Enroulé
P70225	1614610,532384	8146268,842495	154,692373	M	terre_cuite	céramique		4	-	G/G/G	lisse	-	-	-	-	Antique	1	2	commune glisse
P70228	1614594,424472	8146256,443611	155,020211	M	terre_cuite	céramique	+	10	sable, chamotte	R/R/R	desquamées	-	-	-	-	NéoProto	1	7	
P70232	1614591,207589	8146254,449589	155,175501	M	terre_cuite	céramique		4	-	G/G/G	lisse	-	-	-	-	Antique	1	5	commune glisse

NUM	X (est)	Y (nord)	Z (est)	CODE support	Type de matériau	identification	sélection/ litu	épaisseur	dégraissant	cuisson	surfaces	bord	préhension	fond	décor	attribution chrono	Traçons Nb	masse (kg)	remarques
P0254	161456.34942	814625.1787243	154,969104	M	terre_cuite	céramique		13		R/B/G/B	dequammée	-	-	-	-	NéoPrato	1	6	
P0255	161456.334398	814625.1624885	154,963626	M	terre_cuite	céramique		10	sable, chamotte	R/B/N/B	lisse, dequammée	-	-	-	-	NéoPrato	1	6	
P0251	1614571.393522	8146236.764778	155,163651	M	terre_cuite	TCA		12	calcaire	rose	lisse	-	-	-	-	Antique	1	40	tegula commune grise
P0252	1614571.639241	8146236.880593	155,138881	M	terre_cuite	céramique		6	-	GhblancG	lisse	-	-	-	-	Antique	1	4	
P0253	1614574.175752	8146237.184649	155,074283	M	terre_cuite	céramique		6	-	R/R/N	lisse	-	-	-	-	Prato/Antique	1	4	
P0254	1614573.222514	8146238.18713	155,100315	M	terre_cuite	TCA		32	sable	oxydante	lisse	-	-	-	-	Antique	1	35	TCA
P0282	1614572.637256	8146236.142539	155,051017	M	terre_cuite	TCA		18	sable grossier	oxydante	lisse, face à engobe blanc et face rose	-	-	-	-	Antique	1	34	TCA
P0285	1614571.910319	8146236.45088	155,049151	M	terre_cuite	TCA		-	sable fin	rouge	lisse	-	-	-	-	Antique	1	14	tegula
P0286	1614572.351073	8146236.599662	155,038546	M	terre_cuite	TCA		21	sable fin	R/R/R	lisse	-	-	-	-	Antique	1	37	tegula
P0289	1614569.937022	8146236.476602	155,071154	M	terre_cuite	TCA		23	sable fin	rouge	lisse	-	-	-	-	Antique	1	80	tegula
P0271	1614571.239487	8146236.018669	154,979088	M	terre_cuite	TCA		19	sable fin	oxydante	lisse	-	-	-	-	Antique	1	35	tegula
P0272	1614570.084804	8146238.27027	155,162304	M	terre_cuite	céramique		-	-	GhblancG	lisse	arrondi	-	-	-	Antique/Médéval	1	5	commune gise griseuse
P0273	1614570.522329	8146238.828216	155,080234	M	terre_cuite	céramique		-	-	GhblancG	lisse	éversé	-	-	-	Antique	1	3	commune grise
P0314	1614574.111112	8146252.127236	155,09371	M	terre_cuite	céramique		-	sable grossier	O/G/O	dequammée	-	-	-	-	NéoPrato	1	8	élément de ????
P0268	1614573.015032	8146236.80811	155,11171	M	terre_cuite	céramique		-	sable grossier	réductrice	dequammée	-	-	-	-	NéoPrato	1	8	
P0389	1614570.24837	8146253.915473	155,111593	M	terre_cuite	céramique		-	sable fin	B/O/B	lisse, dequammée	-	-	-	-	NéoPrato	1	2	
P0380	1614568.710874	8146265.572704	155,210361	M	terre_cuite	céramique		11	sable	R/G/G	lisse	-	-	-	-	NéoPrato	1	9	TCA
P0282	1614568.16277	8146270.585059	155,229893	M	terre_cuite	TCA		-	chamotte, calcaire	rose	lisse	-	-	-	-	Antique	1	3	
P0388	1614580.028695	8146263.479226	155,235086	M	terre_cuite	céramique		12	sable grossier	B/N/N	dequammée	-	-	-	-	NéoPrato	1	8	
P0389	1614571.77159	8146257.626466	155,261287	M	terre_cuite	céramique		14	sable grossier, (chamotte)	R/R/R	dequammée	arrondi	-	-	-	NéoPrato	1	15	
P0372	1614576.83333	8146263.73295	155,301288	M	terre_cuite	céramique		15	sable grossier	R/O/B/N	dequammée	-	-	-	-	NéoPrato	1	14	
P0373	1614575.95485	8146263.455221	155,315265	M	terre_cuite	céramique		15	sable grossier	R/R/R	lisse, dequammée	-	-	-	-	NéoPrato	1	15	
P0401	1614570.47666	8146264.64492	155,400759	M	lithique	TCA		20	sable à grains noirs	rose/G/rose	lisse	-	-	-	-	Antique	1	20	TCA (legua)
P0403	1614592.1165	8146286.812382	155,14188	M	terre_cuite	céramique		10	-	rose/G/rose	vernis/sé	arrondi	-	-	-	Médiéval	1	9	vernis/sé jaune et verte, Médiéval XVe
P0406	1614576.28468	8146231.411196	155,124402	M	terre_cuite	céramique		8	sable végétal, (chamotte)	B/R/B	dequammée	-	-	-	-	NéoPrato	1	5	
P0408	1614572.845025	8146277.938608	155,205705	M	terre_cuite	TCA		14	chamotte, calcaire	G/rose/rose	lisse	-	-	-	-	Antique	1	18	TCA, rouée
P0409	1614569.637804	8146278.339137	155,272249	M	terre_cuite	céramique		14	sable	R/O	lisse	-	-	-	-	NéoPrato	1	5	
P0411	1614570.444635	8146277.603868	155,211027	M	terre_cuite	céramique		13	sable grossier, (végétal)	R/R/R/B	dequammée	-	-	-	-	NéoPrato	1	17	
P0412	1614590.153409	8146296.038865	155,129531	M	terre_cuite	TCA		14	sable fin	rose/R/R	lisse	-	-	-	-	Antique	1	7	TCA
P0415	1614590.496029	8146296.651702	155,146603	M	terre_cuite	céramique		-	-	NN/N	-	-	-	-	-	indét.	1	4	terre cuite
P0417	1614596.617774	8146231.637321	154,974125	M	terre_cuite	céramique		-	(végétal)	B/N/B	-	-	-	-	-	NéoPrato	1	2	
P0418	1614565.618643	8146292.401851	154,983832	M	terre_cuite	céramique		12	-	R/R/B	dequammée	-	-	-	-	NéoPrato	1	6	
P0420-1	1614576.967822	8146292.131226	155,138039	M	terre_cuite	céramique		10	sable végétal	BR/N/B	dequammée	-	-	-	-	NéoPrato	1	73	Bronze ancien
P0420-2	1614579.967822	8146292.131226	155,138039	M	terre_cuite	céramique		8	quartz, qn chamotte, végétal	RE/N/B	dequammée	-	-	-	-	NéoPrato	1	20	
P0422	1614580.092292	8146290.049635	155,071287	M	terre_cuite	céramique		9	sable (calcaire), (chamotte)	R/N/N	dequammée	-	-	-	-	NéoPrato	1	7	
P0425	1614578.367668	8146290.091973	155,033352	M	terre_cuite	céramique		8	chamotte, végétal	B/N/B	lisse, dequammée	-	-	-	-	NéoPrato	1	5	
P0426	1614582.197107	8146296.878736	154,965586	M	terre_cuite	TCA		-	sable fin	oxydante	-	-	-	-	-	Antique	1	7	TCA ?
P0429	1614578.39752	8146288.627437	155,027647	M	terre_cuite	céramique		6	-	oxydante	lisse	-	-	-	-	Médiéval/Médiéval	1	4	lesson de pot en gras
P0430	1614576.572627	8146289.258189	155,070837	M	terre_cuite	céramique		8	sable	BR/B	dequammée	-	-	-	-	Néo	1	21	non retrouvé
P0431	1614578.44873	8146287.038125	155,033432	M	terre_cuite	céramique		16	sable grossier	R/R/R	lisse	-	-	-	-	NéoPrato	1	17	
P0436	1614559.88933	8146280.314139	155,241033	M	terre_cuite	céramique		-	sable	R/B/B	dequammée	-	-	-	-	NéoPrato	1	21	
P0437	1614556.763815	8146276.439035	155,423616	M	terre_cuite	céramique		-	sable	R/B/B	dequammée	-	-	-	-	NéoPrato	1	15	
P0438	1614557.489372	8146277.12616	155,385709	M	terre_cuite	céramique		14	sable, végétal	B/R/B	dequammée	-	-	-	-	NéoPrato	1	15	
P0439-1	1614556.680536	8146276.573577	155,404466	M	terre_cuite	céramique		14	sable	R/B/B/N	dequammée	-	-	-	-	NéoPrato	1	71	plati légèrement profusément
P0439-2	1614556.680536	8146276.573577	155,404466	M	terre_cuite	céramique		15	sable	B/R/B	dequammée	-	-	-	-	NéoPrato	1	14	

NUM	X (est)	Y (nord)	Z (alt)	CODE support	Type de matériau	identification	sélection/ illu	épaisseur	dégradant	cuisson	surfaces	bord	préhension	fond	décor	attribution chrono	Traçons No	masse (g)	remarques
PT0440	1614557,60837	8146273,74779	155,37977	M	terre_culte	céramique	-	-	sable	B/R/B	dequaimée	-	-	-	-	NéoPrato	1	4	
PT0441	1614556,94814	8146278,46581	155,30778	M	terre_culte	céramique	15	15	sable grossier, meulière pilée	N/B/O	dequaimée	-	-	-	-	NéoPrato	1	23	Très légère inflexion sous bord ?
PT0442	1614557,72359	8146276,31426	155,35046	M	terre_culte	céramique	-	-	-	B/R/B	lisse	-	-	-	-	NéoPrato	1	4	
PT0443	1614556,51226	8146275,64347	155,38766	M	terre_culte	céramique	11	11	-	N/R/B	lisse	-	-	-	-	NéoPrato	1	3	ronglée
PT0445	1614557,10453	8146272,220671	155,33338	M	terre_culte	céramique	14	14	sable	N/B/B	lisse	-	-	-	-	NéoPrato	1	37	ronglée
PT0446	1614557,70878	8146278,79286	155,29304	M	terre_culte	céramique	11	11	chamotte	N/R/N	lisse	-	-	-	-	NéoPrato	1	7	ronglée
PT0447	1614556,84661	8146276,98757	155,33745	M	terre_culte	céramique	16	16	sable	B/R/B	lisse	-	-	-	-	NéoPrato	1	9	ronglée
PT0448	1614556,96396	8146276,26158	155,34486	M	terre_culte	céramique	6	6	-	R/R/R	dequaimée	-	-	-	-	NéoPrato	1	2	TCA ?
PT0449	1614556,18051	8146278,40242	155,33084	M	terre_culte	TCA	5	5	sable fin	R/B/R	lisse	-	-	-	-	NéoPrato	1	2	
PT0469	1614557,42958	8146270,70467	155,29284	M	terre_culte	céramique	8	8	sable grossier	B/N/N	lisse	-	-	-	-	NéoPrato	1	18	
PT0451	1614556,10467	8146278,77989	155,28024	M	terre_culte	céramique	12	12	sable grossier	B/R/B	dequaimée	-	-	-	-	NéoPrato	1	13	épaissement de la paroi jusqu'à 24 mm ; départ de préhension ou de fond ?
PT0452	1614556,54823	8146275,32576	155,29312	M	terre_culte	céramique	18	18	sable	B/N/B	dequaimée	-	-	-	-	NéoPrato	1	58	
PT0453	1614556,94872	8146279,73159	155,29416	M	terre_culte	céramique	17	17	sable, végétal (chamotte)	R/R/R	dequaimée	-	-	-	-	NéoPrato	1	11	
PT0464	1614556,74102	8146276,37095	155,37289	M	terre_culte	céramique	-	-	sable grossier, (chamotte)	N/N/N	lisse	-	-	-	-	NéoPrato	1	8	
PT0465	1614556,71417	8146275,07427	155,31804	M	terre_culte	céramique	5	5	sable fin	N/B/rose	lisse	-	-	-	-	Prob/Antique	1	2	
PT0466	1614556,30209	8146304,41132	155,08525	M	terre_culte	céramique	8	8	végétal ?	B/N/B	lisse	-	-	-	-	Prato	1	11	
PT0467	1614556,29658	8146299,12446	155,01125	M	terre_culte	céramique	9	9	sable	B/R/B	lisse	-	-	-	-	NéoPrato	2	11	
PT0468	1614556,68807	8146300,09327	155,00484	M	terre_culte	céramique	-	-	sable	O/O/O	-	-	-	-	-	NéoPrato	1	8	émausé
PT0469	1614556,08808	8146280,35106	154,95247	M	terre_culte	céramique	-	-	sable	R/R/B	dequaimée	-	-	-	-	NéoPrato	1	2	
PT0461	1614567,10164	8146303,62029	155,13238	M	terre_culte	TCA	10	10	calcaire	O	lisse	rebord arrondi	-	-	-	Antique	1	14	Tegula ?
PT0462	1614556,46754	8146297,99831	155,02121	M	terre_culte	céramique	13	13	sable, chamotte	O/G/O	dequaimée	-	-	-	-	NéoPrato	1	3	
PT0465	1614556,84479	8146296,89197	155,03743	M	terre_culte	céramique	16	16	sable	R/R/B	dequaimée	-	-	-	-	NéoPrato	1	9	
PT0467	1614556,53209	8146296,24102	154,99167	M	terre_culte	céramique	15	15	sable	B/R/B	dequaimée	-	-	-	-	NéoPrato	1	6	
PT0468	1614556,88379	8146297,94884	154,98469	M	terre_culte	céramique	15	15	sable	B/R/B	lisse, dequaimée	-	-	-	-	NéoPrato	1	8	
PT0469	1614556,60591	8146296,97734	154,99716	M	terre_culte	céramique	17	17	sable, gravier, chamotte ?	R/R/B	lisse, dequaimée	-	-	-	-	NéoPrato	1	26	apparié à 470,471
PT0470	1614556,60813	8146297,61535	154,97201	M	terre_culte	céramique	12	12	sable	R/R/B	lisse	-	-	-	-	NéoPrato	1	5	
PT0471	1614556,33072	8146297,47193	154,99339	M	terre_culte	céramique	18	18	sable	R/R/B	lisse	-	-	-	-	NéoPrato	1	16	
PT0474	1614556,14742	8146298,83334	154,96876	M	terre_culte	céramique	-	-	sable	Oxyd-réducteur	dequaimée	-	-	-	-	NéoPrato	1	6	
PT0477	1614556,12345	8146300,26431	154,95818	M	terre_culte	céramique	14	14	sable	N/B/O	lisse	-	-	-	-	NéoPrato	1	10	
PT0478	1614556,00142	8146299,71684	154,96633	M	terre_culte	TCA	14	14	sable fin	orange	lisse	-	-	-	-	Antique	1	4	TCA
PT0480	1614576,89016	8146292,67281	155,07681	M	terre_culte	céramique	9	9	sable, végétal	B-R/R/B-B	lisse, dequaimée	-	-	-	-	NéoPrato	1	38	inflexion colbord
PT0482	1614576,59514	8146291,67098	155,05615	M	terre_culte	céramique	10	10	végétal	R/V/N	dequaimée	-	-	-	-	NéoPrato	1	24	ronglée
PT0483	1614574,08359	8146295,01045	155,06738	M	terre_culte	céramique	15-20	15-20	sable	B/N/N	dequaimée	-	-	-	-	NéoPrato	1	65	épaissement de la paroi ; départ de préhension ?
PT0484	1614573,98709	8146293,10759	155,09236	M	terre_culte	TCA	7	7	sable fin	G/anc/G	lisse	épais, arrondi	-	-	-	Antique	1	5	TCA
PT0495	1614575,33870	8146294,72744	155,06538	M	terre_culte	céramique	18	18	sable, (végétal)	B/N/N	lisse, dequaimée	-	-	-	-	NéoPrato	1	18	
PT0496	1614575,42743	8146295,59453	155,09451	M	terre_culte	céramique	8	8	sable, chamotte	R/B/B	dequaimée	-	-	-	-	NéoPrato	1	7	
PT0497-1	1614575,07074	8146297,27167	155,05742	M	terre_culte	TCA	11	11	sable fin	R/B	lisse	-	-	-	-	Antique	1	9	TCA
PT0497-2	1614575,07074	8146297,27167	155,05742	M	terre_culte	céramique	11	11	chamotte, quartz naturel	B/O/R/N	dequaimée	-	-	-	-	NéoPrato	1	37	
PT0498	1614567,50878	8146287,61794	155,19410	M	terre_culte	céramique	12	12	sable	R/R/R	lisse	-	-	-	-	NéoPrato	1	8	
PT0499	1614567,49869	8146286,61605	155,16410	M	terre_culte	céramique	8	8	-	N/G/N	érodée	-	-	-	-	NéoPrato	1	6	
PT0502	1614566,03432	8146288,82936	155,1708	M	terre_culte	céramique	15	15	sable, végétal, meulière pilée	R/R/B	lisse	-	-	-	-	NéoPrato	1	27	émausé
PT0503	1614566,17919	8146287,35284	155,16657	M	terre_culte	céramique	18	18	sable	RO	lisse, dequaimée	-	-	-	-	NéoPrato	1	99	émausé
PT0506	1614566,13287	8146289,58682	155,18394	M	terre_culte	céramique	13	13	sable	R/N/B	dequaimée	-	-	-	-	NéoPrato	1	24	
PT0507	1614566,03452	8146291,45497	155,17457	M	terre_culte	céramique	11	11	sable, calcaire, chamotte	B-R/R/B-B	dequaimée	-	-	-	-	NéoPrato	1	12	
PT0512	1614653,15872	8146289,65074	155,24317	M	terre_culte	céramique	18	18	sable grossier	R/B/G	dequaimée	-	-	-	-	NéoPrato	1	7	
PT0513	1614563,58941	8146285,74286	155,19906	M	terre_culte	céramique	-	-	sable	oxydante	lisse	-	-	-	-	Antique	1	2	

NUM	X (est)	Y (nord)	Z (alt)	CODE support	Type de matériau	identification	sélection/ illu	épaisseur	dégraissant	cuison	surfaces	bord	préhension	fond	décor	attribution chrono	Tessons Nb	masse (g)	remarque
P70514	1614561,031875	8146288,762534	155,278725	M	terre_culte	céramique	+	12	sable grossier	R/R/R	desquamée	aplati	-	-	impressions sous bord	Néo/Prob	1	8	inflexion très légère
P70517	1614562,280376	8146288,861849	155,18732	M	terre_culte	céramique		15	Gruver, 1 silex broyé	B/B/N	desquamée	-	-	-	-	Néo/Prob	1	15	
P70518	1614562,203602	8146285,243488	155,180015	M	terre_culte	céramique		10	sable fin, végétal, (chamotte)	B/G/RB	desquamée	-	-	-	-	Néo/Prob	1	10	
P70520	1614557,363341	8146283,530689	155,321905	M	terre_culte	céramique		14	sable	R/B/N	lisse	-	-	-	-	Néo/Prob	1	14	
P70524	1614558,137148	8146281,288856	155,286575	M	terre_culte	céramique		11	sable, tq calcite	R/R/R	lisse	?	-	-	-	Néo/Proto	1	9	émoussé
P70526	1614556,141881	8146285,942843	155,332187	M	terre_culte	céramique		4	sable fin	N/B/N	lisse	repliés vers ext.	-	-	-	Proto/Antique	1	12	
P70527	1614554,931882	8146282,819372	155,348252	M	terre_culte	céramique		15	sable	R/B/N/B	desquamée	-	-	-	-	Néo/Prob	1	12	
P70528	1614554,951442	8146281,980772	155,382113	M	terre_culte	céramique		14	sable grossier	R/R/R/B	desquamée	-	-	-	-	Néo/Prob	1	5	
P70530	1614554,713169	8146283,887497	155,287733	M	terre_culte	céramique		12	sable, (chamotte)	O/O/O	desquamée	-	-	-	-	Néo/Prob	1	7	
P70531	1614555,200176	8146284,722066	155,302641	M	terre_culte	céramique		-	sable, chamotte	R/R/R/R	-	-	-	-	-	Néo/Prob	1	5	
P70532	1614555,698515	8146282,884303	155,388002	M	terre_culte	céramique		4	-	N/G/N	lisse	-	-	-	-	Proto/Antique	1	1	
P70540	1614568,205107	8146307,210492	154,95898	M	terre_culte	TCA		17	sable	oxydante	lisse	rebord en quart-de-bord	-	-	-	Antique	1	16	legula
P70541	1614568,944019	8146308,030279	154,924788	M	terre_culte	céramique		12	sable, chamotte	R/R/B	lisse, desquamée	-	-	-	-	Néo/Proto	1	14	
P70547	1614551,932979	8146307,966346	154,988211	M	terre_culte	céramique	+	14	sable	R/B/N/R	desquamée	arrondi	-	-	impressions au doigt	Néo/Proto	1	73	appariés à 547, 549, 527, 554, 452, 651, 668, 596, 483, 420, 439
P70548	1614575,137128	8146301,487096	155,102359	M	terre_culte	céramique		12	sable	O/R/B	desquamée	-	-	-	-	Néo/Proto	1	17	
P70549	1614570,001163	8146300,284572	155,089721	M	terre_culte	céramique		13	sable	R/B/N/B	desquamée	-	-	-	-	Néo/Proto	1	17	
P70550	1614576,297877	8146299,692433	155,121573	M	terre_culte	céramique		11	sable	R/N/B/B	desquamée	-	-	-	-	Néo/Proto	1	13	
P70552	1614576,651101	8148301,43365	155,081688	M	terre_culte	céramique		12	sable, chamotte, végétal	R/R/B	desquamée	-	-	-	-	Néo/Proto	1	15	inflexion
P70553	1614578,275326	8146300,384877	155,038281	M	terre_culte	céramique	+	14	sable grossier	O/O/O	desquamée	arrondi	-	-	-	Néo/Proto	1	41	légère inflexion
P70554	1614575,894228	8146301,687534	155,068902	M	terre_culte	céramique		15	sable	R/B/N/B	desquamée	-	-	-	-	Néo/Proto	1	16	
P70555	1614575,312824	8146301,330632	155,086145	M	terre_culte	céramique	+	14	sable grossier, chamotte	R/N/B/B	desquamée	arrondi	-	-	incisions obliques sous bord	Néo/Proto	1	32	
P70556	1614575,52047	8146300,054777	155,042441	M	terre_culte	céramique		14	sable	R/R/B/N	desquamée	-	-	-	-	Néo/Proto	1	38	
P70559	1614574,593987	8146300,284451	155,028874	M	terre_culte	céramique		15	sable	R/B/N/B	lisse	-	-	-	-	Néo/Proto	1	12	
P70560	1614575,594209	8146302,686012	155,03389	M	terre_culte	céramique		15	sable grossier	R/R/B	desquamée	-	-	-	-	Néo/Proto	1	9	
P70563	1614568,924816	8146299,508089	155,08897	M	terre_culte	céramique		5	-	Céramiq/G	lisse	-	-	-	-	Médéval/Moderne	1	2	lgt de bord
P70564	1614570,603424	8146296,152773	155,110869	M	terre_culte	céramique		9	sable	R/B/N/B	lisse, desquamée	arrondi	-	-	-	Néo/Proto	1	16	
P70567	1614566,039885	8146298,911575	155,230897	M	terre_culte	céramique		10	sable	B/R/R/B	desquamée	-	-	-	-	Néo/Proto	1	4	
P70569	1614564,614971	8146295,188211	155,207799	M	terre_culte	céramique		11	chamotte	B/R/B/B	lisse, desquamée	-	-	-	-	Néo/Prob	1	5	émoussé
P70570	1614564,294047	8146293,184695	155,18682	M	terre_culte	céramique		14	sable, végétal	R/R/B/N	lisse, desquamée	-	-	-	-	Néo/Proto	1	11	
P70571	1614566,478381	8146297,688303	155,148715	M	terre_culte	céramique		12	sable grossier	R/B/B/N	lisse	-	-	-	-	Néo/Proto	1	4	
P70577	1614580,976113	8146314,188706	155,186878	M	terre_culte	céramique		16	sable grossier	R/B/R	lisse, desquamée	-	-	-	-	Néo/Proto	1	12	
P70584	1614586,089589	8146297,358382	154,986035	M	terre_culte	céramique		5	-	R/B/R	vernisée	-	-	-	-	Médéval	1	1,5	vernisée verte XVIe
P70585	1614566,240388	8146295,706529	155,174693	M	terre_culte	céramique		-	-	RB	-	-	-	-	Indét.	1	33		
P70591	1614574,986432	8146318,415189	155,182785	M	terre_culte	céramique		6	-	-	vernisée brute	-	-	-	-	Médéval/Moderne	1	2	
P70596	1614559,708984	8146291,250482	155,182454	M	terre_culte	céramique		14	sable	R/N/N	desquamée	-	-	-	-	Indét.	1	1	
P70596	1614560,980951	8146290,877381	155,182045	M	terre_culte	céramique		14	sable	R/B/N/B	desquamée	-	-	-	-	Néo/Proto	1	25	
P70603	1614575,651089	8146306,155221	155,049125	M	terre_culte	céramique		-	sable	oxydante	desquamée	-	-	-	-	Néo/Proto	1	2	
P70612	1614575,241311	8146313,039578	155,138822	M	terre_culte	terre_culte		6	-	oxydante	lisse	-	-	-	-	Antique 7 Ou postérieur	1	2	
P70618	1614570,803773	8146310,481579	155,041182	M	terre_culte	céramique		14	sable	R/B/O/O	lisse	-	-	-	-	Néo/Proto	1	7	
P70651-1	1614572,456983	8146295,622533	155,079489	M	terre_culte	céramique	+	15	sable	R/N/?	desquamée	-	-	-	impressions au doigt	Bronze ancien	1	40	élément à légère carène ; décor sous la carène
P70651-2	1614572,456983	8146295,622533	155,079489	M	terre_culte	céramique		-	-	-	bleu-gris/bleu-gris	-	-	-	-	Médéval/Moderne	1	39	lgt de bord de pol en gris
P70653	1614568,603853	8146310,654538	155,089401	M	terre_culte	céramique		4	-	Oxydo-éducteur	lisse	arrondi	-	-	-	Antique	1	8	tournée

6/6

OAM200\_ALG16\_Avancé00f\_mobilier\_abl\_terr\_culte

NUM	X (est)	Y (Nord)	Z (m)	CODE support	Type de matériau	identification	sélection/flu	épaisseur	dégraissant	cuisson	surfaces	bord	préhension	fond	décor	attribution chrono	Tessons Nb	masse (g)	remarque
PT0657	1614565,785171	8146306,571031	155,182316	M	terre_culte	céramique		6	chamotte, végétal	R/NR	lisse	-	-	-	-	Proto ?	1	7	dépôt carbonaté interne
PT0658	1614563,18123	8146311,134754	155,130122	M	terre_culte	TCA		15	calcaire, gravier	oxydante	lisse	-	-	-	-	Antique	1	99	tegula
PT0659	1614564,38821	8146310,738657	155,135072	M	terre_culte	TCA		13	calcaire	rose/rose	lisse	-	-	-	-	Antique	1	47	tegula
PT0660	1614562,651174	8146310,654001	155,186442	M	terre_culte	céramique		11	-	R/NB	desquamée	-	-	-	-	NeoProto	1	10	ronglée
PT0661	1614566,704114	8146312,380411	155,076952	M	terre_culte	céramique		-	-	R/B/R-B	lisse	-	-	-	-	NeoProto	1	5	
PT0666	1614564,524716	8146309,076415	155,120779	M	terre_culte	céramique		8	sable grossier	O/O	lissage au végétal	arondi	-	-	-	NeoProto	1	13	
PT0667	1614564,917883	8146310,888895	155,087627	M	terre_culte	TCA		13	calcaire	rose	lisse	-	-	-	-	Antique	1	43	tegula
PT0668	1614564,492619	8146309,981221	155,094272	M	terre_culte	céramique		18-21	sable	R/N/B	desquamée	-	-	-	-	NeoProto	5	33	
PT0669	1614563,07003	8146308,548987	155,168425	M	terre_culte	céramique		8	végétal, sable	R/NB	lisse	-	-	-	-	NeoProto	1	7	
PT0672	1614562,971543	8146306,840148	155,209685	M	terre_culte	TCA		14	sable fin	rouge	lisse	-	-	-	-	Antique	1	12	tegula
PT0673	1614563,133115	8146306,706488	155,188863	M	terre_culte	céramique		5	-	oxydante	lisse	-	-	-	-	Antique	1	3	bourrée
PT0674	1614564,181411	8146306,080839	155,178613	M	terre_culte	céramique		12	-	R/R/R	lisse	-	-	-	-	indét.	1	12	
PT0675	1614561,756684	8146304,688651	155,183149	M	terre_culte	TCA		20	sable grossier	oxydante	lisse	-	-	-	-	Antique	1	73	TCA
PT0676				M	terre_culte	céramique		-	-	N/rose/N	lisse	replié	-	-	lignes incisées sous lèvre	Antique/Médéva	1	9	
PT0680	1614561,346429	8146305,388215	155,134165	M	terre_culte	céramique		-	sable fin	N/B/N	lisse	épaissi, arondi	-	-	lignes incisées au bord	Proto/Antique	1	12	
PT0724	1614550,064001	8146273,265776	155,309587	M	terre_culte	céramique		8	sable	R/NR	desquamée	arondi	-	-	-	NeoProto	1	2	
PT0725	1614551,615514	8146270,026314	155,332974	M	terre_culte	céramique		12	calcaire	oxydante	lisse	-	-	plat	-	Antique	1	36	commune blanche
PT0726	1614551,38426	8146283,319534	155,312889	M	terre_culte	TCA		-	-	R/rose/G	lisse	-	-	-	-	Antique	1	8	TCA
PT0727	1614567,73009	8146287,717034	155,282204	M	terre_culte	céramique		11	sable	BF/RBR	desquamée	-	-	-	-	NeoProto	1	12	
PT0744	1614548,110492	8146272,587245	155,419162	M	terre_culte	céramique		-	-	R/B/G	-	-	-	-	-	indét.	1	2	
PT0745	1614548,832791	8146272,230875	155,427055	M	terre_culte	céramique		12	-	B/NB	lisse	-	-	-	-	NeoProto	1	4	
PT0748	1614551,303278	8146270,967847	155,292006	M	terre_culte	céramique		13	sable	R/B/R/B	desquamée	-	-	-	-	NeoProto	1	11	
PT0684	1614587,182322	8146303,373045	155,064891	M	terre_culte	céramique		5	sable fin	rose/G/rose	érodées	-	-	-	-	Antique	1	5	bourrée
ST04-1				M	terre_culte	TCA		16	-	bois/rose/beige	lisse	droit	-	-	-	Antique	1	50	tegula, Quadrant NO, passe 0-20 cm
ST04-2				M	terre_culte	TCA		17	chamotte, calcaire	O/O/O	lisse	-	-	-	-	Antique	1	33	TCA, Quadrant NO, passe 0-20 cm
ST04-3				M	terre_culte	TCA	x	18	sable	beige/G-rose/beige	lisse	rebord en demi-rond	-	-	-	Antique	1	185	tegula, Quadrant NO, passe 50-100 cm
ST04-4				M	terre_culte	TCA	x	21	sable, calcaire	R/R/R	lisse	rebord en demi-rond	-	-	-	Antique	1	102	tegula, Quadrant NO, passe 50-100 cm
ST04-5				M	terre_culte	TCA		25	sable, calcaire	beige/G-rose/beige	lisse	-	-	-	-	Antique	1	142	tegula, Quadrant NO, passe 50-100 cm
ST04-6				M	terre_culte	TCA		20	sable	O/O/O	lisse	-	-	-	-	Antique	1	42	TCA, Quadrant NO, passe 50-100 cm
ST04-7				M	terre_culte	terre_culte		-	sable, chamotte	O/O/O	lisse	-	-	-	-	Antique	1	37	terre cuite, Quadrant NO, passe 50-100 cm

4 - Inventaire du mobilier archéologique : métallique des points topographiques (PT)

NUM	X (est)	Y (nord)	Z (alti)	CODE support	Matière	Type de matière	Type	entier	débris	altération de surface	attribution chronologique	observations typo.	Illustration/ sélection
PT0177	1614585.191927	8146314.173342	155.097042	M	métal	ferreux	clou		1	oxydé	Antique, Moderne	tête plate large à gibbosité centrale ; garniture de meuble ...	
PT0231	1614591.389540	8146254.956263	155.152190	M	métal	ferreux			1	oxydé	moderne ?	fgt ovale : harnachement, garniture ...	
PT0287	1614573.247323	8146238.773671	155.035487	M	métal	ferreux	scorie	1			indét.		
PT0288	1614574.943086	8146236.077590	155.055661	M	métal								
PT0405	1614583.425999	8146280.238108	155.017769	M	métal	ferreux			1	oxydé	moderne ?	fgt de pièce en ruban : harnachement, machine ...	
PT0414	1614590.023696	8146295.008896	155.118549	M	métal	ferreux	scorie	1			indét.		
PT0419	1614584.187773	8146290.925575	154.967436	M	métal	ferreux	clou		1	oxydé	indét.	section quadrangulaire	
PT0444	1614556.215430	8146278.376428	155.343605	M	métal	ferreux	scorie	1			indét.		
PT0671	1614563.195061	8146305.025087	155.219282	M	métal	alliage cuivreux	sphérique		1	altéré	indét.	très petit élément en Bronze ?	
PT0676	1614560.493170	8146304.622528	155.179235	M	métal								
PT0677	1614560.624119	8146304.366763	155.173555	M	métal	ferreux	scorie	1			indét.		

5 - Inventaire de la documentation écrite et graphique

CODE OA	CODE SITE	ID	Support	Auteur	Description	Nombre
10280	ALG16	E1	A4 papier millimétré	M. Rué	Coupes stratigraphiques	10 pages
10280	ALG16	E2	A4 papier millimétré	équipe	Relevé et description des structures	2 pages
10280	ALG16	E3	A4 papier	A. Hauzeur	Fiches d'enregistrement des fenêtres	11 pages
10280	ALG16	E4	A4 papier	équipe	Inventaire manuel des prélèvements	2 pages
10280	ALG16	E5	A4 papier	GG, équipe	Inventaire manuel des points topographiés	14 pages
10280	ALG16	G1	A4 papier	A. Hauzeur	relevés profils, sections mobilier lithique	2 pages
10280	ALG16	G2	A4 papier	A. Hauzeur	relevés profils mobilier céramique	3 pages
10280	ALG16	G3	calque, encre	A. Hauzeur	dessins mobilier céramique	1 page

## 6 - Inventaire de la documentation numérique et numérisée

OA10280\_ALG16\_inventaire06\_doc-num.xls: page 1/6

Nom	Date (mod)	Taille KB	Extension
<b>78-Ablis_OA10280_2016_RO A. HAUZEUR (Paléotime)</b>			
ALG16_doc_numerique\	2018-02-01		
ALG16_inventaires\	2018-02-01		
ALG16_photos_mobilier\	2018-02-01		
ALG16_photos_terrain\	2018-02-01		
ALG16_plans\	2018-02-01		
ALG16_RFO\	2018-02-01		
<b>78-Ablis\ALG16_doc_numerique\</b>			
OA10280_ALG16_E1_COUPES.pdf	2016-10-25	16751	pdf
OA10280_ALG16_E2_STRUCTURES.pdf	2016-10-25	3654	pdf
OA10280_ALG16_E3_FICHES_Fenetres.pdf	2016-11-10	4524	pdf
OA10280_ALG16_E4_PRELEVEMENTS.pdf	2016-10-25	1065	pdf
OA10280_ALG16_E5_TOPO.pdf	2016-10-25	12910	pdf
OA10280_ALG16_G1_mobilier_lithique_relevésAH.pdf	2017-01-03	628	pdf
OA10280_ALG16_G2_Mobilier_ceramique_relevésAH.pdf	2016-11-02	203	pdf
OA10280_ALG16_G3_mobilier_ceramique_dessinsAH.jpg	2016-11-02	1584	jpg
<b>78-Ablis\ALG16_inventaires\</b>			
OA10280_ALG16_inventaire01_UPS.xls	2018-01-29	9	xls
OA10280_ALG16_inventaire02_prelevements.xls	2018-01-29	15	xls
OA10280_ALG16_inventaire03_faits.xls	2018-01-29	9	xls
OA10280_ALG16_inventaire04_mobilier.xls	2018-01-31	293	xls
OA10280_ALG16_inventaire05_documents.xls	2018-01-30	7	xls
OA10280_ALG16_inventaire06_doc-num.xls	2018-02-05	37	xls
OA10280_ALG16_inventaire07_photos.xls	2018-01-31	146	xls
OA10280_ALG16_inventaire08_points_topo.xls	2018-01-30	267	xls
OA10280_ALG16_inventaire09_caisses.xls	2018-02-05	7	xls
<b>78-Ablis\ALG16_photos_mobilier\</b>			
OA10280_ALG16_PNM_0001.jpg à OA10280_ALG16_PNM_0169.jpg	2017-06-06		jpg
<b>78-Ablis\ALG16_photos_terrain\</b>			
OA10280_ALG16_PNT_0001.JPG à OA10280_ALG16_PNT_0620.jpg	2017-06-06		jpg
<b>78-Ablis\ALG16_plans\</b>			
ALG16_qgis_parcellaire\	2017-06-06		
Plan_qgis\	2017-06-06		
Plan_quickgrid\	2017-06-06		
OA10280_ALG16_plan_masse.dxf	2018-01-31	962	dxf
OA10280_ALG16_plan_masse_500e.ai	2017-06-06	5496	ai
OA10280_ALG16_plan_masse_500e.jpg	2017-06-06	2766	jpg
<b>78-Ablis\ALG16_plans\ALG16_qgis_parcellaire\</b>			
Ablis_couche_commune.dbf	2016-09-22	1	dbf
Ablis_couche_commune.prj	2016-09-22	1	prj
Ablis_couche_commune.qpj	2016-09-22	1	qpj
Ablis_couche_commune.shp	2016-09-22	1	shp
Ablis_couche_commune.shx	2016-09-22	1	shx
Ablis_genêts_emprise.dbf	2016-07-05	1	dbf
Ablis_genêts_emprise.prj	2016-07-05	1	prj
Ablis_genêts_emprise.qpj	2016-07-05	1	qpj
Ablis_genêts_emprise.shp	2016-07-05	1	shp
Ablis_genêts_emprise.shx	2016-07-05	1	shx
ALG16_courbes.dbf	2016-10-21	24	dbf
ALG16_courbes.prj	2016-10-21	1	prj
ALG16_courbes.qpj	2016-10-21	1	qpj
ALG16_courbes.shp	2016-10-21	7	shp
ALG16_courbes.shx	2016-10-21	1	shx

OA10280\_ALG16\_inventaire06\_doc-num.xls: page 2/6

Nom	Date (mod)	Taille KB	Extension
ALG16_decapage.dbf	2016-10-21	2	dbf
ALG16_decapage.prj	2016-10-21	1	prj
ALG16_decapage.qpj	2016-10-21	1	qpj
ALG16_decapage.shp	2016-10-21	2	shp
ALG16_decapage.shx	2016-10-21	1	shx
ALG16_environnement.dbf	2016-10-21	529	dbf
ALG16_environnement.prj	2016-10-21	1	prj
ALG16_environnement.qpj	2016-10-21	1	qpj
ALG16_environnement.shp	2016-10-21	66	shp
ALG16_environnement.shx	2016-10-21	3	shx
ALG16_inventaire_points_mobilier.csv	2016-10-24	49	csv
ALG16_points_courbes.dbf	2016-10-21	5	dbf
ALG16_points_courbes.prj	2016-10-21	1	prj
ALG16_points_courbes.qpj	2016-10-21	1	qpj
ALG16_points_courbes.shp	2016-10-21	1	shp
ALG16_points_courbes.shx	2016-10-21	1	shx
ALG16_projet_redressement_RGF93.qgs	2016-11-07	111	qgs
ALG16_projet_redressement_RGF93.qgs~	2016-10-24	115	qgs~
ALG16_st_archeo.dbf	2016-10-24	17	dbf
ALG16_st_archeo.prj	2016-10-24	1	prj
ALG16_st_archeo.qpj	2016-10-24	1	qpj
ALG16_st_archeo.shp	2016-10-24	5	shp
ALG16_st_archeo.shx	2016-10-24	1	shx
ALG16_st_archeo_polygones.dbf	2018-01-29	17	dbf
ALG16_st_archeo_polygones.prj	2016-10-24	1	prj
ALG16_st_archeo_polygones.qpj	2016-10-24	1	qpj
ALG16_st_archeo_polygones.shp	2018-01-29	3	shp
ALG16_st_archeo_polygones.shx	2018-01-29	1	shx
cadastre_Napoleon_archives_AD078CA_E_Provelu.jpg	2016-09-14	4479	jpg
cadastre_Napoleon_archives_AD078CA_E_Provelu.jpg.points	2016-10-24	1	points
cadastre_Napoleon_archives_AD078CA_E_Provelu_georef.tif	2016-10-24	44804	tif
Carte_ablis.jpeg	2016-07-04	2942	jpeg
Carte_ablis_georef.tif	2016-10-21	49892	tif
diag_INRAP_2015_est.pdf	2016-10-20	369	pdf
diag_INRAP_2015_est_georef.tif	2016-10-24	23023	tif
diag_INRAP_2015_ouest.pdf	2016-10-20	501	pdf
Google-Earth_2008.jpg	2016-10-20	915	jpg
Google-Earth_2008_georef.tif	2016-10-24	5071	tif
IGNF_PVA_1-0_1946-09-23_C2216-0011_1946_F2216-2317_0146.jp2	2016-08-10	3921	jp2
IGNF_PVA_1-0_1946-09-23_C2216-0011_1946_F2216-2317_0146_extrait.jpg	2016-08-10	3020	jpg
IGNF_PVA_1-0_1946-09-23_C2216-0011_1946_F2216-2317_0146_extrait.jpg.aux.xml	2016-10-24	1	xml
IGNF_PVA_1-0_1946-09-23_C2216-0011_1946_F2216-2317_0146_extrait_georef.tif	2016-10-24	4745	tif
IGNF_PVA_1-0_1946-09-23_C2216-0011_1946_F2216-2317_0146_extrait_georef.tif.aux.xml	2016-10-24	2	xml
IGNF_PVA_1-0_2000-01-26_CA00S00091_2000_FR5381_0712.jp2	2016-10-19	28046	jp2
IGNF_PVA_1-0_2000-01-26_CA00S00091_2000_FR5381_0712_extrait.jpg	2016-10-20	23217	jpg
IGNF_PVA_1-0_2000-01-26_CA00S00091_2000_FR5381_0712_extrait_georef.tif	2016-10-24	79814	tif
<b>78-Ablis\ALG16_plans\Plan_Qgis\</b>			
Ablis_couche_commune.dbf	2016-09-22	1	dbf
Ablis_couche_commune.prj	2016-09-22	1	prj
Ablis_couche_commune.qpj	2016-09-22	1	qpj
Ablis_couche_commune.shp	2016-09-22	1	shp
Ablis_couche_commune.shx	2016-09-22	1	shx
Ablis_genets_emprise.dbf	2016-07-05	1	dbf
Ablis_genets_emprise.prj	2016-07-05	1	prj
Ablis_genets_emprise.qpj	2016-07-05	1	qpj
Ablis_genets_emprise.shp	2016-07-05	1	shp
Ablis_genets_emprise.shx	2016-07-05	1	shx
ALG16_ceram_chrono-type.csv	2016-11-07	16	csv
ALG16_courbes.dbf	2016-10-21	24	dbf

OA10280\_ALG16\_inventaire06\_doc-num.xls: page 3/6

Nom	Date (mod)	Taille KB	Extension
ALG16_courbes.prj	2016-10-21	1	prj
ALG16_courbes.qpj	2016-10-21	1	qpj
ALG16_courbes.shp	2016-10-21	7	shp
ALG16_courbes.shx	2016-10-21	1	shx
ALG16_decapage.dbf	2016-10-21	2	dbf
ALG16_decapage.prj	2016-10-21	1	prj
ALG16_decapage.qpj	2016-10-21	1	qpj
ALG16_decapage.shp	2016-10-21	2	shp
ALG16_decapage.shx	2016-10-21	1	shx
ALG16_environnement.dbf	2016-10-21	529	dbf
ALG16_environnement.prj	2016-10-21	1	prj
ALG16_environnement.qpj	2016-10-21	1	qpj
ALG16_environnement.shp	2016-10-21	66	shp
ALG16_environnement.shx	2016-10-21	3	shx
ALG16_fenêtres_PT.dbf	2017-12-19	108	dbf
ALG16_fenêtres_PT.prj	2017-12-19	1	prj
ALG16_fenêtres_PT.qpj	2017-12-19	1	qpj
ALG16_fenêtres_PT.shp	2017-12-19	2	shp
ALG16_fenêtres_PT.shx	2017-12-19	1	shx
ALG16_fenêtres_trace.dbf	2017-12-19	23	dbf
ALG16_fenêtres_trace.prj	2017-12-19	1	prj
ALG16_fenêtres_trace.qpj	2017-12-19	1	qpj
ALG16_fenêtres_trace.shp	2017-12-19	2	shp
ALG16_fenêtres_trace.shx	2017-12-19	1	shx
ALG16_inventaire_points_mobilier.csv	2016-10-24	49	csv
ALG16_lithique_categories.dbf	2017-01-09	465	dbf
ALG16_lithique_categories.prj	2017-01-09	1	prj
ALG16_lithique_categories.qpj	2017-01-09	1	qpj
ALG16_lithique_categories.shp	2017-01-09	8	shp
ALG16_lithique_categories.shx	2017-01-09	2	shx
ALG16_lithique_matprem-typo.csv	2017-01-09	25	csv
ALG16_lithique_outils.dbf	2017-01-09	471	dbf
ALG16_lithique_outils.prj	2017-01-09	1	prj
ALG16_lithique_outils.qpj	2017-01-09	1	qpj
ALG16_lithique_outils.shp	2017-01-09	8	shp
ALG16_lithique_outils.shx	2017-01-09	2	shx
ALG16_lithique_typo.dbf	2017-01-09	471	dbf
ALG16_lithique_typo.prj	2017-01-09	0	prj
ALG16_lithique_typo.qpj	2017-01-09	1	qpj
ALG16_lithique_typo.shp	2017-01-09	8	shp
ALG16_lithique_typo.shx	2017-01-09	2	shx
ALG16_plan_mobilier.qgs	2018-01-31	362	qgs
ALG16_plan_mobilier.qgs~	2018-01-29	351	qgs~
ALG16_st_archeo.dbf	2016-10-24	17	dbf
ALG16_st_archeo.prj	2016-10-24	1	prj
ALG16_st_archeo.qpj	2016-10-24	1	qpj
ALG16_st_archeo.shp	2016-10-24	5	shp
ALG16_st_archeo.shx	2016-10-24	0	shx
ALG16_st_archeo_polygones.dbf	2016-10-24	17	dbf
ALG16_st_archeo_polygones.prj	2016-10-24	1	prj
ALG16_st_archeo_polygones.qpj	2016-10-24	1	qpj
ALG16_st_archeo_polygones.shp	2016-10-24	3	shp
ALG16_st_archeo_polygones.shx	2016-10-24	1	shx
<b>78-Ablis\ALG16_plans\Plan_quickgrid\</b>			
ALG16_mobilier	2016-10-14	17	
ALG16_mobilier.pdf	2016-10-14	40	pdf
ALG16_mobilier_carte_alti.ai	2016-10-14	1146	ai
ALG16_mobilier_carte_alti.dxf	2016-11-07	205	dxf
essai	2016-10-14	17	

OA10280\_ALG16\_inventaire06\_doc-num.xls: page 4/6

Nom	Date (mod)	Taille KB	Extension
essai.csv	2016-10-14	31	csv
essai.txt	2016-10-14	31	txt
legende.JPG	2016-10-14	13	jpg
<b>78-Ablis\ALG16_RFO\</b>			
ALG16_RFO_annexes\	2017-06-06		
ALG16_RFO_couverture\	2018-01-31		
ALG16_RFO_Section1\	2017-06-06		
ALG16_RFO_Section2_chap01\	2017-06-06		
ALG16_RFO_Section2_chap02\	2017-06-06		
ALG16_RFO_Section2_chap03\	2017-06-06		
ALG16_RFO_Section2_chap04\	2017-06-06		
ALG16_RFO_Section2_chap05-fin\	2018-01-31		
ALG16_RFO_Section3\	2018-01-29		
ALG16_RFO_Section 1.indd	2018-02-05	50976	indd
ALG16_RFO_Section 1.pdf	2018-02-05	21293	pdf
ALG16_RFO_Section 2_annexes.indd	2018-02-05	869212	indd
ALG16_RFO_Section 2_annexes.pdf	2018-02-05	60753	pdf
ALG16_RFO_Section 2_texte.indd	2018-02-05	892532	indd
ALG16_RFO_Section 2_texte.pdf	2018-02-05	180480	pdf
ALG16_RFO_Section 3_inventaires.indd	2018-02-05	34520	indd
ALG16_RFO_Section 3_inventaires.pdf	2018-02-05	937	pdf
<b>78-Ablis\ALG16_RFO\ALG16_RFO_annexes\</b>			
ALG16_fen11_PNT_0106_detail.jpg	2018-01-13	1436	jpg
ALG16_fenêtres_synthese.pdf	2018-02-05	45	pdf
ALG16_RFO_annexe2-1_mesures_SM.pdf	2018-01-04	77	pdf
ALG16_RFO_annexe2-2a_OSL_resultat.pdf	2018-01-04	75	pdf
ALG16_RFO_annexe2-2b_OSL_analysis_protocol.doc	2018-01-04	29	doc
ALG16_RFO_annexe2-3_bilan_strati.pdf	2018-01-04	503	pdf
ALG16_RFO_annexe3-1_fiche_observation.pdf	2016-08-20	288	pdf
<b>78-Ablis\ALG16_RFO\ALG16_RFO_couverture\</b>			
ALG16_COUVERTURE.indd	2018-02-01	17832	indd
ALG16_RFO_couverture.pdf	2018-02-01	120	pdf
logo-paleotime-blanc.ai	2018-01-31	1027	ai
<b>78-Ablis\ALG16_RFO\ALG16_RFO_Section1\</b>			
78_Ablis_cadastre_2000.pdf	2016-09-13	49	pdf
Ablis_autorisations_SRA.pdf	2016-09-12	1072	pdf
Ablis-PSTI-PALEOTIME.pdf	2016-09-13	2787	pdf
ALG16_notice_scientifique.doc	2018-01-08	22	doc
ALG16_Page de garde_texte.ai	2018-02-01	2013	ai
ALG16_Page de garde_texte.pdf	2018-02-01	66	pdf
ALG16_Thesaurus.pdf	2017-12-08	59	pdf
ALG16_Thesaurus.xls	2017-12-08	16	xls
Arrete+Cahier des charges Prescription fouille Ablis.pdf	2016-06-06	756	pdf
CIRA 19SEPT2016 3.pdf	2017-12-08	301	pdf
CIRA 19SEPT2016 4.pdf	2017-12-08	299	pdf
SRA_convocation_IDENTIFICATIONION DES ARCHITECTURES EN TERRE 1.pdf	2017-12-08	409	pdf
<b>78-Ablis\ALG16_RFO\ALG16_RFO_Section2_chap01\</b>			
ALG16_RFO_chap1_texte.doc	2017-12-19	70	doc
ALG16_RFO_fig1-01_paysage.JPG	2017-12-13	1156	jpg
ALG16_RFO_fig1-02_oro-hydro.pdf	2017-12-13	410	pdf
ALG16_RFO_fig1-03_spatial_DIAG.ai	2016-10-11	28395	ai
ALG16_RFO_fig1-03_spatial_DIAG.pdf	2016-10-11	73	pdf
ALG16_RFO_fig1-04_archeo.ai	2017-12-19	23846	ai
ALG16_RFO_fig1-04_archeo.pdf	2017-12-19	2262	pdf
ALG16_RFO_fig1-05_DCP.ai	2016-09-22	3728	ai

OA10280\_ALG16\_inventaire06\_doc-num.xls: page 5/6

Nom	Date (mod)	Taille KB	Extension
ALG16_RFO_fig1-05_planDCP.pdf	2016-09-22	484	pdf
ALG16_RFO_fig1-06_vueDCP.jpg	2016-10-11	2047	jpg
<b>78-Ablis\ALG16_RFO\ALG16_RFO_Section2_chap02\</b>			
ALG16_RFO_chap2_biblio.doc	2018-01-04	39	doc
ALG16_RFO_chap2_legendes.doc	2018-01-04	27	doc
ALG16_RFO_chap2_texte.doc	2018-01-04	168	doc
ALG16_RFO_fig2.01_geol-pedo.pdf	2017-10-19	2476	pdf
ALG16_RFO_fig2.02_aerien.pdf	2017-10-19	12961	pdf
ALG16_RFO_fig2.03_plan.pdf	2018-01-10	1947	pdf
ALG16_RFO_fig2.04_photos1.pdf	2018-01-04	7644	pdf
ALG16_RFO_fig2.05_photos2.pdf	2017-12-11	11242	pdf
ALG16_RFO_fig2.06_coupes.pdf	2017-12-08	417	pdf
ALG16_RFO_fig2.07_transect.pdf	2018-01-04	129	pdf
ALG16_RFO_fig2.08_CP4.1_prelevements.pdf	2017-12-08	1854	pdf
ALG16_RFO_fig2.09_lames_scans.pdf	2018-01-04	6747	pdf
ALG16_RFO_fig2.10_lames1.pdf	2017-12-11	15512	pdf
ALG16_RFO_fig2.11_lames2.pdf	2017-12-11	14130	pdf
ALG16_RFO_fig2.12_CP4.1_resultats.pdf	2017-12-08	550	pdf
ALG16_RFO_fig2.13_granulo_inf2mm.pdf	2017-12-08	454	pdf
ALG16_RFO_fig2.14_granulo_sup2mm.pdf	2018-01-04	12857	pdf
ALG16_RFO_fig2.15_geochimie.pdf	2017-12-18	349	pdf
ALG16_RFO_fig2.16_osl.pdf	2017-10-24	373	pdf
ALG16_RFO_fig2.17_diag.pdf	2017-12-18	13631	pdf
<b>78-Ablis\ALG16_RFO\ALG16_RFO_Section2_chap03\</b>			
ALG16_fig3-07_PNT_04928accentuée.jpg	2018-01-13	1636	jpg
ALG16_RFO_chap3_texte.doc	2018-01-13	41	doc
ALG16_RFO_fig3-01_fenestres1-3_plan.JPG	2017-12-19	46	jpg
ALG16_RFO_fig3-02.ai	2018-01-13	135533	ai
ALG16_RFO_fig3-02.pdf	2018-01-13	14681	pdf
ALG16_RFO_fig3-03_F3.pdf	2018-01-10	2204	pdf
ALG16_RFO_fig3-04_fenestres5-6_plan.JPG	2017-12-19	54	jpg
ALG16_RFO_fig3-05.ai	2018-01-13	287923	ai
ALG16_RFO_fig3-05.pdf	2018-01-13	43987	pdf
ALG16_RFO_fig3-06_fenestres7-8_plan.JPG	2017-12-20	39	jpg
ALG16_RFO_fig3-07.ai	2018-01-13	13542	ai
ALG16_RFO_fig3-07.pdf	2018-01-13	6080	pdf
OA10280_ALG16_0431_accentuee.jpg	2018-01-10	2589	jpg
<b>78-Ablis\ALG16_RFO\ALG16_RFO_Section2_chap04\</b>			
ALG16_RFO_chap04_legendes.doc	2018-01-26	19	doc
ALG16_RFO_chap04_textekm.doc	2018-01-26	110	doc
ALG16_RFO_fig4-01_ST4.ai	2018-01-25	489700	ai
ALG16_RFO_fig4-01_ST4.pdf	2018-01-25	13235	pdf
ALG16_RFO_fig4-02_ST4.pdf	2017-12-20	54	pdf
ALG16_RFO_fig4-03_ST4.jpg	2017-12-20	2326	jpg
ALG16_RFO_fig4-04_ST1-9.ai	2018-01-25	7284	ai
ALG16_RFO_fig4-04_ST1-9.pdf	2018-01-25	317	pdf
ALG16_RFO_fig4-05_Napoleon.JPG	2016-10-13	1079	jpg
ALG16_RFO_fig4-06_ST11.pdf	2018-01-26	9721	pdf
ALG16_RFO_fig4-07_ST2.jpg	2016-10-14	3401	jpg
ALG16_RFO_fig4-08_ST10.ai	2017-01-04	139157	ai
ALG16_RFO_fig4-08_ST10.pdf	2017-01-04	11064	pdf
ALG16_RFO_fig4-09_F7.jpg	2017-01-04	3377	jpg
ALG16_RFO_fig4-10_1946.JPG	2016-10-14	809	jpg
ALG16_RFO_fig4-11_mobilier_carte_alti.pdf	2016-10-14	77	pdf
ALG16_RFO_fig4-12_ceram_ep.pdf	2016-11-07	39	pdf
ALG16_RFO_fig4-13_TCA_ep.pdf	2016-11-07	37	pdf
ALG16_RFO_fig4-14_TC_types.pdf	2016-11-08	178	pdf

OA10280\_ALG16\_inventaire06\_doc-num.xls: page 6/6

Nom	Date (mod)	Taille KB	Extension
ALG16_RFO_fig4-15_TC_chrono.pdf	2018-02-05	157	pdf
ALG16_RFO_fig4-16_projection_chrono.pdf	2018-01-26	102	pdf
ALG16_RFO_fig4-18_LITH_matprem.pdf	2018-01-25	162	pdf
ALG16_RFO_fig4-19_LITH_categorie.pdf	2017-01-10	163	pdf
ALG16_RFO_fig4-20_LITH_outils.pdf	2017-01-10	175	pdf
ALG16_RFO_fig4-XX_ceram_ep.ai	2016-11-07	2195	ai
ALG16_RFO_fig4-XX_projection verticale.ai	2016-10-14	2200	ai
ALG16_RFO_fig4-XX_ST4et1_projectionV.ai	2018-01-14	2540	ai
ALG16_RFO_fig4-xx_ST10.jpg	2016-10-14	2649	jpg
ALG16_RFO_fig4-XX_ST11.ai	2018-01-26	209138	ai
ALG16_RFO_fig4-XX_TCA_ep.ai	2016-11-07	2102	ai
ALG16_RFO_pl4-01-02_ceramique.pdf	2017-01-04	6440	pdf
ALG16_RFO_pl4-03-04_outils.pdf	2017-01-03	3820	pdf
ALG16_RFO_pl4-05_polis.pdf	2017-01-03	2325	pdf
ALG16_RFO_pl4-06-07_nucleus.pdf	2017-01-03	4766	pdf
ALG16_RFO_pl4-08_debitage.pdf	2017-01-03	1757	pdf
ALG16_RFO_pl4-09-11_macrolithique.pdf	2017-01-02	23973	pdf
<b>78-Ablis\ALG16_RFO\ALG16_RFO_Section2_chap05-fin\</b>			
ALG16_RFO_bibliographie.doc	2018-01-30	67	doc
ALG16_RFO_legendes.doc	2018-01-30	31	doc
ALG16_RFO_section2_chap05_texte.doc	2018-01-30	38	doc
<b>78-Ablis\ALG16_RFO\ALG16_RFO_Section3\</b>			
OA10280_ALG16_inventaire01_UPS.pdf	2018-01-29	60	pdf
OA10280_ALG16_inventaire02_prelevements.pdf	2018-01-29	60	pdf
OA10280_ALG16_inventaire03_faits.pdf	2018-01-29	61	pdf
OA10280_ALG16_inventaire04-1_mobilier.pdf	2018-01-31	98	pdf
OA10280_ALG16_inventaire04-2_lithique.pdf	2018-01-29	113	pdf
OA10280_ALG16_inventaire04-3_ceramique.pdf	2018-01-29	139	pdf
OA10280_ALG16_inventaire04-4_metal.pdf	2018-01-29	62	pdf
OA10280_ALG16_inventaire05_documents.pdf	2018-01-30	41	pdf
OA10280_ALG16_inventaire06_doc-num.pdf	2018-02-01	55	pdf
OA10280_ALG16_inventaire07_photos.pdf	2018-01-31	117	pdf
OA10280_ALG16_inventaire08_points_topo.pdf	2018-01-30	168	pdf
OA10280_ALG16_inventaire09_caisses.pdf	2018-02-05	53	pdf

## 7 - Inventaire des photographies numériques de terrain (PNT) et de mobilier (PNM)

ALG16\_inventaire\_photos : page 1/16

Nom de fichier	Description	Mots-clés	PixelX Dimension	PixelY Dimension	Résolution	Date	Auteur	Copyright
OA10280_ALG16_PNT_0001.JPG	SDG2; coupe PT54-55	coupe	4928	3264	300	2016-08-08	équipe	Paléotime
OA10280_ALG16_PNT_0002.JPG	SDG2; coupe PT54-55	coupe	4928	3264	300	2016-08-08	équipe	Paléotime
OA10280_ALG16_PNT_0003.JPG	SDG2; coupe PT54-55	coupe	4928	3264	300	2016-08-08	équipe	Paléotime
OA10280_ALG16_PNT_0004.JPG	SDG2; coupe PT54-55	coupe	4928	3264	300	2016-08-08	équipe	Paléotime
OA10280_ALG16_PNT_0005.JPG	SDG2; coupe PT54-55	coupe	4928	3264	300	2016-08-08	équipe	Paléotime
OA10280_ALG16_PNT_0006.JPG	SDG2; coupe PT54-55	coupe	4928	3264	300	2016-08-08	équipe	Paléotime
OA10280_ALG16_PNT_0007.JPG	Décapage des deux premières tranchées Sud et centrale N-S	décapage,vue générale	4928	3264	300	2016-08-09	équipe	Paléotime
OA10280_ALG16_PNT_0008.JPG	Décapage des deux premières tranchées Sud et centrale N-S	décapage,vue générale	4928	3264	300	2016-08-09	équipe	Paléotime
OA10280_ALG16_PNT_0009.JPG	Décapage des deux premières tranchées Sud et centrale N-S	décapage,vue générale	4928	3264	300	2016-08-09	équipe	Paléotime
OA10280_ALG16_PNT_0010.JPG	Décapage des deux premières tranchées Sud et centrale N-S	décapage,vue générale	4928	3264	300	2016-08-09	équipe	Paléotime
OA10280_ALG16_PNT_0011.JPG	Tranchée centrale S-N	décapage,vue générale	4928	3264	300	2016-08-09	équipe	Paléotime
OA10280_ALG16_PNT_0012.JPG	Tranchée centrale S-N	décapage,vue générale	4928	3264	300	2016-08-09	équipe	Paléotime
OA10280_ALG16_PNT_0013.JPG	ST03	anomalie,chablis,vue générale	4928	3264	300	2016-08-10	équipe	Paléotime
OA10280_ALG16_PNT_0014.JPG	ST03	anomalie,chablis,vue générale	4928	3264	300	2016-08-10	équipe	Paléotime
OA10280_ALG16_PNT_0015.JPG	ST03	anomalie,chablis,vue générale	4928	3264	300	2016-08-10	équipe	Paléotime
OA10280_ALG16_PNT_0016.JPG	ST03	anomalie,chablis,vue générale	4928	3264	300	2016-08-10	équipe	Paléotime
OA10280_ALG16_PNT_0017.JPG	ST04 en cours de décapage	structure,vue générale	4928	3264	300	2016-08-10	équipe	Paléotime
OA10280_ALG16_PNT_0018.JPG	ST04 en cours de décapage	structure,vue générale	4928	3264	300	2016-08-10	équipe	Paléotime
OA10280_ALG16_PNT_0019.JPG	Décapage tranchée O-E, sud emprise	décapage,vue générale	4928	3264	300	2016-08-10	équipe	Paléotime
OA10280_ALG16_PNT_0020.JPG	Décapage tranchée O-E, sud emprise	décapage,vue générale	4928	3264	300	2016-08-10	équipe	Paléotime
OA10280_ALG16_PNT_0021.JPG	ST04	structure,vue générale	4928	3264	300	2016-08-10	équipe	Paléotime
OA10280_ALG16_PNT_0022.JPG	ST04	structure,vue générale	4928	3264	300	2016-08-10	équipe	Paléotime
OA10280_ALG16_PNT_0023.JPG	ST04	structure,vue générale	4928	3264	300	2016-08-10	équipe	Paléotime
OA10280_ALG16_PNT_0024.JPG	ST04	structure,vue générale	4928	3264	300	2016-08-10	équipe	Paléotime
OA10280_ALG16_PNT_0025.JPG	ST04	structure,vue générale	4928	3264	300	2016-08-10	équipe	Paléotime
OA10280_ALG16_PNT_0026.jpg	Vue panoramique vers l'est du décapage	décapage,terrain	6895	2788	72	2016-08-11	équipe	Paléotime
OA10280_ALG16_PNT_0027.JPG	Détail du niveau de décapage	terrain,vue zénithale	4928	3264	300	2016-08-12	équipe	Paléotime
OA10280_ALG16_PNT_0028.JPG	Détail du niveau de décapage	terrain,vue zénithale	4928	3264	300	2016-08-12	équipe	Paléotime
OA10280_ALG16_PNT_0029.JPG	Détail du niveau de décapage	terrain,vue zénithale	4928	3264	300	2016-08-12	équipe	Paléotime
OA10280_ALG16_PNT_0030.JPG	Détail du niveau de décapage	terrain,vue zénithale	4928	3264	300	2016-08-12	équipe	Paléotime
OA10280_ALG16_PNT_0031.JPG	Détail du niveau de décapage	terrain,vue zénithale	4928	3264	300	2016-08-12	équipe	Paléotime
OA10280_ALG16_PNT_0032.JPG	Détail du niveau de décapage	terrain,vue zénithale	4928	3264	300	2016-08-12	équipe	Paléotime
OA10280_ALG16_PNT_0033.JPG	Détail du niveau de décapage	terrain,vue zénithale	4928	3264	300	2016-08-12	équipe	Paléotime
OA10280_ALG16_PNT_0034.JPG	Niveau de décapage dans tranchée sud; vue vers ouest	terrain,vue générale	4928	3264	300	2016-08-12	équipe	Paléotime
OA10280_ALG16_PNT_0035.JPG	sondage INRAP 16.05, face sud	coupe,vue détail	4928	3264	300	2016-08-12	équipe	Paléotime
OA10280_ALG16_PNT_0036.JPG	sondage INRAP 16.05	coupe,vue détail	4928	3264	300	2016-08-12	équipe	Paléotime
OA10280_ALG16_PNT_0037.JPG	anomalie ovale PT568	anomalie	4928	3264	300	2016-08-16	équipe	Paléotime
OA10280_ALG16_PNT_0038.JPG	anomalie ovale PT568	anomalie	4928	3264	300	2016-08-16	équipe	Paléotime
OA10280_ALG16_PNT_0039.JPG	anomalie ovale PT568	anomalie,vue zénithale	4928	3264	300	2016-08-16	équipe	Paléotime
OA10280_ALG16_PNT_0040.JPG	anomalie ovale PT568	anomalie,vue zénithale	4928	3264	300	2016-08-16	équipe	Paléotime
OA10280_ALG16_PNT_0041.JPG	anomalie ovale PT568	anomalie,vue zénithale	4928	3264	300	2016-08-16	équipe	Paléotime
OA10280_ALG16_PNT_0042.JPG	anomalie ovale PT568	anomalie,vue zénithale	4928	3264	300	2016-08-16	équipe	Paléotime
OA10280_ALG16_PNT_0043.JPG	anomalie ovale PT568	anomalie,vue zénithale	4928	3264	300	2016-08-16	équipe	Paléotime
OA10280_ALG16_PNT_0044.JPG	anomalie ovale PT568	anomalie,vue zénithale	4928	3264	300	2016-08-16	équipe	Paléotime
OA10280_ALG16_PNT_0045.JPG	anomalie ovale PT568	anomalie,vue zénithale	4928	3264	300	2016-08-16	équipe	Paléotime
OA10280_ALG16_PNT_0046.JPG	anomalie ovale PT568 et mobilier archéologique	anomalie,vue générale	4928	3264	300	2016-08-16	équipe	Paléotime
OA10280_ALG16_PNT_0047.JPG	anomalie ovale PT568 et mobilier archéologique	anomalie,vue générale	4928	3264	300	2016-08-16	équipe	Paléotime
OA10280_ALG16_PNT_0048.JPG	anomalie ovale PT568	anomalie,vue zénithale	4928	3264	300	2016-08-16	équipe	Paléotime
OA10280_ALG16_PNT_0049.JPG	anomalie ovale PT568	anomalie,vue zénithale	4928	3264	300	2016-08-16	équipe	Paléotime
OA10280_ALG16_PNT_0050.JPG	anomalie ovale PT568	anomalie,vue zénithale	4928	3264	300	2016-08-16	équipe	Paléotime
OA10280_ALG16_PNT_0051.JPG	anomalie ovale PT568	anomalie,vue zénithale	4928	3264	300	2016-08-16	équipe	Paléotime
OA10280_ALG16_PNT_0052.JPG	anomalie ovale PT568	anomalie,vue zénithale	4928	3264	300	2016-08-16	équipe	Paléotime
OA10280_ALG16_PNT_0053.JPG	anomalie ovale PT568	anomalie,vue zénithale	4928	3264	300	2016-08-16	équipe	Paléotime

Section 3 – Inventaires techniques et scientifiques

ALG16\_inventaire\_photos : page 2/16

Nom de fichier	Description	Mots-clés	PixelX Dimension	PixelY Dimension	Résolution	Date	Auteur	Copyright
OA10280_ALG16_PNT_0054.JPG	anomalie ovale PT568	anomalie,vue zénithale	4928	3264	300	2016-08-16	équipe	Paléotime
OA10280_ALG16_PNT_0055.JPG	anomalie ovale PT568	anomalie,vue zénithale	4928	3264	300	2016-08-16	équipe	Paléotime
OA10280_ALG16_PNT_0056.JPG	anomalie quadrangulaire PT576	anomalie	3680	3248	300	2016-08-16	équipe	Paléotime
OA10280_ALG16_PNT_0057.JPG	anomalie quadrangulaire PT576	anomalie	3856	3248	300	2016-08-16	équipe	Paléotime
OA10280_ALG16_PNT_0058.JPG	anomalie quadrangulaire PT576	anomalie	4424	3024	300	2016-08-16	équipe	Paléotime
OA10280_ALG16_PNT_0059.JPG	anomalie quadrangulaire PT576	anomalie	4208	3008	300	2016-08-16	équipe	Paléotime
OA10280_ALG16_PNT_0060.JPG	anomalie quadrangulaire PT576	anomalie	4152	2984	300	2016-08-16	équipe	Paléotime
OA10280_ALG16_PNT_0061.JPG	anomalie quadrangulaire PT576	anomalie	4928	3264	300	2016-08-16	équipe	Paléotime
OA10280_ALG16_PNT_0062.JPG	anomalie quadrangulaire PT576	anomalie	3296	2928	300	2016-08-16	équipe	Paléotime
OA10280_ALG16_PNT_0063.JPG	anomalie quadrangulaire PT576	anomalie	3720	3216	300	2016-08-16	équipe	Paléotime
OA10280_ALG16_PNT_0064.JPG	Mise en place protocole d'enregistrement des anomalies claires	méthodologie,vue générale	4928	3264	300	2016-08-16	équipe	Paléotime
OA10280_ALG16_PNT_0065.JPG	Mise en place protocole d'enregistrement des anomalies claires	méthodologie,vue générale	4928	3264	300	2016-08-16	équipe	Paléotime
OA10280_ALG16_PNT_0066.JPG	anomalie PT568 et tesson poterie vernissée verte; fenêtre 07	anomalie	4928	3264	300	2016-08-16	équipe	Paléotime
OA10280_ALG16_PNT_0067.JPG	anomalie PT568 et tesson poterie vernissée verte; fenêtre 07	anomalie	4928	3264	300	2016-08-16	équipe	Paléotime
OA10280_ALG16_PNT_0068.JPG	anomalie PT568 et tesson poterie vernissée verte; fenêtre 07	anomalie	4928	3264	300	2016-08-16	équipe	Paléotime
OA10280_ALG16_PNT_0069.JPG	anomalie PT568 et tesson poterie vernissée verte; fenêtre 07	anomalie	4928	3264	300	2016-08-16	équipe	Paléotime
OA10280_ALG16_PNT_0070.JPG	anomalie PT568 et tesson poterie vernissée verte; fenêtre 07	anomalie	4928	3264	300	2016-08-16	équipe	Paléotime
OA10280_ALG16_PNT_0071.JPG	anomalie PT568 et tesson poterie vernissée verte	anomalie	4928	3264	300	2016-08-16	équipe	Paléotime
OA10280_ALG16_PNT_0072.JPG	anomalie PT568 et tesson poterie vernissée verte	anomalie	4928	3264	300	2016-08-16	équipe	Paléotime
OA10280_ALG16_PNT_0073.JPG	anomalie PT568 et tesson poterie vernissée verte	anomalie,céramique,vue détail	4928	3264	300	2016-08-16	équipe	Paléotime
OA10280_ALG16_PNT_0074.JPG	anomalie PT568 et tesson poterie vernissée verte	anomalie,céramique,vue détail	4928	3264	300	2016-08-16	équipe	Paléotime
OA10280_ALG16_PNT_0075.JPG	anomalie PT568 et tesson poterie vernissée verte	anomalie,céramique,vue détail	4928	3264	300	2016-08-16	équipe	Paléotime
OA10280_ALG16_PNT_0076.JPG	CP 2.2 ouverture	fouille en cours	4928	3264	300	2016-08-16	équipe	Paléotime
OA10280_ALG16_PNT_0077.JPG	CP 2.2, vue vers NO	coupe,vue générale	4928	3264	300	2016-08-16	équipe	Paléotime
OA10280_ALG16_PNT_0078.JPG	CP 2.2, vue vers N	coupe,vue générale	4928	3264	300	2016-08-16	équipe	Paléotime
OA10280_ALG16_PNT_0079.JPG	CP 2.2	coupe,vue générale	4928	3264	300	2016-08-16	équipe	Paléotime
OA10280_ALG16_PNT_0080.JPG	CP 2.2	coupe,vue générale	4928	3264	300	2016-08-16	équipe	Paléotime
OA10280_ALG16_PNT_0081.JPG	CP 2.2	coupe,vue détail	4928	3264	300	2016-08-16	équipe	Paléotime
OA10280_ALG16_PNT_0082.JPG	CP 2.2	coupe,vue détail	4928	3264	300	2016-08-16	équipe	Paléotime
OA10280_ALG16_PNT_0083.JPG	CP 2.2	coupe,vue détail	4928	3264	300	2016-08-16	équipe	Paléotime
OA10280_ALG16_PNT_0084.JPG	CP 2.2	coupe,vue détail	4928	3264	300	2016-08-16	équipe	Paléotime
OA10280_ALG16_PNT_0085.jpg	Fouille mécanique quadrant NO de ST04	fouille en cours,méthodologie,vue générale	3264	2448	72	2016-08-16	équipe	Paléotime
OA10280_ALG16_PNT_0086.jpg	Fouille mécanique quadrant NO de ST04, apparition du niveau caillouteux	fouille en cours	3264	2448	72	2016-08-16	équipe	Paléotime
OA10280_ALG16_PNT_0087.jpg	Fouille mécanique quadrant NO de ST04, apparition du niveau caillouteux	fouille en cours	3264	2448	72	2016-08-16	équipe	Paléotime
OA10280_ALG16_PNT_0088.jpg	Fouille mécanique quadrant NO de ST04, niveau caillouteux	vue générale	3264	2448	72	2016-08-16	équipe	Paléotime
OA10280_ALG16_PNT_0089.JPG	ST04; fouille mécanique et log du quadrant NO; -50 cm	structure	4928	3264	300	2016-08-16	équipe	Paléotime
OA10280_ALG16_PNT_0090.JPG	ST04; fouille mécanique et log du quadrant NO; -50 cm	structure	4928	3264	300	2016-08-16	équipe	Paléotime
OA10280_ALG16_PNT_0091.JPG	ST04; fouille mécanique et log du quadrant NO; -100 cm	structure	4928	3264	300	2016-08-16	équipe	Paléotime
OA10280_ALG16_PNT_0092.JPG	ST04; fouille mécanique et log du quadrant NO; -100 cm	structure	4928	3264	300	2016-08-16	équipe	Paléotime
OA10280_ALG16_PNT_0093.JPG	ST04; fouille mécanique et log du quadrant NO; -100 cm	structure	4928	3264	300	2016-08-16	équipe	Paléotime
OA10280_ALG16_PNT_0094.JPG	ST04; fouille mécanique et log du quadrant NO; -150 cm	fouille en cours,vue zénithale	4928	3264	300	2016-08-16	équipe	Paléotime

ALG16\_inventaire\_photos : page 3/16

Nom de fichier	Description	Mots-clés	PixelX Dimension	PixelY Dimension	Résolution	Date	Auteur	Copyright
OA10280_ALG16_PNT_0095.JPG	ST04; fouille mécanique et log du quadrant NO; -150 cm	fouille en cours,vue zénithale	4928	3264	300	2016-08-16	équipe	Paléotime
OA10280_ALG16_PNT_0096.JPG	ST04; fouille mécanique et log du quadrant NO; -180 cm; sables bariolés	vue zénithale	4928	3264	300	2016-08-16	équipe	Paléotime
OA10280_ALG16_PNT_0097.JPG	CP 2.2; détail des UPS sommitales	coupe	4928	3264	300	2016-08-17	équipe	Paléotime
OA10280_ALG16_PNT_0098.JPG	CP 2.2; détail des UPS sommitales	coupe	4928	3264	300	2016-08-17	équipe	Paléotime
OA10280_ALG16_PNT_0099.JPG	CP 2.2; détail des UPS sommitales	coupe	4928	3264	300	2016-08-17	équipe	Paléotime
OA10280_ALG16_PNT_0100.JPG	CP 2.2; détail des UPS sommitales	coupe	4928	3264	300	2016-08-17	équipe	Paléotime
OA10280_ALG16_PNT_0101.JPG	Fenêtre 11 (PT662-665)	anomalie,vue zénithale	4928	3264	300	2016-08-17	équipe	Paléotime
OA10280_ALG16_PNT_0102.JPG	Fenêtre 11 (PT662-665)	anomalie,vue zénithale	4928	3264	300	2016-08-17	équipe	Paléotime
OA10280_ALG16_PNT_0103.JPG	Fenêtre 11 (PT662-665)	anomalie,vue zénithale	4928	3264	300	2016-08-17	équipe	Paléotime
OA10280_ALG16_PNT_0104.JPG	Fenêtre 11 (PT662-665)	anomalie,vue zénithale	2464	1632	300	2016-08-17	équipe	Paléotime
OA10280_ALG16_PNT_0105.JPG	Fenêtre 11 (PT662-665)	anomalie,vue zénithale	4928	3264	300	2016-08-17	équipe	Paléotime
OA10280_ALG16_PNT_0106.JPG	Fenêtre 11 (PT662-665)	anomalie,vue zénithale	4928	3264	300	2016-08-17	équipe	Paléotime
OA10280_ALG16_PNT_0107.JPG	CP 1.1	coupe,vue générale	4928	3264	300	2016-08-17	équipe	Paléotime
OA10280_ALG16_PNT_0108.JPG	CP 1.1	vue détail	4928	3264	300	2016-08-17	équipe	Paléotime
OA10280_ALG16_PNT_0109.JPG	CP 1.1	vue détail	4928	3264	300	2016-08-17	équipe	Paléotime
OA10280_ALG16_PNT_0110.JPG	CP 1.1	vue détail	4928	3264	300	2016-08-17	équipe	Paléotime
OA10280_ALG16_PNT_0111.JPG	CP 1.1	vue détail	4928	3264	300	2016-08-17	équipe	Paléotime
OA10280_ALG16_PNT_0112.JPG	CP 1.1	vue détail	4928	3264	300	2016-08-17	équipe	Paléotime
OA10280_ALG16_PNT_0113.JPG	CP 1.1	vue détail	4928	3264	300	2016-08-17	équipe	Paléotime
OA10280_ALG16_PNT_0114.JPG	CP 1.1	vue détail	4928	3264	300	2016-08-17	équipe	Paléotime
OA10280_ALG16_PNT_0115.JPG	CP 1.1	vue détail	4928	3264	300	2016-08-17	équipe	Paléotime
OA10280_ALG16_PNT_0116.JPG	CP 1.1	vue détail	4928	3264	300	2016-08-17	équipe	Paléotime
OA10280_ALG16_PNT_0117.JPG	CP 1.1	vue détail	4928	3264	300	2016-08-17	équipe	Paléotime
OA10280_ALG16_PNT_0118.JPG	CP 1.1	vue détail	4928	3264	300	2016-08-17	équipe	Paléotime
OA10280_ALG16_PNT_0119.JPG	CP 1.1	vue détail	4928	3264	300	2016-08-17	équipe	Paléotime
OA10280_ALG16_PNT_0120.JPG	CP 1.1	vue détail	4928	3264	300	2016-08-17	équipe	Paléotime
OA10280_ALG16_PNT_0121.JPG	CP 1.1	vue détail	4928	3264	300	2016-08-17	équipe	Paléotime
OA10280_ALG16_PNT_0122.JPG	CP 1.1	vue détail	4928	3264	300	2016-08-17	équipe	Paléotime
OA10280_ALG16_PNT_0123.JPG	CP 1.1	vue détail	4928	3264	300	2016-08-17	équipe	Paléotime
OA10280_ALG16_PNT_0124.JPG	CP 1.1	vue détail	4928	3264	300	2016-08-17	équipe	Paléotime
OA10280_ALG16_PNT_0125.JPG	CP 1.1	vue détail	4928	3264	300	2016-08-17	équipe	Paléotime
OA10280_ALG16_PNT_0126.JPG	CP 1.1	vue détail	4928	3264	300	2016-08-17	équipe	Paléotime
OA10280_ALG16_PNT_0127.JPG	CP 1.1 et fenêtre 05	vue générale	4928	3264	300	2016-08-17	équipe	Paléotime
OA10280_ALG16_PNT_0128.JPG	CP 1.1 et fenêtre 05 annexe	vue générale	4928	3264	300	2016-08-17	équipe	Paléotime
OA10280_ALG16_PNT_0129.JPG	Fenêtre 05 (PT688-693); détail terrier	vue zénithale	3285	2176	400	2016-08-17	équipe	Paléotime
OA10280_ALG16_PNT_0130.JPG	Fenêtre 05 (PT688-693); détail terrier	vue zénithale	4928	3264	300	2016-08-17	équipe	Paléotime
OA10280_ALG16_PNT_0131.JPG	Fenêtre 05 (PT688-693); détail terrier	vue générale	2513	1665	300	2016-08-17	équipe	Paléotime
OA10280_ALG16_PNT_0132.DNG	Coupe CP 1.1	coupe,vue détail	4928	3264		2016-08-17	équipe	Paléotime
OA10280_ALG16_PNT_0133.DNG	Coupe CP 1.1	coupe,vue détail	4928	3264		2016-08-17	équipe	Paléotime
OA10280_ALG16_PNT_0134.DNG	Coupe CP 1.1	coupe,vue détail	4928	3264		2016-08-17	équipe	Paléotime
OA10280_ALG16_PNT_0135.DNG	Coupe CP 1.1	coupe,vue détail	4928	3264		2016-08-17	équipe	Paléotime
OA10280_ALG16_PNT_0136.DNG	Coupe CP 1.1	coupe,vue détail	4928	3264		2016-08-17	équipe	Paléotime
OA10280_ALG16_PNT_0137.JPG	Coupe CP 1.1	coupe,vue détail	4928	3264	300	2016-08-17	équipe	Paléotime
OA10280_ALG16_PNT_0138.JPG	Coupe CP 1.1	coupe,vue détail	4928	3264	300	2016-08-17	équipe	Paléotime
OA10280_ALG16_PNT_0139.JPG	Coupe CP 1.1	coupe,vue détail	4928	3264	300	2016-08-17	équipe	Paléotime
OA10280_ALG16_PNT_0140.JPG	Coupe CP 1.1	coupe,vue détail	4928	3264	300	2016-08-17	équipe	Paléotime
OA10280_ALG16_PNT_0141.JPG	Coupe CP 1.1	coupe,vue détail	4928	3264	300	2016-08-17	équipe	Paléotime
OA10280_ALG16_PNT_0142.JPG	Coupe CP 1.1	coupe,vue détail	4928	3264	300	2016-08-17	équipe	Paléotime
OA10280_ALG16_PNT_0143.JPG	Coupe CP 1.1	coupe,vue détail	4928	3264	300	2016-08-17	équipe	Paléotime
OA10280_ALG16_PNT_0144.JPG	Coupe CP 1.1	coupe,vue détail	4928	3264	300	2016-08-17	équipe	Paléotime
OA10280_ALG16_PNT_0145.JPG	Coupe CP 1.1	coupe,vue détail	4928	3264	300	2016-08-17	équipe	Paléotime
OA10280_ALG16_PNT_0146.JPG	Coupe CP 1.1	coupe,vue détail	4928	3264	300	2016-08-17	équipe	Paléotime
OA10280_ALG16_PNT_0147.JPG	Coupe CP 1.1	coupe,vue détail	4928	3264	300	2016-08-17	équipe	Paléotime
OA10280_ALG16_PNT_0148.JPG	Coupe CP 1.1	coupe,vue détail	4928	3264	300	2016-08-17	équipe	Paléotime
OA10280_ALG16_PNT_0149.JPG	Coupe CP 1.1	coupe,vue détail	4928	3264	300	2016-08-17	équipe	Paléotime
OA10280_ALG16_PNT_0150.JPG	Coupe CP 1.1	coupe,vue détail	4928	3264	300	2016-08-17	équipe	Paléotime

Section 3 – Inventaires techniques et scientifiques

ALG16\_inventaire\_photos : page 4/16

Nom de fichier	Description	Mots-clés	PixelX Dimension	PixelY Dimension	Résolution	Date	Auteur	Copyright
OA10280_ALG16_PNT_0151.JPG	Coupe CP 1.1	coupe,vue détail	4928	3264	300	2016-08-17	équipe	Paléotime
OA10280_ALG16_PNT_0152.JPG	Coupe CP 1.1	coupe,vue détail	4928	3264	300	2016-08-17	équipe	Paléotime
OA10280_ALG16_PNT_0153.JPG	Coupe CP 1.1	coupe,vue détail	4928	3264	300	2016-08-17	équipe	Paléotime
OA10280_ALG16_PNT_0154.JPG	Coupe CP 1.1	coupe,vue détail	4928	3264	300	2016-08-17	équipe	Paléotime
OA10280_ALG16_PNT_0155.JPG	Coupe CP 1.1	coupe,vue générale	4928	3264	300	2016-08-17	équipe	Paléotime
OA10280_ALG16_PNT_0156.JPG	Fenêtre 08 annexe à CP 2.2; PT728-731	vue générale	4928	3264	300	2016-08-17	équipe	Paléotime
OA10280_ALG16_PNT_0157.JPG	Fenêtre 08 annexe à CP 2.2; PT728-731	vue zénithale	4928	3264	300	2016-08-17	équipe	Paléotime
OA10280_ALG16_PNT_0158.JPG	Fenêtre 08 annexe à CP 2.2; PT728-731	vue zénithale	4928	3264	300	2016-08-17	équipe	Paléotime
OA10280_ALG16_PNT_0159.JPG	Fenêtre 08 annexe à CP 2.2; PT728-731	vue zénithale	4928	3264	300	2016-08-17	équipe	Paléotime
OA10280_ALG16_PNT_0160.JPG	Fenêtre 08 annexe à CP 2.2; PT728-731	vue zénithale	4928	3264	300	2016-08-17	équipe	Paléotime
OA10280_ALG16_PNT_0161.JPG	Fenêtre 08 annexe à CP 2.2; PT728-731	vue zénithale	4928	3264	300	2016-08-17	équipe	Paléotime
OA10280_ALG16_PNT_0162.JPG	CP 1.1 avec tracé	coupe,vue générale	4928	3264	300	2016-08-17	équipe	Paléotime
OA10280_ALG16_PNT_0163.JPG	CP 1.1 avec tracé	coupe,vue générale	4928	3264	300	2016-08-17	équipe	Paléotime
OA10280_ALG16_PNT_0164.JPG	CP 1.1 avec tracé	coupe,vue générale	4928	3264	300	2016-08-17	équipe	Paléotime
OA10280_ALG16_PNT_0165.JPG	CP 1.1 avec tracé	coupe,vue générale	4928	3264	300	2016-08-17	équipe	Paléotime
OA10280_ALG16_PNT_0166.JPG	Emprise en cours de décapage; vue vers E	décapage,terrain,vue générale	4928	3264	300	2016-08-17	équipe	Paléotime
OA10280_ALG16_PNT_0167.JPG	Emprise en cours de décapage; vue vers E	décapage,terrain,vue générale	4928	3264	300	2016-08-17	équipe	Paléotime
OA10280_ALG16_PNT_0168.JPG	Emprise en cours de décapage; vue vers SE; berme sud	décapage,terrain,vue générale	4928	3265	600	2016-08-17	équipe	Paléotime
OA10280_ALG16_PNT_0169.JPG	Ouverture du sondage D du diagnostic	décapage,terrain,vue générale	4928	3264	300	2016-08-17	équipe	Paléotime
OA10280_ALG16_PNT_0170.JPG	Ouverture du sondage D du diagnostic	décapage,terrain,vue générale	4928	3264	300	2016-08-17	équipe	Paléotime
OA10280_ALG16_PNT_0171.JPG	Fenêtre 08 annexe à CP 2.2; fouille anomalie	anomalie,vue zénithale	4928	3264	300	2016-08-17	équipe	Paléotime
OA10280_ALG16_PNT_0172.JPG	Fenêtre 08 annexe à CP 2.2; fouille anomalie	anomalie,vue zénithale	3943	2610	600	2016-08-17	équipe	Paléotime
OA10280_ALG16_PNT_0173.JPG	Fenêtre 08 annexe à CP 2.2; fouille anomalie	anomalie,vue zénithale	4928	3264	300	2016-08-17	équipe	Paléotime
OA10280_ALG16_PNT_0174.JPG	Fenêtre 08 annexe à CP 2.2; fouille anomalie	anomalie,vue zénithale	4928	3264	300	2016-08-17	équipe	Paléotime
OA10280_ALG16_PNT_0175.jpg	Fenêtre 08 annexe à CP 2.2; fouille anomalie	anomalie,vue générale	3264	2448	72	2016-08-17	équipe	Paléotime
OA10280_ALG16_PNT_0176.JPG	Fenêtre 08 annexe à CP 2.2; fouille anomalie	anomalie,vue générale	4928	3264	300	2016-08-17	équipe	Paléotime
OA10280_ALG16_PNT_0177.jpg	Fenêtre 08 annexe à CP 2.2; fouille anomalie	anomalie,vue générale	3264	2448	72	2016-08-17	équipe	Paléotime
OA10280_ALG16_PNT_0178.JPG	Fenêtre 08 annexe à CP 2.2; fouille anomalie	anomalie,vue générale	4928	3264	300	2016-08-17	équipe	Paléotime
OA10280_ALG16_PNT_0179.JPG	Fenêtre 08 annexe à CP 2.2; fouille anomalie	anomalie,vue générale	3285	2176	400	2016-08-17	équipe	Paléotime
OA10280_ALG16_PNT_0180.JPG	CP 2.2 en phase de dessiccation	coupe,vue générale	4928	3264	300	2016-08-17	équipe	Paléotime
OA10280_ALG16_PNT_0181.JPG	CP 2.2 en phase de dessiccation	coupe,vue générale	4928	3264	300	2016-08-17	équipe	Paléotime
OA10280_ALG16_PNT_0182.JPG	CP 3.1	coupe,vue générale	4928	3264	300	2016-08-17	équipe	Paléotime
OA10280_ALG16_PNT_0183.JPG	CP 3.1	coupe,vue générale	4928	3264	300	2016-08-17	équipe	Paléotime
OA10280_ALG16_PNT_0184.JPG	CP 3.1	coupe,vue générale	4928	3264	300	2016-08-17	équipe	Paléotime
OA10280_ALG16_PNT_0185.JPG	CP 3.1	coupe,vue générale	4928	3264	300	2016-08-17	équipe	Paléotime
OA10280_ALG16_PNT_0186.JPG	Fenêtre 04 ( PT732-737)	anomalie,vue zénithale	4928	3265	600	2016-08-17	équipe	Paléotime
OA10280_ALG16_PNT_0187.JPG	Fenêtre 04 ( PT732-737)	anomalie,vue zénithale	4928	3264	300	2016-08-17	équipe	Paléotime
OA10280_ALG16_PNT_0188.JPG	Fenêtre 04 ( PT732-737)	anomalie,vue zénithale	4928	3264	300	2016-08-17	équipe	Paléotime
OA10280_ALG16_PNT_0189.JPG	Fenêtre 04 ( PT732-737)	anomalie,vue zénithale	4928	3264	300	2016-08-17	équipe	Paléotime
OA10280_ALG16_PNT_0190.JPG	Fenêtre 04 ( PT732-737)	anomalie,vue zénithale	4928	3264	300	2016-08-17	équipe	Paléotime
OA10280_ALG16_PNT_0191.JPG	Fenêtre 04 ( PT732-737)	anomalie,vue zénithale	4928	3264	300	2016-08-17	équipe	Paléotime
OA10280_ALG16_PNT_0192.JPG	CP 2.1	coupe,vue générale	4928	3264	300	2016-08-17	équipe	Paléotime
OA10280_ALG16_PNT_0193.JPG	CP 2.1	coupe,vue générale	4928	3264	300	2016-08-17	équipe	Paléotime
OA10280_ALG16_PNT_0194.JPG	CP 2.1	coupe,vue générale	4928	3264	300	2016-08-17	équipe	Paléotime
OA10280_ALG16_PNT_0195.JPG	CP 2.1	coupe,vue détail	4928	3264	300	2016-08-17	équipe	Paléotime
OA10280_ALG16_PNT_0196.JPG	CP 2.1	coupe,vue détail	4928	3264	300	2016-08-17	équipe	Paléotime

ALG16\_inventaire\_photos : page 5/16

Nom de fichier	Description	Mots-clés	PixelX Dimension	PixelY Dimension	Résolution	Date	Auteur	Copyright
OA10280_ALG16_PNT_0197.JPG	CP 2.1	coupe,vue détail	4928	3264	300	2016-08-17	équipe	Paléotime
OA10280_ALG16_PNT_0198.JPG	CP 2.1	coupe,vue détail	4928	3264	300	2016-08-17	équipe	Paléotime
OA10280_ALG16_PNT_0199.JPG	CP 2.1	coupe,vue détail	4928	3264	300	2016-08-17	équipe	Paléotime
OA10280_ALG16_PNT_0200.JPG	CP 2.1	coupe,vue détail	4928	3264	300	2016-08-17	équipe	Paléotime
OA10280_ALG16_PNT_0201.JPG	CP 2.1	coupe,vue détail	4928	3264	300	2016-08-17	équipe	Paléotime
OA10280_ALG16_PNT_0202.JPG	CP 2.1	coupe,vue détail	4928	3264	300	2016-08-17	équipe	Paléotime
OA10280_ALG16_PNT_0203.JPG	CP 3.2	coupe,vue générale	4928	3264	300	2016-08-17	équipe	Paléotime
OA10280_ALG16_PNT_0204.JPG	CP 3.2	coupe,vue générale	4928	3264	300	2016-08-17	équipe	Paléotime
OA10280_ALG16_PNT_0205.JPG	CP 3.2	vue détail	4928	3264	300	2016-08-17	équipe	Paléotime
OA10280_ALG16_PNT_0206.JPG	CP 3.2	vue détail	4928	3264	300	2016-08-17	équipe	Paléotime
OA10280_ALG16_PNT_0207.JPG		coupe,vue détail	4928	3264	300	2016-08-17	équipe	Paléotime
OA10280_ALG16_PNT_0208.JPG	CP 3.2	coupe,vue détail	4928	3264	300	2016-08-17	équipe	Paléotime
OA10280_ALG16_PNT_0209.JPG	CP 3.2	coupe,vue détail	4928	3264	300	2016-08-17	équipe	Paléotime
OA10280_ALG16_PNT_0210.JPG	CP 3.2	coupe,vue détail	4928	3264	300	2016-08-17	équipe	Paléotime
OA10280_ALG16_PNT_0211.JPG	CP 3.2	coupe,vue détail	4928	3264	300	2016-08-17	équipe	Paléotime
OA10280_ALG16_PNT_0212.JPG	CP 3.2	coupe,vue détail	4928	3264	300	2016-08-17	équipe	Paléotime
OA10280_ALG16_PNT_0213.JPG	CP 3.2	coupe,vue détail	4928	3264	300	2016-08-17	équipe	Paléotime
OA10280_ALG16_PNT_0214.JPG	CP 3.2	coupe,vue détail	4928	3264	300	2016-08-17	équipe	Paléotime
OA10280_ALG16_PNT_0215.JPG	CP 3.2	coupe,vue détail	4928	3264	300	2016-08-17	équipe	Paléotime
OA10280_ALG16_PNT_0216.JPG	CP 3.2	coupe,vue détail	4928	3264	300	2016-08-17	équipe	Paléotime
OA10280_ALG16_PNT_0217.JPG	CP 3.2	coupe,vue détail	4928	3264	300	2016-08-17	équipe	Paléotime
OA10280_ALG16_PNT_0218.JPG	CP 3.2	coupe,vue détail	4928	3264	300	2016-08-17	équipe	Paléotime
OA10280_ALG16_PNT_0219.JPG	CP 3.2	coupe,vue détail	4928	3264	300	2016-08-17	équipe	Paléotime
OA10280_ALG16_PNT_0220.JPG	Vue generale de l'emprise en cours de décapage	décapage,terrain,vue générale	4928	3264	300	2016-08-18	équipe	Paléotime
OA10280_ALG16_PNT_0221.JPG	Vue generale de l'emprise en cours de décapage	décapage,terrain,vue générale	4928	3264	300	2016-08-18	équipe	Paléotime
OA10280_ALG16_PNT_0222.JPG	Vue generale de l'emprise en cours de décapage	décapage,terrain,vue générale	4928	3264	300	2016-08-18	équipe	Paléotime
OA10280_ALG16_PNT_0223.JPG	CP 2.1 et anomalie quadrangulaire proche ST10	anomalie,méthodologie,vue générale	4928	3264	300	2016-08-18	équipe	Paléotime
OA10280_ALG16_PNT_0224.JPG	ST10 avant fouille	vue zénithale	4928	3264	300	2016-08-18	équipe	Paléotime
OA10280_ALG16_PNT_0225.JPG	ST10 avant fouille	vue zénithale	4928	3264	300	2016-08-18	équipe	Paléotime
OA10280_ALG16_PNT_0226.JPG	ST10 avant fouille dans tranchée de diag	vue générale	4928	3264	300	2016-08-18	équipe	Paléotime
OA10280_ALG16_PNT_0227.JPG	CP 2.1	coupe,vue générale	4928	3264	300	2016-08-18	équipe	Paléotime
OA10280_ALG16_PNT_0228.JPG	CP 2.1	coupe,vue générale	4928	3264	300	2016-08-18	équipe	Paléotime
OA10280_ALG16_PNT_0229.JPG	CP 2.1	coupe,vue détail	4928	3264	300	2016-08-18	équipe	Paléotime
OA10280_ALG16_PNT_0230.JPG	CP 2.1	coupe,vue détail	4928	3264	300	2016-08-18	équipe	Paléotime
OA10280_ALG16_PNT_0231.JPG	CP 2.1	coupe,vue détail	4928	3264	300	2016-08-18	équipe	Paléotime
OA10280_ALG16_PNT_0232.JPG	CP 2.1	coupe,vue détail	4928	3264	300	2016-08-18	équipe	Paléotime
OA10280_ALG16_PNT_0233.JPG		anomalie,vue zénithale	4928	3264	300	2016-08-18	équipe	Paléotime
OA10280_ALG16_PNT_0234.JPG	ST10 avant fouille; fenêtre	anomalie,vue zénithale	4928	3264	300	2016-08-18	équipe	Paléotime
OA10280_ALG16_PNT_0235.JPG	ST10 avant fouille; fenêtre	anomalie,vue zénithale	4928	3264	300	2016-08-18	équipe	Paléotime
OA10280_ALG16_PNT_0236.JPG	ST10 avant fouille; fenêtre	anomalie,vue zénithale	4928	3264	300	2016-08-18	équipe	Paléotime
OA10280_ALG16_PNT_0237.JPG	CP 3.2	coupe,vue générale	4928	3264	300	2016-08-18	équipe	Paléotime
OA10280_ALG16_PNT_0238.JPG	CP 3.2	coupe,vue détail	4928	3264	300	2016-08-18	équipe	Paléotime
OA10280_ALG16_PNT_0239.JPG	CP 3.2	coupe,vue détail	4928	3264	300	2016-08-18	équipe	Paléotime
OA10280_ALG16_PNT_0240.JPG	CP 3.2	coupe,vue détail	4928	3264	300	2016-08-18	équipe	Paléotime
OA10280_ALG16_PNT_0241.JPG	CP 3.2	coupe,vue détail	4928	3264	300	2016-08-18	équipe	Paléotime
OA10280_ALG16_PNT_0242.JPG	CP 3.2	coupe,vue détail	4928	3264	300	2016-08-18	équipe	Paléotime
OA10280_ALG16_PNT_0243.JPG	CP 3.2 après pluie	coupe,vue générale	4928	3264	300	2016-08-18	équipe	Paléotime
OA10280_ALG16_PNT_0244.JPG	Vue vers E du transect Ouest-Est	terrain,vue générale	4928	3264	300	2016-08-18	équipe	Paléotime
OA10280_ALG16_PNT_0245.JPG	ST10 tracé en plan	anomalie,vue zénithale	4928	3264	300	2016-08-18	équipe	Paléotime
OA10280_ALG16_PNT_0246.JPG	ST10 tracé en plan	anomalie,vue zénithale	4928	3264	300	2016-08-18	équipe	Paléotime
OA10280_ALG16_PNT_0247.JPG	ST10 tracé en plan	anomalie,vue zénithale	4928	3264	300	2016-08-18	équipe	Paléotime
OA10280_ALG16_PNT_0248.JPG	Fenêtre 01 (PT807-812)	anomalie,vue générale	4928	3264	300	2016-08-18	équipe	Paléotime
OA10280_ALG16_PNT_0249.JPG	Fenêtre 01 (PT807-812)	anomalie,vue générale	4928	3264	300	2016-08-18	équipe	Paléotime
OA10280_ALG16_PNT_0250.JPG	Fenêtre 01 (PT807-812)	anomalie,vue générale	4928	3264	300	2016-08-18	équipe	Paléotime
OA10280_ALG16_PNT_0251.JPG	Fenêtre 01 (PT807-812)	anomalie,vue générale	4928	3264	300	2016-08-18	équipe	Paléotime
OA10280_ALG16_PNT_0252.JPG	Fenêtre 01 (PT807-812)	anomalie,vue générale	4928	3264	300	2016-08-18	équipe	Paléotime

Section 3 – Inventaires techniques et scientifiques

ALG16\_inventaire\_photos : page 6/16

Nom de fichier	Description	Mots-clés	PixelX Dimension	PixelY Dimension	Résolution	Date	Auteur	Copyright
OA10280_ALG16_PNT_0253.JPG	Fenêtre 01 ( PT807-812)	anomalie,vue générale	4928	3264	300	2016-08-18	équipe	Paléotime
OA10280_ALG16_PNT_0254.JPG	Fenêtre 01 ( PT807-812)	anomalie,vue générale	4928	3264	300	2016-08-18	équipe	Paléotime
OA10280_ALG16_PNT_0255.JPG	ST10; quadrant SE	vue générale	4928	3264	300	2016-08-18	équipe	Paléotime
OA10280_ALG16_PNT_0256.JPG	ST10; quadrant SE coupe N	anomalie,coupe	4928	3264	300	2016-08-18	équipe	Paléotime
OA10280_ALG16_PNT_0257.JPG	ST10; quadrant SE coupe N	anomalie,coupe	4928	3264	300	2016-08-18	équipe	Paléotime
OA10280_ALG16_PNT_0258.JPG	ST10; quadrant SE coupe N	anomalie,coupe	4928	3264	300	2016-08-18	équipe	Paléotime
OA10280_ALG16_PNT_0259.JPG	ST10; quadrant SE coupe N	anomalie,coupe	4928	3264	300	2016-08-18	équipe	Paléotime
OA10280_ALG16_PNT_0260.JPG	ST10; quadrant SE coupe O	anomalie,coupe	4928	3264	300	2016-08-18	équipe	Paléotime
OA10280_ALG16_PNT_0261.JPG	ST10; quadrant SE coupe O	anomalie,coupe	4928	3264	300	2016-08-18	équipe	Paléotime
OA10280_ALG16_PNT_0262.JPG	ST10; quadrant SE coupe O	anomalie,coupe	4928	3264	300	2016-08-18	équipe	Paléotime
OA10280_ALG16_PNT_0263.JPG	CP 4.2, berme adjacente au sondage D	vue générale	4928	3264	300	2016-08-18	équipe	Paléotime
OA10280_ALG16_PNT_0264.JPG	CP 4.2	vue générale	4928	3264	300	2016-08-18	équipe	Paléotime
OA10280_ALG16_PNT_0265.JPG	CP 4.2	coupe,vue générale	4928	3264	300	2016-08-18	équipe	Paléotime
OA10280_ALG16_PNT_0266.JPG	CP 4.2	coupe,vue générale	4928	3264	300	2016-08-18	équipe	Paléotime
OA10280_ALG16_PNT_0267.JPG	CP 4.2	coupe,vue générale	4928	3264	300	2016-08-18	équipe	Paléotime
OA10280_ALG16_PNT_0268.JPG	CP 4.2	coupe,vue générale	4928	3264	300	2016-08-18	équipe	Paléotime
OA10280_ALG16_PNT_0269.JPG	CP 4.2	coupe,vue détail	4928	3264	300	2016-08-18	équipe	Paléotime
OA10280_ALG16_PNT_0270.JPG	CP 4.1	coupe,vue générale	4928	3264	300	2016-08-18	équipe	Paléotime
OA10280_ALG16_PNT_0271.JPG	CP 4.1	coupe,vue générale	4928	3264	300	2016-08-18	équipe	Paléotime
OA10280_ALG16_PNT_0272.JPG	CP 4.1	coupe,vue détail	4928	3264	300	2016-08-18	équipe	Paléotime
OA10280_ALG16_PNT_0273.JPG	CP 4.1	coupe,vue détail	4928	3264	300	2016-08-18	équipe	Paléotime
OA10280_ALG16_PNT_0274.DNG	CP 4.1	coupe,vue détail	4928	3264		2016-08-18	équipe	Paléotime
OA10280_ALG16_PNT_0275.JPG	CP 4.1	coupe,vue détail	4928	3264	300	2016-08-18	équipe	Paléotime
OA10280_ALG16_PNT_0276.JPG	Sonsade D et coupes 4.1 et 4.2 en contexte général	coupe,sondage,vue générale	4928	3264	300	2016-08-18	équipe	Paléotime
OA10280_ALG16_PNT_0277.JPG	Vue générale de l'extension d'emprise vers ouest	décapage,fouille en cours,vue générale	4928	3264	300	2016-08-18	équipe	Paléotime
OA10280_ALG16_PNT_0278.JPG	Vue générale de l'extension d'emprise vers NE	décapage,fouille en cours,vue générale	4928	3264	300	2016-08-18	équipe	Paléotime
OA10280_ALG16_PNT_0279.JPG	Fenêtre 01 ( PT807-812) au sud de CP 4.2	anomalie,vue détail,vue zénithale	4928	3264	300	2016-08-18	équipe	Paléotime
OA10280_ALG16_PNT_0280.JPG	Fenêtre 01 ( PT807-812) au sud de CP 4.2	anomalie,vue détail,vue zénithale	4928	3264	300	2016-08-18	équipe	Paléotime
OA10280_ALG16_PNT_0281.JPG	Fenêtre 01 ( PT807-812) au sud de CP 4.2	anomalie,vue détail,vue zénithale	4928	3264	300	2016-08-18	équipe	Paléotime
OA10280_ALG16_PNT_0282.JPG	Fenêtre 01 ( PT807-812) au sud de CP 4.2	anomalie,vue détail,vue zénithale	4928	3264	300	2016-08-18	équipe	Paléotime
OA10280_ALG16_PNT_0283.JPG	Fenêtre 01 ( PT807-812) au sud de CP 4.2	anomalie,vue détail,vue zénithale	4928	3264	300	2016-08-18	équipe	Paléotime
OA10280_ALG16_PNT_0284.JPG	Fenêtre 01 ( PT808-811) au sud de CP 4.2	anomalie,vue détail,vue zénithale	4682	3102	600	2016-08-18	équipe	Paléotime
OA10280_ALG16_PNT_0285.JPG	ST10; quadrant SE; coupe tracée	vue générale	4928	3264	300	2016-08-18	équipe	Paléotime
OA10280_ALG16_PNT_0286.JPG	ST10; quadrant SE; coupe tracée	vue générale	4928	3264	300	2016-08-18	équipe	Paléotime
OA10280_ALG16_PNT_0287.JPG	ST10; quadrant SE; coupe tracée	vue générale	4928	3264	300	2016-08-18	équipe	Paléotime
OA10280_ALG16_PNT_0288.JPG	ST10; quadrant SE; coupe tracée	vue générale	4928	3264	300	2016-08-18	équipe	Paléotime
OA10280_ALG16_PNT_0289.JPG	ST10; quadrant SE; coupe tracée	vue générale	4928	3264	300	2016-08-18	équipe	Paléotime
OA10280_ALG16_PNT_0290.JPG	CP 2.2 en phase de dessiccation	coupe,vue générale	4928	3264	300	2016-08-18	équipe	Paléotime
OA10280_ALG16_PNT_0291.JPG	CP 2.2 en phase de dessiccation	coupe,vue générale	4928	3264	300	2016-08-18	équipe	Paléotime
OA10280_ALG16_PNT_0292.JPG	Vue panoramique de l'emprise après décapage O-E	terrain,vue générale	13412	2911	300	2016-08-19	équipe	Paléotime
OA10280_ALG16_PNT_0293.JPG	Vue panoramique de l'emprise après décapage NE-SE	terrain,vue générale	7317	2808	300	2016-08-19	équipe	Paléotime
OA10280_ALG16_PNT_0294.JPG	Vue panoramique de l'emprise après décapage O-S	terrain,vue générale	16592	2510	300	2016-08-19	équipe	Paléotime
OA10280_ALG16_PNT_0295.JPG	Vue de l'emprise après décapage	terrain,vue générale	4928	3264	300	2016-08-19	équipe	Paléotime
OA10280_ALG16_PNT_0296.JPG	Vue de l'emprise après décapage	terrain,vue générale	4928	3264	300	2016-08-19	équipe	Paléotime
OA10280_ALG16_PNT_0297.JPG	Vue de l'emprise après décapage	terrain,vue générale	4928	3264	300	2016-08-19	équipe	Paléotime
OA10280_ALG16_PNT_0298.JPG	Vue de l'emprise après décapage	terrain,vue générale	4928	3264	300	2016-08-19	équipe	Paléotime
OA10280_ALG16_PNT_0299.JPG	Vue de l'emprise après décapage	terrain,vue générale	4928	3264	300	2016-08-19	équipe	Paléotime
OA10280_ALG16_PNT_0300.JPG	Vue de l'emprise après décapage	terrain,vue générale	4928	3264	300	2016-08-19	équipe	Paléotime
OA10280_ALG16_PNT_0301.JPG	Vue de l'emprise après décapage	terrain,vue générale	4928	3264	300	2016-08-19	équipe	Paléotime
OA10280_ALG16_PNT_0302.JPG	Vue de l'emprise après décapage	terrain,vue générale	4928	3264	300	2016-08-19	équipe	Paléotime
OA10280_ALG16_PNT_0303.JPG	Vue de l'emprise après décapage	terrain,vue générale	4928	3264	300	2016-08-19	équipe	Paléotime

ALG16\_inventaire\_photos : page 7/16

Nom de fichier	Description	Mots-clés	PixelX Dimension	PixelY Dimension	Résolution	Date	Auteur	Copyright
OA10280_ALG16_PNT_0304.JPG	Vue de l'emprise après décapage	terrain,vue générale	4928	3264	300	2016-08-19	équipe	Paléotime
OA10280_ALG16_PNT_0305.JPG	Vue de l'emprise après décapage	terrain,vue générale	4928	3264	300	2016-08-19	équipe	Paléotime
OA10280_ALG16_PNT_0306.JPG	Vue panoramique de l'emprise après décapage NE-O	terrain,vue générale	11897	2010	300	2016-08-19	équipe	Paléotime
OA10280_ALG16_PNT_0307.JPG	Sondage Diag 16.05	sondage,vue générale	4928	3264	300	2016-08-19	équipe	Paléotime
OA10280_ALG16_PNT_0308.JPG	Sondage Diag 16.05	sondage,vue générale	4928	3264	300	2016-08-19	équipe	Paléotime
OA10280_ALG16_PNT_0309.JPG	Sondage 16.05	coupe,sondage	4928	3264	300	2016-08-19	équipe	Paléotime
OA10280_ALG16_PNT_0310.JPG	Sondage 16.05	coupe,sondage	4928	3264	300	2016-08-19	équipe	Paléotime
OA10280_ALG16_PNT_0311.JPG	Sondage 16.05	coupe,sondage	4928	3264	300	2016-08-19	équipe	Paléotime
OA10280_ALG16_PNT_0312.JPG	Sondage 16.05	coupe,sondage	4928	3264	300	2016-08-19	équipe	Paléotime
OA10280_ALG16_PNT_0313.JPG	Sondage 16.05	coupe,sondage	4928	3264	300	2016-08-19	équipe	Paléotime
OA10280_ALG16_PNT_0314.JPG	Sondage 16.05	coupe,sondage	4928	3264	300	2016-08-19	équipe	Paléotime
OA10280_ALG16_PNT_0315.JPG	Sondage 16.05	coupe,sondage	4928	3264	300	2016-08-19	équipe	Paléotime
OA10280_ALG16_PNT_0316.JPG	Sondage 16.05	coupe,sondage	4928	3264	300	2016-08-19	équipe	Paléotime
OA10280_ALG16_PNT_0317.JPG	Sondage 16.05	coupe,sondage	4928	3264	300	2016-08-19	équipe	Paléotime
OA10280_ALG16_PNT_0318.JPG	Sondage 16.05	coupe,sondage	4928	3264	300	2016-08-19	équipe	Paléotime
OA10280_ALG16_PNT_0319.JPG	Sondage 16.05	coupe,sondage	4928	3264	300	2016-08-19	équipe	Paléotime
OA10280_ALG16_PNT_0320.JPG	Coupe CP 1.2 dans SDG2, après nettoyage	coupe,sondage	4928	3264	300	2016-08-19	équipe	Paléotime
OA10280_ALG16_PNT_0321.JPG	Coupe CP 1.2 dans SDG2, après nettoyage	coupe,sondage	4928	3264	300	2016-08-19	équipe	Paléotime
OA10280_ALG16_PNT_0322.JPG	Coupe CP 1.2 dans SDG2, après nettoyage	coupe,sondage	4928	3264	300	2016-08-19	équipe	Paléotime
OA10280_ALG16_PNT_0323.JPG	Coupe CP 1.2 dans SDG2, après nettoyage	coupe,sondage	4928	3264	300	2016-08-19	équipe	Paléotime
OA10280_ALG16_PNT_0324.JPG	Coupe CP 1.2 dans SDG2, après nettoyage	coupe,sondage	4928	3264	300	2016-08-19	équipe	Paléotime
OA10280_ALG16_PNT_0325.JPG	Coupe CP 1.2 dans SDG2, après nettoyage	coupe,sondage	4928	3264	300	2016-08-19	équipe	Paléotime
OA10280_ALG16_PNT_0326.JPG	Exemple de bioturbation des sols : taupinières	vue générale	4928	3264	300	2016-08-22	équipe	Paléotime
OA10280_ALG16_PNT_0327.JPG	Exemple de bioturbation des sols : taupinières	vue générale	4928	3264	300	2016-08-22	équipe	Paléotime
OA10280_ALG16_PNT_0328.JPG	Exemple de bioturbation des sols : taupinières	vue générale	4928	3264	300	2016-08-22	équipe	Paléotime
OA10280_ALG16_PNT_0329.JPG	Exemple de bioturbation des sols : fentes de dessiccation	vue générale	4928	3264	300	2016-08-22	équipe	Paléotime
OA10280_ALG16_PNT_0330.JPG	Exemple de bioturbation des sols : fentes de dessiccation	vue générale	4928	3264	300	2016-08-22	équipe	Paléotime
OA10280_ALG16_PNT_0331.JPG	Exemple de bioturbation des sols : fentes de dessiccation	vue générale	4928	3264	300	2016-08-22	équipe	Paléotime
OA10280_ALG16_PNT_0332.JPG	Exemple de bioturbation des sols : fentes de dessiccation	vue générale	4928	3264	300	2016-08-22	équipe	Paléotime
OA10280_ALG16_PNT_0333.JPG	Coupe CP 3.2, évolution du séchage	coupe,vue générale	4928	3264	300	2016-08-22	équipe	Paléotime
OA10280_ALG16_PNT_0334.JPG	Coupe CP 3.2, évolution du séchage	coupe,vue détail	4928	3264	300	2016-08-22	équipe	Paléotime
OA10280_ALG16_PNT_0335.JPG	Coupe CP 3.2, évolution du séchage	coupe,vue détail	4928	3264	300	2016-08-22	équipe	Paléotime
OA10280_ALG16_PNT_0336.JPG	Coupe CP 3.2, évolution du séchage	coupe,vue détail	4928	3264	300	2016-08-22	équipe	Paléotime
OA10280_ALG16_PNT_0337.JPG	ST11, vue avant nettoyage	anomalie,vue générale	3907	2548	400	2016-08-22	équipe	Paléotime
OA10280_ALG16_PNT_0338.JPG	ST11, vue avant nettoyage	anomalie,vue générale	4928	3264	300	2016-08-22	équipe	Paléotime
OA10280_ALG16_PNT_0339.JPG	ST11, vue avant nettoyage	anomalie,vue générale	4928	3264	300	2016-08-22	équipe	Paléotime
OA10280_ALG16_PNT_0340.JPG	ST11, vue avant nettoyage	anomalie,vue générale	4928	3264	300	2016-08-22	équipe	Paléotime
OA10280_ALG16_PNT_0341.JPG	ST11, vue avant nettoyage	anomalie,vue générale	4928	3264	300	2016-08-22	équipe	Paléotime
OA10280_ALG16_PNT_0342.JPG	ST11, nettoyage Quadrant A1	anomalie,vue zénithale	4928	3264	300	2016-08-22	équipe	Paléotime
OA10280_ALG16_PNT_0343.JPG	ST11, nettoyage Quadrant A1	anomalie,vue zénithale	4928	3264	300	2016-08-22	équipe	Paléotime
OA10280_ALG16_PNT_0344.JPG	ST11, nettoyage Quadrant A1	anomalie,vue zénithale	4928	3264	300	2016-08-22	équipe	Paléotime
OA10280_ALG16_PNT_0345.JPG	ST11, nettoyage Quadrant A1	anomalie,vue zénithale	4928	3264	300	2016-08-22	équipe	Paléotime
OA10280_ALG16_PNT_0346.JPG	ST08, vue après décaage et avant fouille	anomalie,chablis,vue générale	4928	3264	300	2016-08-22	équipe	Paléotime
OA10280_ALG16_PNT_0347.JPG	ST08, vue après décaage et avant fouille	anomalie,chablis,vue générale	4928	3264	300	2016-08-22	équipe	Paléotime
OA10280_ALG16_PNT_0348.JPG	ST08, vue après décaage et avant fouille	anomalie,chablis,vue générale	4928	3264	300	2016-08-22	équipe	Paléotime

Section 3 – Inventaires techniques et scientifiques

ALG16\_inventaire\_photos : page 8/16

Nom de fichier	Description	Mots-clés	PixelX Dimension	PixelY Dimension	Résolution	Date	Auteur	Copyright
OA10280_ALG16_PNT_0349.JPG	ST08, vue après décaage et avant fouille	anomalie,chablis,vue générale	4928	3264	300	2016-08-22	équipe	Paléotime
OA10280_ALG16_PNT_0350.JPG	ST08, vue après décaage et avant fouille	anomalie,chablis,vue générale	4928	3264	300	2016-08-22	équipe	Paléotime
OA10280_ALG16_PNT_0351.JPG	ST01, vue avant fouille; détail extrémité est	tracé linéaire,vue détail	4928	3264	300	2016-08-22	équipe	Paléotime
OA10280_ALG16_PNT_0352.JPG	ST01, vue avant fouille; détail extrémité est	tracé linéaire,vue détail	4928	3264	300	2016-08-22	équipe	Paléotime
OA10280_ALG16_PNT_0353.JPG	ST01, vue avant fouille	tracé linéaire,vue générale	4928	3264	300	2016-08-22	équipe	Paléotime
OA10280_ALG16_PNT_0354.JPG	ST01, vue avant fouille	tracé linéaire,vue générale	4928	3264	300	2016-08-22	équipe	Paléotime
OA10280_ALG16_PNT_0355.JPG	CP 1.3 dans le prolongement de ST09	coupe,vue générale	4928	2835	300	2016-08-22	équipe	Paléotime
OA10280_ALG16_PNT_0356.JPG	CP 1.3 dans le prolongement de ST09	coupe,vue générale	4928	2543	300	2016-08-22	équipe	Paléotime
OA10280_ALG16_PNT_0357.JPG	CP 1.3 dans le prolongement de ST09	coupe,vue générale	4928	2380	300	2016-08-22	équipe	Paléotime
OA10280_ALG16_PNT_0358.JPG	Coupe CP 4.1	coupe	4928	3264	300	2016-08-22	équipe	Paléotime
OA10280_ALG16_PNT_0359.JPG	Coupe CP 4.1	coupe	4928	3264	300	2016-08-22	équipe	Paléotime
OA10280_ALG16_PNT_0360.JPG	Coupe CP 4.1	coupe	4928	3264	300	2016-08-22	équipe	Paléotime
OA10280_ALG16_PNT_0361.JPG	Coupe CP 4.1	coupe,vue détail	4928	3264	300	2016-08-22	équipe	Paléotime
OA10280_ALG16_PNT_0362.JPG	Fenêtre 01	anomalie,méthodologie,vue générale	4724	3207	600	2016-08-22	équipe	Paléotime
OA10280_ALG16_PNT_0363.JPG	Fenêtre 01	anomalie,méthodologie,vue générale	4928	3264	300	2016-08-22	équipe	Paléotime
OA10280_ALG16_PNT_0364.JPG	Fenêtre 01	anomalie,méthodologie,vue générale	4928	3264	300	2016-08-22	équipe	Paléotime
OA10280_ALG16_PNT_0365.JPG	Fenêtre 01	anomalie,méthodologie,vue détail	4928	3264	300	2016-08-22	équipe	Paléotime
OA10280_ALG16_PNT_0366.JPG	Fenêtre 02	anomalie,méthodologie,vue générale	4928	3264	300	2016-08-22	équipe	Paléotime
OA10280_ALG16_PNT_0367.JPG	Fenêtre 02	anomalie,méthodologie,vue générale	4724	3129	600	2016-08-22	équipe	Paléotime
OA10280_ALG16_PNT_0368.JPG	Fenêtre 02	anomalie,méthodologie,vue générale	4928	3264	300	2016-08-22	équipe	Paléotime
OA10280_ALG16_PNT_0369.JPG	Fenêtre 02	anomalie,méthodologie,vue détail,vue zénithale	4928	3264	300	2016-08-22	équipe	Paléotime
OA10280_ALG16_PNT_0370.JPG	ST01	coupe,tracé linéaire	4928	3264	300	2016-08-22	équipe	Paléotime
OA10280_ALG16_PNT_0371.JPG	ST01	coupe,tracé linéaire	4928	3264	300	2016-08-22	équipe	Paléotime
OA10280_ALG16_PNT_0372.JPG	ST01	coupe,tracé linéaire	4928	3264	300	2016-08-22	équipe	Paléotime
OA10280_ALG16_PNT_0373.JPG	CP 1.3, avec tracés des UPS	coupe	4928	3264	300	2016-08-22	équipe	Paléotime
OA10280_ALG16_PNT_0374.JPG	CP 1.3, avec tracés des UPS	coupe	4928	3264	300	2016-08-22	équipe	Paléotime
OA10280_ALG16_PNT_0375.JPG	CP 1.3, avec tracés des UPS	coupe	4928	3264	300	2016-08-22	équipe	Paléotime
OA10280_ALG16_PNT_0376.JPG	CP 1.3, avec tracés des UPS	coupe	4928	3264	300	2016-08-22	équipe	Paléotime
OA10280_ALG16_PNT_0377.JPG	ST08a, coupe transversale	chablis,coupe	4928	3264	300	2016-08-22	équipe	Paléotime
OA10280_ALG16_PNT_0378.JPG	ST08a, coupe transversale	chablis,coupe,vue générale	4928	3264	300	2016-08-22	équipe	Paléotime
OA10280_ALG16_PNT_0379.JPG	ST08a, coupe transversale	chablis,coupe,vue générale	4928	3264	300	2016-08-22	équipe	Paléotime
OA10280_ALG16_PNT_0380.JPG	ST08a, coupe transversale	chablis,coupe,vue générale	4928	3264	300	2016-08-22	équipe	Paléotime
OA10280_ALG16_PNT_0381.JPG	ST08a, détail remplissage	anomalie,chablis,vue détail	4928	3264	300	2016-08-22	équipe	Paléotime
OA10280_ALG16_PNT_0382.JPG	ST08a, détail remplissage	anomalie,chablis,vue détail	4928	3264	300	2016-08-22	équipe	Paléotime
OA10280_ALG16_PNT_0383.JPG	ST08a, détail remplissage	anomalie,chablis,vue détail	4928	3264	300	2016-08-22	équipe	Paléotime
OA10280_ALG16_PNT_0384.JPG	ST08a, détail remplissage	anomalie,chablis,vue détail	4928	3264	300	2016-08-22	équipe	Paléotime
OA10280_ALG16_PNT_0385.JPG	ST08a, coupe transversale	chablis,coupe,vue générale	4928	3264	300	2016-08-22	équipe	Paléotime
OA10280_ALG16_PNT_0386.JPG	nettoyage fin de la Fenêtre 03 avant photo	anomalie,méthodologie,vue générale	4928	3264	300	2016-08-23	équipe	Paléotime
OA10280_ALG16_PNT_0387.JPG	Coupe CP 4.1	coupe,vue générale	4928	3264	300	2016-08-23	équipe	Paléotime
OA10280_ALG16_PNT_0388.JPG	Coupe CP 4.1	coupe,vue générale	4928	3264	300	2016-08-23	équipe	Paléotime
OA10280_ALG16_PNT_0389.JPG	CP 4.1; détails	coupe,vue détail	4928	3264	300	2016-08-23	équipe	Paléotime
OA10280_ALG16_PNT_0390.JPG	CP 4.1; détails	coupe,vue détail	4928	3264	300	2016-08-23	équipe	Paléotime
OA10280_ALG16_PNT_0391.JPG	CP 4.1; détails	coupe,vue détail	4928	3264	300	2016-08-23	équipe	Paléotime
OA10280_ALG16_PNT_0392.JPG	CP 4.1; détails	coupe,vue détail	4928	3264	300	2016-08-23	équipe	Paléotime
OA10280_ALG16_PNT_0393.JPG	CP 4.1; détails	coupe,vue détail	4928	3264	300	2016-08-23	équipe	Paléotime
OA10280_ALG16_PNT_0394.JPG	CP 4.1; détails	coupe,vue détail	4928	3264	300	2016-08-23	équipe	Paléotime
OA10280_ALG16_PNT_0395.DNG	CP 4.1; détails	coupe,vue détail	4928	3264		2016-08-23	équipe	Paléotime
OA10280_ALG16_PNT_0396.DNG	CP 4.1; détails	coupe,vue détail	4928	3264		2016-08-23	équipe	Paléotime
OA10280_ALG16_PNT_0397.DNG	CP 4.1; détails	coupe,vue détail	4928	3264		2016-08-23	équipe	Paléotime

ALG16\_inventaire\_photos : page 9/16

Nom de fichier	Description	Mots-clés	PixelX Dimension	PixelY Dimension	Résolution	Date	Auteur	Copyright
OA10280_ALG16_PNT_0398.DNG	CP 4.1; détails	coupe,vue détail	4928	3264		2016-08-23	équipe	Paléotime
OA10280_ALG16_PNT_0399.DNG	CP 4.1; détails	coupe,vue détail	4928	3264		2016-08-23	équipe	Paléotime
OA10280_ALG16_PNT_0400.JPG	CP 4.1; détails	coupe,vue détail	4928	3264	300	2016-08-23	équipe	Paléotime
OA10280_ALG16_PNT_0401.JPG	CP 4.1; détails	coupe,vue détail	4928	3264	300	2016-08-23	équipe	Paléotime
OA10280_ALG16_PNT_0402.JPG	CP 4.1; détails	coupe,vue détail	4928	3264	300	2016-08-23	équipe	Paléotime
OA10280_ALG16_PNT_0403.JPG	CP 4.1; détails	coupe,vue détail	4928	3264	300	2016-08-23	équipe	Paléotime
OA10280_ALG16_PNT_0404.JPG	CP 4.1; détails	coupe,vue détail	4928	3264	300	2016-08-23	équipe	Paléotime
OA10280_ALG16_PNT_0405.JPG	CP 4.1; détails	coupe,vue détail	4928	3264	300	2016-08-23	équipe	Paléotime
OA10280_ALG16_PNT_0406.JPG	CP 4.1; détails	coupe,vue détail	4928	3264	300	2016-08-23	équipe	Paléotime
OA10280_ALG16_PNT_0407.JPG	CP 4.1; détails	coupe,vue détail	4928	3264	300	2016-08-23	équipe	Paléotime
OA10280_ALG16_PNT_0408.JPG	CP 4.1; détails	coupe,vue détail	4928	3264	300	2016-08-23	équipe	Paléotime
OA10280_ALG16_PNT_0409.JPG	CP 4.1; détails	coupe,vue détail	4928	3264	300	2016-08-23	équipe	Paléotime
OA10280_ALG16_PNT_0410.JPG	CP 4.1; détails	coupe,vue détail	4928	3264	300	2016-08-23	équipe	Paléotime
OA10280_ALG16_PNT_0411.JPG	CP 4.1; détails	coupe,vue détail	4928	3264	300	2016-08-23	équipe	Paléotime
OA10280_ALG16_PNT_0412.JPG	CP 4.1; détails	coupe,vue détail	4928	3264	300	2016-08-23	équipe	Paléotime
OA10280_ALG16_PNT_0413.JPG	CP 4.1; détails	coupe,vue détail	4928	3264	300	2016-08-23	équipe	Paléotime
OA10280_ALG16_PNT_0414.JPG	CP 4.1; détails	coupe,vue détail	4928	3264	300	2016-08-23	équipe	Paléotime
OA10280_ALG16_PNT_0415.JPG	CP 4.1; détails	coupe,vue détail	4928	3264	300	2016-08-23	équipe	Paléotime
OA10280_ALG16_PNT_0416.JPG	CP 4.1; détails	coupe,vue détail	4928	3264	300	2016-08-23	équipe	Paléotime
OA10280_ALG16_PNT_0417.JPG	CP 4.1; détails	coupe,vue détail	4928	3264	300	2016-08-23	équipe	Paléotime
OA10280_ALG16_PNT_0418.JPG	CP 4.1; détails	coupe,vue détail	4928	3264	300	2016-08-23	équipe	Paléotime
OA10280_ALG16_PNT_0419.JPG	Fenêtre 03	anomalie,méthodologie,vue générale	3264	4928	300	2016-08-23	équipe	Paléotime
OA10280_ALG16_PNT_0420.JPG	Fenêtre 03	anomalie,méthodologie,vue générale	3265	4928	600	2016-08-23	équipe	Paléotime
OA10280_ALG16_PNT_0421.JPG	Fenêtre 03	anomalie,méthodologie,vue générale	4928	3265	600	2016-08-23	équipe	Paléotime
OA10280_ALG16_PNT_0422.JPG	Fenêtre 03	anomalie,méthodologie,vue détail	4928	3264	300	2016-08-23	équipe	Paléotime
OA10280_ALG16_PNT_0423.JPG	Fenêtre 03	anomalie,méthodologie,vue détail	4928	3264	300	2016-08-23	équipe	Paléotime
OA10280_ALG16_PNT_0424.JPG	Fenêtre 03	anomalie,méthodologie,vue détail	4928	3264	300	2016-08-23	équipe	Paléotime
OA10280_ALG16_PNT_0425.JPG	Fenêtre 03	anomalie,méthodologie,vue détail	4928	3264	300	2016-08-23	équipe	Paléotime
OA10280_ALG16_PNT_0426.JPG	Fenêtre 03	anomalie,méthodologie,vue détail	1232	816	600	2016-08-23	équipe	Paléotime
OA10280_ALG16_PNT_0427.JPG	Fenêtre 03	méthodologie,vue détail	4928	3264	300	2016-08-23	équipe	Paléotime
OA10280_ALG16_PNT_0428.JPG	Fenêtre 03	méthodologie,vue détail	4928	3264	300	2016-08-23	équipe	Paléotime
OA10280_ALG16_PNT_0429.JPG	Fenêtre 03	méthodologie,vue détail	4928	3264	300	2016-08-23	équipe	Paléotime
OA10280_ALG16_PNT_0430.JPG	Fenêtre 03	méthodologie,vue générale	4928	3265	600	2016-08-23	équipe	Paléotime
OA10280_ALG16_PNT_0431.JPG	Fenêtre 03	méthodologie,vue générale	3264	4928	300	2016-08-23	équipe	Paléotime
OA10280_ALG16_PNT_0432.JPG	ST09, profil transversal	tracé linéaire,vue générale	4928	3264	300	2016-08-23	équipe	Paléotime
OA10280_ALG16_PNT_0433.JPG	ST09, profil transversal	tracé linéaire,vue générale	4928	3264	300	2016-08-23	équipe	Paléotime
OA10280_ALG16_PNT_0434.JPG	ST09, profil transversal	tracé linéaire,vue générale	4928	3264	300	2016-08-23	équipe	Paléotime
OA10280_ALG16_PNT_0435.JPG	ST09, profil transversal	tracé linéaire,vue générale	4928	3264	300	2016-08-23	équipe	Paléotime
OA10280_ALG16_PNT_0436.JPG	ST09, profil transversal	tracé linéaire,vue générale	4928	3264	300	2016-08-23	équipe	Paléotime
OA10280_ALG16_PNT_0437.JPG	ST09, profil transversal avec tracé	tracé linéaire,vue générale	4928	3264	300	2016-08-23	équipe	Paléotime
OA10280_ALG16_PNT_0438.JPG	ST09, profil transversal avec tracé	tracé linéaire,vue générale	4928	3264	300	2016-08-23	équipe	Paléotime
OA10280_ALG16_PNT_0439.JPG	Enregistrement des fiches des fenêtres d'observation	méthodologie	4928	3264	300	2016-08-23	équipe	Paléotime
OA10280_ALG16_PNT_0440.JPG	CP 4.1, prélèvements morphologiques	méthodologie,prélèvement,sédimentologie	4928	3264	300	2016-08-23	équipe	Paléotime
OA10280_ALG16_PNT_0441.JPG	CP 4.1, prélèvements morphologiques	méthodologie,prélèvement,sédimentologie	4928	3264	300	2016-08-23	équipe	Paléotime
OA10280_ALG16_PNT_0442.JPG	CP 4.1, prélèvements morphologiques	méthodologie,prélèvement,sédimentologie	4928	3264	300	2016-08-23	équipe	Paléotime
OA10280_ALG16_PNT_0443.JPG	CP 4.1, prélèvements morphologiques	méthodologie,prélèvement,sédimentologie	4928	3264	300	2016-08-23	équipe	Paléotime
OA10280_ALG16_PNT_0444.JPG	CP 4.1, prélèvements morphologiques	méthodologie,prélèvement,sédimentologie	4928	3264	300	2016-08-23	équipe	Paléotime
OA10280_ALG16_PNT_0445.JPG	CP 4.1, prélèvements morphologiques	méthodologie,prélèvement,sédimentologie	4928	3264	300	2016-08-23	équipe	Paléotime
OA10280_ALG16_PNT_0446.JPG	CP 4.1, prélèvement OSL PR03	méthodologie,prélèvement	4928	3264	300	2016-08-23	équipe	Paléotime

Section 3 – Inventaires techniques et scientifiques

ALG16\_inventaire\_photos : page 10/16

Nom de fichier	Description	Mots-clés	PixelX Dimension	PixelY Dimension	Résolution	Date	Auteur	Copyright
OA10280_ALG16_PNT_0447.JPG	CP 4.1, prélèvements morphologiques et OSL	méthodologie,prélèvement,vue générale	4928	3264	300	2016-08-23	équipe	Paléotime
OA10280_ALG16_PNT_0448.JPG	CP 4.1, prélèvements morphologiques et OSL	méthodologie,prélèvement,vue générale	4928	3264	300	2016-08-23	équipe	Paléotime
OA10280_ALG16_PNT_0449.JPG	CP 4.1, prélèvements morphologiques et OSL	méthodologie,prélèvement,vue générale	4928	3264	300	2016-08-23	équipe	Paléotime
OA10280_ALG16_PNT_0450.JPG	CP 4.1, prélèvements morphologiques et OSL	méthodologie,prélèvement,vue générale	4928	3264	300	2016-08-23	équipe	Paléotime
OA10280_ALG16_PNT_0451.JPG	CP 4.1, après prélèvements morphologiques et OSL	coupe,méthodologie	4928	3264	300	2016-08-23	équipe	Paléotime
OA10280_ALG16_PNT_0452.jpg	ST04, vue avant sondage à -250 cm sous décapage; blocs de pierre dans le substrat	structure,vue zénithale	3264	2448	72	2016-08-23	équipe	Paléotime
OA10280_ALG16_PNT_0453.JPG	ST04, sondage à la tarière, emplacement	sondage,structure	4928	3264	300	2016-08-23	équipe	Paléotime
OA10280_ALG16_PNT_0454.JPG	ST04, résultat du carottage	vue générale	4440	2544	300	2016-08-23	équipe	Paléotime
OA10280_ALG16_PNT_0455.JPG	ST04, résultat du carottage	vue générale	4928	3264	300	2016-08-23	équipe	Paléotime
OA10280_ALG16_PNT_0456.JPG	ST04, résultat du carottage	vue détail	4928	3264	300	2016-08-23	équipe	Paléotime
OA10280_ALG16_PNT_0457.JPG	ST04, résultat du carottage	vue détail	4928	3264	300	2016-08-23	équipe	Paléotime
OA10280_ALG16_PNT_0458.JPG	ST04, résultat du carottage	vue détail	4928	3264	300	2016-08-23	équipe	Paléotime
OA10280_ALG16_PNT_0459.JPG	ST04, profil E-O	structure,vue générale	4928	3264	300	2016-08-23	équipe	Paléotime
OA10280_ALG16_PNT_0460.JPG	ST04, profil E-O	structure,vue générale	4928	3264	300	2016-08-23	équipe	Paléotime
OA10280_ALG16_PNT_0461.JPG	ST04, profil E-O	structure,vue générale	4928	3264	300	2016-08-23	équipe	Paléotime
OA10280_ALG16_PNT_0462.JPG	ST04, profil E-O	structure,vue générale	4928	3264	300	2016-08-23	équipe	Paléotime
OA10280_ALG16_PNT_0463.JPG	ST04, profil E-O	structure,vue générale	4323	3264	240	2016-08-23	équipe	Paléotime
OA10280_ALG16_PNT_0464.JPG	ST04, profil E-O	structure,vue générale	1347	1024	350	2016-08-23	équipe	Paléotime
OA10280_ALG16_PNT_0465.JPG	ST04, profil E-O	structure,vue générale	1440	1080	350	2016-08-23	équipe	Paléotime
OA10280_ALG16_PNT_0466.JPG	ST04, profil E-O	structure,vue générale	1440	1080	350	2016-08-23	équipe	Paléotime
OA10280_ALG16_PNT_0467.JPG	ST04, profil E-O	structure,vue générale	4928	3264	300	2016-08-23	équipe	Paléotime
OA10280_ALG16_PNT_0468.JPG	ST04, profil E-O; détails des remplissages	structure,vue détail	4928	3264	300	2016-08-23	équipe	Paléotime
OA10280_ALG16_PNT_0469.JPG	ST04, profil E-O; détails des remplissages	structure,vue détail	4928	3264	300	2016-08-23	équipe	Paléotime
OA10280_ALG16_PNT_0470.JPG	ST04, profil E-O; détails des remplissages	structure,vue détail	4928	3264	300	2016-08-23	équipe	Paléotime
OA10280_ALG16_PNT_0471.JPG	ST04, profil E-O; détails des remplissages	structure,vue détail	4928	3264	300	2016-08-23	équipe	Paléotime
OA10280_ALG16_PNT_0472.JPG	ST04, profil E-O; détails des remplissages	structure,vue détail	1440	1080	350	2016-08-23	équipe	Paléotime
OA10280_ALG16_PNT_0473.JPG	ST04, profil E-O; détails des remplissages	structure,vue détail	1440	1080	350	2016-08-23	équipe	Paléotime
OA10280_ALG16_PNT_0474.JPG	ST04, profil E-O; détails des remplissages	structure,vue détail	1440	1080	350	2016-08-23	équipe	Paléotime
OA10280_ALG16_PNT_0475.JPG	ST04, profil E-O; détails des remplissages	structure,vue détail	1440	1080	350	2016-08-23	équipe	Paléotime
OA10280_ALG16_PNT_0476.JPG	ST04, profil E-O; détails des remplissages	structure,vue détail	1440	1080	350	2016-08-23	équipe	Paléotime
OA10280_ALG16_PNT_0477.JPG	ST04, profil E-O; détails des remplissages	structure,vue détail	1440	1080	350	2016-08-23	équipe	Paléotime
OA10280_ALG16_PNT_0478.JPG	ST11, fouille quadrant A1	anomalie,concentration,vue zénithale	4928	3264	300	2016-08-23	équipe	Paléotime
OA10280_ALG16_PNT_0479.JPG	ST11, fouille quadrant A1	anomalie,concentration,vue zénithale	4928	3264	300	2016-08-23	équipe	Paléotime
OA10280_ALG16_PNT_0480.JPG	ST11, fouille quadrant A1	anomalie,concentration,vue zénithale	1440	1080	350	2016-08-23	équipe	Paléotime
OA10280_ALG16_PNT_0481.JPG	ST11, fouille quadrant A1	anomalie,concentration,vue zénithale	1440	1080	350	2016-08-23	équipe	Paléotime
OA10280_ALG16_PNT_0482.JPG	ST11, fouille quadrant A1	anomalie,concentration,vue zénithale	1440	1080	350	2016-08-23	équipe	Paléotime
OA10280_ALG16_PNT_0483.JPG	ST11, fouille quadrant A1	anomalie,concentration,vue zénithale	1440	1080	350	2016-08-23	équipe	Paléotime
OA10280_ALG16_PNT_0484.JPG	ST11, fouille quadrant A1	anomalie,concentration,vue zénithale	1253	1670	350	2016-08-23	équipe	Paléotime
OA10280_ALG16_PNT_0485.JPG	ST10, quadrant SE; évolution séchage	vue zénithale	4928	3264	300	2016-08-23	équipe	Paléotime
OA10280_ALG16_PNT_0486.JPG	ST10, quadrant SE; évolution séchage	vue zénithale	4928	3264	300	2016-08-23	équipe	Paléotime
OA10280_ALG16_PNT_0487.JPG	Fenêtre 09	anomalie,vue générale	1440	1080	350	2016-08-23	équipe	Paléotime
OA10280_ALG16_PNT_0488.JPG	Fenêtre 09	anomalie,vue générale	1440	1080	350	2016-08-23	équipe	Paléotime

ALG16\_inventaire\_photos : page 11/16

Nom de fichier	Description	Mots-clés	PixelX Dimension	PixelY Dimension	Résolution	Date	Auteur	Copyright
OA10280_ALG16_PNT_0489.JPG	Fenêtre 09	anomalie,vue générale	1440	1080	350	2016-08-23	équipe	Paléotime
OA10280_ALG16_PNT_0490.JPG	Fenêtre 10	anomalie,méthodologie,vue générale	1440	1080	350	2016-08-23	équipe	Paléotime
OA10280_ALG16_PNT_0491.JPG	Fenêtre 10	anomalie,méthodologie,vue générale	1440	1080	350	2016-08-23	équipe	Paléotime
OA10280_ALG16_PNT_0492.JPG	Fenêtre 10	anomalie,méthodologie,vue générale	1440	1080	350	2016-08-23	équipe	Paléotime
OA10280_ALG16_PNT_0493.JPG	Fenêtre 07	anomalie,vue générale	4928	3264	300	2016-08-24	équipe	Paléotime
OA10280_ALG16_PNT_0494.JPG	Fenêtre 07	anomalie,vue générale	1626	1077	300	2016-08-24	équipe	Paléotime
OA10280_ALG16_PNT_0495.JPG	Fenêtre 07	anomalie,vue générale	4928	3264	300	2016-08-24	équipe	Paléotime
OA10280_ALG16_PNT_0496.JPG	Fenêtre 07	anomalie,vue zénithale	2657	1734	600	2016-08-24	équipe	Paléotime
OA10280_ALG16_PNT_0497.JPG	CP 2.1, état de séchage	coupe,vue générale	4928	3264	300	2016-08-24	équipe	Paléotime
OA10280_ALG16_PNT_0498.JPG	CP 2.1, état de séchage	coupe,vue générale	4928	3264	300	2016-08-24	équipe	Paléotime
OA10280_ALG16_PNT_0499.JPG	CP 1.3, état de séchage avec tracé des UPS	coupe,vue générale	4928	3264	300	2016-08-24	équipe	Paléotime
OA10280_ALG16_PNT_0500.JPG	CP 1.3, état de séchage avec tracé des UPS	coupe,vue générale	4928	3264	300	2016-08-24	équipe	Paléotime
OA10280_ALG16_PNT_0501.JPG	CP 1.1, état de séchage	coupe,vue générale	4928	3264	300	2016-08-24	équipe	Paléotime
OA10280_ALG16_PNT_0502.JPG	CP 1.1, état de séchage	coupe,vue générale	4928	3264	300	2016-08-24	équipe	Paléotime
OA10280_ALG16_PNT_0503.JPG	CP 1.1, état de séchage	coupe,vue détail	4928	3264	300	2016-08-24	équipe	Paléotime
OA10280_ALG16_PNT_0504.JPG	CP 1.1, état de séchage	coupe,vue détail	4928	3264	300	2016-08-24	équipe	Paléotime
OA10280_ALG16_PNT_0505.JPG	CP 1.1, état de séchage	coupe	4928	3264	300	2016-08-24	équipe	Paléotime
OA10280_ALG16_PNT_0506.JPG	CP 1.1, état de séchage	coupe	4928	3264	300	2016-08-24	équipe	Paléotime
OA10280_ALG16_PNT_0507.JPG	CP 1.1, état de séchage	coupe,vue détail	4928	3264	300	2016-08-24	équipe	Paléotime
OA10280_ALG16_PNT_0508.JPG	CP 1.1, état de séchage	coupe,vue détail	4928	3264	300	2016-08-24	équipe	Paléotime
OA10280_ALG16_PNT_0509.JPG	CP 1.1, état de séchage	coupe,vue détail	4928	3264	300	2016-08-24	équipe	Paléotime
OA10280_ALG16_PNT_0510.JPG	CP 1.1, état de séchage	coupe,vue détail	4928	3264	300	2016-08-24	équipe	Paléotime
OA10280_ALG16_PNT_0511.JPG	Fenêtre 07, sous-fenêtre de fouille, coupe PT1143-1144	anomalie,coupe,vue générale	4928	3264	300	2016-08-24	équipe	Paléotime
OA10280_ALG16_PNT_0512.JPG	Fenêtre 07, sous-fenêtre de fouille, coupe PT1143-1144	anomalie,coupe,vue générale	4928	3264	300	2016-08-24	équipe	Paléotime
OA10280_ALG16_PNT_0513.JPG	Fenêtre 07, sous-fenêtre de fouille, coupe PT1143-1144	anomalie,coupe,vue générale	2957	1958	300	2016-08-24	équipe	Paléotime
OA10280_ALG16_PNT_0514.JPG	Fenêtre 07, sous-fenêtre de fouille, coupe PT1143-1144	anomalie,coupe,vue générale	4928	3264	300	2016-08-24	équipe	Paléotime
OA10280_ALG16_PNT_0515.JPG	Fenêtre 07, sous-fenêtre de fouille, coupe PT1143-1144	anomalie,coupe,vue générale	4928	3264	300	2016-08-24	équipe	Paléotime
OA10280_ALG16_PNT_0516.JPG	Fenêtre 07, sous-fenêtre de fouille, coupe PT1143-1144	anomalie,coupe,vue générale	4928	3264	600	2016-08-24	équipe	Paléotime
OA10280_ALG16_PNT_0517.JPG	Fenêtre 10, évolution séchage	anomalie,chablis,vue générale	4896	3672	350	2016-08-24	équipe	Paléotime
OA10280_ALG16_PNT_0518.JPG	Fenêtre 10, évolution séchage	anomalie,chablis,vue générale	4896	3672	350	2016-08-24	équipe	Paléotime
OA10280_ALG16_PNT_0519.JPG	Fenêtre 10, évolution séchage	anomalie,chablis,vue générale	4896	3672	350	2016-08-24	équipe	Paléotime
OA10280_ALG16_PNT_0520.JPG	Fenêtre 10, évolution séchage	anomalie,chablis,vue générale	4896	3672	350	2016-08-24	équipe	Paléotime
OA10280_ALG16_PNT_0521.JPG	Fenêtre 10, évolution séchage	anomalie,chablis,vue générale	4896	3672	350	2016-08-24	équipe	Paléotime
OA10280_ALG16_PNT_0522.JPG	Fenêtre 09	anomalie,vue générale	4896	3672	350	2016-08-24	équipe	Paléotime
OA10280_ALG16_PNT_0523.JPG	Fenêtre 09	anomalie,vue générale	4896	3672	350	2016-08-24	équipe	Paléotime
OA10280_ALG16_PNT_0524.JPG	Fenêtre 09	anomalie,vue générale	3547	2640	350	2016-08-24	équipe	Paléotime
OA10280_ALG16_PNT_0525.JPG	Fenêtre 09	anomalie,vue générale	4276	3036	350	2016-08-24	équipe	Paléotime
OA10280_ALG16_PNT_0526.JPG	ST11, fouille quadrant A1	anomalie,concentration,vue générale	4896	3672	350	2016-08-24	équipe	Paléotime
OA10280_ALG16_PNT_0527.JPG	ST11, fouille quadrant A1	anomalie,concentration,vue générale	4896	3672	350	2016-08-24	équipe	Paléotime
OA10280_ALG16_PNT_0528.JPG	ST11, fouille quadrant A1	anomalie,concentration,vue générale	4896	3672	350	2016-08-24	équipe	Paléotime
OA10280_ALG16_PNT_0529.JPG	ST11, fouille quadrant A1	anomalie,concentration,vue générale	4896	3672	350	2016-08-24	équipe	Paléotime
OA10280_ALG16_PNT_0530.JPG	ST11, échantillons de blocs de pierre de A1	lithique,mobilier,terrain	4896	3672	350	2016-08-24	équipe	Paléotime
OA10280_ALG16_PNT_0531.JPG	ST04, blocs de pierre par passe mécanique	lithique,mobilier,terrain,vue zénithale	4896	3672	350	2016-08-24	équipe	Paléotime
OA10280_ALG16_PNT_0532.JPG	ST04, blocs de pierre par passe mécanique	lithique,mobilier,terrain,vue zénithale	4062	3672	350	2016-08-24	équipe	Paléotime
OA10280_ALG16_PNT_0533.JPG	ST04, blocs de pierre par passe mécanique	lithique,mobilier,terrain,vue zénithale	4896	3672	350	2016-08-24	équipe	Paléotime
OA10280_ALG16_PNT_0534.JPG	ST04, blocs de pierre par passe mécanique	lithique,mobilier,terrain,vue zénithale	3672	3948	350	2016-08-24	équipe	Paléotime

Section 3 – Inventaires techniques et scientifiques

ALG16\_inventaire\_photos : page 12/16

Nom de fichier	Description	Mots-clés	PixelX Dimension	PixelY Dimension	Résolution	Date	Auteur	Copyright
OA10280_ALG16_PNT_0535.JPG	ST04, blocs de pierre par passe mécanique	lithique,mobilier,terrain,vue zénithale	1440	1080	350	2016-08-24	équipe	Paléotime
OA10280_ALG16_PNT_0536.JPG	ST04, blocs de pierre par passe mécanique	lithique,mobilier,terrain,vue zénithale	3672	3936	350	2016-08-24	équipe	Paléotime
OA10280_ALG16_PNT_0537.JPG	ST04, blocs de pierre par passe mécanique	lithique,mobilier,terrain,vue zénithale	3672	4176	350	2016-08-24	équipe	Paléotime
OA10280_ALG16_PNT_0538.JPG	ST04, blocs de pierre par passe mécanique	lithique,mobilier,terrain,vue zénithale	2916	2940	350	2016-08-24	équipe	Paléotime
OA10280_ALG16_PNT_0539.JPG	CP 2.2, évolution du séchage	coupe,méthodologie,vue générale	4928	3264	300	2016-08-24	équipe	Paléotime
OA10280_ALG16_PNT_0540.JPG	CP 2.2, évolution du séchage	coupe,méthodologie,vue générale	4928	3264	300	2016-08-24	équipe	Paléotime
OA10280_ALG16_PNT_0541.JPG	CP 2.2, évolution du séchage	coupe,méthodologie,vue générale	4928	3264	300	2016-08-24	équipe	Paléotime
OA10280_ALG16_PNT_0542.JPG	CP 2.2, évolution du séchage	coupe,méthodologie,vue générale	4859	2720	300	2016-08-24	équipe	Paléotime
OA10280_ALG16_PNT_0543.JPG	CP 2.2, évolution du séchage	coupe,méthodologie,vue générale	4928	3264	300	2016-08-24	équipe	Paléotime
OA10280_ALG16_PNT_0544.JPG	Fenêtre 02, fouille manuelle fine de la sous-fenêtre	anomalie,fouille en cours,vue générale	4928	3264	300	2016-08-24	équipe	Paléotime
OA10280_ALG16_PNT_0545.JPG	Fenêtre 02, fouille manuelle fine de la sous-fenêtre	anomalie,fouille en cours,vue zénithale	4928	3264	300	2016-08-24	équipe	Paléotime
OA10280_ALG16_PNT_0546.JPG	Fenêtre 02, fouille manuelle fine de la sous-fenêtre	anomalie,fouille en cours,vue zénithale	4724	3129	600	2016-08-24	équipe	Paléotime
OA10280_ALG16_PNT_0547.JPG	Fenêtre 02, fouille manuelle fine de la sous-fenêtre	anomalie,fouille en cours,vue zénithale	4928	3264	300	2016-08-24	équipe	Paléotime
OA10280_ALG16_PNT_0548.JPG	Fenêtre 02, fouille manuelle fine de la sous-fenêtre	anomalie,fouille en cours,vue zénithale	4928	3264	300	2016-08-24	équipe	Paléotime
OA10280_ALG16_PNT_0549.JPG	Fenêtre 02, fouille manuelle fine de la sous-fenêtre	anomalie,fouille en cours,vue zénithale	4928	3264	300	2016-08-24	équipe	Paléotime
OA10280_ALG16_PNT_0550.JPG	Fenêtre 02, fouille manuelle fine de la sous-fenêtre	anomalie,fouille en cours,vue zénithale	4928	3264	300	2016-08-24	équipe	Paléotime
OA10280_ALG16_PNT_0551.JPG	Fenêtre 02, fouille manuelle fine de la sous-fenêtre	anomalie,fouille en cours,vue zénithale	4928	3264	300	2016-08-24	équipe	Paléotime
OA10280_ALG16_PNT_0552.JPG	Fenêtre 02, fouille manuelle fine de la sous-fenêtre	anomalie,fouille en cours,vue zénithale	3543	5350	600	2016-08-24	équipe	Paléotime
OA10280_ALG16_PNT_0553.JPG	Fenêtre 02, fouille manuelle fine de la sous-fenêtre	anomalie,fouille en cours,vue zénithale	4928	3264	300	2016-08-24	équipe	Paléotime
OA10280_ALG16_PNT_0554.JPG	Fenêtre 02, fouille manuelle fine de la sous-fenêtre	anomalie,fouille en cours,vue zénithale	4928	3264	300	2016-08-24	équipe	Paléotime
OA10280_ALG16_PNT_0555.JPG	Fenêtre 02, fouille manuelle fine de la sous-fenêtre	anomalie,fouille en cours,vue zénithale	4928	3264	300	2016-08-24	équipe	Paléotime
OA10280_ALG16_PNT_0556.JPG	Fenêtre 02, fouille manuelle fine de la sous-fenêtre	anomalie,fouille en cours,vue zénithale	2971	4485	600	2016-08-24	équipe	Paléotime
OA10280_ALG16_PNT_0557.JPG	Fenêtre 02, fouille manuelle fine de la sous-fenêtre	anomalie,fouille en cours,vue zénithale	4896	3672	350	2016-08-24	équipe	Paléotime
OA10280_ALG16_PNT_0558.JPG	Fenêtre 02, fouille manuelle fine de la sous-fenêtre	anomalie,fouille en cours,vue zénithale	3039	2278	600	2016-08-24	équipe	Paléotime
OA10280_ALG16_PNT_0559.JPG	Fenêtre 02, fouille manuelle fine de la sous-fenêtre	anomalie,fouille en cours,vue zénithale	4896	3672	350	2016-08-24	équipe	Paléotime
OA10280_ALG16_PNT_0560.JPG	Fenêtre 02, fouille manuelle fine de la sous-fenêtre	anomalie,fouille en cours,vue zénithale	4928	3264	300	2016-08-24	équipe	Paléotime
OA10280_ALG16_PNT_0561.JPG	Fenêtre 02, fouille manuelle fine de la sous-fenêtre	anomalie,fouille en cours,vue zénithale	4928	3264	300	2016-08-24	équipe	Paléotime
OA10280_ALG16_PNT_0562.JPG	Fenêtre 02, fouille manuelle fine de la sous-fenêtre	anomalie,fouille en cours,vue zénithale	4928	3264	300	2016-08-24	équipe	Paléotime
OA10280_ALG16_PNT_0563.JPG	Fenêtre 02, fouille manuelle fine de la sous-fenêtre	anomalie,fouille en cours,vue zénithale	4928	3264	300	2016-08-24	équipe	Paléotime
OA10280_ALG16_PNT_0564.JPG	Fenêtre 02, fouille manuelle fine de la sous-fenêtre	anomalie,fouille en cours,vue zénithale	4928	3264	300	2016-08-24	équipe	Paléotime
OA10280_ALG16_PNT_0565.JPG	Fenêtre 02, fouille manuelle fine de la sous-fenêtre	anomalie,fouille en cours,vue zénithale	2631	3972	600	2016-08-24	équipe	Paléotime
OA10280_ALG16_PNT_0566.JPG	Fenêtre 02, fouille manuelle fine de la sous-fenêtre	anomalie,fouille en cours,vue zénithale	4453	3253	600	2016-08-24	équipe	Paléotime
OA10280_ALG16_PNT_0567.JPG	Fenêtre 02, fouille manuelle fine de la sous-fenêtre	anomalie,fouille en cours,vue zénithale	4928	3264	300	2016-08-24	équipe	Paléotime
OA10280_ALG16_PNT_0568.JPG	Fenêtre 02, fouille manuelle fine de la sous-fenêtre	anomalie,fouille en cours,vue zénithale	4928	3264	300	2016-08-24	équipe	Paléotime
OA10280_ALG16_PNT_0569.JPG	Fenêtre 02, fouille manuelle fine de la sous-fenêtre	anomalie,fouille en cours,vue zénithale	2752	4154	600	2016-08-24	équipe	Paléotime
OA10280_ALG16_PNT_0570.JPG	Fenêtre 02, fouille manuelle fine de la sous-fenêtre	anomalie,fouille en cours,vue zénithale	4928	3264	300	2016-08-24	équipe	Paléotime



Section 3 – Inventaires techniques et scientifiques

ALG16\_inventaire\_photos : page 14/16

Nom de fichier	Description	Mots-clés	PixelX Dimension	PixelY Dimension	Résolution	Date	Auteur	Copyright
OA10280_ALG16_PNT_0607.JPG	Décolement en plaque des interfaces UPS 2/3	méthodologie,vue générale	4928	3264	300	2016-08-25	équipe	Paléotime
OA10280_ALG16_PNT_0608.JPG	Décolement en plaque des interfaces UPS 2/3	méthodologie,vue générale	4928	3264	300	2016-08-25	équipe	Paléotime
OA10280_ALG16_PNT_0609.JPG	Décolement en plaque des interfaces UPS 2/3	méthodologie,vue générale	4928	3264	300	2016-08-25	équipe	Paléotime
OA10280_ALG16_PNT_0610.JPG	Décolement en plaque des interfaces UPS 2/3	méthodologie,vue générale	4928	3264	300	2016-08-25	équipe	Paléotime
OA10280_ALG16_PNT_0611.JPG	Décolement en plaque des interfaces UPS 2/3	méthodologie,vue générale	4928	3264	300	2016-08-25	équipe	Paléotime
OA10280_ALG16_PNT_0612.JPG	Décolement en plaque des interfaces UPS 1/2	méthodologie,vue générale	4928	3264	300	2016-08-25	équipe	Paléotime
OA10280_ALG16_PNT_0613.JPG	Décolement en plaque des interfaces UPS 1/2	méthodologie,vue générale	4928	3264	300	2016-08-25	équipe	Paléotime
OA10280_ALG16_PNT_0614.JPG	Décolement en plaque des interfaces UPS 1/2	méthodologie,vue générale	4928	3264	300	2016-08-25	équipe	Paléotime
OA10280_ALG16_PNT_0615.JPG	Décolement en plaque des interfaces UPS 1/2	méthodologie,vue générale	4928	3264	300	2016-08-25	équipe	Paléotime
OA10280_ALG16_PNT_0616.JPG	Décolement en plaque des interfaces UPS 1/2	méthodologie,vue générale	4928	3264	300	2016-08-25	équipe	Paléotime
OA10280_ALG16_PNT_0617.JPG	Décolement en plaque des interfaces UPS 1/2	méthodologie,vue générale	4928	3264	300	2016-08-25	équipe	Paléotime
OA10280_ALG16_PNT_0618.JPG	Décolement en plaque des interfaces UPS 1/2	méthodologie,vue générale	4928	3264	300	2016-08-25	équipe	Paléotime
OA10280_ALG16_PNT_0619.jpg	Fenêtre 10, vue dans le sens de la chute de l'arbre	chablis,vue générale	2362	3150	300	2016-08-25	équipe	Paléotime
OA10280_ALG16_PNT_0620.jpg	ST08, vue contextuelle avec anomalies claires	chablis,vue générale	3400	2550	300	2016-08-25	équipe	Paléotime
OA10280_ALG16_PNM_0001.jpg	PT725	céramique,mobilier	1560	1140	72	2016-10-19	AH	Paléotime
OA10280_ALG16_PNM_0002.jpg	PT725	céramique,mobilier	1533	1128	72	2016-10-19	AH	Paléotime
OA10280_ALG16_PNM_0003.jpg	PT526	céramique,mobilier	3132	1060	72	2016-10-21	AH	Paléotime
OA10280_ALG16_PNM_0004.jpg	PT526	céramique,mobilier	1272	343	300	2016-10-21	AH	Paléotime
OA10280_ALG16_PNM_0005.jpg	PT680	céramique,mobilier	1246	409	300	2016-10-21	AH	Paléotime
OA10280_ALG16_PNM_0006.jpg	PT547	céramique,mobilier	1655	992	300	2016-10-21	AH	Paléotime
OA10280_ALG16_PNM_0007.jpg	PT547	céramique,mobilier	2884	1792	72	2016-10-21	AH	Paléotime
OA10280_ALG16_PNM_0008.jpg	PT651	céramique,mobilier	1287	1029	300	2016-10-21	AH	Paléotime
OA10280_ALG16_PNM_0009.jpg	PT439	céramique,mobilier	2217	803	300	2016-10-21	AH	Paléotime
OA10280_ALG16_PNM_0010.jpg	PT420	céramique,mobilier	1267	1161	300	2016-10-21	AH	Paléotime
OA10280_ALG16_PNM_0011.jpg	PT437	céramique,mobilier	719	834	300	2016-10-21	AH	Paléotime
OA10280_ALG16_PNM_0012.jpg	PT135	céramique,mobilier	902	791	300	2016-10-23	AH	Paléotime
OA10280_ALG16_PNM_0013.jpg	PT564	céramique,mobilier	958	669	300	2016-10-23	AH	Paléotime
OA10280_ALG16_PNM_0014.jpg	PT666	céramique,mobilier	894	691	300	2016-10-23	AH	Paléotime
OA10280_ALG16_PNM_0015.jpg	PT553	céramique,mobilier	1518	1197	72	2016-10-23	AH	Paléotime
OA10280_ALG16_PNM_0016.jpg	PT553	céramique,mobilier	1332	956	300	2016-10-23	AH	Paléotime
OA10280_ALG16_PNM_0017.jpg	PT514	céramique,mobilier	801	513	300	2016-10-23	AH	Paléotime
OA10280_ALG16_PNM_0018.jpg	PT514	céramique,mobilier	1254	837	72	2016-10-23	AH	Paléotime
OA10280_ALG16_PNM_0019.jpg	PT115	céramique,mobilier	1178	659	300	2016-10-23	AH	Paléotime
OA10280_ALG16_PNM_0020.jpg	PT164	céramique,mobilier	1539	594	300	2016-10-27	AH	Paléotime
OA10280_ALG16_PNM_0021.jpg	PT555	céramique,mobilier	1357	841	300	2016-10-27	AH	Paléotime
OA10280_ALG16_PNM_0022.jpg	PT228	céramique,mobilier	739	510	300	2016-10-27	AH	Paléotime
OA10280_ALG16_PNM_0023.jpg	ST04, terre cuite archi.	mobilier,TCA	2613	2180	300	2016-10-23	AH	Paléotime
OA10280_ALG16_PNM_0024.jpg	ST04, terre cuite archi.	mobilier,TCA	3264	2448	72	2016-10-23	AH	Paléotime
OA10280_ALG16_PNM_0025.JPG	ST04, terre cuite archi.	mobilier,TCA	2358	1874	300	2016-08-24	AH	Paléotime
OA10280_ALG16_PNM_0026.jpg	ST04, terre cuite archi.	mobilier,TCA	2589	2148	300	2016-10-23	AH	Paléotime
OA10280_ALG16_PNM_0027.jpg	PT155, torchis	mobilier,terre cuite	2352	1473	72	2016-10-23	AH	Paléotime
OA10280_ALG16_PNM_0028.jpg	PT155, torchis	mobilier,terre cuite	1819	1057	300	2016-10-23	AH	Paléotime
OA10280_ALG16_PNM_0029.jpg	PT155, torchis	mobilier,terre cuite	1690	1015	300	2016-10-23	AH	Paléotime
OA10280_ALG16_PNM_0030.JPG	PT005	lithique,mobilier,vue zénithale	1259	1679	350	2016-12-14	AH	Paléotime
OA10280_ALG16_PNM_0031.JPG	PT007	lithique,mobilier,vue zénithale	1260	1682	350	2016-12-14	AH	Paléotime
OA10280_ALG16_PNM_0032.JPG	PT011	lithique,mobilier,vue zénithale	2093	2791	350	2016-12-14	AH	Paléotime
OA10280_ALG16_PNM_0033.JPG	PT011	lithique,mobilier,vue zénithale	2093	2791	350	2016-12-14	AH	Paléotime
OA10280_ALG16_PNM_0034.JPG	PT014	lithique,mobilier,vue zénithale	1401	2013	350	2016-12-14	AH	Paléotime
OA10280_ALG16_PNM_0035.JPG	PT014	lithique,mobilier,vue zénithale	1170	1776	350	2016-12-14	AH	Paléotime
OA10280_ALG16_PNM_0036.JPG	PT017	lithique,mobilier,vue zénithale	1500	2109	350	2016-12-14	AH	Paléotime
OA10280_ALG16_PNM_0037.JPG	PT017	lithique,mobilier,vue zénithale	1314	2076	350	2016-12-14	AH	Paléotime
OA10280_ALG16_PNM_0038.JPG	PT017	lithique,mobilier,vue zénithale	1446	1855	350	2016-12-14	AH	Paléotime
OA10280_ALG16_PNM_0039.JPG	PT016	lithique,mobilier,vue zénithale	1557	2076	350	2016-12-14	AH	Paléotime
OA10280_ALG16_PNM_0040.JPG	PT016	lithique,mobilier,vue zénithale	1557	2076	350	2016-12-14	AH	Paléotime

ALG16\_inventaire\_photos : page 15/16

Nom de fichier	Description	Mots-clés	PixelX Dimension	PixelY Dimension	Résolution	Date	Auteur	Copyright
OA10280_ALG16_PNM_0041.JPG	PT010	lithique,mobilier,vue zénithale	2354	2761	350	2016-12-14	AH	Paléotime
OA10280_ALG16_PNM_0042.JPG	PT010	lithique,mobilier,vue zénithale	2202	3130	350	2016-12-14	AH	Paléotime
OA10280_ALG16_PNM_0043.JPG	PT022	lithique,mobilier,vue zénithale	4896	3672	350	2016-12-14	AH	Paléotime
OA10280_ALG16_PNM_0044.JPG	PT021	lithique,mobilier,vue zénithale	1322	1763	350	2016-12-14	AH	Paléotime
OA10280_ALG16_PNM_0045.JPG	PT066	lithique,mobilier,vue zénithale	1159	1159	350	2016-12-14	AH	Paléotime
OA10280_ALG16_PNM_0046.JPG	PT067	lithique,mobilier,vue zénithale	1696	2262	350	2016-12-14	AH	Paléotime
OA10280_ALG16_PNM_0047.JPG	PT069	lithique,mobilier,vue zénithale	1036	1488	350	2016-12-14	AH	Paléotime
OA10280_ALG16_PNM_0048.JPG	PT089	lithique,mobilier,vue zénithale	4896	3672	350	2016-12-14	AH	Paléotime
OA10280_ALG16_PNM_0049.JPG	PT089	lithique,mobilier,vue zénithale	1203	1450	350	2016-12-14	AH	Paléotime
OA10280_ALG16_PNM_0050.JPG	PT099	lithique,mobilier,vue zénithale	1432	1909	350	2016-12-15	AH	Paléotime
OA10280_ALG16_PNM_0051.JPG	PT099	lithique,mobilier,vue zénithale	4896	3672	350	2016-12-15	AH	Paléotime
OA10280_ALG16_PNM_0052.JPG	PT120	lithique,mobilier,vue zénithale	4896	3672	350	2016-12-15	AH	Paléotime
OA10280_ALG16_PNM_0053.JPG	PT120	lithique,mobilier,vue zénithale	4896	3672	350	2016-12-15	AH	Paléotime
OA10280_ALG16_PNM_0054.JPG	PT121	lithique,mobilier,vue zénithale	1439	1919	350	2016-12-15	AH	Paléotime
OA10280_ALG16_PNM_0055.JPG	PT121	lithique,mobilier,vue zénithale	1175	1567	350	2016-12-15	AH	Paléotime
OA10280_ALG16_PNM_0056.JPG	PT137	lithique,mobilier,vue zénithale	987	1406	350	2016-12-15	AH	Paléotime
OA10280_ALG16_PNM_0057.JPG	PT142	lithique,mobilier,vue zénithale	1518	1138	350	2016-12-15	AH	Paléotime
OA10280_ALG16_PNM_0058.JPG	PT142	lithique,mobilier,vue zénithale	1537	1153	350	2016-12-15	AH	Paléotime
OA10280_ALG16_PNM_0059.JPG	PT142	lithique,mobilier,vue zénithale	1537	1153	350	2016-12-15	AH	Paléotime
OA10280_ALG16_PNM_0060.JPG	PT142	lithique,mobilier,vue zénithale	1537	1153	350	2016-12-15	AH	Paléotime
OA10280_ALG16_PNM_0061.JPG	PT142	lithique,mobilier,vue zénithale	1138	1518	350	2016-12-15	AH	Paléotime
OA10280_ALG16_PNM_0062.JPG	PT143	lithique,mobilier,vue zénithale	4896	3672	350	2016-12-16	AH	Paléotime
OA10280_ALG16_PNM_0063.JPG	PT143	lithique,mobilier,vue zénithale	4896	3672	350	2016-12-16	AH	Paléotime
OA10280_ALG16_PNM_0064.JPG	PT154	lithique,mobilier,vue zénithale	2093	2291	350	2016-12-16	AH	Paléotime
OA10280_ALG16_PNM_0065.JPG	PT154	lithique,mobilier,vue zénithale	4896	3672	350	2016-12-16	AH	Paléotime
OA10280_ALG16_PNM_0066.JPG	PT156	lithique,mobilier,vue zénithale	1248	1665	350	2016-12-16	AH	Paléotime
OA10280_ALG16_PNM_0067.JPG	PT156	lithique,mobilier,vue zénithale	1248	1665	350	2016-12-16	AH	Paléotime
OA10280_ALG16_PNM_0068.JPG	PT160	lithique,mobilier,vue zénithale	1248	1665	350	2016-12-16	AH	Paléotime
OA10280_ALG16_PNM_0069.JPG	PT162	lithique,mobilier,vue zénithale	1108	1442	350	2016-12-16	AH	Paléotime
OA10280_ALG16_PNM_0070.JPG	PT163	lithique,mobilier,vue zénithale	1065	1420	350	2016-12-16	AH	Paléotime
OA10280_ALG16_PNM_0071.JPG	PT163	lithique,mobilier,vue zénithale	1065	1420	350	2016-12-16	AH	Paléotime
OA10280_ALG16_PNM_0072.JPG	PT170	lithique,mobilier,vue zénithale	1237	1650	350	2016-12-16	AH	Paléotime
OA10280_ALG16_PNM_0073.JPG	PT170	lithique,mobilier,vue zénithale	1237	1650	350	2016-12-16	AH	Paléotime
OA10280_ALG16_PNM_0074.JPG	PT154, PT147; remontage	lithique,mobilier,vue zénithale	1395	1860	350	2016-12-16	AH	Paléotime
OA10280_ALG16_PNM_0075.JPG	PT139, PT140, PT143; remontage	lithique,mobilier,vue zénithale	4896	3672	350	2016-12-16	AH	Paléotime
OA10280_ALG16_PNM_0076.JPG	PT139, PT140, PT143; remontage	lithique,mobilier,vue zénithale	2093	2791	350	2016-12-16	AH	Paléotime
OA10280_ALG16_PNM_0077.JPG	PT139, PT140, PT143; remontage	lithique,mobilier,vue zénithale	2093	2791	350	2016-12-16	AH	Paléotime
OA10280_ALG16_PNM_0078.JPG	PT139, PT140, PT143; remontage	lithique,mobilier,vue zénithale	4896	3672	350	2016-12-16	AH	Paléotime
OA10280_ALG16_PNM_0079.JPG	PT184	lithique,mobilier,vue zénithale	4896	3672	350	2016-12-16	AH	Paléotime
OA10280_ALG16_PNM_0080.JPG	PT184	lithique,mobilier,vue zénithale	4896	3672	350	2016-12-16	AH	Paléotime
OA10280_ALG16_PNM_0081.JPG	PT207	lithique,mobilier,vue zénithale	1050	1478	350	2016-12-16	AH	Paléotime
OA10280_ALG16_PNM_0082.JPG	PT229	lithique,mobilier,vue zénithale	1395	1860	350	2016-12-16	AH	Paléotime
OA10280_ALG16_PNM_0083.JPG	PT229	lithique,mobilier,vue zénithale	1395	1860	350	2016-12-16	AH	Paléotime
OA10280_ALG16_PNM_0084.JPG	PT229	lithique,mobilier,vue zénithale	1395	1860	350	2016-12-16	AH	Paléotime
OA10280_ALG16_PNM_0085.JPG	PT227	lithique,mobilier,vue zénithale	4896	3672	350	2016-12-16	AH	Paléotime
OA10280_ALG16_PNM_0086.JPG	PT227	lithique,mobilier,vue zénithale	4896	3672	350	2016-12-16	AH	Paléotime
OA10280_ALG16_PNM_0087.JPG	PT227	lithique,mobilier,vue zénithale	4896	3672	350	2016-12-16	AH	Paléotime
OA10280_ALG16_PNM_0088.JPG	PT230	lithique,mobilier,vue zénithale	4896	3672	350	2016-12-16	AH	Paléotime
OA10280_ALG16_PNM_0089.JPG	PT230	lithique,mobilier,vue zénithale	4896	3672	350	2016-12-16	AH	Paléotime
OA10280_ALG16_PNM_0090.JPG	PT244	lithique,mobilier,vue zénithale	1149	1532	350	2016-12-16	AH	Paléotime
OA10280_ALG16_PNM_0091.JPG	PT392	lithique,mobilier,vue zénithale	1080	1439	350	2016-12-17	AH	Paléotime
OA10280_ALG16_PNM_0092.JPG	PT392	lithique,mobilier,vue zénithale	1080	1439	350	2016-12-17	AH	Paléotime
OA10280_ALG16_PNM_0093.JPG	PT400	lithique,mobilier,vue zénithale	4896	3672	350	2016-12-17	AH	Paléotime
OA10280_ALG16_PNM_0094.JPG	PT400	lithique,mobilier,vue zénithale	4896	3672	350	2016-12-17	AH	Paléotime
OA10280_ALG16_PNM_0095.JPG	PT402	lithique,mobilier,vue zénithale	1202	1639	350	2016-12-17	AH	Paléotime
OA10280_ALG16_PNM_0096.JPG	PT402	lithique,mobilier,vue zénithale	1087	1639	350	2016-12-17	AH	Paléotime
OA10280_ALG16_PNM_0097.JPG	PT404	lithique,mobilier,vue zénithale	1480	1973	350	2016-12-17	AH	Paléotime
OA10280_ALG16_PNM_0098.JPG	PT404	lithique,mobilier,vue zénithale	1480	1973	350	2016-12-17	AH	Paléotime
OA10280_ALG16_PNM_0099.JPG	PT416	lithique,mobilier,vue zénithale	1311	1748	350	2016-12-18	AH	Paléotime
OA10280_ALG16_PNM_0100.JPG	PT416	lithique,mobilier,vue zénithale	1076	1435	350	2016-12-18	AH	Paléotime
OA10280_ALG16_PNM_0101.JPG	PT416	lithique,mobilier,vue zénithale	1157	1542	350	2016-12-18	AH	Paléotime
OA10280_ALG16_PNM_0102.JPG	PT416	lithique,mobilier,vue zénithale	1094	1459	350	2016-12-18	AH	Paléotime
OA10280_ALG16_PNM_0103.JPG	PT416	lithique,mobilier,vue zénithale	1094	1459	350	2016-12-18	AH	Paléotime
OA10280_ALG16_PNM_0104.JPG	PT421	lithique,mobilier,vue zénithale	1304	1738	350	2016-12-18	AH	Paléotime
OA10280_ALG16_PNM_0105.JPG	PT421	lithique,mobilier,vue zénithale	1304	1738	350	2016-12-18	AH	Paléotime
OA10280_ALG16_PNM_0106.JPG	PT423	lithique,mobilier,vue zénithale	1005	1531	350	2016-12-18	AH	Paléotime
OA10280_ALG16_PNM_0107.JPG	PT423	lithique,mobilier,vue zénithale	874	1529	350	2016-12-18	AH	Paléotime

Section 3 – Inventaires techniques et scientifiques

ALG16\_inventaire\_photos : page 16/16

Nom de fichier	Description	Mots-clés	PixelX Dimension	PixelY Dimension	Résolution	Date	Auteur	Copyright
OA10280_ALG16_PNM_0108.JPG	PT434	lithique,mobilier,vue zénithale	4896	3672	350	2016-12-18	AH	Paléotime
OA10280_ALG16_PNM_0109.JPG	PT472	lithique,mobilier,vue zénithale	1304	1738	350	2016-12-18	AH	Paléotime
OA10280_ALG16_PNM_0110.JPG	PT483	lithique,mobilier,vue zénithale	3672	4896	350	2016-12-18	AH	Paléotime
OA10280_ALG16_PNM_0111.JPG	PT483	lithique,mobilier,vue zénithale	1322	1763	350	2016-12-18	AH	Paléotime
OA10280_ALG16_PNM_0112.JPG	PT483	lithique,mobilier,vue zénithale	1127	1503	350	2016-12-18	AH	Paléotime
OA10280_ALG16_PNM_0113.JPG	PT484	lithique,mobilier,vue zénithale	4896	3672	350	2016-12-18	AH	Paléotime
OA10280_ALG16_PNM_0114.JPG	PT485	lithique,mobilier,vue zénithale	1579	2105	350	2016-12-18	AH	Paléotime
OA10280_ALG16_PNM_0115.JPG	PT485	lithique,mobilier,vue zénithale	1744	2326	350	2016-12-18	AH	Paléotime
OA10280_ALG16_PNM_0116.JPG	PT488	lithique,mobilier,vue zénithale	4896	3672	350	2016-12-18	AH	Paléotime
OA10280_ALG16_PNM_0117.JPG	PT490	lithique,mobilier,vue zénithale	4896	3672	350	2016-12-18	AH	Paléotime
OA10280_ALG16_PNM_0118.JPG	PT490	lithique,mobilier,vue zénithale	4896	3672	350	2016-12-18	AH	Paléotime
OA10280_ALG16_PNM_0119.JPG	PT492	lithique,mobilier,vue zénithale	4896	3672	350	2016-12-18	AH	Paléotime
OA10280_ALG16_PNM_0120.JPG	PT500	lithique,mobilier,vue zénithale	1047	1763	350	2016-12-18	AH	Paléotime
OA10280_ALG16_PNM_0121.JPG	PT500	lithique,mobilier,vue zénithale	889	1669	350	2016-12-18	AH	Paléotime
OA10280_ALG16_PNM_0122.JPG	PT504	lithique,mobilier,vue zénithale	991	1784	350	2016-12-18	AH	Paléotime
OA10280_ALG16_PNM_0123.JPG	PT504	lithique,mobilier,vue zénithale	866	1772	350	2016-12-18	AH	Paléotime
OA10280_ALG16_PNM_0124.JPG	PT508	lithique,mobilier,vue zénithale	1480	1973	350	2016-12-18	AH	Paléotime
OA10280_ALG16_PNM_0125.JPG	PT508	lithique,mobilier,vue zénithale	1128	1588	350	2016-12-18	AH	Paléotime
OA10280_ALG16_PNM_0126.JPG	PT508	lithique,mobilier,vue zénithale	1175	1567	350	2016-12-18	AH	Paléotime
OA10280_ALG16_PNM_0127.JPG	PT509	lithique,mobilier,vue zénithale	1105	1978	350	2016-12-18	AH	Paléotime
OA10280_ALG16_PNM_0128.JPG	PT509	lithique,mobilier,vue zénithale	1084	1978	350	2016-12-18	AH	Paléotime
OA10280_ALG16_PNM_0129.JPG	PT515	lithique,mobilier,vue zénithale	1626	1793	350	2016-12-18	AH	Paléotime
OA10280_ALG16_PNM_0130.JPG	PT515	lithique,mobilier,vue zénithale	1593	1836	350	2016-12-18	AH	Paléotime
OA10280_ALG16_PNM_0131.JPG	PT521	lithique,mobilier,vue zénithale	997	1606	350	2016-12-18	AH	Paléotime
OA10280_ALG16_PNM_0132.JPG	PT523	lithique,mobilier,vue zénithale	4896	3672	350	2016-12-18	AH	Paléotime
OA10280_ALG16_PNM_0133.JPG	PT523	lithique,mobilier,vue zénithale	4896	3672	350	2016-12-18	AH	Paléotime
OA10280_ALG16_PNM_0134.JPG	PT536, lame de hache polie	lithique,mobilier,vue zénithale	1251	1938	350	2016-12-18	AH	Paléotime
OA10280_ALG16_PNM_0135.JPG	PT536, lame de hache polie	lithique,mobilier,vue zénithale	1058	1685	350	2016-12-18	AH	Paléotime
OA10280_ALG16_PNM_0136.JPG	PT536, lame de hache polie	lithique,mobilier,vue zénithale	1341	1862	350	2016-12-18	AH	Paléotime
OA10280_ALG16_PNM_0137.JPG	PT536, lame de hache polie	lithique,mobilier,vue zénithale	1083	1702	350	2016-12-18	AH	Paléotime
OA10280_ALG16_PNM_0138.JPG	PT566	lithique,mobilier,vue zénithale	4896	3672	350	2016-12-19	AH	Paléotime
OA10280_ALG16_PNM_0139.JPG	PT566	lithique,mobilier,vue zénithale	4896	3672	350	2016-12-19	AH	Paléotime
OA10280_ALG16_PNM_0140.JPG	PT572	lithique,mobilier,vue zénithale	1395	1860	350	2016-12-19	AH	Paléotime
OA10280_ALG16_PNM_0141.JPG	PT572	lithique,mobilier,vue zénithale	1175	1567	350	2016-12-19	AH	Paléotime
OA10280_ALG16_PNM_0142.JPG	PT573	lithique,mobilier,vue zénithale	1306	1450	350	2016-12-19	AH	Paléotime
OA10280_ALG16_PNM_0143.JPG	PT573	lithique,mobilier,vue zénithale	1277	1454	350	2016-12-19	AH	Paléotime
OA10280_ALG16_PNM_0144.JPG	PT617	lithique,mobilier,vue zénithale	4896	3672	350	2016-12-19	AH	Paléotime
OA10280_ALG16_PNM_0145.JPG	PT617	lithique,mobilier,vue zénithale	4896	3672	350	2016-12-19	AH	Paléotime
OA10280_ALG16_PNM_0146.JPG	PT631	lithique,mobilier,vue zénithale	1421	1895	350	2016-12-19	AH	Paléotime
OA10280_ALG16_PNM_0147.JPG	PT631	lithique,mobilier,vue zénithale	1209	970	350	2016-12-19	AH	Paléotime
OA10280_ALG16_PNM_0148.JPG	PT641	lithique,mobilier,vue zénithale	1142	1523	350	2016-12-19	AH	Paléotime
OA10280_ALG16_PNM_0149.JPG	PT641	lithique,mobilier,vue zénithale	1138	1518	350	2016-12-19	AH	Paléotime
OA10280_ALG16_PNM_0150.JPG	PT641	lithique,mobilier,vue zénithale	1153	1537	350	2016-12-19	AH	Paléotime
OA10280_ALG16_PNM_0151.JPG	PT641	lithique,mobilier,vue zénithale	1153	1537	350	2016-12-19	AH	Paléotime
OA10280_ALG16_PNM_0152.JPG	PT681, fgt hache polie	lithique,mobilier,vue zénithale	957	1693	350	2016-12-19	AH	Paléotime
OA10280_ALG16_PNM_0153.JPG	PT681, fgt hache polie	lithique,mobilier,vue zénithale	910	1698	350	2016-12-19	AH	Paléotime
OA10280_ALG16_PNM_0154.JPG	PT654	lithique,mobilier,vue zénithale	2020	2693	350	2016-12-19	AH	Paléotime
OA10280_ALG16_PNM_0155.JPG	PT654	lithique,mobilier,vue zénithale	1629	2555	350	2016-12-19	AH	Paléotime
OA10280_ALG16_PNM_0156.JPG	PT806	lithique,mobilier,vue zénithale	1587	1899	350	2016-12-19	AH	Paléotime
OA10280_ALG16_PNM_0157.JPG	PT806	lithique,mobilier,vue zénithale	1330	1813	350	2016-12-19	AH	Paléotime
OA10280_ALG16_PNM_0158.JPG	PT227, photo de terrain	lithique,mobilier	2054	3341	350	2016-08-14	AH	Paléotime
OA10280_ALG16_PNM_0159.JPG	PT 142, terrain	lithique,mobilier	1772	2145	350	2016-08-14	AH	Paléotime
OA10280_ALG16_PNM_0160.JPG	PT 207, terrain	lithique,mobilier	930	1524	350	2016-08-14	AH	Paléotime
OA10280_ALG16_PNM_0161.JPG	PT 51 et PT 229, terrain	lithique,mobilier	4896	3672	350	2016-08-14	AH	Paléotime
OA10280_ALG16_PNM_0162.JPG	PT 51 et PT 229, terrain	lithique,mobilier	1535	1398	350	2016-08-14	AH	Paléotime
OA10280_ALG16_PNM_0163.JPG	PT04, 06, 150, terrain	lithique,mobilier	4896	3672	350	2016-08-14	AH	Paléotime
OA10280_ALG16_PNM_0164.JPG	PT04, 06, 150, terrain	lithique,mobilier	1804	1475	350	2016-08-14	AH	Paléotime
OA10280_ALG16_PNM_0165.JPG	PT 536, terrain	lithique,mobilier	1416	1466	300	2016-08-24	AH	Paléotime
OA10280_ALG16_PNM_0166.JPG	PT 681, terrain	lithique,mobilier	1303	1256	300	2016-08-25	AH	Paléotime
OA10280_ALG16_PNM_0167.jpg	bloc non prélevé, terrain	lithique,mobilier	3264	2448	72	2016-08-25	AH	Paléotime
OA10280_ALG16_PNM_0168.jpg	bloc non prélevé, terrain	lithique,mobilier	3264	2448	72	2016-08-25	AH	Paléotime
OA10280_ALG16_PNM_0169.jpg	bloc non prélevé, terrain	lithique,mobilier	2448	3264	72	2016-08-25	AH	Paléotime

## 8 - Inventaire des points topographiés

OA10280\_ALG16\_inventaire08\_points\_topo.xls: 1/21

CODE OA	CODE SITE	NUM	X (est)	Y (nord)	Z (alti)	DATE	ÉLÉMENT TOPOGRAPHIÉ	TYPE DE POINT	IDENTIFIANT	DESCRIPTION/ COMMENTAIRES
10280	ALG16	PT0001	1614587.711874	8146239.392095	155.154698	08-08-2016	mobilier	terre_cuite		/
10280	ALG16	PT0002	1614588.459604	8146242.253685	155.088850	08-08-2016	mobilier	lithique		/
10280	ALG16	PT0003	1614589.831289	8146240.369282	155.176688	08-08-2016	mobilier	terre_cuite		/
10280	ALG16	PT0004	1614589.956044	8146240.721641	155.172505	08-08-2016	mobilier	lithique		/
10280	ALG16	PT0005	1614590.745787	8146241.610947	155.124076	08-08-2016	mobilier	lithique		/
10280	ALG16	PT0006	1614591.323926	8146241.377226	155.018428	08-08-2016	mobilier	lithique		/
10280	ALG16	PT0007	1614592.877573	8146245.224302	154.975217	08-08-2016	mobilier	lithique		/
10280	ALG16	PT0008	1614598.519905	8146244.850693	155.046495	08-08-2016	mobilier	terre_cuite		/
10280	ALG16	PT0009	1614598.890532	8146245.432056	155.046937	08-08-2016	mobilier	lithique		/
10280	ALG16	PT0010	1614599.500109	8146244.462139	155.127363	08-08-2016	mobilier	lithique		/
10280	ALG16	PT0011	1614597.975222	8146247.291369	154.996571	08-08-2016	mobilier	lithique		/
10280	ALG16	PT0012	1614597.707164	8146244.952103	154.953596	08-08-2016	mobilier	lithique		/
10280	ALG16	PT0013	1614596.225220	8146246.226386	154.900869	08-08-2016	mobilier	lithique		/
10280	ALG16	PT0014	1614600.009175	8146246.782135	154.873849	08-08-2016	mobilier	lithique		/
10280	ALG16	PT0015	1614601.555338	8146246.755530	154.870176	08-08-2016	mobilier	terre_cuite		/
10280	ALG16	PT0016	1614599.337205	8146247.919950	154.898462	08-08-2016	mobilier	terre_cuite		/
10280	ALG16	PT0017	1614602.475380	8146248.241245	155.062136	08-08-2016	mobilier	terre_cuite		/
10280	ALG16	PT0018	1614603.548771	8146248.204638	155.048550	08-08-2016	mobilier	lithique		/
10280	ALG16	PT0019	1614601.881910	8146248.204581	154.994980	08-08-2016	mobilier	lithique		/
10280	ALG16	PT0020	1614602.305090	8146248.028990	154.990977	08-08-2016	mobilier	lithique		/
10280	ALG16	PT0021	1614603.683300	8146247.376861	154.992779	08-08-2016	mobilier	lithique		/
10280	ALG16	PT0022	1614604.744466	8146250.496232	154.913594	08-08-2016	mobilier	lithique		/
10280	ALG16	PT0023	1614590.833873	8146242.624444	154.953790	08-08-2016	mobilier	lithique		/
10280	ALG16	PT0024	1614606.973057	8146249.269137	154.931789	08-08-2016	mobilier	lithique		/
10280	ALG16	PT0025	1614606.849988	8146249.574856	154.953310	08-08-2016	mobilier	lithique		/
10280	ALG16	PT0026	1614606.576706	8146249.913308	154.936396	08-08-2016	mobilier	lithique		/
10280	ALG16	PT0027	1614610.418470	8146251.150547	154.938377	08-08-2016	mobilier	terre_cuite		/
10280	ALG16	PT0028	1614611.032016	8146252.935240	154.913066	08-08-2016	mobilier	terre_cuite		/
10280	ALG16	PT0029	1614620.581175	8146256.891541	154.876869	08-08-2016	mobilier	terre_cuite		/
10280	ALG16	PT0030	1614631.447269	8146264.884278	154.826229	08-08-2016	mobilier	terre_cuite		/
10280	ALG16	PT0031	1614633.773773	8146264.843678	154.850310	08-08-2016	mobilier	terre_cuite		/
10280	ALG16	PT0032	1614634.030052	8146265.578147	154.834146	08-08-2016	mobilier	terre_cuite		/
10280	ALG16	PT0033	1614632.995363	8146265.285814	154.855183	08-08-2016	mobilier	terre_cuite		/
10280	ALG16	PT0034	1614633.137697	8146265.615763	154.854731	08-08-2016	mobilier	terre_cuite		/
10280	ALG16	PT0035	1614633.978627	8146265.736594	154.845291	08-08-2016	mobilier	lithique		/
10280	ALG16	PT0036	1614631.930806	8146265.653218	154.826505	08-08-2016	mobilier	terre_cuite		/
10280	ALG16	PT0037	1614632.723450	8146267.097122	154.808530	08-08-2016	mobilier	terre_cuite		/
10280	ALG16	PT0038	1614632.895490	8146266.698275	154.810561	08-08-2016	mobilier	lithique		/
10280	ALG16	PT0039	1614634.121037	8146266.567017	154.824833	08-08-2016	mobilier	lithique		/
10280	ALG16	PT0040	1614633.790065	8146267.576150	154.859367	08-08-2016	mobilier	terre_cuite		/
10280	ALG16	PT0041	1614633.287331	8146267.865925	154.741391	08-08-2016	mobilier	terre_cuite		/
10280	ALG16	PT0042	1614633.479582	8146265.873136	154.738444	08-08-2016	mobilier	terre_cuite		/
10280	ALG16	PT0043	1614631.531564	8146263.423549	154.714263	08-08-2016	mobilier	terre_cuite		/
10280	ALG16	PT0044	1614637.107991	8146267.857598	154.760802	08-08-2016	mobilier	terre_cuite		/
10280	ALG16	PT0045	1614635.664378	8146265.004641	154.725085	08-08-2016	mobilier	lithique		/
10280	ALG16	PT0046	1614636.395805	8146265.636380	154.747306	08-08-2016	mobilier	lithique		/
10280	ALG16	PT0047	1614636.268002	8146266.575959	154.733396	08-08-2016	mobilier	lithique		/
10280	ALG16	PT0048	1614636.183502	8146265.379089	154.769481	08-08-2016	mobilier	terre_cuite		/
10280	ALG16	PT0049	1614644.048595	8146269.879084	154.529355	08-08-2016	mobilier	lithique		/
10280	ALG16	PT0050	1614644.579369	8146271.204801	154.442039	08-08-2016	mobilier	lithique		/
10280	ALG16	PT0051	1614647.249688	8146275.418418	154.390173	08-08-2016	mobilier	lithique		/
10280	ALG16	PT0052	1614646.664913	8146275.772147	154.389435	08-08-2016	mobilier	terre_cuite		/
10280	ALG16	PT0053	1614646.661796	8146277.054945	154.355672	08-08-2016	mobilier	terre_cuite		/
10280	ALG16	PT0054	1614654.004338	8146275.285143	155.238906	08-08-2016	coupe	clou coupe	SDG02	/
10280	ALG16	PT0055	1614653.902063	8146275.332647	153.750604	08-08-2016	coupe	clou coupe	SDG02	/
10280	ALG16	PT0056	1614652.300228	8146274.711010	153.617079	08-08-2016	structure	contour	ST 02	mare/
10280	ALG16	PT0057	1614652.324265	8146275.186405	153.629014	08-08-2016	structure	contour	ST 02	mare/
10280	ALG16	PT0058	1614652.483574	8146276.122015	153.615676	08-08-2016	structure	contour	ST 02	mare/
10280	ALG16	PT0059	1614652.312260	8146276.998550	153.603013	08-08-2016	structure	contour	ST 02	mare/
10280	ALG16	PT0060	1614652.185961	8146277.406882	153.582085	08-08-2016	structure	contour	ST 02	mare/

Section 3 – Inventaires techniques et scientifiques

OA10280\_ALG16\_inventaire08\_points\_topo.xls: 2/21

CODE OA	CODE SITE	NUM	X (est)	Y (nord)	Z (alti)	DATE	ÉLÉMENT TOPOGRAPHIE	TYPE DE POINT	IDENTIFIANT	DESCRIPTION/ COMMENTAIRES
10280	ALG16	PT0061	1614652.019465	8146277.671318	153.604437	08-08-2016	structure	contour	ST 02	mare/
10280	ALG16	PT0062	1614650.771318	8146276.140733	154.444554	08-08-2016	mobilier	terre_cuite		/
10280	ALG16	PT0063	1614650.627696	8146276.250941	154.431430	08-08-2016	mobilier	terre_cuite		/
10280	ALG16	PT0064	1614582.716262	8146237.049891	155.272562	09-08-2016	mobilier	lithique		/
10280	ALG16	PT0065	1614582.035500	8146235.331081	155.163566	09-08-2016	mobilier	lithique		/
10280	ALG16	PT0066	1614581.135889	8146234.534515	155.220295	09-08-2016	mobilier	lithique		/
10280	ALG16	PT0067	1614579.221126	8146235.599778	155.238161	09-08-2016	mobilier	lithique		/
10280	ALG16	PT0068	1614579.368034	8146234.554278	155.281722	09-08-2016	mobilier	terre_cuite		/
10280	ALG16	PT0069	1614578.328428	8146233.630571	155.306393	09-08-2016	mobilier	lithique		/
10280	ALG16	PT0070	1614577.922578	8146234.947198	155.244994	09-08-2016	mobilier	lithique		/
10280	ALG16	PT0071	1614577.787718	8146234.849866	155.241179	09-08-2016	mobilier	lithique		/
10280	ALG16	PT0072	1614580.673269	8146234.774846	155.218106	09-08-2016	mobilier	terre_cuite		/
10280	ALG16	PT0073	1614578.698279	8146233.678792	155.236147	09-08-2016	mobilier	terre_cuite		/
10280	ALG16	PT0074	1614579.416950	8146234.705664	155.226848	09-08-2016	mobilier	lithique		/
10280	ALG16	PT0075	1614577.857973	8146233.437999	155.245365	09-08-2016	mobilier	lithique		/
10280	ALG16	PT0076	1614579.164788	8146236.031974	155.233552	09-08-2016	mobilier	lithique		/
10280	ALG16	PT0077	1614578.036852	8146234.688017	155.244498	09-08-2016	mobilier	lithique		/
10280	ALG16	PT0078	1614578.302233	8146234.621165	155.242988	09-08-2016	mobilier	lithique		/
10280	ALG16	PT0079	1614579.765730	8146234.729473	155.234246	09-08-2016	mobilier	terre_cuite		/
10280	ALG16	PT0080	1614577.063956	8146234.181871	155.235849	09-08-2016	mobilier	lithique		/
10280	ALG16	PT0081	1614577.004496	8146234.353126	155.254093	09-08-2016	mobilier	lithique		/
10280	ALG16	PT0082	1614577.321505	8146234.952848	155.243846	09-08-2016	mobilier	lithique		/
10280	ALG16	PT0083	1614578.204895	8146234.870952	155.217963	09-08-2016	mobilier	lithique		/
10280	ALG16	PT0084	1614579.506262	8146234.673801	155.174050	09-08-2016	mobilier	lithique		/
10280	ALG16	PT0085	1614579.879483	8146235.027511	155.179950	09-08-2016	mobilier	terre_cuite		/
10280	ALG16	PT0086	1614579.150770	8146234.207330	155.168218	09-08-2016	mobilier	terre_cuite		/
10280	ALG16	PT0087	1614578.229774	8146234.916087	155.175492	09-08-2016	mobilier	lithique		/
10280	ALG16	PT0088	1614579.011837	8146235.701722	155.180761	09-08-2016	mobilier	lithique		/
10280	ALG16	PT0089	1614578.990773	8146234.513118	155.174178	09-08-2016	mobilier	lithique		/
10280	ALG16	PT0090	1614580.679956	8146234.395440	155.160451	09-08-2016	mobilier	terre_cuite		/
10280	ALG16	PT0091	1614578.433308	8146235.842010	155.168725	09-08-2016	mobilier	lithique		/
10280	ALG16	PT0092	1614578.849762	8146234.627773	155.177924	09-08-2016	mobilier	lithique		/
10280	ALG16	PT0093	1614579.778237	8146234.533633	155.173831	09-08-2016	mobilier	lithique		/
10280	ALG16	PT0094	1614581.529976	8146234.395099	155.167215	09-08-2016	mobilier	terre_cuite		/
10280	ALG16	PT0095	1614581.250734	8146234.119076	155.169955	09-08-2016	mobilier	lithique		/
10280	ALG16	PT0096	1614581.297167	8146234.887145	155.157806	09-08-2016	mobilier	lithique		/
10280	ALG16	PT0097	1614577.784770	8146238.128734	155.120189	09-08-2016	mobilier	terre_cuite		/
10280	ALG16	PT0098	1614576.938191	8146237.825891	155.153115	09-08-2016	mobilier	lithique		/
10280	ALG16	PT0099	1614576.289669	8146233.447727	155.302850	09-08-2016	mobilier	lithique		/
10280	ALG16	PT0100	1614574.597816	8146232.984431	155.336859	09-08-2016	mobilier	terre_cuite		/
10280	ALG16	PT0101	1614574.790817	8146231.514450	155.357271	09-08-2016	mobilier	lithique		/
10280	ALG16	PT0102	1614575.465175	8146231.546199	155.329579	09-08-2016	mobilier	lithique		/
10280	ALG16	PT0103	1614576.322390	8146232.377419	155.252165	09-08-2016	mobilier	lithique		/
10280	ALG16	PT0104	1614576.084996	8146232.738520	155.250988	09-08-2016	mobilier	lithique		/
10280	ALG16	PT0105	1614576.392614	8146232.804650	155.248925	09-08-2016	mobilier	terre_cuite		/
10280	ALG16	PT0106	1614577.696808	8146232.229273	155.213210	09-08-2016	mobilier	lithique		/
10280	ALG16	PT0107	1614574.483336	8146232.376376	155.290654	09-08-2016	mobilier	lithique		/
10280	ALG16	PT0108	1614573.798797	8146233.015997	155.262310	09-08-2016	mobilier	terre_cuite		/
10280	ALG16	PT0109	1614573.880930	8146231.417468	155.306308	09-08-2016	mobilier	lithique		/
10280	ALG16	PT0110	1614573.820230	8146231.830032	155.282973	09-08-2016	mobilier	lithique		/
10280	ALG16	PT0111	1614577.758437	8146234.646144	155.174470	09-08-2016	mobilier	lithique		/
10280	ALG16	PT0112	1614576.661746	8146236.033031	155.186400	09-08-2016	mobilier	lithique		/
10280	ALG16	PT0113	1614576.560263	8146236.462025	155.176299	09-08-2016	mobilier	lithique		/
10280	ALG16	PT0114	1614576.644494	8146236.907709	155.179798	09-08-2016	mobilier	lithique		/
10280	ALG16	PT0115	1614576.750727	8146234.341806	155.166242	09-08-2016	mobilier	lithique		/
10280	ALG16	PT0116	1614576.088256	8146233.157044	155.217829	09-08-2016	mobilier	lithique		/
10280	ALG16	PT0117	1614575.006677	8146230.923969	155.254802	09-08-2016	mobilier	lithique		/
10280	ALG16	PT0118	1614574.945549	8146231.152155	155.255159	09-08-2016	mobilier	lithique		/
10280	ALG16	PT0119	1614574.231188	8146231.101988	155.249471	09-08-2016	mobilier	lithique		/
10280	ALG16	PT0120	1614574.374776	8146232.325757	155.224439	09-08-2016	mobilier	lithique		/

OA10280\_ALG16\_inventaire08\_points\_topo.xls: 3/21

CODE OA	CODE SITE	NUM	X (est)	Y (nord)	Z (alti)	DATE	ÉLÉMENT TOPOGRAPHIE	TYPE DE POINT	IDENTIFIANT	DESCRIPTION/ COMMENTAIRES
10280	ALG16	PT0121	1614574.143015	8146232.555720	155.248314	09-08-2016	mobilier	lithique		/
10280	ALG16	PT0122	1614573.517810	8146231.436741	155.255168	09-08-2016	mobilier	terre_cuite		/
10280	ALG16	PT0123	1614574.664126	8146232.296341	155.210020	09-08-2016	mobilier	lithique		/
10280	ALG16	PT0124	1614579.800446	8146233.441848	155.153004	09-08-2016	mobilier	lithique		/
10280	ALG16	PT0125	1614620.670466	8146269.761907	154.840907	09-08-2016	mobilier	terre_cuite		/
10280	ALG16	PT0126	1614616.629832	8146268.232614	154.722094	09-08-2016	mobilier	terre_cuite		/
10280	ALG16	PT0127	1614615.538201	8146272.072328	154.700642	09-08-2016	mobilier	lithique		/
10280	ALG16	PT0128	1614576.493742	8146232.564784	155.215182	09-08-2016	mobilier	lithique		/
10280	ALG16	PT0129	1614574.290228	8146233.364342	155.210391	09-08-2016	mobilier	lithique		/
10280	ALG16	PT0130	1614573.325275	8146232.252950	155.222068	09-08-2016	mobilier	lithique		/
10280	ALG16	PT0131	1614573.970336	8146232.009317	155.249760	09-08-2016	mobilier	lithique		/
10280	ALG16	PT0132	1614573.631135	8146230.230627	155.283003	09-08-2016	mobilier	lithique		/
10280	ALG16	PT0133	1614574.559612	8146233.077038	155.214579	09-08-2016	mobilier	terre_cuite		/
10280	ALG16	PT0134	1614604.150296	8146295.985323	154.869863	09-08-2016	mobilier	lithique		/
10280	ALG16	PT0135	1614600.693139	8146299.745344	154.968631	09-08-2016	mobilier	terre_cuite		/
10280	ALG16	PT0136	1614601.622699	8146301.274746	154.913247	09-08-2016	mobilier	terre_cuite		/
10280	ALG16	PT0137	1614599.550979	8146300.951016	154.908235	09-08-2016	mobilier	lithique		/
10280	ALG16	PT0138	1614600.110560	8146302.268520	154.893475	09-08-2016	mobilier	lithique		/
10280	ALG16	PT0139	1614597.404184	8146302.615722	154.930461	09-08-2016	mobilier	lithique		/
10280	ALG16	PT0140	1614597.671766	8146303.037342	154.928024	09-08-2016	mobilier	lithique		/
10280	ALG16	PT0141	1614598.790767	8146303.318029	154.914328	09-08-2016	mobilier	lithique		/
10280	ALG16	PT0142	1614598.138265	8146301.935005	154.893481	09-08-2016	mobilier	lithique		/
10280	ALG16	PT0143	1614597.342865	8146302.707024	154.871363	09-08-2016	mobilier	lithique		/
10280	ALG16	PT0144	1614596.827510	8146303.044376	154.940251	09-08-2016	mobilier	terre_cuite		/
10280	ALG16	PT0145	1614597.030788	8146303.599854	154.931529	09-08-2016	mobilier	terre_cuite		/
10280	ALG16	PT0146	1614597.431560	8146303.590562	154.931186	09-08-2016	mobilier	terre_cuite		/
10280	ALG16	PT0147	1614597.471975	8146303.772087	154.931200	09-08-2016	mobilier	lithique		/
10280	ALG16	PT0148	1614596.731189	8146302.562367	154.890747	09-08-2016	mobilier	terre_cuite		/
10280	ALG16	PT0149	1614595.916843	8146301.712699	154.896835	09-08-2016	mobilier	lithique		/
10280	ALG16	PT0150	1614594.181610	8146300.481801	154.928860	09-08-2016	mobilier	lithique		/
10280	ALG16	PT0151	1614594.133623	8146301.463274	154.922687	09-08-2016	mobilier	terre_cuite		/
10280	ALG16	PT0152	1614597.281359	8146302.445356	154.898239	09-08-2016	mobilier	terre_cuite		/
10280	ALG16	PT0153	1614599.887743	8146303.839064	154.884848	09-08-2016	mobilier	lithique		/
10280	ALG16	PT0154	1614597.846163	8146305.482261	154.885522	09-08-2016	mobilier	lithique		/
10280	ALG16	PT0155	1614598.730830	8146305.908615	154.923078	09-08-2016	mobilier	terre_cuite		/
10280	ALG16	PT0156	1614597.402149	8146306.440386	154.921823	09-08-2016	mobilier	lithique		/
10280	ALG16	PT0157	1614598.177780	8146306.354023	154.930113	09-08-2016	mobilier	terre_cuite		/
10280	ALG16	PT0158	1614598.906737	8146303.298718	154.892414	09-08-2016	mobilier	lithique		/
10280	ALG16	PT0159	1614597.706889	8146303.431919	154.914692	09-08-2016	mobilier	lithique		/
10280	ALG16	PT0160	1614597.347379	8146304.965332	154.910389	09-08-2016	mobilier	lithique		/
10280	ALG16	PT0161	1614596.495890	8146304.974539	154.893019	09-08-2016	mobilier	lithique		/
10280	ALG16	PT0162	1614595.319050	8146304.532195	154.893124	09-08-2016	mobilier	lithique		/
10280	ALG16	PT0163	1614595.484949	8146304.844558	154.873667	09-08-2016	mobilier	lithique		/
10280	ALG16	PT0164	1614594.687639	8146302.805953	154.930825	09-08-2016	mobilier	terre_cuite		/
10280	ALG16	PT0165	1614598.448077	8146305.097833	154.925047	09-08-2016	mobilier	lithique		/
10280	ALG16	PT0166	1614591.607573	8146306.473980	154.932332	09-08-2016	mobilier	terre_cuite		/
10280	ALG16	PT0167	1614591.520525	8146307.245962	154.958491	09-08-2016	mobilier	terre_cuite		/
10280	ALG16	PT0168	1614590.980581	8146308.198356	154.941707	09-08-2016	mobilier	terre_cuite		/
10280	ALG16	PT0169	1614591.841506	8146308.409725	154.966787	09-08-2016	mobilier	terre_cuite		/
10280	ALG16	PT0170	1614595.203975	8146307.786510	154.964572	09-08-2016	mobilier	terre_cuite		/
10280	ALG16	PT0171	1614590.985732	8146304.650355	154.935297	09-08-2016	mobilier	terre_cuite		/
10280	ALG16	PT0172	1614594.470358	8146306.366135	154.912327	09-08-2016	mobilier	terre_cuite		/
10280	ALG16	PT0173	1614592.483438	8146307.547783	154.919981	09-08-2016	mobilier	lithique		/
10280	ALG16	PT0174	1614591.309580	8146306.492455	154.885484	09-08-2016	mobilier	terre_cuite		/
10280	ALG16	PT0175	1614593.779918	8146305.100315	154.899348	09-08-2016	mobilier	terre_cuite		/
10280	ALG16	PT0176	1614594.408064	8146313.081527	155.230098	09-08-2016	mobilier	lithique		/
10280	ALG16	PT0177	1614595.191927	8146314.173342	155.097042	09-08-2016	mobilier	métal		/
10280	ALG16	PT0178	1614595.140732	8146314.398874	155.109967	09-08-2016	mobilier	terre_cuite		/
10280	ALG16	PT0179	1614592.369110	8146312.822389	155.068166	09-08-2016	mobilier	lithique		/
10280	ALG16	PT0180	1614588.832693	8146312.302470	155.054600	09-08-2016	mobilier	terre_cuite		/

Section 3 – Inventaires techniques et scientifiques

OA10280\_ALG16\_inventaire08\_points\_topo.xls: 4/21

CODE OA	CODE SITE	NUM	X (est)	Y (nord)	Z (alti)	DATE	ÉLÉMENT TOPOGRAPHIE	TYPE DE POINT	IDENTIFIANT	DESCRIPTION/ COMMENTAIRES
10280	ALG16	PT0181	1614589.406716	8146311.387159	155.082168	09-08-2016	mobilier	terre_cuite		/
10280	ALG16	PT0182	1614592.492449	8146315.671113	155.049667	09-08-2016	mobilier	lithique		/
10280	ALG16	PT0183	1614589.151328	8146318.833741	154.998622	09-08-2016	mobilier	terre_cuite		/
10280	ALG16	PT0184	1614588.646196	8146318.951963	155.005606	09-08-2016	mobilier	lithique		/
10280	ALG16	PT0185	1614584.488134	8146316.394823	154.968342	09-08-2016	mobilier	lithique		/
10280	ALG16	PT0186	1614583.758531	8146318.558825	154.967518	09-08-2016	mobilier	terre_cuite		/
10280	ALG16	PT0187	1614536.022260	8146257.589686	155.871698	10-08-2016	décapage méca	contour		fenêtre prévisionnelle Ouest/200m2
10280	ALG16	PT0188	1614525.358542	8146251.552573	155.913375	10-08-2016	décapage méca	contour		fenêtre prévisionnelle Ouest/200m2
10280	ALG16	PT0189	1614517.108350	8146265.544980	155.991576	10-08-2016	décapage méca	contour		fenêtre prévisionnelle Ouest/200m2
10280	ALG16	PT0190	1614528.099689	8146271.665664	155.924374	10-08-2016	décapage méca	contour		fenêtre prévisionnelle Ouest/200m2
10280	ALG16	PT0191	1614594.152966	8146253.917929	155.078803	10-08-2016	mobilier	terre_cuite		/
10280	ALG16	PT0192	1614594.839729	8146252.778575	155.084301	10-08-2016	mobilier	terre_cuite		/
10280	ALG16	PT0193	1614594.476405	8146251.971817	155.088378	10-08-2016	mobilier	terre_cuite		/
10280	ALG16	PT0194	1614609.694411	8146262.471242	154.714427	10-08-2016	structure	contour	ST 03	/
10280	ALG16	PT0195	1614610.134275	8146262.556327	154.700017	10-08-2016	structure	contour	ST 03	/
10280	ALG16	PT0196	1614610.806080	8146262.522390	154.705633	10-08-2016	structure	contour	ST 03	/
10280	ALG16	PT0197	1614611.141385	8146262.414553	154.708024	10-08-2016	structure	contour	ST 03	/
10280	ALG16	PT0198	1614611.526886	8146261.528215	154.711734	10-08-2016	structure	contour	ST 03	/
10280	ALG16	PT0199	1614611.087120	8146261.329157	154.708533	10-08-2016	structure	contour	ST 03	/
10280	ALG16	PT0200	1614610.603177	8146261.136702	154.707429	10-08-2016	structure	contour	ST 03	/
10280	ALG16	PT0201	1614610.141141	8146261.430837	154.708836	10-08-2016	structure	contour	ST 03	/
10280	ALG16	PT0202	1614609.544347	8146261.379684	154.701402	10-08-2016	structure	contour	ST 03	/
10280	ALG16	PT0203	1614609.220153	8146261.731774	154.693152	10-08-2016	structure	contour	ST 03	/
10280	ALG16	PT0204	1614609.305715	8146262.103242	154.701156	10-08-2016	structure	contour	ST 03	/
10280	ALG16	PT0205	1614593.824732	8146251.117842	155.049334	10-08-2016	mobilier	terre_cuite		/
10280	ALG16	PT0206	1614594.743694	8146250.755712	155.049233	10-08-2016	mobilier	lithique		/
10280	ALG16	PT0207	1614594.566152	8146254.235836	155.000258	10-08-2016	mobilier	lithique		/
10280	ALG16	PT0208	1614592.592596	8146252.694537	155.039432	10-08-2016	mobilier	terre_cuite		/
10280	ALG16	PT0209	1614592.386361	8146252.093027	155.044060	10-08-2016	mobilier	lithique		/
10280	ALG16	PT0210	1614592.180379	8146248.074959	155.017565	10-08-2016	mobilier	lithique		/
10280	ALG16	PT0211	1614593.283398	8146248.808504	154.972733	10-08-2016	mobilier	lithique		/
10280	ALG16	PT0212	1614591.898559	8146248.416829	154.969192	10-08-2016	mobilier	terre_cuite		/
10280	ALG16	PT0213	1614592.165563	8146249.728953	154.933643	10-08-2016	mobilier	terre_cuite		/
10280	ALG16	PT0214	1614586.380125	8146245.504165	155.174023	10-08-2016	mobilier	terre_cuite		/
10280	ALG16	PT0215	1614592.424680	8146250.785253	154.936276	10-08-2016	mobilier	lithique		/
10280	ALG16	PT0216	1614585.806563	8146244.138668	155.057172	10-08-2016	mobilier	lithique		/
10280	ALG16	PT0217	1614586.323115	8146247.489259	155.062998	10-08-2016	mobilier	terre_cuite		/
10280	ALG16	PT0218	1614586.964419	8146245.823021	155.006497	10-08-2016	mobilier	terre_cuite		/
10280	ALG16	PT0219	1614582.208803	8146243.916640	155.054972	10-08-2016	mobilier	terre_cuite		/
10280	ALG16	PT0220	1614584.697809	8146246.964132	155.023912	10-08-2016	mobilier	lithique		/
10280	ALG16	PT0221	1614582.182564	8146247.140824	155.085369	10-08-2016	mobilier	lithique		/
10280	ALG16	PT0222	1614576.977434	8146237.285265	155.137483	10-08-2016	mobilier	lithique		/
10280	ALG16	PT0223	1614576.172828	8146236.042180	155.157979	10-08-2016	mobilier	lithique		/
10280	ALG16	PT0224	1614612.694395	8146267.746509	154.894289	10-08-2016	mobilier	terre_cuite		/
10280	ALG16	PT0225	1614610.532384	8146268.842495	154.692373	10-08-2016	mobilier	terre_cuite		/
10280	ALG16	PT0226	1614594.410769	8146258.274124	155.059174	10-08-2016	mobilier	lithique		/
10280	ALG16	PT0227	1614594.863278	8146257.585246	154.983928	10-08-2016	mobilier	lithique		/
10280	ALG16	PT0228	1614594.424472	8146256.443611	155.023211	10-08-2016	mobilier	terre_cuite		/
10280	ALG16	PT0229	1614592.809151	8146256.913953	154.884067	10-08-2016	mobilier	lithique		/
10280	ALG16	PT0230	1614590.924816	8146254.710920	155.227785	10-08-2016	mobilier	lithique		/
10280	ALG16	PT0231	1614591.389540	8146254.956263	155.152190	10-08-2016	mobilier	métal		/
10280	ALG16	PT0232	1614591.207559	8146254.449558	155.175501	10-08-2016	mobilier	terre_cuite		/
10280	ALG16	PT0233	1614586.491419	8146251.378766	155.040393	10-08-2016	mobilier	lithique		/
10280	ALG16	PT0234	1614586.349462	8146251.787243	154.959104	10-08-2016	mobilier	terre_cuite		/
10280	ALG16	PT0235	1614586.334388	8146251.624885	154.953626	10-08-2016	mobilier	terre_cuite		/
10280	ALG16	PT0236	1614578.832584	8146246.992782	155.072215	10-08-2016	mobilier	lithique		/
10280	ALG16	PT0237	1614572.442233	8146236.758614	155.162491	10-08-2016	mobilier	lithique		/

OA10280\_ALG16\_inventaire08\_points\_topo.xls: 5/21

CODE OA	CODE SITE	NUM	X (est)	Y (nord)	Z (alti)	DATE	ÉLÉMENT TOPOGRAPHIE	TYPE DE POINT	IDENTIFIANT	DESCRIPTION/ COMMENTAIRES
10280	ALG16	PT0238	1614572.369499	8146238.157098	155.134489	10-08-2016	mobilier	lithique		/
10280	ALG16	PT0239	1614572.548663	8146234.659032	155.128909	10-08-2016	mobilier	lithique		/
10280	ALG16	PT0240	1614574.880868	8146236.324055	155.091342	10-08-2016	mobilier	lithique		/
10280	ALG16	PT0241	1614574.780430	8146235.893083	155.125839	10-08-2016	mobilier	lithique		/
10280	ALG16	PT0242	1614574.892104	8146235.311537	155.146764	10-08-2016	mobilier	lithique		/
10280	ALG16	PT0243	1614575.009704	8146235.104983	155.136093	10-08-2016	mobilier	lithique		/
10280	ALG16	PT0244	1614574.821266	8146235.193078	155.136547	10-08-2016	mobilier	lithique		/
10280	ALG16	PT0245	1614574.764551	8146234.814963	155.156208	10-08-2016	mobilier	lithique		/
10280	ALG16	PT0246	1614574.729763	8146234.925507	155.156271	10-08-2016	mobilier	lithique		/
10280	ALG16	PT0247	1614574.938836	8146235.009455	155.147006	10-08-2016	mobilier	lithique		/
10280	ALG16	PT0248	1614573.491358	8146235.522164	155.114682	10-08-2016	mobilier	lithique		/
10280	ALG16	PT0249	1614574.430523	8146236.540937	155.079811	10-08-2016	mobilier	lithique		/
10280	ALG16	PT0250	1614573.824088	8146237.693794	155.058875	10-08-2016	mobilier	lithique		/
10280	ALG16	PT0251	1614571.395322	8146236.764778	155.163651	10-08-2016	mobilier	terre_cuite		/
10280	ALG16	PT0252	1614571.639241	8146236.880593	155.138881	10-08-2016	mobilier	terre_cuite		/
10280	ALG16	PT0253	1614574.175752	8146237.184649	155.074293	10-08-2016	mobilier	terre_cuite		/
10280	ALG16	PT0254	1614573.222514	8146238.187130	155.100315	10-08-2016	mobilier	terre_cuite		/
10280	ALG16	PT0255	1614573.880373	8146234.229725	155.108692	10-08-2016	mobilier	lithique		/
10280	ALG16	PT0256	1614574.410352	8146234.823231	155.106131	10-08-2016	mobilier	lithique		/
10280	ALG16	PT0257	1614574.833349	8146236.324538	155.085454	10-08-2016	mobilier	lithique		/
10280	ALG16	PT0258	1614574.044711	8146237.911487	155.045569	10-08-2016	mobilier	lithique		/
10280	ALG16	PT0259	1614574.706665	8146236.121042	155.068935	10-08-2016	mobilier	lithique		/
10280	ALG16	PT0260	1614574.282734	8146235.079891	155.065214	10-08-2016	mobilier	lithique		/
10280	ALG16	PT0261	1614574.132503	8146234.902962	155.098589	10-08-2016	mobilier	lithique		/
10280	ALG16	PT0262	1614572.637256	8146236.142539	155.051017	10-08-2016	mobilier	terre_cuite		/
10280	ALG16	PT0263	1614574.267934	8146235.058884	155.071286	10-08-2016	mobilier	lithique		/
10280	ALG16	PT0264	1614572.261635	8146237.433983	155.030159	10-08-2016	mobilier	lithique		/
10280	ALG16	PT0265	1614571.910319	8146238.445088	155.049151	10-08-2016	mobilier	terre_cuite		/
10280	ALG16	PT0266	1614572.351073	8146238.589662	155.038546	10-08-2016	mobilier	terre_cuite		/
10280	ALG16	PT0267	1614573.247323	8146238.773671	155.035487	10-08-2016	mobilier	métal		/
10280	ALG16	PT0268	1614574.943086	8146236.077590	155.055661	10-08-2016	mobilier	métal		/
10280	ALG16	PT0269	1614569.937022	8146238.476602	155.071154	10-08-2016	mobilier	lithique		/
10280	ALG16	PT0270	1614570.542317	8146237.227806	155.011832	10-08-2016	mobilier	terre_cuite		/
10280	ALG16	PT0271	1614571.239487	8146238.008669	154.979088	10-08-2016	mobilier	lithique		/
10280	ALG16	PT0272	1614570.084804	8146239.270270	155.162304	10-08-2016	mobilier	terre_cuite		/
10280	ALG16	PT0273	1614570.522329	8146239.828216	155.089234	10-08-2016	mobilier	terre_cuite		/
10280	ALG16	PT0274	1614572.595098	8146238.269593	154.994803	10-08-2016	mobilier	lithique		/
10280	ALG16	PT0285	1614569.095448	8146238.614344	154.993071	10-08-2016	structure	contour	ST 04	/
10280	ALG16	PT0284	1614569.352856	8146238.038531	154.994447	10-08-2016	structure	contour	ST 04	/
10280	ALG16	PT0283	1614569.587136	8146237.445541	154.997464	10-08-2016	structure	contour	ST 04	/
10280	ALG16	PT0282	1614569.677142	8146237.052610	155.003817	10-08-2016	structure	contour	ST 04	/
10280	ALG16	PT0296	1614573.812778	8146240.250160	155.007676	10-08-2016	structure	contour	ST 04	/
10280	ALG16	PT0286	1614569.420754	8146239.289940	155.009325	10-08-2016	structure	contour	ST 04	/
10280	ALG16	PT0298	1614574.045401	8146239.104942	155.016454	10-08-2016	structure	contour	ST 04	/
10280	ALG16	PT0297	1614573.755620	8146239.770821	155.017425	10-08-2016	structure	contour	ST 04	/
10280	ALG16	PT0287	1614569.449207	8146239.822221	155.032555	10-08-2016	structure	contour	ST 04	/
10280	ALG16	PT0299	1614574.098642	8146238.642668	155.035562	10-08-2016	structure	contour	ST 04	/
10280	ALG16	PT0292	1614572.225719	8146241.230617	155.037832	10-08-2016	structure	contour	ST 04	/
10280	ALG16	PT0281	1614570.412037	8146236.112792	155.043924	10-08-2016	structure	contour	ST 04	/
10280	ALG16	PT0293	1614572.563128	8146241.212094	155.045535	10-08-2016	structure	contour	ST 04	/
10280	ALG16	PT0275	1614574.261970	8146237.119336	155.046470	10-08-2016	structure	contour	ST 04	/
10280	ALG16	PT0288	1614569.766099	8146240.199872	155.048755	10-08-2016	structure	contour	ST 04	/
10280	ALG16	PT0294	1614572.884405	8146241.068244	155.050022	10-08-2016	structure	contour	ST 04	/
10280	ALG16	PT0290	1614570.506164	8146240.951397	155.052645	10-08-2016	structure	contour	ST 04	/
10280	ALG16	PT0289	1614570.101020	8146240.794564	155.052957	10-08-2016	structure	contour	ST 04	/
10280	ALG16	PT0295	1614573.494404	8146241.057401	155.057370	10-08-2016	structure	contour	ST 04	/
10280	ALG16	PT0276	1614574.102270	8146236.361474	155.057510	10-08-2016	structure	contour	ST 04	/
10280	ALG16	PT0300	1614574.387437	8146238.012629	155.058758	10-08-2016	structure	contour	ST 04	/
10280	ALG16	PT0277	1614573.441815	8146235.841006	155.059105	10-08-2016	structure	contour	ST 04	/
10280	ALG16	PT0301	1614574.200545	8146237.560254	155.059754	10-08-2016	structure	contour	ST 04	/

Section 3 – Inventaires techniques et scientifiques

OA10280\_ALG16\_inventaire08\_points\_topo.xls: 6/21

CODE OA	CODE SITE	NUM	X (est)	Y (nord)	Z (alti)	DATE	ÉLÉMENT TOPOGRAPHIE	TYPE DE POINT	IDENTIFIANT	DESCRIPTION/ COMMENTAIRES
10280	ALG16	PT0291	1614571.391808	8146241.494772	155.062864	10-08-2016	structure	contour	ST 04	/
10280	ALG16	PT0280	1614570.806400	8146235.888572	155.064036	10-08-2016	structure	contour	ST 04	/
10280	ALG16	PT0279	1614571.230551	8146235.575243	155.071342	10-08-2016	structure	contour	ST 04	/
10280	ALG16	PT0278	1614572.377398	8146235.513659	155.086437	10-08-2016	structure	contour	ST 04	/
10280	ALG16	PT0302	1614583.395335	8146238.916776	155.174567	10-08-2016	sondage profond	contour		diag tranchée/
10280	ALG16	PT0303	1614603.443273	8146250.762756	154.885367	10-08-2016	sondage profond	contour		diag tranchée/
10280	ALG16	PT0304	1614632.373492	8146268.033508	154.581695	10-08-2016	sondage profond	contour		diag tranchée/
10280	ALG16	PT0305	1614621.931125	8146265.295757	154.634829	10-08-2016	sondage profond	contour		diag tranchée/
10280	ALG16	PT0306	1614582.728222	8146241.961771	155.077766	10-08-2016	sondage profond	contour		diag tranchée/
10280	ALG16	PT0307	1614588.336581	8146245.185884	154.957161	10-08-2016	sondage profond	contour		diag fenêtre a/
10280	ALG16	PT0308	1614587.279796	8146246.906967	154.990763	10-08-2016	sondage profond	contour		diag fenêtre a/
10280	ALG16	PT0309	1614606.645115	8146257.573765	154.763666	10-08-2016	sondage profond	contour		diag fenêtre b/
10280	ALG16	PT0310	1614609.528233	8146260.398201	154.661238	10-08-2016	sondage profond	contour		diag fenêtre b/
10280	ALG16	PT0311	1614611.980005	8146257.777541	154.697550	10-08-2016	sondage profond	contour		diag fenêtre b/
10280	ALG16	PT0312	1614609.146856	8146254.984033	154.760824	10-08-2016	sondage profond	contour		diag fenêtre b/
10280	ALG16	PT0313	1614590.995644	8146266.866816	154.928904	10-08-2016	mobilier	lithique		/
10280	ALG16	PT0314	1614574.111112	8146252.127236	155.099371	10-08-2016	mobilier	terre_cuite		/
10280	ALG16	PT0315	1614573.410595	8146250.074946	155.128872	10-08-2016	structure	contour	ST 06	/
10280	ALG16	PT0316	1614573.581462	8146249.914140	155.128697	10-08-2016	structure	contour	ST 06	/
10280	ALG16	PT0317	1614573.695676	8146250.297474	155.114112	10-08-2016	structure	contour	ST 06	/
10280	ALG16	PT0318	1614580.352446	8146260.521428	155.016066	10-08-2016	structure	contour	ST 07	/
10280	ALG16	PT0319	1614580.217678	8146260.591507	155.009200	10-08-2016	structure	contour	ST 07	/
10280	ALG16	PT0320	1614580.249957	8146260.781233	155.015506	10-08-2016	structure	contour	ST 07	/
10280	ALG16	PT0321	1614580.394646	8146260.767147	155.014900	10-08-2016	structure	contour	ST 07	/
10280	ALG16	PT0322	1614593.118454	8146263.802326	154.859265	10-08-2016	structure	contour	ST 05	/
10280	ALG16	PT0323	1614592.807183	8146263.426831	154.853697	10-08-2016	structure	contour	ST 05	/
10280	ALG16	PT0324	1614592.609618	8146263.354295	154.854724	10-08-2016	structure	contour	ST 05	/
10280	ALG16	PT0325	1614592.393443	8146263.171145	154.860544	10-08-2016	structure	contour	ST 05	/
10280	ALG16	PT0326	1614591.970943	8146263.240827	154.863377	10-08-2016	structure	contour	ST 05	/
10280	ALG16	PT0327	1614592.254313	8146263.793810	154.864499	10-08-2016	structure	contour	ST 05	/
10280	ALG16	PT0328	1614592.270067	8146264.101954	154.878598	10-08-2016	structure	contour	ST 05	/
10280	ALG16	PT0329	1614592.506358	8146264.552805	154.865578	10-08-2016	structure	contour	ST 05	/
10280	ALG16	PT0330	1614592.759447	8146264.347515	154.868826	10-08-2016	structure	contour	ST 05	/
10280	ALG16	PT0331	1614592.853596	8146264.106608	154.856336	10-08-2016	structure	contour	ST 05	/
10280	ALG16	PT0332	1614602.736432	8146286.632038	154.747798	10-08-2016	structure	contour	ST 08a	/
10280	ALG16	PT0333	1614602.708728	8146287.188358	154.741193	10-08-2016	structure	contour	ST 08a	/
10280	ALG16	PT0334	1614603.147482	8146287.301312	154.751509	10-08-2016	structure	contour	ST 08a	/
10280	ALG16	PT0335	1614603.539104	8146286.537197	154.748960	10-08-2016	structure	contour	ST 08a	/
10280	ALG16	PT0336	1614603.036508	8146286.559262	154.747160	10-08-2016	structure	contour	ST 08a	/
10280	ALG16	PT0337	1614604.637043	8146285.451775	154.752843	10-08-2016	structure	contour	ST 08a	/
10280	ALG16	PT0338	1614604.816209	8146284.768336	154.756690	10-08-2016	structure	contour	ST 08a	/
10280	ALG16	PT0339	1614603.800169	8146283.914961	154.757879	10-08-2016	structure	contour	ST 08a	/
10280	ALG16	PT0340	1614602.735583	8146283.945869	154.735464	10-08-2016	structure	contour	ST 08a	/
10280	ALG16	PT0341	1614602.935151	8146284.471618	154.756654	10-08-2016	structure	contour	ST 08a	/
10280	ALG16	PT0342	1614603.730172	8146284.618119	154.767030	10-08-2016	structure	contour	ST 08a	/
10280	ALG16	PT0343	1614596.814019	8146278.665463	154.882817	10-08-2016	décapage méca	contour		emprise décapée/2200 m²
10280	ALG16	PT0344	1614602.443232	8146283.884108	154.786898	10-08-2016	décapage méca	contour		emprise décapée/2200 m²
10280	ALG16	PT0345	1614587.344575	8146311.742404	155.031712	10-08-2016	décapage méca	contour		emprise décapée/2200 m²
10280	ALG16	PT0346	1614577.630432	8146329.398334	155.076268	10-08-2016	décapage méca	contour		emprise décapée/2200 m²
10280	ALG16	PT0347	1614583.023492	8146332.150025	155.085467	10-08-2016	décapage méca	contour		emprise décapée/2200 m²
10280	ALG16	PT0348	1614600.430400	8146303.679989	154.921135	10-08-2016	décapage méca	contour		emprise décapée/2200 m²
10280	ALG16	PT0349	1614624.611419	8146264.745848	154.589775	10-08-2016	décapage méca	contour		emprise décapée/2200 m²
10280	ALG16	PT0350	1614653.833134	8146280.782297	154.545956	10-08-2016	décapage méca	contour		emprise décapée/2200 m²
10280	ALG16	PT0351	1614655.702113	8146276.400388	154.905482	10-08-2016	décapage méca	contour		emprise décapée/2200 m²

OA10280\_ALG16\_inventaire08\_points\_topo.xls: 7/21

CODE OA	CODE SITE	NUM	X (est)	Y (nord)	Z (alti)	DATE	ÉLÉMENT TOPOGRAPHIE	TYPE DE POINT	IDENTIFIANT	DESCRIPTION/ COMMENTAIRES
10280	ALG16	PT0352	1614621.383684	8146256.803504	154.773947	10-08-2016	décapage méca	contour		emprise décapée/2200 m²
10280	ALG16	PT0353	1614598.602013	8146243.812177	155.004219	10-08-2016	décapage méca	contour		emprise décapée/2200 m²
10280	ALG16	PT0354	1614573.372799	8146229.828174	155.319865	10-08-2016	décapage méca	contour		emprise décapée/2200 m²
10280	ALG16	PT0355	1614567.356158	8146240.810367	155.097897	10-08-2016	décapage méca	contour		emprise décapée/2200 m²
10280	ALG16	PT0356	1614569.135469	8146255.723827	155.192928	10-08-2016	décapage méca	contour		emprise décapée/2200 m²
10280	ALG16	PT0357	1614597.652249	8146271.851769	154.841643	10-08-2016	décapage méca	contour		emprise décapée/2200 m²
10280	ALG16	PT0358	1614573.015302	8146250.808110	155.111171	11-08-2016	mobilier	terre_cuite		/
10280	ALG16	PT0359	1614570.249370	8146252.915473	155.111593	11-08-2016	mobilier	terre_cuite		/
10280	ALG16	PT0360	1614588.710674	8146269.572704	155.210361	11-08-2016	mobilier	terre_cuite		/
10280	ALG16	PT0361	1614588.257272	8146269.120205	155.201516	11-08-2016	mobilier	lithique		/
10280	ALG16	PT0362	1614588.166277	8146270.585059	155.222993	11-08-2016	mobilier	terre_cuite		/
10280	ALG16	PT0363	1614586.014862	8146269.795947	155.227544	11-08-2016	mobilier	lithique		/
10280	ALG16	PT0364	1614597.306905	8146273.584815	154.841073	11-08-2016	mobilier	lithique		/
10280	ALG16	PT0365	1614579.875265	8146265.673804	155.323052	11-08-2016	mobilier	lithique		/
10280	ALG16	PT0366	1614578.824376	8146266.236553	155.328624	11-08-2016	mobilier	lithique		/
10280	ALG16	PT0367	1614580.354070	8146263.690715	155.322266	11-08-2016	mobilier	terre_cuite		/
10280	ALG16	PT0368	1614580.029995	8146263.479226	155.235086	11-08-2016	mobilier	terre_cuite		/
10280	ALG16	PT0369	1614571.771590	8146257.626466	155.261287	11-08-2016	mobilier	terre_cuite		/
10280	ALG16	PT0370	1614571.750262	8146257.693063	155.137131	11-08-2016	mobilier	lithique		/
10280	ALG16	PT0371	1614585.344379	8146272.757852	155.224345	11-08-2016	mobilier	lithique		/
10280	ALG16	PT0372	1614576.833333	8146268.743285	155.301268	11-08-2016	mobilier	terre_cuite		/
10280	ALG16	PT0373	1614575.954850	8146269.455221	155.315265	11-08-2016	mobilier	terre_cuite		/
10280	ALG16	PT0374	1614635.190723	8146264.575627	154.659092	11-08-2016	structure	contour	ST 01	/
10280	ALG16	PT0375	1614635.216784	8146264.891950	154.656374	11-08-2016	structure	contour	ST 01	/
10280	ALG16	PT0376	1614636.403274	8146265.560344	154.626906	11-08-2016	structure	contour	ST 01	/
10280	ALG16	PT0377	1614637.439680	8146266.163051	154.604218	11-08-2016	structure	contour	ST 01	/
10280	ALG16	PT0378	1614638.795850	8146267.065370	154.584952	11-08-2016	structure	contour	ST 01	/
10280	ALG16	PT0379	1614639.024842	8146267.311799	154.583668	11-08-2016	structure	contour	ST 01	/
10280	ALG16	PT0380	1614639.600767	8146267.642574	154.577296	11-08-2016	structure	contour	ST 01	/
10280	ALG16	PT0381	1614639.782759	8146267.834850	154.576074	11-08-2016	structure	contour	ST 01	/
10280	ALG16	PT0382	1614640.747838	8146268.511121	154.561139	11-08-2016	structure	contour	ST 01	/
10280	ALG16	PT0383	1614641.892079	8146269.224312	154.565904	11-08-2016	structure	contour	ST 01	/
10280	ALG16	PT0384	1614641.939426	8146269.386036	154.564841	11-08-2016	structure	contour	ST 01	/
10280	ALG16	PT0385	1614642.506888	8146269.859934	154.569043	11-08-2016	structure	contour	ST 01	/
10280	ALG16	PT0386	1614642.739989	8146269.775051	154.566224	11-08-2016	structure	contour	ST 01	/
10280	ALG16	PT0387	1614642.797682	8146269.454888	154.566759	11-08-2016	structure	contour	ST 01	/
10280	ALG16	PT0388	1614642.568459	8146269.175899	154.569333	11-08-2016	structure	contour	ST 01	/
10280	ALG16	PT0389	1614642.117858	8146268.815112	154.565299	11-08-2016	structure	contour	ST 01	/
10280	ALG16	PT0390	1614641.908783	8146268.532588	154.582077	11-08-2016	structure	contour	ST 01	/
10280	ALG16	PT0391	1614640.120706	8146267.396900	154.596378	11-08-2016	structure	contour	ST 01	/
10280	ALG16	PT0392	1614572.620231	8146267.376634	155.438852	11-08-2016	mobilier	lithique		/
10280	ALG16	PT0393	1614652.122586	8146274.383378	154.482864	11-08-2016	sondage profond	contour	SDG03	/
10280	ALG16	PT0394	1614650.721072	8146277.028969	154.473133	11-08-2016	sondage profond	contour	SDG03	/
10280	ALG16	PT0395	1614653.915444	8146278.960140	154.494975	11-08-2016	sondage profond	contour	SDG03	/
10280	ALG16	PT0396	1614593.633820	8146244.340144	154.985347	11-08-2016	sondage profond	contour	SDG01	/
10280	ALG16	PT0397	1614595.136207	8146241.793551	155.007580	11-08-2016	sondage profond	contour	SDG01	/
10280	ALG16	PT0398	1614592.004005	8146239.983494	155.164118	11-08-2016	sondage profond	contour	SDG01	/
10280	ALG16	PT0399	1614590.627646	8146242.554052	154.974421	11-08-2016	sondage profond	contour	SDG01	/
10280	ALG16	PT0400	1614570.622148	8146264.656295	155.367626	11-08-2016	mobilier	lithique		/
10280	ALG16	PT0401	1614570.417666	8146264.644920	155.400759	11-08-2016	mobilier	lithique		/
10280	ALG16	PT0402	1614568.486326	8146269.758701	155.413001	11-08-2016	mobilier	lithique		/
10280	ALG16	PT0403	1614592.116500	8146286.812392	155.141680	11-08-2016	mobilier	terre_cuite		vernissée médiévale. Labours/
10280	ALG16	PT0404	1614587.496177	8146286.277746	155.178087	11-08-2016	mobilier	lithique		/
10280	ALG16	PT0405	1614583.425999	8146280.238108	155.017769	11-08-2016	mobilier	métal		/
10280	ALG16	PT0406	1614576.289468	8146281.411196	155.124402	11-08-2016	mobilier	terre_cuite		/

Section 3 – Inventaires techniques et scientifiques

OA10280\_ALG16\_inventaire08\_points\_topo.xls: 8/21

CODE OA	CODE SITE	NUM	X (est)	Y (nord)	Z (alti)	DATE	ÉLÉMENT TOPOGRAPHIE	TYPE DE POINT	IDENTIFIANT	DESCRIPTION/ COMMENTAIRES
10280	ALG16	PT0407	1614572.921231	8146277.799810	155.195487	11-08-2016	mobilier	lithique		/
10280	ALG16	PT0408	1614572.845025	8146277.936608	155.205705	11-08-2016	mobilier	terre_cuite		/
10280	ALG16	PT0409	1614569.631904	8146278.339137	155.272249	11-08-2016	mobilier	terre_cuite		/
10280	ALG16	PT0410	1614569.814202	8146277.937747	155.232866	11-08-2016	mobilier	lithique		/
10280	ALG16	PT0411	1614570.444935	8146277.803858	155.211027	11-08-2016	mobilier	terre_cuite		/
10280	ALG16	PT0412	1614590.153409	8146296.036865	155.129531	11-08-2016	mobilier	terre_cuite		/
10280	ALG16	PT0413	1614590.099643	8146295.872123	155.129107	11-08-2016	mobilier	lithique		/
10280	ALG16	PT0414	1614590.023696	8146295.008896	155.118549	11-08-2016	mobilier	métal		/
10280	ALG16	PT0415	1614590.496029	8146296.651702	155.146803	11-08-2016	mobilier	terre_cuite		/
10280	ALG16	PT0416	1614589.647459	8146292.712120	155.048225	11-08-2016	mobilier	lithique		/
10280	ALG16	PT0417	1614586.617774	8146291.637321	154.974125	11-08-2016	mobilier	terre_cuite		/
10280	ALG16	PT0418	1614585.616643	8146292.401851	154.993832	11-08-2016	mobilier	terre_cuite		/
10280	ALG16	PT0419	1614584.187773	8146290.925575	154.967436	11-08-2016	mobilier	métal		clou/
10280	ALG16	PT0420	1614579.967822	8146292.131226	155.138039	11-08-2016	mobilier	terre_cuite		/
10280	ALG16	PT0421	1614582.288405	8146290.486938	155.073781	11-08-2016	mobilier	lithique		/
10280	ALG16	PT0422	1614580.092292	8146290.049635	155.071297	11-08-2016	mobilier	terre_cuite		/
10280	ALG16	PT0423	1614582.935261	8146290.199960	154.978320	11-08-2016	mobilier	lithique		/
10280	ALG16	PT0424	1614580.752548	8146290.138410	155.007299	11-08-2016	mobilier	lithique		/
10280	ALG16	PT0425	1614578.367668	8146290.097973	155.033352	11-08-2016	mobilier	terre_cuite		/
10280	ALG16	PT0426	1614582.197107	8146290.878736	154.995586	11-08-2016	mobilier	terre_cuite		/
10280	ALG16	PT0427	1614577.316580	8146288.917351	155.411852	11-08-2016	mobilier	lithique		/
10280	ALG16	PT0428	1614576.200495	8146288.533616	155.406340	11-08-2016	mobilier	lithique		/
10280	ALG16	PT0429	1614578.387520	8146289.627437	155.027847	11-08-2016	mobilier	terre_cuite		/
10280	ALG16	PT0430	1614576.572627	8146289.258189	155.070837	11-08-2016	mobilier	terre_cuite		/
10280	ALG16	PT0431	1614578.466730	8146287.038125	155.033432	11-08-2016	mobilier	terre_cuite		/
10280	ALG16	PT0432	1614578.306439	8146286.147948	155.030739	11-08-2016	mobilier	lithique		/
10280	ALG16	PT0433	1614562.844279	8146280.527606	155.367308	12-08-2016	mobilier	lithique		/
10280	ALG16	PT0434	1614563.593851	8146280.221921	155.250252	12-08-2016	mobilier	lithique		/
10280	ALG16	PT0435	1614565.399064	8146283.923653	155.117067	12-08-2016	mobilier	lithique		/
10280	ALG16	PT0436	1614559.869330	8146280.314139	155.241033	12-08-2016	mobilier	terre_cuite		/
10280	ALG16	PT0437	1614556.763835	8146276.439035	155.423616	12-08-2016	mobilier	terre_cuite		/
10280	ALG16	PT0438	1614557.489372	8146277.173616	155.385709	12-08-2016	mobilier	terre_cuite		/
10280	ALG16	PT0439	1614556.680536	8146276.573577	155.404466	12-08-2016	mobilier	terre_cuite		/
10280	ALG16	PT0440	1614557.605837	8146277.374779	155.379977	12-08-2016	mobilier	terre_cuite		/
10280	ALG16	PT0441	1614556.944914	8146278.465851	155.387768	12-08-2016	mobilier	terre_cuite		/
10280	ALG16	PT0442	1614557.723529	8146276.314256	155.350466	12-08-2016	mobilier	terre_cuite		/
10280	ALG16	PT0443	1614556.512256	8146275.643427	155.387667	12-08-2016	mobilier	terre_cuite		/
10280	ALG16	PT0444	1614556.215430	8146278.376428	155.343605	12-08-2016	mobilier	métal		/
10280	ALG16	PT0445	1614557.104053	8146279.220671	155.333338	12-08-2016	mobilier	terre_cuite		/
10280	ALG16	PT0446	1614557.769780	8146278.779286	155.293044	12-08-2016	mobilier	terre_cuite		/
10280	ALG16	PT0447	1614555.846681	8146278.987575	155.337345	12-08-2016	mobilier	terre_cuite		/
10280	ALG16	PT0448	1614555.963796	8146278.261598	155.344696	12-08-2016	mobilier	terre_cuite		/
10280	ALG16	PT0449	1614556.180519	8146278.402242	155.330864	12-08-2016	mobilier	terre_cuite		/
10280	ALG16	PT0450	1614557.429958	8146278.704675	155.292845	12-08-2016	mobilier	terre_cuite		/
10280	ALG16	PT0451	1614558.104677	8146278.717989	155.280243	12-08-2016	mobilier	terre_cuite		/
10280	ALG16	PT0452	1614558.548323	8146279.325276	155.293192	12-08-2016	mobilier	terre_cuite		/
10280	ALG16	PT0453	1614556.946772	8146279.738159	155.294165	12-08-2016	mobilier	terre_cuite		/
10280	ALG16	PT0454	1614555.741102	8146276.370565	155.377269	12-08-2016	mobilier	terre_cuite		/
10280	ALG16	PT0455	1614556.714117	8146275.074227	155.318042	12-08-2016	mobilier	terre_cuite		/
10280	ALG16	PT0456	1614588.302109	8146304.411352	155.065255	12-08-2016	mobilier	terre_cuite		/
10280	ALG16	PT0457	1614588.296538	8146299.122466	155.011255	12-08-2016	mobilier	terre_cuite		/
10280	ALG16	PT0458	1614588.688073	8146300.093217	155.004844	12-08-2016	mobilier	terre_cuite		/
10280	ALG16	PT0459	1614589.608080	8146299.331060	154.952475	12-08-2016	mobilier	terre_cuite		/
10280	ALG16	PT0460	1614588.176789	8146299.433463	154.984676	12-08-2016	mobilier	lithique		/
10280	ALG16	PT0461	1614587.101564	8146303.820239	155.132380	12-08-2016	mobilier	terre_cuite		/
10280	ALG16	PT0462	1614586.804620	8146301.693088	155.072287	12-08-2016	mobilier	terre_cuite		/
10280	ALG16	PT0463	1614587.849328	8146301.301903	155.055872	12-08-2016	mobilier	lithique		/
10280	ALG16	PT0464	1614585.467524	8146297.999831	155.021210	12-08-2016	mobilier	lithique		/
10280	ALG16	PT0465	1614586.854790	8146296.891975	155.037430	12-08-2016	mobilier	terre_cuite		/
10280	ALG16	PT0466	1614584.252572	8146302.384425	155.013070	12-08-2016	mobilier	lithique		/

OA10280\_ALG16\_inventaire08\_points\_topo.xls: 9/21

CODE OA	CODE SITE	NUM	X (est)	Y (nord)	Z (alti)	DATE	ÉLÉMENT TOPOGRAPHIQUE	TYPE DE POINT	IDENTIFIANT	DESCRIPTION/ COMMENTAIRES
10280	ALG16	PT0467	1614586.538209	8146298.241023	154.991697	12-08-2016	mobilier	terre_cuite		/
10280	ALG16	PT0468	1614585.883479	8146297.948894	154.984689	12-08-2016	mobilier	terre_cuite		/
10280	ALG16	PT0469	1614584.605918	8146296.977341	154.997166	12-08-2016	mobilier	terre_cuite		/
10280	ALG16	PT0470	1614586.603134	8146297.615350	154.972051	12-08-2016	mobilier	terre_cuite		/
10280	ALG16	PT0471	1614586.350720	8146297.471930	154.963309	12-08-2016	mobilier	terre_cuite		/
10280	ALG16	PT0472	1614581.740890	8146295.952677	155.053060	12-08-2016	mobilier	lithique		/
10280	ALG16	PT0473	1614580.749570	8146299.650481	155.003192	12-08-2016	mobilier	lithique		/
10280	ALG16	PT0474	1614582.147472	8146298.833134	154.966876	12-08-2016	mobilier	terre_cuite		/
10280	ALG16	PT0475	1614583.755461	8146298.395899	154.978241	12-08-2016	mobilier	lithique		/
10280	ALG16	PT0476	1614582.094839	8146301.091500	154.949252	12-08-2016	mobilier	lithique		/
10280	ALG16	PT0477	1614582.123415	8146300.264431	154.958158	12-08-2016	mobilier	terre_cuite		/
10280	ALG16	PT0478	1614583.001412	8146299.711684	154.966833	12-08-2016	mobilier	terre_cuite		/
10280	ALG16	PT0479	1614578.442013	8146297.026947	155.090306	12-08-2016	mobilier	lithique		/
10280	ALG16	PT0480	1614576.890162	8146292.672811	155.076981	12-08-2016	mobilier	terre_cuite		/
10280	ALG16	PT0481	1614578.857483	8146293.025441	155.070794	12-08-2016	mobilier	lithique		/
10280	ALG16	PT0482	1614576.595914	8146291.670980	155.056157	12-08-2016	mobilier	lithique		/
10280	ALG16	PT0483	1614574.598459	8146290.073045	155.109763	12-08-2016	mobilier	lithique		/
10280	ALG16	PT0484	1614569.350441	8146288.374397	155.234346	12-08-2016	mobilier	lithique		/
10280	ALG16	PT0485	1614569.725440	8146288.029652	155.166809	12-08-2016	mobilier	lithique		/
10280	ALG16	PT0486	1614569.057721	8146289.369027	155.217511	12-08-2016	mobilier	lithique		/
10280	ALG16	PT0487	1614569.542651	8146292.943932	155.176148	12-08-2016	mobilier	lithique		/
10280	ALG16	PT0488	1614572.445047	8146293.963200	155.102346	12-08-2016	mobilier	lithique		/
10280	ALG16	PT0489	1614570.886885	8146290.935786	155.140166	12-08-2016	mobilier	lithique		/
10280	ALG16	PT0490	1614570.217384	8146290.776281	155.120064	12-08-2016	mobilier	lithique		/
10280	ALG16	PT0491	1614572.893541	8146293.878797	155.069193	12-08-2016	mobilier	lithique		/
10280	ALG16	PT0492	1614573.864829	8146295.047962	155.078794	12-08-2016	mobilier	lithique		/
10280	ALG16	PT0493	1614574.093590	8146295.010425	155.067398	12-08-2016	mobilier	terre_cuite		/
10280	ALG16	PT0494	1614573.987089	8146293.107759	155.092386	12-08-2016	mobilier	terre_cuite		/
10280	ALG16	PT0495	1614575.336709	8146294.727244	155.065538	12-08-2016	mobilier	terre_cuite		/
10280	ALG16	PT0496	1614575.427413	8146295.559453	155.084451	12-08-2016	mobilier	terre_cuite		/
10280	ALG16	PT0497	1614575.017074	8146297.271657	155.055742	12-08-2016	mobilier	terre_cuite		/
10280	ALG16	PT0498	1614567.509768	8146287.617994	155.194103	12-08-2016	mobilier	terre_cuite		/
10280	ALG16	PT0499	1614567.499869	8146286.616015	155.164107	12-08-2016	mobilier	terre_cuite		/
10280	ALG16	PT0500	1614568.035431	8146288.485521	155.185906	12-08-2016	mobilier	lithique		/
10280	ALG16	PT0501	1614567.402462	8146289.676812	155.212587	12-08-2016	mobilier	lithique		/
10280	ALG16	PT0502	1614566.034392	8146288.829765	155.170800	12-08-2016	mobilier	terre_cuite		/
10280	ALG16	PT0503	1614566.173196	8146287.352854	155.166517	12-08-2016	mobilier	terre_cuite		/
10280	ALG16	PT0504	1614565.065512	8146290.469782	155.191541	12-08-2016	mobilier	lithique		/
10280	ALG16	PT0505	1614565.159378	8146289.184140	155.178992	12-08-2016	mobilier	lithique		/
10280	ALG16	PT0506	1614565.132876	8146289.566820	155.183943	12-08-2016	mobilier	terre_cuite		/
10280	ALG16	PT0507	1614566.034552	8146291.454973	155.174579	12-08-2016	mobilier	terre_cuite		/
10280	ALG16	PT0508	1614564.516170	8146291.277848	155.168047	12-08-2016	mobilier	lithique		/
10280	ALG16	PT0509	1614564.080353	8146291.071230	155.184062	12-08-2016	mobilier	lithique		/
10280	ALG16	PT0510	1614562.951437	8146284.112937	155.270626	16-08-2016	mobilier	lithique		/
10280	ALG16	PT0511	1614563.028513	8146289.860049	155.268103	16-08-2016	mobilier	lithique		/
10280	ALG16	PT0512	1614563.156722	8146289.650740	155.243917	16-08-2016	mobilier	terre_cuite		/
10280	ALG16	PT0513	1614563.589541	8146285.724286	155.199006	16-08-2016	mobilier	terre_cuite		/
10280	ALG16	PT0514	1614561.031875	8146288.762534	155.278725	16-08-2016	mobilier	terre_cuite		/
10280	ALG16	PT0515	1614561.940531	8146283.727476	155.247197	16-08-2016	mobilier	lithique		/
10280	ALG16	PT0516	1614563.127110	8146287.960695	155.189043	16-08-2016	mobilier	lithique		/
10280	ALG16	PT0517	1614562.280376	8146288.951849	155.197320	16-08-2016	mobilier	terre_cuite		/
10280	ALG16	PT0518	1614562.203602	8146285.243498	155.190015	16-08-2016	mobilier	terre_cuite		/
10280	ALG16	PT0519	1614562.308039	8146287.839449	155.187039	16-08-2016	mobilier	lithique		/
10280	ALG16	PT0520	1614557.363341	8146283.530699	155.321905	16-08-2016	mobilier	terre_cuite		/
10280	ALG16	PT0521	1614558.943601	8146286.946570	155.288674	16-08-2016	mobilier	lithique		/
10280	ALG16	PT0522	1614558.785252	8146284.729085	155.246226	16-08-2016	mobilier	lithique		/
10280	ALG16	PT0523	1614558.835144	8146283.132155	155.231851	16-08-2016	mobilier	lithique		/
10280	ALG16	PT0524	1614558.167148	8146281.280856	155.266575	16-08-2016	mobilier	terre_cuite		/
10280	ALG16	PT0525	1614557.812726	8146285.769631	155.239332	16-08-2016	mobilier	lithique		/
10280	ALG16	PT0526	1614556.141681	8146285.942843	155.332187	16-08-2016	mobilier	terre_cuite		/

Section 3 – Inventaires techniques et scientifiques

OA10280\_ALG16\_inventaire08\_points\_topo.xls: 10/21

CODE OA	CODE SITE	NUM	X (est)	Y (nord)	Z (alti)	DATE	ÉLÉMENT TOPOGRAPHIE	TYPE DE POINT	IDENTIFIANT	DESCRIPTION/ COMMENTAIRES
10280	ALG16	PT0527	1614554.931662	8146282.819372	155.348252	16-08-2016	mobilier	terre_cuite		/
10280	ALG16	PT0528	1614554.951442	8146281.960072	155.353213	16-08-2016	mobilier	terre_cuite		/
10280	ALG16	PT0529	1614555.300691	8146283.327469	155.322028	16-08-2016	mobilier	lithique		/
10280	ALG16	PT0530	1614554.713158	8146283.887497	155.287330	16-08-2016	mobilier	terre_cuite		/
10280	ALG16	PT0531	1614555.200176	8146284.722066	155.302641	16-08-2016	mobilier	terre_cuite		/
10280	ALG16	PT0532	1614555.989515	8146282.884303	155.308002	16-08-2016	mobilier	terre_cuite		/
10280	ALG16	PT0533	1614586.847962	8146309.464049	155.112341	16-08-2016	mobilier	lithique		/
10280	ALG16	PT0534	1614589.254722	8146306.086886	154.953216	16-08-2016	mobilier	lithique		/
10280	ALG16	PT0535	1614589.057585	8146306.041320	154.982235	16-08-2016	mobilier	lithique		/
10280	ALG16	PT0536	1614587.747522	8146307.863400	154.933173	16-08-2016	mobilier	lithique		fragment de hache polie/
10280	ALG16	PT0537	1614588.286194	8146308.828068	154.948816	16-08-2016	mobilier	lithique		/
10280	ALG16	PT0538	1614586.936753	8146308.524443	154.976498	16-08-2016	mobilier	lithique		/
10280	ALG16	PT0539	1614586.397247	8146306.644301	154.971096	16-08-2016	mobilier	lithique		/
10280	ALG16	PT0540	1614586.205107	8146307.210492	154.955980	16-08-2016	mobilier	terre_cuite		/
10280	ALG16	PT0541	1614588.944019	8146308.030279	154.924798	16-08-2016	mobilier	terre_cuite		/
10280	ALG16	PT0542	1614589.408825	8146308.274012	154.921054	16-08-2016	mobilier	lithique		/
10280	ALG16	PT0543	1614587.898774	8146308.227813	154.929897	16-08-2016	mobilier	lithique		/
10280	ALG16	PT0544	1614584.984751	8146308.697273	154.994116	16-08-2016	mobilier	lithique		/
10280	ALG16	PT0545	1614585.099214	8146306.733934	154.938232	16-08-2016	mobilier	lithique		/
10280	ALG16	PT0546	1614582.462933	8146307.470752	154.999487	16-08-2016	mobilier	lithique		/
10280	ALG16	PT0547	1614581.929279	8146307.796946	154.989211	16-08-2016	mobilier	terre_cuite		/
10280	ALG16	PT0548	1614575.137128	8146301.487096	155.102359	16-08-2016	mobilier	terre_cuite		/
10280	ALG16	PT0549	1614576.001163	8146300.285672	155.097721	16-08-2016	mobilier	terre_cuite		/
10280	ALG16	PT0550	1614576.267877	8146299.692433	155.121573	16-08-2016	mobilier	terre_cuite		/
10280	ALG16	PT0551	1614577.649834	8146301.476103	155.091133	16-08-2016	mobilier	lithique		/
10280	ALG16	PT0552	1614576.651101	8146301.343650	155.061688	16-08-2016	mobilier	terre_cuite		/
10280	ALG16	PT0553	1614578.275326	8146300.364977	155.036281	16-08-2016	mobilier	terre_cuite		/
10280	ALG16	PT0554	1614575.884228	8146301.667534	155.063902	16-08-2016	mobilier	terre_cuite		/
10280	ALG16	PT0555	1614575.312924	8146301.330832	155.086145	16-08-2016	mobilier	terre_cuite		/
10280	ALG16	PT0556	1614575.520470	8146300.054277	155.043241	16-08-2016	mobilier	terre_cuite		/
10280	ALG16	PT0557	1614577.470141	8146300.286069	155.054813	16-08-2016	mobilier	lithique		/
10280	ALG16	PT0558	1614578.030935	8146304.044956	155.056475	16-08-2016	mobilier	lithique		/
10280	ALG16	PT0559	1614574.563967	8146300.284451	155.026874	16-08-2016	mobilier	terre_cuite		/
10280	ALG16	PT0560	1614573.594209	8146302.666012	155.033890	16-08-2016	mobilier	terre_cuite		/
10280	ALG16	PT0561	1614571.272481	8146299.156257	155.054249	16-08-2016	mobilier	lithique		/
10280	ALG16	PT0562	1614568.682960	8146294.337285	155.142480	16-08-2016	mobilier	lithique		/
10280	ALG16	PT0563	1614568.924616	8146299.506089	155.089700	16-08-2016	mobilier	terre_cuite		/
10280	ALG16	PT0564	1614570.603424	8146296.152773	155.110869	16-08-2016	mobilier	lithique		/
10280	ALG16	PT0565	1614567.376039	8146299.282231	155.071274	16-08-2016	mobilier	lithique		/
10280	ALG16	PT0566	1614566.675414	8146299.679144	155.050091	16-08-2016	mobilier	lithique		/
10280	ALG16	PT0567	1614566.035865	8146296.911575	155.230897	16-08-2016	mobilier	terre_cuite		/
10280	ALG16	PT0568	1614566.023459	8146297.362795	155.218891	16-08-2016	anomalie			tache/
10280	ALG16	PT0569	1614564.614971	8146295.189211	155.207799	16-08-2016	mobilier	terre_cuite		/
10280	ALG16	PT0570	1614564.284047	8146293.194695	155.186820	16-08-2016	mobilier	terre_cuite		/
10280	ALG16	PT0571	1614566.478381	8146297.068303	155.148715	16-08-2016	mobilier	terre_cuite		/
10280	ALG16	PT0572	1614565.471676	8146296.794551	155.113913	16-08-2016	mobilier	lithique		polissoir/
10280	ALG16	PT0573	1614565.491675	8146296.584118	155.107009	16-08-2016	mobilier	lithique		polissoir/
10280	ALG16	PT0574	1614565.616304	8146296.401267	155.059902	16-08-2016	mobilier	lithique		polissoir/
10280	ALG16	PT0575	1614566.039124	8146297.351515	155.039327	16-08-2016	anomalie			suite de PT 568/
10280	ALG16	PT0576	1614566.056529	8146298.122627	155.033557	16-08-2016	anomalie			/
10280	ALG16	PT0577	1614580.976113	8146314.186706	155.156878	16-08-2016	mobilier	terre_cuite		/
10280	ALG16	PT0578	1614581.343006	8146314.355905	155.114051	16-08-2016	mobilier	lithique		/
10280	ALG16	PT0579	1614582.159496	8146315.746180	154.941067	16-08-2016	mobilier	lithique		/
10280	ALG16	PT0580	1614566.744094	8146297.372776	155.009198	16-08-2016	fouille manuelle	clou plan	Fenêtre 07	/
10280	ALG16	PT0581	1614565.843500	8146296.877844	154.989552	16-08-2016	fouille manuelle	clou plan	Fenêtre 07	/
10280	ALG16	PT0582	1614565.348340	8146297.767846	154.980522	16-08-2016	fouille manuelle	clou plan	Fenêtre 07	/
10280	ALG16	PT0583	1614566.227622	8146298.229957	154.994567	16-08-2016	fouille manuelle	clou plan	Fenêtre 07	/
10280	ALG16	PT0584	1614566.089590	8146297.358362	154.985035	16-08-2016	mobilier	terre_cuite		/
10280	ALG16	PT0585	1614566.240388	8146295.706529	155.174693	16-08-2016	mobilier	terre_cuite		/

OA10280\_ALG16\_inventaire08\_points\_topo.xls: 11/21

CODE OA	CODE SITE	NUM	X (est)	Y (nord)	Z (alti)	DATE	ÉLÉMENT TOPOGRAPHIE	TYPE DE POINT	IDENTIFIANT	DESCRIPTION/ COMMENTAIRES
10280	ALG16	PT0586	1614563.387640	8146291.700855	155.206679	16-08-2016	mobilier	lithique		/
10280	ALG16	PT0587	1614563.400771	8146291.390528	155.205502	16-08-2016	mobilier	lithique		/
10280	ALG16	PT0588	1614563.656076	8146291.598264	155.203863	16-08-2016	mobilier	lithique		/
10280	ALG16	PT0589	1614564.574737	8146291.150407	155.185750	16-08-2016	mobilier	lithique		/
10280	ALG16	PT0590	1614575.396137	8146318.973969	155.126141	16-08-2016	mobilier	lithique		/
10280	ALG16	PT0591	1614574.986432	8146318.415189	155.162785	16-08-2016	mobilier	terre_cuite		/
10280	ALG16	PT0592	1614558.523284	8146294.240215	155.211987	16-08-2016	mobilier	lithique		/
10280	ALG16	PT0593	1614561.556412	8146292.951091	155.178694	16-08-2016	mobilier	lithique		/
10280	ALG16	PT0594	1614559.782339	8146291.336243	155.181379	16-08-2016	mobilier	lithique		/
10280	ALG16	PT0595	1614559.708934	8146291.250562	155.182454	16-08-2016	mobilier	terre_cuite		/
10280	ALG16	PT0596	1614560.980551	8146290.877381	155.182045	16-08-2016	mobilier	terre_cuite		/
10280	ALG16	PT0597	1614555.208202	8146292.980731	155.409250	16-08-2016	mobilier	lithique		/
10280	ALG16	PT0598	1614577.823406	8146307.881601	155.171270	16-08-2016	mobilier	lithique		/
10280	ALG16	PT0599	1614576.609461	8146306.739422	155.163104	16-08-2016	mobilier	lithique		/
10280	ALG16	PT0600	1614576.703554	8146306.565017	155.174275	16-08-2016	mobilier	lithique		/
10280	ALG16	PT0601	1614552.462432	8146290.503346	155.254238	16-08-2016	mobilier	lithique		/
10280	ALG16	PT0602	1614578.038580	8146307.119193	155.051910	16-08-2016	mobilier	lithique		/
10280	ALG16	PT0603	1614575.851069	8146306.155221	155.043125	16-08-2016	mobilier	terre_cuite		/
10280	ALG16	PT0604	1614579.262901	8146308.542691	155.035752	16-08-2016	mobilier	lithique		/
10280	ALG16	PT0605	1614576.144581	8146313.503001	155.191606	16-08-2016	mobilier	lithique		/
10280	ALG16	PT0606	1614561.571346	8146297.402687	155.434286	16-08-2016	coupe	clou coupe	CP 2.2	/
10280	ALG16	PT0607	1614563.438608	8146298.401945	155.407665	16-08-2016	coupe	clou coupe	CP 2.2	/
10280	ALG16	PT0608	1614561.640249	8146297.313145	154.060443	16-08-2016	coupe	clou coupe	CP 2.2	/
10280	ALG16	PT0609	1614563.471433	8146298.328922	154.103018	16-08-2016	coupe	clou coupe	CP 2.2	/
10280	ALG16	PT0610	1614573.750304	8146311.503024	155.123297	16-08-2016	mobilier	lithique		/
10280	ALG16	PT0611	1614577.147684	8146311.612704	155.070231	16-08-2016	mobilier	lithique		/
10280	ALG16	PT0612	1614575.241311	8146313.039578	155.139822	16-08-2016	mobilier	terre_cuite		/
10280	ALG16	PT0613	1614572.209869	8146308.391217	154.981872	16-08-2016	mobilier	lithique		/
10280	ALG16	PT0614	1614574.490045	8146313.728515	155.001382	16-08-2016	mobilier	lithique		/
10280	ALG16	PT0615	1614574.221904	8146314.449969	155.029371	16-08-2016	mobilier	lithique		/
10280	ALG16	PT0616	1614572.036279	8146314.820889	155.017400	16-08-2016	mobilier	lithique		/
10280	ALG16	PT0617	1614571.753073	8146311.209157	155.035019	16-08-2016	mobilier	lithique		/
10280	ALG16	PT0618	1614570.803773	8146310.481579	155.041820	16-08-2016	mobilier	terre_cuite		/
10280	ALG16	PT0619	1614569.859416	8146237.601193	153.951412	16-08-2016	structure	contour	ST 04	contour externe/
10280	ALG16	PT0620	1614570.086684	8146238.925403	153.915910	16-08-2016	structure	contour	ST 04	contour externe/
10280	ALG16	PT0621	1614570.143290	8146239.726244	153.896254	16-08-2016	structure	contour	ST 04	contour externe/
10280	ALG16	PT0622	1614570.845156	8146240.386530	153.914322	16-08-2016	structure	contour	ST 04	contour externe/
10280	ALG16	PT0623	1614570.506664	8146238.010470	153.927113	16-08-2016	structure	contour	ST 04	contour interne/
10280	ALG16	PT0624	1614570.616963	8146238.540594	153.939234	16-08-2016	structure	contour	ST 04	contour interne/
10280	ALG16	PT0625	1614570.910932	8146238.856283	153.948021	16-08-2016	structure	contour	ST 04	contour interne/
10280	ALG16	PT0626	1614570.936799	8146239.193855	153.933806	16-08-2016	structure	contour	ST 04	contour interne/
10280	ALG16	PT0627	1614571.272302	8146239.720803	153.888184	16-08-2016	structure	contour	ST 04	contour interne/
10280	ALG16	PT0628	1614572.558578	8146312.227052	155.039759	16-08-2016	mobilier	lithique		/
10280	ALG16	PT0629	1614572.766908	8146315.496244	155.000252	16-08-2016	mobilier	lithique		/
10280	ALG16	PT0630	1614574.704034	8146325.270826	155.100766	16-08-2016	mobilier	lithique		/
10280	ALG16	PT0631	1614573.701217	8146325.698512	155.050444	16-08-2016	mobilier	lithique		/
10280	ALG16	PT0632	1614568.793053	8146320.251744	155.142309	16-08-2016	mobilier	lithique		/
10280	ALG16	PT0633	1614651.714150	8146348.228068	155.018059	16-08-2016	décapage méca	altitude	TS 02	niveau du sol actuel/
10280	ALG16	PT0634	1614641.963787	8146342.601753	155.112875	16-08-2016	décapage méca	altitude	TS 02	niveau du sol actuel/
10280	ALG16	PT0635	1614633.038120	8146337.668652	155.207946	16-08-2016	décapage méca	altitude	TS 02	niveau du sol actuel/
10280	ALG16	PT0636	1614623.795489	8146332.756073	155.338883	16-08-2016	décapage méca	altitude	TS 02	niveau du sol actuel/
10280	ALG16	PT0637	1614614.756577	8146327.688380	155.553125	16-08-2016	décapage méca	altitude	TS 02	niveau du sol actuel/
10280	ALG16	PT0638	1614606.175230	8146322.070488	155.591729	16-08-2016	décapage méca	altitude	TS 02	niveau du sol actuel/
10280	ALG16	PT0639	1614596.969312	8146316.671025	155.553407	16-08-2016	décapage méca	altitude	TS 02	niveau du sol actuel/
10280	ALG16	PT0640	1614586.335551	8146310.224993	155.516119	16-08-2016	décapage méca	altitude	TS 02	niveau du sol actuel/
10280	ALG16	PT0641	1614572.706708	8146303.483768	154.979265	16-08-2016	mobilier	lithique		/
10280	ALG16	PT0642	1614568.066200	8146301.232833	155.602855	16-08-2016	décapage méca	altitude	TS 02	Base du décap./
10280	ALG16	PT0643	1614558.910645	8146296.172313	155.675972	16-08-2016	décapage méca	altitude	TS 02	Base du décap./
10280	ALG16	PT0644	1614548.611684	8146290.339701	155.799075	16-08-2016	décapage méca	altitude	TS 02	Base du décap./
10280	ALG16	PT0645	1614539.117288	8146284.884938	155.788805	16-08-2016	décapage méca	altitude	TS 02	Base du décap./

Section 3 – Inventaires techniques et scientifiques

OA10280\_ALG16\_inventaire08\_points\_topo.xls: 12/21

CODE OA	CODE SITE	NUM	X (est)	Y (nord)	Z (alti)	DATE	ÉLÉMENT TOPOGRAPHIE	TYPE DE POINT	IDENTIFIANT	DESCRIPTION/ COMMENTAIRES
10280	ALG16	PT0646	1614529.710904	8146279.648263	155.802573	16-08-2016	décapage méca	altitude	TS 02	Base du décap./
10280	ALG16	PT0647	1614520.830075	8146274.587926	155.851386	16-08-2016	décapage méca	altitude	TS 02	Base du décap./
10280	ALG16	PT0648	1614509.447982	8146268.735972	155.967410	16-08-2016	décapage méca	altitude	TS 02	Base du décap./
10280	ALG16	PT0649	1614498.794725	8146262.330483	156.035934	16-08-2016	décapage méca	altitude	TS 02	Base du décap./
10280	ALG16	PT0650	1614484.254452	8146254.378672	156.547173	16-08-2016	décapage méca	altitude	TS 02	Base du décap./
10280	ALG16	PT0651	1614572.456963	8146295.652253	155.079489	16-08-2016	mobilier	lithique		/
10280	ALG16	PT0652	1614569.727805	8146308.706923	155.052866	17-08-2016	mobilier	terre_cuite		/
10280	ALG16	PT0653	1614568.603653	8146310.654836	155.093401	17-08-2016	mobilier	lithique		/
10280	ALG16	PT0654	1614569.019527	8146308.502375	155.033472	17-08-2016	mobilier	lithique		meule/
10280	ALG16	PT0655	1614567.638760	8146307.951607	155.051594	17-08-2016	mobilier	lithique		lame verticale/
10280	ALG16	PT0656	1614567.857158	8146310.270715	155.083895	17-08-2016	mobilier	terre_cuite		/
10280	ALG16	PT0657	1614565.785171	8146308.517031	155.182316	17-08-2016	mobilier	terre_cuite		/
10280	ALG16	PT0658	1614563.781230	8146311.134754	155.130122	17-08-2016	mobilier	terre_cuite		/
10280	ALG16	PT0659	1614564.398210	8146310.739857	155.135072	17-08-2016	mobilier	terre_cuite		/
10280	ALG16	PT0660	1614562.621174	8146310.654001	155.186442	17-08-2016	mobilier	terre_cuite		/
10280	ALG16	PT0661	1614566.704114	8146312.380411	155.076952	17-08-2016	mobilier	terre_cuite		/
10280	ALG16	PT0662	1614571.894623	8146320.499463	154.988359	17-08-2016	fouille manuelle	clou plan		/
10280	ALG16	PT0663	1614571.461321	8146321.368831	154.972498	17-08-2016	fouille manuelle	clou plan		/
10280	ALG16	PT0664	1614572.358620	8146321.816850	154.986721	17-08-2016	fouille manuelle	clou plan		/
10280	ALG16	PT0665	1614572.803341	8146320.840568	155.009062	17-08-2016	fouille manuelle	clou plan		/
10280	ALG16	PT0666	1614564.524716	8146309.678415	155.120779	17-08-2016	mobilier	terre_cuite		/
10280	ALG16	PT0667	1614564.917663	8146310.988895	155.067627	17-08-2016	mobilier	terre_cuite		/
10280	ALG16	PT0668	1614564.492619	8146309.991221	155.094272	17-08-2016	mobilier	terre_cuite		/
10280	ALG16	PT0669	1614563.670030	8146308.548987	155.163425	17-08-2016	mobilier	terre_cuite		/
10280	ALG16	PT0670	1614562.633350	8146314.093311	155.041687	17-08-2016	mobilier	lithique		/
10280	ALG16	PT0671	1614563.195061	8146305.025087	155.219282	17-08-2016	mobilier	métal		/
10280	ALG16	PT0672	1614562.571543	8146306.840148	155.209685	17-08-2016	mobilier	terre_cuite		/
10280	ALG16	PT0673	1614563.133115	8146306.706488	155.189863	17-08-2016	mobilier	terre_cuite		/
10280	ALG16	PT0674	1614564.181411	8146306.083839	155.178613	17-08-2016	mobilier	terre_cuite		/
10280	ALG16	PT0675	1614561.756684	8146304.686951	155.183149	17-08-2016	mobilier	terre_cuite		/
10280	ALG16	PT0676	1614560.493170	8146304.622528	155.179235	17-08-2016	mobilier	métal		/
10280	ALG16	PT0677	1614560.624119	8146304.366763	155.173555	17-08-2016	mobilier	métal		/
10280	ALG16	PT0678	1614561.483120	8146305.363896	155.181889	17-08-2016	mobilier	lithique		/
10280	ALG16	PT0679	1614562.054900	8146304.890969	155.189742	17-08-2016	mobilier	lithique		/
10280	ALG16	PT0680	1614561.346429	8146305.398215	155.134165	17-08-2016	mobilier	terre_cuite		/
10280	ALG16	PT0681	1614559.597672	8146303.493822	155.133005	17-08-2016	mobilier	lithique		/
10280	ALG16	PT0682	1614594.906508	8146241.231053	155.456816	17-08-2016	coupe	clou coupe	CP 1.1	/
10280	ALG16	PT0683	1614593.645435	8146240.579025	155.433577	17-08-2016	coupe	clou coupe	CP 1.1	/
10280	ALG16	PT0684	1614592.419448	8146239.885764	155.435985	17-08-2016	coupe	clou coupe	CP 1.1	/
10280	ALG16	PT0685	1614594.890474	8146241.272501	154.656963	17-08-2016	coupe	clou coupe	CP 1.1	/
10280	ALG16	PT0686	1614593.620899	8146240.626136	154.624564	17-08-2016	coupe	clou coupe	CP 1.1	/
10280	ALG16	PT0687	1614592.374419	8146239.963151	154.630140	17-08-2016	coupe	clou coupe	CP 1.1	/
10280	ALG16	PT0688	1614592.203149	8146239.833918	155.033225	17-08-2016	fouille manuelle	clou plan	Fenêtre 05	/
10280	ALG16	PT0689	1614591.068343	8146239.216186	155.072633	17-08-2016	fouille manuelle	clou plan	Fenêtre 05	/
10280	ALG16	PT0690	1614590.084279	8146238.851203	155.090909	17-08-2016	fouille manuelle	clou plan	Fenêtre 05	/
10280	ALG16	PT0691	1614589.609105	8146239.790971	155.073922	17-08-2016	fouille manuelle	clou plan	Fenêtre 05	/
10280	ALG16	PT0692	1614590.535777	8146240.332838	155.077737	17-08-2016	fouille manuelle	clou plan	Fenêtre 05	/
10280	ALG16	PT0693	1614591.555710	8146240.858676	155.040167	17-08-2016	fouille manuelle	clou plan	Fenêtre 05	/
10280	ALG16	PT0694	1614570.705307	8146227.840478	155.843159	17-08-2016	décapage méca	altitude	TS 01	niveau sol actuel/
10280	ALG16	PT0695	1614580.330992	8146233.208252	155.772556	17-08-2016	décapage méca	altitude	TS 01	niveau sol actuel/
10280	ALG16	PT0696	1614588.517694	8146237.513213	155.705539	17-08-2016	décapage méca	altitude	TS 01	niveau sol actuel/
10280	ALG16	PT0697	1614593.610652	8146240.279741	155.662418	17-08-2016	décapage méca	altitude	TS 01	niveau sol actuel/
10280	ALG16	PT0698	1614598.987550	8146243.560579	155.586234	17-08-2016	décapage méca	altitude	TS 01	niveau sol actuel/
10280	ALG16	PT0699	1614604.801329	8146246.952519	155.565126	17-08-2016	décapage méca	altitude	TS 01	niveau sol actuel/
10280	ALG16	PT0700	1614611.190470	8146250.510141	155.474954	17-08-2016	décapage méca	altitude	TS 01	niveau sol actuel/
10280	ALG16	PT0701	1614617.824344	8146254.427787	155.423222	17-08-2016	décapage méca	altitude	TS 01	niveau sol actuel/
10280	ALG16	PT0702	1614626.506075	8146259.394132	155.348603	17-08-2016	décapage méca	altitude	TS 01	niveau sol actuel/
10280	ALG16	PT0703	1614635.070674	8146264.196430	155.299180	17-08-2016	décapage méca	altitude	TS 01	niveau sol actuel/
10280	ALG16	PT0704	1614644.078233	8146269.288821	155.304971	17-08-2016	décapage méca	altitude	TS 01	niveau sol actuel/
10280	ALG16	PT0705	1614653.626121	8146274.773280	155.303941	17-08-2016	décapage méca	altitude	TS 01	niveau sol actuel/

OA10280\_ALG16\_inventaire08\_points\_topo.xls: 13/21

CODE OA	CODE SITE	NUM	X (est)	Y (nord)	Z (alti)	DATE	ÉLÉMENT TOPOGRAPHIE	TYPE DE POINT	IDENTIFIANT	DESCRIPTION/ COMMENTAIRES
10280	ALG16	PT0706	1614666.260076	8146282.192701	155.094760	17-08-2016	décapage méca	altitude	TS 01	niveau sol actuel/
10280	ALG16	PT0707	1614655.540637	8146276.605176	154.889289	17-08-2016	décapage méca	altitude	TS 01	base décap/
10280	ALG16	PT0708	1614655.034219	8146276.238488	153.657247	17-08-2016	décapage méca	altitude	TS 01	base décap/
10280	ALG16	PT0709	1614652.326808	8146274.654790	153.613478	17-08-2016	décapage méca	altitude	TS 01	base décap/
10280	ALG16	PT0710	1614652.140305	8146274.417591	154.477557	17-08-2016	décapage méca	altitude	TS 01	base décap/
10280	ALG16	PT0711	1614642.954657	8146269.065206	154.580281	17-08-2016	décapage méca	altitude	TS 01	base décap/
10280	ALG16	PT0712	1614634.240980	8146264.102202	154.656642	17-08-2016	décapage méca	altitude	TS 01	base décap/
10280	ALG16	PT0713	1614625.204289	8146259.014808	154.729519	17-08-2016	décapage méca	altitude	TS 01	base décap/
10280	ALG16	PT0714	1614616.552524	8146254.159060	154.840041	17-08-2016	décapage méca	altitude	TS 01	base décap/
10280	ALG16	PT0715	1614607.681837	8146249.006587	154.971624	17-08-2016	décapage méca	altitude	TS 01	base décap/
10280	ALG16	PT0716	1614602.425963	8146245.972190	154.978301	17-08-2016	décapage méca	altitude	TS 01	base décap/
10280	ALG16	PT0717	1614601.877303	8146245.657163	154.893418	17-08-2016	décapage méca	altitude	TS 01	base décap/
10280	ALG16	PT0718	1614595.260987	8146241.927236	155.034972	17-08-2016	décapage méca	altitude	TS 01	base décap/
10280	ALG16	PT0719	1614594.863693	8146241.356249	153.775458	17-08-2016	décapage méca	altitude	TS 01	base décap/
10280	ALG16	PT0720	1614592.772265	8146240.323609	153.717785	17-08-2016	décapage méca	altitude	TS 01	base décap/
10280	ALG16	PT0721	1614592.210324	8146239.830769	155.020671	17-08-2016	décapage méca	altitude	TS 01	base décap/
10280	ALG16	PT0722	1614586.234921	8146236.669625	155.207180	17-08-2016	décapage méca	altitude	TS 01	base décap/
10280	ALG16	PT0723	1614574.186020	8146230.129887	155.244149	17-08-2016	décapage méca	altitude	TS 01	base décap/
10280	ALG16	PT0724	1614550.664010	8146273.255776	155.309587	17-08-2016	mobilier	terre_cuite		/
10280	ALG16	PT0725	1614551.615514	8146279.026314	155.332974	17-08-2016	mobilier	terre_cuite		/
10280	ALG16	PT0726	1614551.384260	8146283.319534	155.312689	17-08-2016	mobilier	terre_cuite		/
10280	ALG16	PT0727	1614550.773009	8146287.717034	155.282204	17-08-2016	mobilier	terre_cuite		/
10280	ALG16	PT0728	1614561.994440	8146297.706863	155.314363	17-08-2016	fouille manuelle	clou plan	Fenêtre 08	/
10280	ALG16	PT0729	1614561.667735	8146298.212898	155.330595	17-08-2016	fouille manuelle	clou plan	Fenêtre 08	/
10280	ALG16	PT0730	1614560.602928	8146297.532042	155.358802	17-08-2016	fouille manuelle	clou plan	Fenêtre 08	/
10280	ALG16	PT0731	1614560.897927	8146297.057275	155.362999	17-08-2016	fouille manuelle	clou plan	Fenêtre 08	/
10280	ALG16	PT0732	1614563.784054	8146258.173382	155.260851	17-08-2016	fouille manuelle	clou plan	Fenêtre 04	/
10280	ALG16	PT0733	1614563.231932	8146257.502025	155.274601	17-08-2016	fouille manuelle	clou plan	Fenêtre 04	/
10280	ALG16	PT0734	1614562.661496	8146256.789285	155.244744	17-08-2016	fouille manuelle	clou plan	Fenêtre 04	/
10280	ALG16	PT0735	1614563.527357	8146256.020227	155.242710	17-08-2016	fouille manuelle	clou plan	Fenêtre 04	/
10280	ALG16	PT0736	1614564.146449	8146256.696296	155.229719	17-08-2016	fouille manuelle	clou plan	Fenêtre 04	/
10280	ALG16	PT0737	1614564.662275	8146257.407532	155.235398	17-08-2016	fouille manuelle	clou plan	Fenêtre 04	/
10280	ALG16	PT0738	1614587.074710	8146311.545407	155.329651	18-08-2016	coupe	clou coupe	CP 2.1	/
10280	ALG16	PT0739	1614585.427061	8146310.627928	155.348953	18-08-2016	coupe	clou coupe	CP 2.1	/
10280	ALG16	PT0740	1614587.063557	8146311.618176	154.439874	18-08-2016	coupe	clou coupe	CP 2.1	/
10280	ALG16	PT0741	1614585.423820	8146310.698069	154.433066	18-08-2016	coupe	clou coupe	CP 2.1	/
10280	ALG16	PT0742	1614568.624860	8146237.088247	155.115138	18-08-2016	coupe	clou coupe	CP 3.1	/
10280	ALG16	PT0743	1614567.840750	8146238.496105	155.107564	18-08-2016	coupe	clou coupe	CP 3.1	/
10280	ALG16	PT0744	1614549.110492	8146272.557245	155.419162	17-08-2016	mobilier	terre_cuite		/
10280	ALG16	PT0745	1614548.832791	8146272.230875	155.427055	17-08-2016	mobilier	terre_cuite		/
10280	ALG16	PT0746	1614549.347602	8146272.702050	155.295993	17-08-2016	mobilier	terre_cuite		/
10280	ALG16	PT0747	1614547.722413	8146273.200100	155.287757	17-08-2016	mobilier	terre_cuite		/
10280	ALG16	PT0748	1614551.303278	8146270.967847	155.292006	17-08-2016	mobilier	terre_cuite		/
10280	ALG16	PT0749	1614544.335892	8146283.361069	155.582662	18-08-2016	coupe	clou coupe	CP 3.2	/
10280	ALG16	PT0750	1614543.365124	8146284.929402	155.573667	18-08-2016	coupe	clou coupe	CP 3.2	/
10280	ALG16	PT0751	1614544.355122	8146283.374452	154.689365	18-08-2016	coupe	clou coupe	CP 3.2	/
10280	ALG16	PT0752	1614543.425323	8146284.983109	154.688366	18-08-2016	coupe	clou coupe	CP 3.2	/
10280	ALG16	PT0753	1614559.612677	8146277.928550	155.264251	17-08-2016	structure	contour	ST 09	/
10280	ALG16	PT0754	1614561.428310	8146274.548438	155.251757	17-08-2016	structure	contour	ST 09	/
10280	ALG16	PT0755	1614565.511125	8146267.373784	155.155883	17-08-2016	structure	contour	ST 09	/
10280	ALG16	PT0756	1614568.781156	8146261.276749	155.235315	17-08-2016	structure	contour	ST 09	/
10280	ALG16	PT0757	1614572.052521	8146255.482046	155.126631	17-08-2016	structure	contour	ST 09	/
10280	ALG16	PT0758	1614574.781237	8146250.500214	155.136070	17-08-2016	structure	contour	ST 09	/
10280	ALG16	PT0759	1614577.592686	8146245.665950	155.070763	17-08-2016	structure	contour	ST 09	/
10280	ALG16	PT0760	1614579.899328	8146241.707655	155.058287	17-08-2016	structure	contour	ST 09	/
10280	ALG16	PT0761	1614580.355816	8146241.863611	155.048236	17-08-2016	structure	contour	ST 09	/
10280	ALG16	PT0762	1614577.657843	8146246.446237	155.075068	17-08-2016	structure	contour	ST 09	/
10280	ALG16	PT0763	1614575.319162	8146250.583434	155.138827	17-08-2016	structure	contour	ST 09	/
10280	ALG16	PT0764	1614572.370381	8146255.707228	155.135305	17-08-2016	structure	contour	ST 09	/
10280	ALG16	PT0765	1614569.177530	8146261.422424	155.239846	17-08-2016	structure	contour	ST 09	/

Section 3 – Inventaires techniques et scientifiques

OA10280\_ALG16\_inventaire08\_points\_topo.xls: 14/21

CODE OA	CODE SITE	NUM	X (est)	Y (nord)	Z (alti)	DATE	ÉLÉMENT TOPOGRAPHIE	TYPE DE POINT	IDENTIFIANT	DESCRIPTION/ COMMENTAIRES
10280	ALG16	PT0766	1614565.857080	8146267.529872	155.155065	17-08-2016	structure	contour	ST 09	/
10280	ALG16	PT0767	1614562.050125	8146274.608882	155.262654	17-08-2016	structure	contour	ST 09	/
10280	ALG16	PT0768	1614560.025242	8146278.290015	155.264391	17-08-2016	structure	contour	ST 09	/
10280	ALG16	PT0769	1614546.904526	8146274.839196	155.440579	18-08-2016	mobilier	lithique		/
10280	ALG16	PT0770	1614545.128249	8146276.650033	155.503631	18-08-2016	mobilier	lithique		/
10280	ALG16	PT0771	1614580.339074	8146310.958395	154.637005	18-08-2016	structure	clou plan	ST 10	chablis/
10280	ALG16	PT0772	1614581.944788	8146310.954578	154.641790	18-08-2016	structure	clou plan	ST 10	chablis/
10280	ALG16	PT0773	1614581.841402	8146312.215919	154.632190	18-08-2016	structure	clou plan	ST 10	chablis/
10280	ALG16	PT0774	1614580.361472	8146312.071855	154.633408	18-08-2016	structure	clou plan	ST 10	chablis/
10280	ALG16	PT0775	1614580.551745	8146311.095382	154.603009	18-08-2016	structure	contour	ST 10	chablis/
10280	ALG16	PT0776	1614580.637651	8146311.060564	154.615950	18-08-2016	structure	contour	ST 10	chablis/
10280	ALG16	PT0777	1614580.716687	8146311.100245	154.618936	18-08-2016	structure	contour	ST 10	chablis/
10280	ALG16	PT0778	1614580.799217	8146311.109690	154.609572	18-08-2016	structure	contour	ST 10	chablis/
10280	ALG16	PT0779	1614580.882130	8146311.111855	154.620951	18-08-2016	structure	contour	ST 10	chablis/
10280	ALG16	PT0780	1614581.064800	8146311.098965	154.619920	18-08-2016	structure	contour	ST 10	chablis/
10280	ALG16	PT0781	1614581.099387	8146311.109644	154.621658	18-08-2016	structure	contour	ST 10	chablis/
10280	ALG16	PT0782	1614581.178445	8146311.070682	154.620254	18-08-2016	structure	contour	ST 10	chablis/
10280	ALG16	PT0783	1614581.280948	8146311.086126	154.618212	18-08-2016	structure	contour	ST 10	chablis/
10280	ALG16	PT0784	1614581.408913	8146311.094761	154.615072	18-08-2016	structure	contour	ST 10	chablis/
10280	ALG16	PT0785	1614581.578242	8146311.108223	154.615719	18-08-2016	structure	contour	ST 10	chablis/
10280	ALG16	PT0786	1614581.732471	8146311.092492	154.619324	18-08-2016	structure	contour	ST 10	chablis/
10280	ALG16	PT0787	1614581.785611	8146311.178137	154.617409	18-08-2016	structure	contour	ST 10	chablis/
10280	ALG16	PT0788	1614581.831226	8146311.232987	154.612355	18-08-2016	structure	contour	ST 10	chablis/
10280	ALG16	PT0789	1614581.806460	8146311.391619	154.611950	18-08-2016	structure	contour	ST 10	chablis/
10280	ALG16	PT0790	1614581.835832	8146311.438553	154.614555	18-08-2016	structure	contour	ST 10	chablis/
10280	ALG16	PT0791	1614581.832043	8146311.576936	154.612372	18-08-2016	structure	contour	ST 10	chablis/
10280	ALG16	PT0792	1614581.797125	8146311.673618	154.607464	18-08-2016	structure	contour	ST 10	chablis/
10280	ALG16	PT0793	1614581.822446	8146311.750865	154.613377	18-08-2016	structure	contour	ST 10	chablis/
10280	ALG16	PT0794	1614581.728087	8146311.865265	154.612260	18-08-2016	structure	contour	ST 10	chablis/
10280	ALG16	PT0795	1614581.415286	8146311.876789	154.598570	18-08-2016	structure	contour	ST 10	chablis/
10280	ALG16	PT0796	1614581.267472	8146311.872820	154.606493	18-08-2016	structure	contour	ST 10	chablis/
10280	ALG16	PT0797	1614581.112894	8146311.877494	154.607511	18-08-2016	structure	contour	ST 10	chablis/
10280	ALG16	PT0798	1614580.979127	8146311.841918	154.606222	18-08-2016	structure	contour	ST 10	chablis/
10280	ALG16	PT0799	1614580.778174	8146311.914049	154.605154	18-08-2016	structure	contour	ST 10	chablis/
10280	ALG16	PT0800	1614580.569586	8146311.894698	154.597258	18-08-2016	structure	contour	ST 10	chablis/
10280	ALG16	PT0801	1614580.558372	8146311.798244	154.603198	18-08-2016	structure	contour	ST 10	chablis/
10280	ALG16	PT0802	1614580.390536	8146311.527731	154.605415	18-08-2016	structure	contour	ST 10	chablis/
10280	ALG16	PT0803	1614580.421904	8146311.447648	154.601326	18-08-2016	structure	contour	ST 10	chablis/
10280	ALG16	PT0804	1614580.409291	8146311.363451	154.602674	18-08-2016	structure	contour	ST 10	chablis/
10280	ALG16	PT0805	1614580.505058	8146311.240501	154.606795	18-08-2016	structure	contour	ST 10	chablis/
10280	ALG16	PT0806	1614524.636987	8146258.674284	155.404829	18-08-2016	mobilier	lithique		/
10280	ALG16	PT0807	1614529.133411	8146256.318990	155.277882	18-08-2016	fouille manuelle	clou plan	Fenêtre 01	sommet ups 3/
10280	ALG16	PT0808	1614529.664716	8146255.415880	155.271515	18-08-2016	fouille manuelle	clou plan	Fenêtre 01	sommet ups 3/
10280	ALG16	PT0809	1614530.153550	8146254.453478	155.272568	18-08-2016	fouille manuelle	clou plan	Fenêtre 01	sommet ups 3/
10280	ALG16	PT0810	1614531.062025	8146254.961428	155.264576	18-08-2016	fouille manuelle	clou plan	Fenêtre 01	sommet ups 3/
10280	ALG16	PT0811	1614530.546896	8146255.905444	155.261940	18-08-2016	fouille manuelle	clou plan	Fenêtre 01	sommet ups 3/
10280	ALG16	PT0812	1614529.974176	8146256.881039	155.258443	18-08-2016	fouille manuelle	clou plan	Fenêtre 01	sommet ups 3/
10280	ALG16	PT0813	1614529.445359	8146261.020019	155.754356	18-08-2016	coupe	clou coupe	CP 4.2	/
10280	ALG16	PT0814	1614530.826915	8146261.999303	155.739949	18-08-2016	coupe	clou coupe	CP 4.2	/
10280	ALG16	PT0815	1614529.461981	8146260.997235	155.126886	18-08-2016	coupe	clou coupe	CP 4.2	/
10280	ALG16	PT0816	1614530.850446	8146261.961604	155.150858	18-08-2016	coupe	clou coupe	CP 4.2	/
10280	ALG16	PT0817	1614527.641010	8146263.347238	155.733325	18-08-2016	coupe	clou coupe	CP 4.1	/
10280	ALG16	PT0818	1614528.355797	8146262.285004	155.715771	18-08-2016	coupe	clou coupe	CP 4.1	/
10280	ALG16	PT0819	1614527.577357	8146263.320082	154.853573	18-08-2016	coupe	clou coupe	CP 4.1	/
10280	ALG16	PT0820	1614528.320549	8146262.252858	154.849939	18-08-2016	coupe	clou coupe	CP 4.1	/
10280	ALG16	PT0821	1614524.892548	8146258.837306	155.412920	18-08-2016	mobilier	lithique		/
10280	ALG16	PT0822	1614565.186958	8146295.441850	155.147467	18-08-2016	mobilier	lithique		/
10280	ALG16	PT0823	1614593.448347	8146316.768213	155.049629	18-08-2016	décapage méca	altitude	TS 01	base décapage/
10280	ALG16	PT0824	1614588.074323	8146313.116216	155.037590	18-08-2016	décapage méca	altitude	TS 01	base décapage/
10280	ALG16	PT0825	1614587.343298	8146312.832648	154.306122	18-08-2016	décapage méca	altitude	TS 01	base décapage/

OA10280\_ALG16\_inventaire08\_points\_topo.xls: 15/21

CODE OA	CODE SITE	NUM	X (est)	Y (nord)	Z (alti)	DATE	ÉLÉMENT TOPOGRAPHIE	TYPE DE POINT	IDENTIFIANT	DESCRIPTION/ COMMENTAIRES
10280	ALG16	PT0826	1614584.899787	8146311.569191	154.308446	18-08-2016	décapage méca	altitude	TS 01	base décapage/
10280	ALG16	PT0827	1614584.764832	8146311.470238	154.952588	18-08-2016	décapage méca	altitude	TS 01	base décapage/
10280	ALG16	PT0828	1614576.159569	8146306.790683	155.026366	18-08-2016	décapage méca	altitude	TS 01	base décapage/
10280	ALG16	PT0829	1614567.795169	8146300.941790	155.091899	18-08-2016	décapage méca	altitude	TS 01	base décapage/
10280	ALG16	PT0830	1614566.140846	8146299.807786	155.098536	18-08-2016	décapage méca	altitude	TS 01	base décapage/
10280	ALG16	PT0831	1614566.065666	8146299.757509	154.987461	18-08-2016	décapage méca	altitude	TS 01	base décapage/
10280	ALG16	PT0832	1614564.474291	8146298.821987	154.955409	18-08-2016	décapage méca	altitude	TS 01	base décapage/
10280	ALG16	PT0833	1614562.948432	8146297.969667	153.712439	18-08-2016	décapage méca	altitude	TS 01	base décapage/
10280	ALG16	PT0834	1614561.650926	8146297.197499	153.768094	18-08-2016	décapage méca	altitude	TS 01	base décapage/
10280	ALG16	PT0835	1614559.586248	8146296.135250	155.188111	18-08-2016	décapage méca	altitude	TS 01	base décapage/
10280	ALG16	PT0836	1614551.607700	8146291.555873	155.265348	18-08-2016	décapage méca	altitude	TS 01	base décapage/
10280	ALG16	PT0837	1614546.173940	8146286.799157	155.340877	18-08-2016	décapage méca	altitude	TS 01	base décapage/
10280	ALG16	PT0838	1614546.547935	8146285.275849	153.690985	18-08-2016	décapage méca	altitude	TS 01	base décapage/
10280	ALG16	PT0839	1614544.350376	8146284.205194	153.773725	18-08-2016	décapage méca	altitude	TS 01	base décapage/
10280	ALG16	PT0840	1614545.354616	8146281.518268	155.300450	18-08-2016	décapage méca	altitude	TS 01	base décapage/
10280	ALG16	PT0841	1614536.112584	8146276.339893	155.409850	18-08-2016	décapage méca	altitude	TS 01	base décapage/
10280	ALG16	PT0842	1614527.472139	8146271.609381	155.508960	18-08-2016	décapage méca	altitude	TS 01	base décapage/
10280	ALG16	PT0843	1614518.707368	8146266.672365	155.557211	18-08-2016	décapage méca	altitude	TS 01	base décapage/
10280	ALG16	PT0844	1614576.335072	8146223.113391	156.800936	18-08-2016	décapage méca	altitude	TS 03	niveau sol actuel/
10280	ALG16	PT0845	1614575.477642	8146224.870483	157.583681	18-08-2016	décapage méca	altitude	TS 03	niveau sol actuel/
10280	ALG16	PT0846	1614574.955859	8146225.885316	157.598532	18-08-2016	décapage méca	altitude	TS 03	niveau sol actuel/
10280	ALG16	PT0847	1614573.469868	8146228.534464	156.152838	18-08-2016	décapage méca	altitude	TS 03	niveau sol actuel/
10280	ALG16	PT0848	1614574.024635	8146229.668207	155.840276	18-08-2016	décapage méca	altitude	TS 03	niveau sol actuel/
10280	ALG16	PT0849	1614570.710860	8146233.934585	155.729460	18-08-2016	décapage méca	altitude	TS 03	niveau sol actuel/
10280	ALG16	PT0850	1614565.242391	8146242.256240	155.637585	18-08-2016	décapage méca	altitude	TS 03	niveau sol actuel/
10280	ALG16	PT0851	1614560.395067	8146253.478286	155.740237	18-08-2016	décapage méca	altitude	TS 03	niveau sol actuel/
10280	ALG16	PT0852	1614553.801313	8146265.955147	155.738908	18-08-2016	décapage méca	altitude	TS 03	niveau sol actuel/
10280	ALG16	PT0853	1614545.056261	8146281.807221	155.783769	18-08-2016	décapage méca	altitude	TS 03	niveau sol actuel/
10280	ALG16	PT0854	1614539.517435	8146291.271193	155.781933	18-08-2016	décapage méca	altitude	TS 03	niveau sol actuel/
10280	ALG16	PT0855	1614533.471685	8146299.665125	155.895259	18-08-2016	décapage méca	altitude	TS 03	niveau sol actuel/
10280	ALG16	PT0856	1614529.228713	8146309.045666	155.984346	18-08-2016	décapage méca	altitude	TS 03	niveau sol actuel/
10280	ALG16	PT0857	1614524.274700	8146318.588338	155.872295	18-08-2016	décapage méca	altitude	TS 03	niveau sol actuel/
10280	ALG16	PT0858	1614519.331333	8146328.521522	155.864258	18-08-2016	décapage méca	altitude	TS 03	niveau sol actuel/
10280	ALG16	PT0859	1614511.491997	8146342.791356	155.839443	18-08-2016	décapage méca	altitude	TS 03	niveau sol actuel/
10280	ALG16	PT0860	1614542.689001	8146286.466638	155.694263	18-08-2016	décapage méca	altitude	TS 03	base décapage/
10280	ALG16	PT0861	1614543.857621	8146285.204843	153.930801	18-08-2016	décapage méca	altitude	TS 03	base décapage/
10280	ALG16	PT0862	1614544.752190	8146283.710827	153.759173	18-08-2016	décapage méca	altitude	TS 03	base décapage/
10280	ALG16	PT0863	1614545.318123	8146281.494314	155.301930	18-08-2016	décapage méca	altitude	TS 03	base décapage/
10280	ALG16	PT0864	1614550.267779	8146273.241150	155.333273	18-08-2016	décapage méca	altitude	TS 03	base décapage/
10280	ALG16	PT0865	1614556.806141	8146261.424480	155.235126	18-08-2016	décapage méca	altitude	TS 03	base décapage/
10280	ALG16	PT0866	1614562.382717	8146250.916487	155.155510	18-08-2016	décapage méca	altitude	TS 03	base décapage/
10280	ALG16	PT0867	1614566.354246	8146243.198068	155.119172	18-08-2016	décapage méca	altitude	TS 03	base décapage/
10280	ALG16	PT0868	1614568.609635	8146239.576044	153.171336	18-08-2016	décapage méca	altitude	TS 03	base décapage/
10280	ALG16	PT0869	1614569.454665	8146237.769949	153.013536	18-08-2016	décapage méca	altitude	TS 03	base décapage/
10280	ALG16	PT0870	1614569.420102	8146236.908184	155.010736	18-08-2016	décapage méca	altitude	TS 03	base décapage/
10280	ALG16	PT0871	1614574.140026	8146230.164048	155.235418	18-08-2016	décapage méca	altitude	TS 03	base décapage/
10280	ALG16	PT0872	1614581.265121	8146310.589861	154.612811	18-08-2016	structure	clou carroyage	ST 10	coupe E-O/
10280	ALG16	PT0873	1614581.238518	8146312.071451	154.612681	18-08-2016	structure	clou carroyage	ST 10	coupe E-O/
10280	ALG16	PT0874	1614580.145885	8146311.397095	154.644312	18-08-2016	structure	clou carroyage	ST 10	coupe S-N/
10280	ALG16	PT0875	1614582.321694	8146311.412417	154.649228	18-08-2016	structure	clou carroyage	ST 10	coupe S-N/
10280	ALG16	PT0876	1614559.493364	8146296.116691	155.191171	19-08-2016	décapage méca	contour		emprise définitive 5338 m²/
10280	ALG16	PT0877	1614558.731379	8146297.625988	155.396927	19-08-2016	décapage méca	contour		emprise définitive 5338 m²/
10280	ALG16	PT0878	1614559.563371	8146298.506102	155.406613	19-08-2016	décapage méca	contour		emprise définitive 5338 m²/
10280	ALG16	PT0879	1614558.122753	8146301.114666	155.272525	19-08-2016	décapage méca	contour		emprise définitive 5338 m²/
10280	ALG16	PT0880	1614556.346986	8146304.326649	155.271536	19-08-2016	décapage méca	contour		emprise définitive 5338 m²/
10280	ALG16	PT0881	1614554.826198	8146307.483666	155.165261	19-08-2016	décapage méca	contour		emprise définitive 5338 m²/

Section 3 – Inventaires techniques et scientifiques

OA10280\_ALG16\_inventaire08\_points\_topo.xls: 16/21

CODE OA	CODE SITE	NUM	X (est)	Y (nord)	Z (alti)	DATE	ÉLÉMENT TOPOGRAPHIE	TYPE DE POINT	IDENTIFIANT	DESCRIPTION/ COMMENTAIRES
10280	ALG16	PT0882	1614556.604778	8146308.921385	155.115529	19-08-2016	décapage méca	contour		emprise définitive 5338 m <sup>2</sup> /
10280	ALG16	PT0883	1614556.924617	8146310.299059	155.209561	19-08-2016	décapage méca	contour		emprise définitive 5338 m <sup>2</sup> /
10280	ALG16	PT0884	1614557.737664	8146312.640810	155.229767	19-08-2016	décapage méca	contour		emprise définitive 5338 m <sup>2</sup> /
10280	ALG16	PT0885	1614560.850426	8146313.965393	155.106813	19-08-2016	décapage méca	contour		emprise définitive 5338 m <sup>2</sup> /
10280	ALG16	PT0886	1614563.442258	8146316.388908	155.094523	19-08-2016	décapage méca	contour		emprise définitive 5338 m <sup>2</sup> /
10280	ALG16	PT0887	1614564.978812	8146316.792378	155.002063	19-08-2016	décapage méca	contour		emprise définitive 5338 m <sup>2</sup> /
10280	ALG16	PT0888	1614565.942730	8146318.016803	155.024110	19-08-2016	décapage méca	contour		emprise définitive 5338 m <sup>2</sup> /
10280	ALG16	PT0889	1614566.195670	8146319.975151	155.036888	19-08-2016	décapage méca	contour		emprise définitive 5338 m <sup>2</sup> /
10280	ALG16	PT0890	1614565.564648	8146322.692037	155.037369	19-08-2016	décapage méca	contour		emprise définitive 5338 m <sup>2</sup> /
10280	ALG16	PT0891	1614573.595191	8146327.147246	155.130168	19-08-2016	décapage méca	contour		emprise définitive 5338 m <sup>2</sup> /
10280	ALG16	PT0892	1614577.775117	8146329.693228	155.090581	19-08-2016	décapage méca	contour		emprise définitive 5338 m <sup>2</sup> /
10280	ALG16	PT0893	1614580.083509	8146330.212772	155.104951	19-08-2016	décapage méca	contour		emprise définitive 5338 m <sup>2</sup> /
10280	ALG16	PT0894	1614581.548019	8146331.008850	155.106586	19-08-2016	décapage méca	contour		emprise définitive 5338 m <sup>2</sup> /
10280	ALG16	PT0895	1614583.011527	8146332.179904	155.094121	19-08-2016	décapage méca	contour		emprise définitive 5338 m <sup>2</sup> /
10280	ALG16	PT0896	1614586.880878	8146329.101741	155.051380	19-08-2016	décapage méca	contour		emprise définitive 5338 m <sup>2</sup> /
10280	ALG16	PT0897	1614586.039581	8146328.033220	155.030517	19-08-2016	décapage méca	contour		emprise définitive 5338 m <sup>2</sup> /
10280	ALG16	PT0898	1614589.724511	8146325.406278	155.012820	19-08-2016	décapage méca	contour		emprise définitive 5338 m <sup>2</sup> /
10280	ALG16	PT0899	1614588.675168	8146323.806775	154.957171	19-08-2016	décapage méca	contour		emprise définitive 5338 m <sup>2</sup> /
10280	ALG16	PT0900	1614592.171442	8146321.257190	155.041621	19-08-2016	décapage méca	contour		emprise définitive 5338 m <sup>2</sup> /
10280	ALG16	PT0901	1614591.151856	8146319.625099	155.012809	19-08-2016	décapage méca	contour		emprise définitive 5338 m <sup>2</sup> /
10280	ALG16	PT0902	1614594.317659	8146317.208257	155.133311	19-08-2016	décapage méca	contour		emprise définitive 5338 m <sup>2</sup> /
10280	ALG16	PT0903	1614593.452963	8146316.032416	155.111297	19-08-2016	décapage méca	contour		emprise définitive 5338 m <sup>2</sup> /
10280	ALG16	PT0904	1614596.826225	8146313.646577	155.067502	19-08-2016	décapage méca	contour		emprise définitive 5338 m <sup>2</sup> /
10280	ALG16	PT0905	1614595.756095	8146312.070629	155.012664	19-08-2016	décapage méca	contour		emprise définitive 5338 m <sup>2</sup> /
10280	ALG16	PT0906	1614599.159425	8146309.460857	155.019233	19-08-2016	décapage méca	contour		emprise définitive 5338 m <sup>2</sup> /
10280	ALG16	PT0907	1614597.989502	8146307.801362	154.953958	19-08-2016	décapage méca	contour		emprise définitive 5338 m <sup>2</sup> /
10280	ALG16	PT0908	1614601.380055	8146304.823631	154.936939	19-08-2016	décapage méca	contour		emprise définitive 5338 m <sup>2</sup> /
10280	ALG16	PT0909	1614600.427389	8146303.676248	154.922408	19-08-2016	décapage méca	contour		emprise définitive 5338 m <sup>2</sup> /
10280	ALG16	PT0910	1614604.076176	8146300.805188	154.926990	19-08-2016	décapage méca	contour		emprise définitive 5338 m <sup>2</sup> /
10280	ALG16	PT0911	1614602.994236	8146299.325482	154.890206	19-08-2016	décapage méca	contour		emprise définitive 5338 m <sup>2</sup> /
10280	ALG16	PT0912	1614606.782425	8146296.658513	154.903081	19-08-2016	décapage méca	contour		emprise définitive 5338 m <sup>2</sup> /
10280	ALG16	PT0913	1614605.697491	8146295.033074	154.868343	19-08-2016	décapage méca	contour		emprise définitive 5338 m <sup>2</sup> /
10280	ALG16	PT0914	1614608.612835	8146292.773520	154.835727	19-08-2016	décapage méca	contour		emprise définitive 5338 m <sup>2</sup> /
10280	ALG16	PT0915	1614607.738631	8146291.501745	154.817314	19-08-2016	décapage méca	contour		emprise définitive 5338 m <sup>2</sup> /
10280	ALG16	PT0916	1614611.675130	8146288.704363	154.777783	19-08-2016	décapage méca	contour		emprise définitive 5338 m <sup>2</sup> /

OA10280\_ALG16\_inventaire08\_points\_topo.xls: 17/21

CODE OA	CODE SITE	NUM	X (est)	Y (nord)	Z (alti)	DATE	ÉLÉMENT TOPOGRAPHIE	TYPE DE POINT	IDENTIFIANT	DESCRIPTION/ COMMENTAIRES
10280	ALG16	PT0917	1614610.717328	8146287.208283	154.733296	19-08-2016	décapage méca	contour		emprise définitive 5338 m <sup>2</sup> /
10280	ALG16	PT0918	1614613.723044	8146284.994312	154.816778	19-08-2016	décapage méca	contour		emprise définitive 5338 m <sup>2</sup> /
10280	ALG16	PT0919	1614612.848803	8146283.645399	154.742698	19-08-2016	décapage méca	contour		emprise définitive 5338 m <sup>2</sup> /
10280	ALG16	PT0920	1614615.871666	8146281.397758	154.745635	19-08-2016	décapage méca	contour		emprise définitive 5338 m <sup>2</sup> /
10280	ALG16	PT0921	1614614.713183	8146279.765332	154.729167	19-08-2016	décapage méca	contour		emprise définitive 5338 m <sup>2</sup> /
10280	ALG16	PT0922	1614618.196154	8146277.003395	154.734493	19-08-2016	décapage méca	contour		emprise définitive 5338 m <sup>2</sup> /
10280	ALG16	PT0923	1614617.345824	8146275.713953	154.696051	19-08-2016	décapage méca	contour		emprise définitive 5338 m <sup>2</sup> /
10280	ALG16	PT0924	1614620.609651	8146273.261662	154.745855	19-08-2016	décapage méca	contour		emprise définitive 5338 m <sup>2</sup> /
10280	ALG16	PT0925	1614619.661157	8146271.833136	154.720421	19-08-2016	décapage méca	contour		emprise définitive 5338 m <sup>2</sup> /
10280	ALG16	PT0926	1614619.661199	8146271.826435	154.720851	19-08-2016	décapage méca	contour		emprise définitive 5338 m <sup>2</sup> /
10280	ALG16	PT0927	1614622.697884	8146269.596687	154.749969	19-08-2016	décapage méca	contour		emprise définitive 5338 m <sup>2</sup> /
10280	ALG16	PT0928	1614621.375039	8146267.758580	154.682424	19-08-2016	décapage méca	contour		emprise définitive 5338 m <sup>2</sup> /
10280	ALG16	PT0929	1614624.606082	8146264.827016	154.620998	19-08-2016	décapage méca	contour		emprise définitive 5338 m <sup>2</sup> /
10280	ALG16	PT0930	1614626.675923	8146265.110568	154.650253	19-08-2016	décapage méca	contour		emprise définitive 5338 m <sup>2</sup> /
10280	ALG16	PT0931	1614626.573081	8146266.650654	154.651770	19-08-2016	décapage méca	contour		emprise définitive 5338 m <sup>2</sup> /
10280	ALG16	PT0932	1614630.134237	8146267.059959	154.623230	19-08-2016	décapage méca	contour		emprise définitive 5338 m <sup>2</sup> /
10280	ALG16	PT0933	1614630.083299	8146268.675638	154.604735	19-08-2016	décapage méca	contour		emprise définitive 5338 m <sup>2</sup> /
10280	ALG16	PT0934	1614632.894805	8146269.121679	154.613738	19-08-2016	décapage méca	contour		emprise définitive 5338 m <sup>2</sup> /
10280	ALG16	PT0935	1614633.700562	8146269.386641	154.624063	19-08-2016	décapage méca	contour		emprise définitive 5338 m <sup>2</sup> /
10280	ALG16	PT0936	1614633.624321	8146271.005490	154.612349	19-08-2016	décapage méca	contour		emprise définitive 5338 m <sup>2</sup> /
10280	ALG16	PT0937	1614637.545808	8146271.304094	154.541606	19-08-2016	décapage méca	contour		emprise définitive 5338 m <sup>2</sup> /
10280	ALG16	PT0938	1614637.846417	8146272.880632	154.493706	19-08-2016	décapage méca	contour		emprise définitive 5338 m <sup>2</sup> /
10280	ALG16	PT0939	1614641.660267	8146273.609627	154.531074	19-08-2016	décapage méca	contour		emprise définitive 5338 m <sup>2</sup> /
10280	ALG16	PT0940	1614641.498276	8146274.940790	154.523878	19-08-2016	décapage méca	contour		emprise définitive 5338 m <sup>2</sup> /
10280	ALG16	PT0941	1614645.934029	8146275.739499	154.427179	19-08-2016	décapage méca	contour		emprise définitive 5338 m <sup>2</sup> /
10280	ALG16	PT0942	1614645.740773	8146278.105972	154.420965	19-08-2016	décapage méca	contour		emprise définitive 5338 m <sup>2</sup> /
10280	ALG16	PT0943	1614650.198764	8146278.413494	154.480144	19-08-2016	décapage méca	contour		emprise définitive 5338 m <sup>2</sup> /
10280	ALG16	PT0944	1614650.663689	8146280.844910	155.323527	19-08-2016	décapage méca	contour		emprise définitive 5338 m <sup>2</sup> /
10280	ALG16	PT0945	1614653.847339	8146280.078616	154.790390	19-08-2016	décapage méca	contour		emprise définitive 5338 m <sup>2</sup> /
10280	ALG16	PT0946	1614655.903776	8146275.969314	154.580307	19-08-2016	décapage méca	contour		emprise définitive 5338 m <sup>2</sup> /
10280	ALG16	PT0947	1614652.046645	8146273.771521	154.495123	19-08-2016	décapage méca	contour		emprise définitive 5338 m <sup>2</sup> /
10280	ALG16	PT0948	1614651.778200	8146274.098598	154.452075	19-08-2016	décapage méca	contour		emprise définitive 5338 m <sup>2</sup> /
10280	ALG16	PT0949	1614645.573212	8146270.449475	154.485442	19-08-2016	décapage méca	contour		emprise définitive 5338 m <sup>2</sup> /
10280	ALG16	PT0950	1614638.166093	8146266.201555	154.642352	19-08-2016	décapage méca	contour		emprise définitive 5338 m <sup>2</sup> /
10280	ALG16	PT0951	1614627.747458	8146260.352499	154.702530	19-08-2016	décapage méca	contour		emprise définitive 5338 m <sup>2</sup> /

Section 3 – Inventaires techniques et scientifiques

OA10280\_ALG16\_inventaire08\_points\_topo.xls: 18/21

CODE OA	CODE SITE	NUM	X (est)	Y (nord)	Z (alti)	DATE	ÉLÉMENT TOPOGRAPHIE	TYPE DE POINT	IDENTIFIANT	DESCRIPTION/ COMMENTAIRES
10280	ALG16	PT0952	1614621.494842	8146256.863329	154.773221	19-08-2016	décapage méca	contour		emprise définitive 5338 m²/
10280	ALG16	PT0953	1614616.496731	8146254.042523	154.856582	19-08-2016	décapage méca	contour		emprise définitive 5338 m²/
10280	ALG16	PT0954	1614602.296783	8146245.900672	154.955418	19-08-2016	décapage méca	contour		emprise définitive 5338 m²/
10280	ALG16	PT0955	1614595.158212	8146241.787202	155.025563	19-08-2016	décapage méca	contour		emprise définitive 5338 m²/
10280	ALG16	PT0956	1614595.221638	8146241.508888	154.918850	19-08-2016	décapage méca	contour		emprise définitive 5338 m²/
10280	ALG16	PT0957	1614573.898189	8146229.994407	155.261614	19-08-2016	décapage méca	contour		emprise définitive 5338 m²/
10280	ALG16	PT0958	1614571.341180	8146233.585624	155.138169	19-08-2016	décapage méca	contour		emprise définitive 5338 m²/
10280	ALG16	PT0959	1614569.381233	8146236.946769	155.033543	19-08-2016	décapage méca	contour		emprise définitive 5338 m²/
10280	ALG16	PT0960	1614568.802176	8146236.598215	155.611142	19-08-2016	décapage méca	contour		emprise définitive 5338 m²/
10280	ALG16	PT0961	1614564.742407	8146244.343800	155.121970	19-08-2016	décapage méca	contour		emprise définitive 5338 m²/
10280	ALG16	PT0962	1614553.984058	8146266.218089	155.230827	19-08-2016	décapage méca	contour		emprise définitive 5338 m²/
10280	ALG16	PT0963	1614547.324324	8146263.106966	155.242874	19-08-2016	décapage méca	contour		emprise définitive 5338 m²/
10280	ALG16	PT0964	1614541.692301	8146260.736094	155.247233	19-08-2016	décapage méca	contour		emprise définitive 5338 m²/
10280	ALG16	PT0965	1614525.331301	8146251.598179	155.329870	19-08-2016	décapage méca	contour		emprise définitive 5338 m²/
10280	ALG16	PT0966	1614519.294518	8146261.886726	155.529714	19-08-2016	décapage méca	contour		emprise définitive 5338 m²/
10280	ALG16	PT0967	1614517.110770	8146266.057231	155.781270	19-08-2016	décapage méca	contour		emprise définitive 5338 m²/
10280	ALG16	PT0968	1614545.309076	8146281.545818	155.299340	19-08-2016	décapage méca	contour		emprise définitive 5338 m²/
10280	ALG16	PT0969	1614542.926053	8146285.817632	155.296900	19-08-2016	décapage méca	contour		emprise définitive 5338 m²/
10280	ALG16	PT0970	1614545.463777	8146287.285624	155.191621	19-08-2016	décapage méca	contour		emprise définitive 5338 m²/
10280	ALG16	PT0971	1614547.382517	8146290.039872	155.368733	19-08-2016	décapage méca	contour		emprise définitive 5338 m²/
10280	ALG16	PT0972	1614548.965732	8146290.129054	155.286146	19-08-2016	décapage méca	contour		emprise définitive 5338 m²/
10280	ALG16	PT0973	1614559.492642	8146296.110722	155.195688	19-08-2016	décapage méca	contour		emprise définitive 5338 m²/
10280	ALG16	PT0974	1614559.858751	8146296.353309	155.173488	19-08-2016	sondage profond	contour		Coupe 2.2/
10280	ALG16	PT0975	1614561.363126	8146293.647495	155.189662	19-08-2016	sondage profond	contour		Coupe 2.2/
10280	ALG16	PT0976	1614565.951640	8146296.142114	155.158369	19-08-2016	sondage profond	contour		Coupe 2.2/
10280	ALG16	PT0977	1614564.392851	8146298.832629	154.962607	19-08-2016	sondage profond	contour		Coupe 2.2/
10280	ALG16	PT0978	1614562.633571	8146297.211464	153.735323	19-08-2016	sondage profond	altitude		Coupe 2.2/
10280	ALG16	PT0979	1614559.782415	8146298.798241	155.230521	19-08-2016	sondage profond	contour		tranchée inrap/
10280	ALG16	PT0980	1614558.706918	8146300.838976	155.183367	19-08-2016	sondage profond	contour		tranchée inrap/
10280	ALG16	PT0981	1614572.064321	8146308.200351	154.716314	19-08-2016	sondage profond	contour		tranchée inrap/
10280	ALG16	PT0982	1614590.396387	8146318.633286	154.552847	19-08-2016	sondage profond	contour		tranchée inrap/
10280	ALG16	PT0983	1614591.912887	8146316.098045	154.541754	19-08-2016	sondage profond	contour		tranchée inrap/
10280	ALG16	PT0984	1614577.321641	8146307.752753	154.648970	19-08-2016	sondage profond	contour		tranchée inrap/
10280	ALG16	PT0985	1614650.736069	8146277.181548	154.462544	19-08-2016	sondage profond	contour		/
10280	ALG16	PT0986	1614653.958816	8146278.965453	154.470592	19-08-2016	sondage profond	contour		/
10280	ALG16	PT0987	1614655.947512	8146276.077371	154.712222	19-08-2016	sondage profond	contour		/
10280	ALG16	PT0988	1614652.044248	8146273.805785	154.489426	19-08-2016	sondage profond	contour		/
10280	ALG16	PT0989	1614653.072240	8146275.292589	153.540986	19-08-2016	sondage profond	altitude		/
10280	ALG16	PT0990	1614595.192907	8146241.568017	154.731632	19-08-2016	sondage profond	contour		/
10280	ALG16	PT0991	1614593.626191	8146244.399943	154.985895	19-08-2016	sondage profond	contour		/
10280	ALG16	PT0992	1614590.659556	8146242.626408	154.976551	19-08-2016	sondage profond	contour		/
10280	ALG16	PT0993	1614592.266932	8146239.878135	155.015018	19-08-2016	sondage profond	contour		/
10280	ALG16	PT0994	1614593.226671	8146241.537425	153.631936	19-08-2016	sondage profond	altitude		/
10280	ALG16	PT0995	1614568.875144	8146236.768091	154.726254	19-08-2016	sondage profond	contour		st (puits)/
10280	ALG16	PT0996	1614572.044222	8146238.495527	155.016433	19-08-2016	sondage profond	contour		st (puits)/

OA10280\_ALG16\_inventaire08\_points\_topo.xls: 19/21

CODE OA	CODE SITE	NUM	X (est)	Y (nord)	Z (alti)	DATE	ÉLÉMENT TOPOGRAPHIE	TYPE DE POINT	IDENTIFIANT	DESCRIPTION/ COMMENTAIRES
10280	ALG16	PT0997	1614569.787499	8146242.855347	155.045630	19-08-2016	sondage profond	contour		st (puits)/
10280	ALG16	PT0998	1614566.774026	8146240.636017	154.807136	19-08-2016	sondage profond	contour		st (puits)/
10280	ALG16	PT0999	1614568.977184	8146238.214454	153.063180	19-08-2016	sondage profond	altitude		st (puits)/
10280	ALG16	PT1000	1614530.455836	8146259.185637	154.975910	19-08-2016	sondage profond	contour		sondage D/
10280	ALG16	PT1001	1614528.153741	8146257.300805	155.083229	19-08-2016	sondage profond	contour		sondage D/
10280	ALG16	PT1002	1614522.379938	8146264.845225	155.402773	19-08-2016	sondage profond	contour		sondage D/
10280	ALG16	PT1003	1614524.701899	8146266.704111	155.306150	19-08-2016	sondage profond	contour		sondage D/
10280	ALG16	PT1004	1614526.606989	8146259.991198	153.839014	19-08-2016	sondage profond	altitude		sondage D/
10280	ALG16	PT1005	1614545.516670	8146281.238860	155.295566	19-08-2016	sondage profond	contour		/
10280	ALG16	PT1006	1614548.167370	8146282.753575	155.357688	19-08-2016	sondage profond	contour		/
10280	ALG16	PT1007	1614545.438533	8146287.280397	155.194866	19-08-2016	sondage profond	contour		/
10280	ALG16	PT1008	1614542.918187	8146285.817203	155.292198	19-08-2016	sondage profond	contour		/
10280	ALG16	PT1009	1614545.096622	8146284.684700	153.736061	19-08-2016	sondage profond	altitude		/
10280	ALG16	PT1010	1614610.555343	8146259.396595	154.613763	19-08-2016	coupe	clou coupe		sdg inrap 1605 NO-SE/
10280	ALG16	PT1011	1614610.504287	8146259.356187	154.333136	19-08-2016	coupe	clou coupe		sdg inrap 1605 NO-SE/
10280	ALG16	PT1012	1614611.853971	8146258.018644	154.586688	19-08-2016	coupe	clou coupe		sdg inrap 1605 NO-SE/
10280	ALG16	PT1013	1614611.830410	8146257.998257	154.376532	19-08-2016	coupe	clou coupe		sdg inrap 1605 NO-SE/
10280	ALG16	PT1014	1614611.783219	8146257.558041	154.672330	19-08-2016	coupe	clou coupe	CP 5.1	sdg inrap 1605 NE-SO/
10280	ALG16	PT1015	1614611.735036	8146257.542703	154.419863	19-08-2016	coupe	clou coupe	CP 5.1	sdg inrap 1605 NE-SO/
10280	ALG16	PT1016	1614610.517075	8146256.283462	154.696945	19-08-2016	coupe	clou coupe	CP 5.1	sdg inrap 1605 NE-SO/
10280	ALG16	PT1017	1614610.472986	8146256.309910	154.353359	19-08-2016	coupe	clou coupe	CP 5.1	sdg inrap 1605 NE-SO/
10280	ALG16	PT1018	1614609.316202	8146255.134972	154.684787	19-08-2016	coupe	clou coupe	CP 5.1	sdg inrap 1605 NE-SO/
10280	ALG16	PT1019	1614609.300995	8146255.164224	154.391439	19-08-2016	coupe	clou coupe		sdg inrap 1605 NE-SO/
10280	ALG16	PT1020	1614609.086210	8146255.120652	154.666219	19-08-2016	coupe	clou coupe		sdg inrap 1605 SE-NO/
10280	ALG16	PT1021	1614609.115926	8146255.130694	154.401270	19-08-2016	coupe	clou coupe		sdg inrap 1605 SE-NO/
10280	ALG16	PT1022	1614607.515666	8146256.743774	154.583522	19-08-2016	coupe	clou coupe		sdg inrap 1605 SE-NO/
10280	ALG16	PT1023	1614607.538832	8146256.750546	154.305103	19-08-2016	coupe	clou coupe		sdg inrap 1605 SE-NO/
10280	ALG16	PT1024	1614606.908008	8146257.779917	154.730898	19-08-2016	coupe	clou coupe		sdg inrap 1605 SO-NE/
10280	ALG16	PT1025	1614606.955455	8146257.705984	154.375727	19-08-2016	coupe	clou coupe		sdg inrap 1605 SO-NE/
10280	ALG16	PT1026	1614608.133100	8146258.961792	154.655690	19-08-2016	coupe	clou coupe		sdg inrap 1605 SO-NE/
10280	ALG16	PT1027	1614608.158570	8146258.922057	154.305870	19-08-2016	coupe	clou coupe		sdg inrap 1605 SO-NE/
10280	ALG16	PT1028	1614653.456057	8146274.657739	155.275225	19-08-2016	coupe	clou coupe	CP 2.1	/
10280	ALG16	PT1029	1614652.468005	8146274.025327	155.243887	19-08-2016	coupe	clou coupe	CP 2.1	/
10280	ALG16	PT1030	1614653.489378	8146274.684880	153.766785	19-08-2016	coupe	clou coupe	CP 2.1	/
10280	ALG16	PT1031	1614652.435022	8146274.049962	153.765466	19-08-2016	coupe	clou coupe	CP 2.1	/
10280	ALG16	PT1032	1614530.696558	8146262.057225	155.915963	22-08-2016	berme	contour		berme log 4/
10280	ALG16	PT1033	1614529.379440	8146261.060063	155.916509	22-08-2016	berme	contour		berme log 4/
10280	ALG16	PT1034	1614526.605343	8146264.588163	155.934003	22-08-2016	berme	contour		berme log 4/
10280	ALG16	PT1035	1614528.128823	8146265.720928	155.981145	22-08-2016	berme	contour		berme log 4/
10280	ALG16	PT1036	1614530.682719	8146262.120106	155.943930	22-08-2016	coupe	altitude	CP 4.2	sommet/
10280	ALG16	PT1037	1614529.398717	8146261.077376	155.918754	22-08-2016	coupe	altitude	CP 4.2	sommet/
10280	ALG16	PT1038	1614535.276170	8146285.094250	155.279753	22-08-2016	coupe	altitude	CP 4.2	base/
10280	ALG16	PT1039	1614532.552782	8146263.166533	155.357298	22-08-2016	coupe	altitude	CP 4.2	base/
10280	ALG16	PT1040	1614531.106716	8146262.152051	155.386058	22-08-2016	coupe	altitude	CP 4.2	base/
10280	ALG16	PT1041	1614531.280605	8146262.102265	155.071871	22-08-2016	coupe	altitude	CP 4.2	base/
10280	ALG16	PT1042	1614529.446876	8146260.827998	155.077424	22-08-2016	coupe	altitude	CP 4.2	base/
10280	ALG16	PT1043	1614529.234338	8146260.794020	153.980305	22-08-2016	coupe	altitude	CP 4.2	base/
10280	ALG16	PT1044	1614526.851815	8146259.126780	153.926978	22-08-2016	coupe	altitude	CP 4.2	base/

Section 3 – Inventaires techniques et scientifiques

OA10280\_ALG16\_inventaire08\_points\_topo.xls: 20/21

CODE OA	CODE SITE	NUM	X (est)	Y (nord)	Z (alti)	DATE	ÉLÉMENT TOPOGRAPHIÉ	TYPE DE POINT	IDENTIFIANT	DESCRIPTION/ COMMENTAIRES
10280	ALG16	PT1045	1614526.609800	8146259.150240	155.369136	22-08-2016	coupe	altitude	CP 4.2	base/
10280	ALG16	PT1046	1614522.686772	8146256.325746	155.411908	22-08-2016	coupe	altitude	CP 4.2	base/
10280	ALG16	PT1047	1614585.823701	8146309.534181	155.545415	22-08-2016	berme	contour		Coupe 2.1/
10280	ALG16	PT1048	1614587.437756	8146310.557744	155.547035	22-08-2016	berme	contour		Coupe 2.1/
10280	ALG16	PT1049	1614587.140041	8146311.552369	155.512648	22-08-2016	berme	contour		Coupe 2.1/
10280	ALG16	PT1050	1614585.244586	8146310.529149	155.501678	22-08-2016	berme	contour		Coupe 2.1/
10280	ALG16	PT1051	1614524.444019	8146257.608942	155.401506	22-08-2016	fouille manuelle	clou plan	Fenêtre 02	/
10280	ALG16	PT1052	1614525.643344	8146258.491726	155.381565	22-08-2016	fouille manuelle	clou plan	Fenêtre 02	/
10280	ALG16	PT1053	1614525.050237	8146259.288392	155.412974	22-08-2016	fouille manuelle	clou plan	Fenêtre 02	/
10280	ALG16	PT1054	1614523.789475	8146258.358378	155.427954	22-08-2016	fouille manuelle	clou plan	Fenêtre 02	/
10280	ALG16	PT1055	1614641.838951	8146269.503806	154.574596	22-08-2016	structure	clou carroyage	ST 01	/
10280	ALG16	PT1056	1614642.344493	8146268.946665	154.579092	22-08-2016	structure	clou carroyage	ST 01	/
10280	ALG16	PT1057	1614584.877858	8146235.832077	155.450299	22-08-2016	coupe	clou coupe	CP 1.3	/
10280	ALG16	PT1058	1614583.305458	8146235.068661	155.435986	22-08-2016	coupe	clou coupe	CP 1.3	/
10280	ALG16	PT1059	1614604.632635	8146284.256854	154.754353	22-08-2016	coupe	clou coupe	CP 8a	/
10280	ALG16	PT1060	1614603.961010	8146285.203747	154.778229	22-08-2016	coupe	clou coupe	CP 8a	/
10280	ALG16	PT1061	1614528.959738	8146261.462741	155.709118	23-08-2016	coupe	clou coupe	CP 4.1	/
10280	ALG16	PT1062	1614528.946815	8146261.431704	154.833132	23-08-2016	coupe	clou coupe	CP 4.1	/
10280	ALG16	PT1063	1614530.858446	8146262.425750	155.416878	23-08-2016	fouille manuelle	clou plan	Fenêtre 03	/
10280	ALG16	PT1064	1614529.997768	8146263.666630	155.423414	23-08-2016	fouille manuelle	clou plan	Fenêtre 03	/
10280	ALG16	PT1065	1614529.230052	8146264.734225	155.450561	23-08-2016	fouille manuelle	clou plan	Fenêtre 03	/
10280	ALG16	PT1066	1614531.763230	8146263.180249	155.389989	23-08-2016	fouille manuelle	clou plan	Fenêtre 03	/
10280	ALG16	PT1067	1614530.923762	8146264.455369	155.425668	23-08-2016	fouille manuelle	clou plan	Fenêtre 03	/
10280	ALG16	PT1068	1614530.197736	8146265.569464	155.444327	23-08-2016	fouille manuelle	clou plan	Fenêtre 03	/
10280	ALG16	PT1069	1614528.772389	8146261.678152	154.975535	23-08-2016	prélèvement		PR 03	OSL centre/
10280	ALG16	PT1070	1614528.585243	8146262.062138	155.557968	23-08-2016	prélèvement		PR 04	Micromorpho., base du bloc/
10280	ALG16	PT1071	1614528.574128	8146262.051966	155.289809	23-08-2016	prélèvement		PR 05	Micromorpho., base du bloc/
10280	ALG16	PT1072	1614528.564905	8146262.049380	154.931794	23-08-2016	prélèvement		PR 06	Micromorpho., base du bloc/
10280	ALG16	PT1073	1614564.408934	8146268.179073	155.230283	23-08-2016	structure	clou coupe	ST 10	/
10280	ALG16	PT1074	1614565.495034	8146268.837657	155.197041	23-08-2016	structure	clou coupe	ST 10	/
10280	ALG16	PT1075								/non attribué
10280	ALG16	PT1076								/non attribué
10280	ALG16	PT1077								/non attribué
10280	ALG16	PT1078								/non attribué
10280	ALG16	PT1079								/non attribué
10280	ALG16	PT1080								/non attribué
10280	ALG16	PT1081								/non attribué
10280	ALG16	PT1082								/non attribué
10280	ALG16	PT1083								/non attribué
10280	ALG16	PT1084	1614586.071009	8146302.364777	155.017810	23-08-2016	structure	clou carroyage	ST 11	/
10280	ALG16	PT1085	1614587.526130	8146302.349296	155.059249	23-08-2016	structure	clou carroyage	ST 11	/
10280	ALG16	PT1086	1614592.769780	8146302.212114	154.957650	23-08-2016	structure	clou carroyage	ST 11	/
10280	ALG16	PT1087	1614587.505585	8146300.391958	155.030875	23-08-2016	structure	clou carroyage	ST 11	/
10280	ALG16	PT1088	1614587.620715	8146304.544803	154.907775	23-08-2016	structure	clou carroyage	ST 11	/
10280	ALG16	PT1089	1614589.586449	8146300.508572	155.013800	23-08-2016	mobilier	lithique		/
10280	ALG16	PT1090	1614589.748556	8146303.514742	155.020284	23-08-2016	mobilier	lithique		/
10280	ALG16	PT1091	1614589.802131	8146303.792187	155.032751	23-08-2016	mobilier	lithique		/
10280	ALG16	PT1092	1614592.480877	8146301.825109	155.046176	23-08-2016	mobilier	lithique		/
10280	ALG16	PT1093	1614592.247388	8146301.650185	155.057704	23-08-2016	mobilier	lithique		/
10280	ALG16	PT1094	1614587.192302	8146303.373045	155.064991	23-08-2016	mobilier	terre_cuite		/
10280	ALG16	PT1095	1614630.484095	8146266.827631	154.595210	23-08-2016	fouille manuelle	clou carroyage	Fenêtre 09	/
10280	ALG16	PT1096	1614633.287254	8146268.540336	154.588369	23-08-2016	fouille manuelle	clou carroyage	Fenêtre 09	/
10280	ALG16	PT1097	1614635.122175	8146265.298044	154.654310	23-08-2016	fouille manuelle	clou carroyage	Fenêtre 09	/
10280	ALG16	PT1098	1614632.282798	8146263.611801	154.652105	23-08-2016	fouille manuelle	clou carroyage	Fenêtre 09	/
10280	ALG16	PT1099	1614578.419564	8146268.189666	155.123657	23-08-2016	fouille manuelle	clou carroyage	Fenêtre 10	/
10280	ALG16	PT1100	1614581.891648	8146268.654497	155.130038	23-08-2016	fouille manuelle	clou carroyage	Fenêtre 10	/
10280	ALG16	PT1101	1614582.092311	8146263.929151	155.111884	23-08-2016	fouille manuelle	clou carroyage	Fenêtre 10	/
10280	ALG16	PT1102	1614578.904532	8146263.636596	155.145282	23-08-2016	fouille manuelle	clou carroyage	Fenêtre 10	/

OA10280\_ALG16\_inventaire08\_points\_topo.xls: 21/21

CODE OA	CODE SITE	NUM	X (est)	Y (nord)	Z (alti)	DATE	ÉLÉMENT TOPOGRAPHIÉ	TYPE DE POINT	IDENTIFIANT	DESCRIPTION/ COMMENTAIRES
10280	ALG16	PT1103	1614580.988268	8146266.170384	155.131277	23-08-2016	anomalie	point central		chablis, diam. 4 m/
10280	ALG16	PT1104	1614583.316868	8146264.901009	155.085681	23-08-2016	anomalie	point central		chablis, diam. 2,5m/
10280	ALG16	PT1105	1614598.293982	8146272.798542	154.842672	23-08-2016	anomalie	point central		chablis, diam. 3 m/
10280	ALG16	PT1106	1614593.377486	8146283.354711	154.843457	23-08-2016	anomalie	point central		chablis, diam. 2 m/
10280	ALG16	PT1107	1614572.847131	8146250.199028	155.135224	23-08-2016	anomalie	point central		chablis, diam. 1,5/
10280	ALG16	PT1108	1614569.826410	8146248.749946	155.138775	23-08-2016	anomalie	point central		chablis, diam. 2 m/
10280	ALG16	PT1109	1614571.520492	8146254.411438	155.122866	23-08-2016	anomalie	point central		chablis, diam. 2 m/
10280	ALG16	PT1110	1614572.834192	8146257.283317	155.127324	23-08-2016	anomalie	point central		chablis, diam. 2 m/
10280	ALG16	PT1111	1614579.521605	8146247.882061	155.068827	23-08-2016	anomalie	point central		chablis, diam. 2,5m/
10280	ALG16	PT1112	1614625.088734	8146259.246339	154.713542	23-08-2016	décapage méca	altitude		Base du décap./
10280	ALG16	PT1113	1614617.587105	8146271.497415	154.704068	23-08-2016	décapage méca	altitude		Base du décap./
10280	ALG16	PT1114	1614610.468096	8146284.647750	154.740866	23-08-2016	décapage méca	altitude		Base du décap./
10280	ALG16	PT1115	1614602.489858	8146296.813659	154.888720	23-08-2016	décapage méca	altitude		Base du décap./
10280	ALG16	PT1116	1614594.761502	8146309.567577	154.970081	23-08-2016	décapage méca	altitude		Base du décap./
10280	ALG16	PT1117	1614589.069056	8146320.324642	154.969765	23-08-2016	décapage méca	altitude		Base du décap./
10280	ALG16	PT1118	1614577.077977	8146312.744456	154.973715	23-08-2016	décapage méca	altitude		Base du décap./
10280	ALG16	PT1119	1614583.260656	8146299.283560	154.979632	23-08-2016	décapage méca	altitude		Base du décap./
10280	ALG16	PT1120	1614590.580328	8146287.538582	154.907749	23-08-2016	décapage méca	altitude		Base du décap./
10280	ALG16	PT1121	1614597.856454	8146276.045934	154.866756	23-08-2016	décapage méca	altitude		Base du décap./
10280	ALG16	PT1122	1614605.192399	8146263.368447	154.751953	23-08-2016	décapage méca	altitude		Base du décap./
10280	ALG16	PT1123	1614611.132203	8146251.314514	154.935861	23-08-2016	décapage méca	altitude		Base du décap./
10280	ALG16	PT1124	1614597.564718	8146243.807042	154.947915	23-08-2016	décapage méca	altitude		Base du décap./
10280	ALG16	PT1125	1614590.496198	8146257.052174	154.919911	23-08-2016	décapage méca	altitude		Base du décap./
10280	ALG16	PT1126	1614583.634868	8146269.412682	155.094257	23-08-2016	décapage méca	altitude		Base du décap./
10280	ALG16	PT1127	1614576.608318	8146281.914235	155.091543	23-08-2016	décapage méca	altitude		Base du décap./
10280	ALG16	PT1128	1614569.613765	8146294.581760	155.138372	23-08-2016	décapage méca	altitude		Base du décap./
10280	ALG16	PT1129	1614562.027967	8146304.310464	155.191640	23-08-2016	décapage méca	altitude		Base du décap./
10280	ALG16	PT1130	1614555.176888	8146293.403598	155.250604	23-08-2016	décapage méca	altitude		Base du décap./
10280	ALG16	PT1131	1614561.607159	8146279.975503	155.266471	23-08-2016	décapage méca	altitude		Base du décap./
10280	ALG16	PT1132	1614568.440485	8146266.673710	155.205035	23-08-2016	décapage méca	altitude		Base du décap./
10280	ALG16	PT1133	1614575.451902	8146254.272824	155.062620	23-08-2016	décapage méca	altitude		Base du décap./
10280	ALG16	PT1134	1614583.719599	8146239.133956	155.083969	23-08-2016	décapage méca	altitude		Base du décap./
10280	ALG16	PT1135	1614574.456538	8146230.476111	155.232161	23-08-2016	décapage méca	altitude		Base du décap./
10280	ALG16	PT1136	1614566.058905	8146243.137945	155.115577	23-08-2016	décapage méca	altitude		Base du décap./
10280	ALG16	PT1137	1614559.559042	8146256.939367	155.289145	23-08-2016	décapage méca	altitude		Base du décap./
10280	ALG16	PT1138	1614551.299385	8146285.282334	155.152198	23-08-2016	décapage méca	altitude		Base du décap./
10280	ALG16	PT1139	1614541.965567	8146278.711258	155.319026	23-08-2016	décapage méca	altitude		Base du décap./
10280	ALG16	PT1140	1614528.290648	8146271.667745	155.491420	23-08-2016	décapage méca	altitude		Base du décap./
10280	ALG16	PT1141	1614521.176223	8146259.759176	155.460643	23-08-2016	décapage méca	altitude		Base du décap./
10280	ALG16	PT1142	1614537.902899	8146258.616200	155.186372	23-08-2016	décapage méca	altitude		Base du décap./
10280	ALG16	PT1143	1614566.152203	8146297.649165	154.993907	24-08-2016	coupe	clou coupe	Fenêtre 07	/
10280	ALG16	PT1144	1614566.032538	8146297.152228	154.984272	24-08-2016	coupe	clou coupe	Fenêtre 07	/
10280	ALG16	PT1145	1614524.584444	8146258.827350	154.361554	24-08-2016	fouille manuelle	clou plan	fenêtre 02B	/
10280	ALG16	PT1146	1614524.862629	8146258.521971	154.359484	24-08-2016	fouille manuelle	clou plan	fenêtre 02B	/
10280	ALG16	PT1147	1614524.618998	8146258.334480	154.354878	24-08-2016	fouille manuelle	clou plan	fenêtre 02B	/
10280	ALG16	PT1148	1614524.349747	8146258.617810	154.367496	24-08-2016	fouille manuelle	clou plan	fenêtre 02B	/

**9 - Inventaire global du contenu des caisses**

<b>OA</b>	<b>code site</b>	<b>Caisse n°</b>	<b>Mobilier</b>	<b>Matière</b>	<b>Description</b>	<b>Masse (kg)</b>
10280	ALG16	1	Céramique	terre cuite	points topographiés (PT) et structures (ST)	6,4
10280	ALG16	2	Lithique	silex, grès, etc.	points topographiés (PT) 2-129	10,2
10280	ALG16	3	Lithique	silex, grès, etc.	points topographiés (PT) 130-392	9,4
10280	ALG16	4	Lithique	silex, grès, etc.	points topographiés (PT) 400-579	9,0
10280	ALG16	5	Lithique	silex, grès, etc.	points topographiés (PT) 586-1093 et structures (ST)	4,2
10280	ALG16	6	Métal	matériaux divers	points topographiés (PT)	1,0